

Electronique pratique

I.S.S.N. 0243 4911

16^e

N° 94 NOUVELLE SÉRIE JUIN 1986

BELGIQUE : 100 F.B. - LUXEMBOURG : 106 F.L. - SUISSE : 5,00 F.S.
ESPAGNE : 250 Ptas - CANADA : \$ 2,50

SIMULATEUR DE PRÉSENCE

ALIMENTATION DE LABORATOIRE

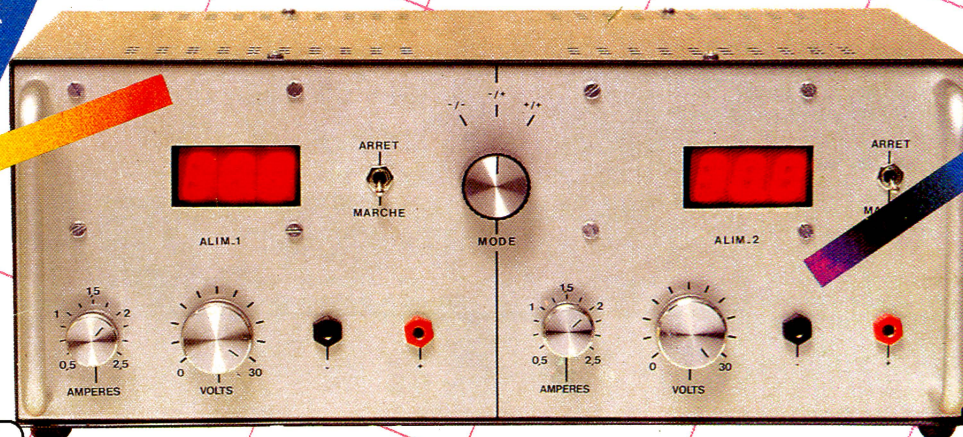
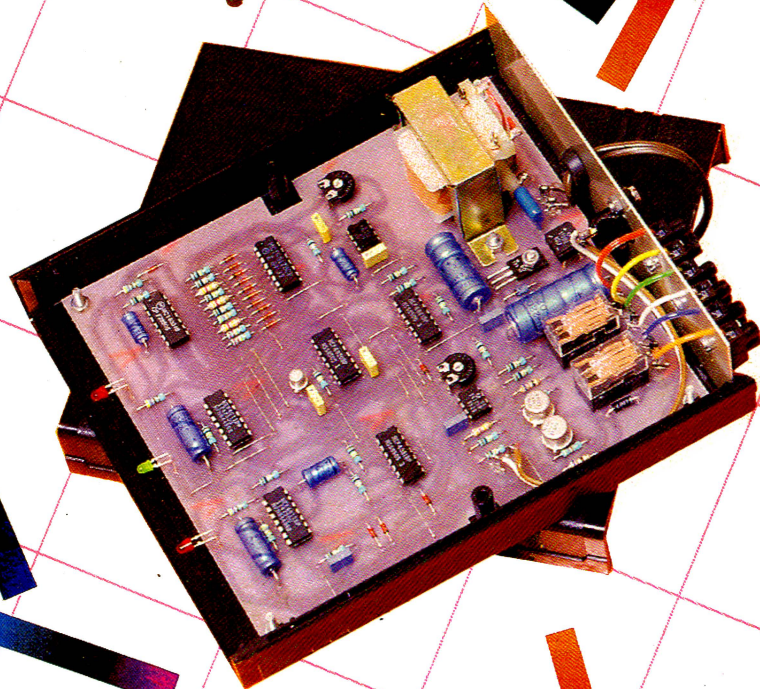
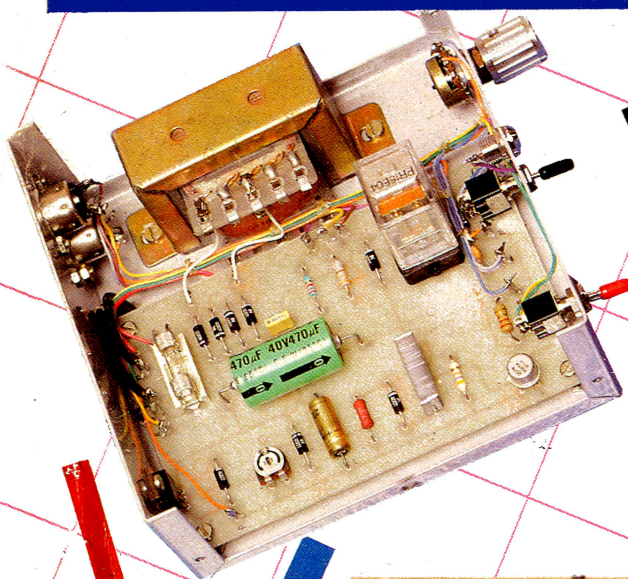
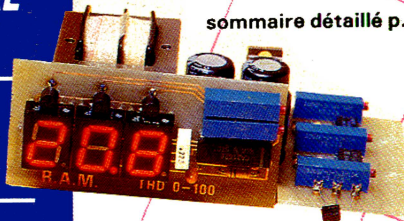
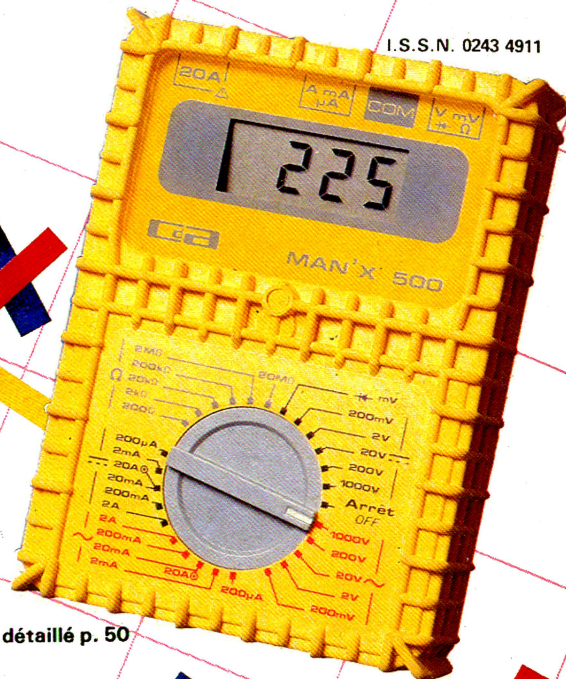
2 × 30 V À AFFICHAGE

MULTIMÈTRE NUMÉRIQUE
"MAN'X 500" CDA

DÉCODEUR BINAIRE - DÉCIMAL -
HÉXADÉCIMAL

THERMOMÈTRE DIGITAL, ETC...

sommaire détaillé p. 50



T2437-94-16,00F

Raby

TABLE DES MATIERES DE NOVEMBRE 1984 (N° 76) A MAI 1986 (N° 93)

<p>NOVEMBRE 1984 N° 76 (Nouvelle Série)</p> <p>RÉALISEZ VOUS-MÊME</p> <p>48 Un testeur triphasé 55 Un temporisateur longue durée 62 Un testeur de circuits intégrés 76 Un chargeur d'accus 1,5 à 9 V 79 Un fuzz pour guitare 83 Un antivol codé 91 Un transistormètre 105 Un générateur FM stéréo</p> <p>EN KIT</p> <p>43 Le module d'enregistrement stéréo TSM 173</p> <p>PRATIQUE ET INITIATION</p> <p>70 Le multimètre MX 111 Metrix 73 Les cartes de l'Oric 116 Soignons la façade 122 Les programmes du ZX 81</p>	<p>DECEMBRE 1984 N° 77 (Nouvelle Série)</p> <p>RÉALISEZ VOUS-MÊME</p> <p>44 Un compte-tours 2 temps 62 Une interface de sortie 74 Un programmeur TV 80 Un variateur pour perceuses 83 Un servo-moteur 95 Une sonde logique 16 106 Un jeu de lumières</p> <p>EN KIT</p> <p>52 L'allumage électronique RAM 70 Le laser 5 mW Radio MJ</p> <p>PRATIQUE ET INITIATION</p> <p>57 Le multimètre DM25 Beckman 104 Les haut-parleurs ITT 113 Initiation au Basic 121 Art et méthode des transferts 127 Les programmes du ZX 81</p>	<p>JANVIER 1985 N° 78 (Nouvelle Série)</p> <p>RÉALISEZ VOUS-MÊME</p> <p>41 Un gradateur capacitif 46 Une sonde logique 66 Un ampli BF portatif 70 Une lunette arrière dégivrante 80 Un robot 96 Une alarme photo</p> <p>EN KIT</p> <p>58 L'amplificateur à tubes TSM 200</p> <p>PRATIQUE ET INITIATION</p> <p>76 Le multimètre ZIP Pantec 102 Le capacimètre CM20 Beckman 107 Nouveautés pour le circuit imprimé 111 Courbes et surfaces du ZX Spectrum</p>
<p>FEVRIER 1985 N° 79 (Nouvelle Série)</p> <p>RÉALISEZ VOUS-MÊME</p> <p>41 Une sécurité thermique 54 Une protection pour tweeters 58 Un dwellmètre 66 Un casse-tête électronique 74 Un temporisateur de plafonnier 78 Un véhicule intersidéral 100 Un antivol : on ne vole pas un tacot</p> <p>PRATIQUE ET INITIATION</p> <p>48 Les appareils de mesure Torg 94 Maîtrisons les contrôleurs 104 Le multimètre Tekelec TE 3303 107 Courbes et surfaces du ZX Spectrum 113 Les programmes du ZX 81</p>	<p>MARS 1985 N° 80 (Nouvelle Série)</p> <p>RÉALISEZ VOUS-MÊME</p> <p>49 Un thermomètre d'appartement 52 Un mini-processeur expérimental 68 Un mégohmmètre 74 Un dispositif de coupure automatique de l'eau 78 Une boucle de surveillance 86 Une soucoupe volante programmable 110 Chenillard à 4 voies</p> <p>EN KIT</p> <p>62 Le kit Audax 102 Le radar RUS 5M Jokit</p> <p>PRATIQUE ET INITIATION</p> <p>82 Le Technimarc 600 et l'Alfa 02 Stabo 108 Les multimètres « Fluke » 114 Courbes et surfaces du Spectrum</p>	<p>AVRIL 1985 N° 81 (Nouvelle Série)</p> <p>RÉALISEZ VOUS-MÊME</p> <p>49 Un régulateur de charge batterie 58 Une télécommande originale 67 Un térupteur à transistors et triac 80 Une minuterie de poche 85 Un éclairage de secours 89 Un mobile téléguidé au son 103 Un dispositif de protection pour détecteurs d'alarme</p> <p>EN KIT</p> <p>56 Le détecteur d'écoute KN82 IMD</p> <p>PRATIQUE ET INITIATION</p> <p>64 Le générateur de fonctions FG2 Beckman 72 Les antennes FM et TV Omnex 78 Le multimètre analogique/ numérique MX573 Metrix</p>

MAI 1985 N° 82
(Nouvelle Série)

RÉALISEZ VOUS-MÊME

- 49 Une serrure codée quatre chiffres
- 57 Une horloge à diodes LED
- 68 Un compteur universel 10 000 points
- 89 Un robot chasseur de lumière
- 106 Une autre boîte à malice

EN KIT

- 66 Le Plusmatique ACT 0-30 TPE
- 64 Le multimètre Iskra 105
- 76 Les haut-parleurs auto « ITT »
- 86 Les transformateurs toriques Suprator
- 110 L'oscilloscope démystifié
- 118 Courbes et surfaces du Spectrum

JUIN 1985 N° 83
(Nouvelle Série)

RÉALISEZ VOUS-MÊME

- 49 Une clôture électrique
- 55 Un jeu de lumière 256 pas, 8 canaux
- 75 Un capacimètre 47 pF à 10 000 μ F
- 87 Un pupitre d'expérimentation et de mise au point
- 93 Un tir électronique, avec cible réceptrice
- 117 Une alimentation pour mini-perceuse

EN KIT

- 82 Le kit 42 Audax

PRATIQUE ET INITIATION

- 72 Le multimètre « Explorer » Pantec
- 121 Le langage machine sur ZX 81 : 1^{re} partie
- 125 Un circuit intégré à tout faire, le 4011

JUILLET / AOUT 1985 N° 84
(Nouvelle Série)

RÉALISEZ VOUS-MÊME

- 47 Un jeu de loto
- 54 Un dispositif de commande sonore : le Sonomatic
- 59 Un gradateur mural
- 66 Un compteur horaire avec une calculatrice
- 78 Un pupitre d'expérimentation : le générateur BF
- 83 Un fréquencemètre digital
- 89 Un baromètre électronique
- 113 Coupure automatique d'un fer à repasser

EN KIT

- 62 Le temporisateur programmable TSM 165
- 64 Le vumètre stéréo à LED « RAM »
- 72 Le kit Celestion Ditton 250 XR

PRATIQUE ET INITIATION

- 119 Quelques applications du 4011
- 123 Le langage machine sur ZX 81 : 2^e partie

SEPTEMBRE 1985 N° 85
(Nouvelle Série)

RÉALISEZ VOUS-MÊME

- 49 Une musique d'attente téléphonique
- 56 Une serrure optoélectronique
- 63 Un périodemètre digital
- 76 Un détecteur de niveau d'eau
- 82 Une alarme électronique
- 89 Un thermomètre enregistreur

EN KIT

- 60 L'enregistreur téléphonique KN 81 IMD

PRATIQUE ET INITIATION

- 69 Le multimètre MAN'X 04 CDA
- 119 Nouveautés pour circuits imprimés
- 122 Le langage machine sur ZX 81 : 3^e partie

OCTOBRE 1985 N° 86
(Nouvelle Série)

RÉALISEZ VOUS-MÊME

- 49 Un convertisseur 12 V / 220 V
- 56 Une sécurité secteur
- 65 Un veilleur pour congélateur
- 71 Un compresseur BF
- 83 Un simulateur de laboratoire
- 89 Une grue à déplacements contrôlés
- 107 Un automatisme pour bassins

EN KIT

- 61 Le voltmètre LAB 01 MTC

PRATIQUE ET INITIATION

- 60 Les temps changent, les kits aussi
- 112 Le programmeur universel Conforal
- 113 Le langage machine sur ZX 81

NOVEMBRE 1985 N° 87
(Nouvelle Série)

RÉALISEZ VOUS-MÊME

- 51 Un disjoncteur d'alimentation
- 57 Un manipulateur Morse asservi
- 66 Un préampli HiFi (1^{re} partie)
- 80 Un stéthoscope
- 88 Un testeur de piles
- 92 Un détecteur de sens de passage
- 109 Des extensions pour le mini-processeur expérimental

EN KIT

- 61 Le booster 2 x 40 W TSM 89
- 85 Le carillon 12 airs Exp 01 MTC
- 115 Le langage machine sur ZX 81
- 119 Fiche technique : le 4017

DECEMBRE 1985 N° 88 (Nouvelle Série)

RÉALISEZ VOUS-MÊME

- 58 Un préamplificateur BF (2° partie)
- 65 Une chandelle électronique
- 69 Un timer secteur
- 81 Une maxi-roulette 36 positions
- 84 Une commande programmée de chauffage
- 98 Un réflex-mètre
- 130 Un signal tracer
- 135 Un détecteur de métaux

EN KIT

- 94 Un thermostat à affichage digital EXPE 04 MTC

PRATIQUE ET INITIATION

- 76 Le Multitech MPF 1/88
- 88 Le multimètre numérique/analogique Fluke 77
- 118 Utilisez-vous au mieux votre multimètre
- 128 Les trois nouveautés CDA
- 138 Le calcul des résistances

JANVIER 1986 N° 89 (Nouvelle Série)

RÉALISEZ VOUS-MÊME

- 56 Un délesteur pour batterie
- 50 Un interphone simple
- 66 Un amplificateur stéréophonique pour casque classe « A »
- 84 Un détecteur de câbles
- 89 Une voiture téléguidée par infrarouges
- 113 Une platine à mémoire analogique 16/32 canaux
- 123 Une alarme sécurité congélateur

EN KIT

- 71 Un testeur de transistors LAB 05 MTC

PRATIQUE ET INITIATION

- 78 L'alimentation ELC « AL 823 »
- 121 En savoir plus sur le 4017

FEVRIER 1986 N° 90 (Nouvelle Série)

RÉALISEZ VOUS-MÊME

- 52 Un truqueur de voix
- 64 Un niveau d'eau électronique
- 69 Une minuterie avec le SAB 0529
- 74 Un antivol simplifié
- 82 Une lampe de secours rechargeable
- 89 Un indicateur/compteur de passage
- 100 Un compteur horaire
- 109 Une alarme pour attaché-case
- 112 Un arroseur automatique

EN KIT

- 57 Une alimentation à découpage LABO 06 MTC

PRATIQUE ET INITIATION

- 76 Les multimètres GP1, GP2 et ME1 Chauvin-Arnoux
- 117 Fiches techniques du CD 4518/4520
- 119 Applications des C-MOS
- 122 D'autres réceptions TV
- 126 Déchiffrer un schéma simple

MARS 1986 N° 91 (Nouvelle Série)

RÉALISEZ VOUS-MÊME

- 49 Un diodmètre sonore
- 56 Un tachymètre digital 100 à 9 900 tr/mn
- 64 Un temporisateur par obscurité
- 84 Un booster 2 x 16 W à transistors
- 87 Une télécommande par courants porteurs : deux réalisations
- 111 Un gradateur télécommandé à infrarouges

EN KIT

- 70 Alimentation à affichage digital LABO 02 MTC
- 80 Sonnerie modulée de téléphone TSM 198

PRATIQUE ET INITIATION

- 75 Le générateur de fonctions Felec 2432
- 120 Applications des interrupteurs C-MOS 4016 et 4066
- 123 Fiche technique n° 3 : le 4029
- 126 Technologie d'un circuit imprimé

AVRIL 1986 N° 92 (Nouvelle Série)

RÉALISEZ VOUS-MÊME

- 58 Une unité d'amplification 2 x 40 W
- 84 Un mélangeur 7 voies stéréophonique
- 89 Un anti-ronfleur spécial
- 86 Un chenillard 10 canaux à défilement variable
- 113 Un badge original

EN KIT

- 51 Un sonomètre 60 à 120 dB LABO 07 MTC
- 70 L'allumage « Ignition » Selectronic
Le Digivolt « E11 » Electrome

PRATIQUE ET INITIATION

- 66 Le dessin du circuit imprimé
- 115 L'oscilloscope Beckman
- 116 Additif au préampli HiFi
- 119 Applications des interrupteurs C-MOS 4016/4066
- 123 Fiche technique n° 4 : les circuits 4510/4516

MAI 1986 N° 93 (Nouvelle Série)

RÉALISEZ VOUS-MÊME

- 62 Un temporisateur de plafonnier et veilleuse allumée
- 70 Alarme codée pour portes ou tiroirs
- 85 Un temporisateur audio-vidéo
- 89 Un thermostat d'ambiance à affichage digital
- 107 Une centrale d'éclairage universelle

EN KIT

- 51 Le détecteur de fluide à transistor T-MOS EXPE 17 MTC
- 66 Le préamplificateur d'antenne large bande TSM 122
- 82 Le fréquencesmètre RT 1 Prati-Kit

PRATIQUE ET INITIATION

- 56 Le multimètre numérique DM5010 Iskra
- 60 Le report du dessin
- 117 Application des C-MOS
- 121 Dépannez vous-mêmes
- 123 Fiche technique : 4020/4024/4040

CONNAITRE ET COMPRENDRE LES CIRCUITS INTEGRES

Pour clôturer la série des compteurs-diviseurs à grande amplitude de comptage, nous décrivons dans cette fiche technique un dernier compteur qui a la particularité de comporter sa propre base de temps.

I - CARACTERISTIQUES GENERALES

Alimentation : 3 à 18 V.
Intensité sur une sortie limitée à quelques milliampères sous un potentiel de 10 V.
Fréquence maximale des crêteaux sur l'entrée Φ_0 : 16 MHz.

II - BROCHAGE

(fig. 1)

Le boîtier CD 4060 comporte seize broches « dual in line » dont la broche n° 16 est destinée au « plus » alimentation et la broche 8 au « moins ».

La structure interne peut se décomposer en deux parties : une première partie essentiellement composée de trigger-inverseurs dont le branchement avec des composants périphériques constitue la base de temps ; une seconde partie est formée par une série de bascules maître-esclaves « flip-flop » montées l'une à la suite de l'autre en formant une configuration en cascade.

Les broches 9, 10 et 11 correspondent à la base de temps interne et sont à relier à des composants extérieurs. La broche 12 est destinée à la remise à zéro générale de toutes les bascules.

Enfin, les sorties 1 à 7 et 13 à 15 constituent les sorties des bascules.

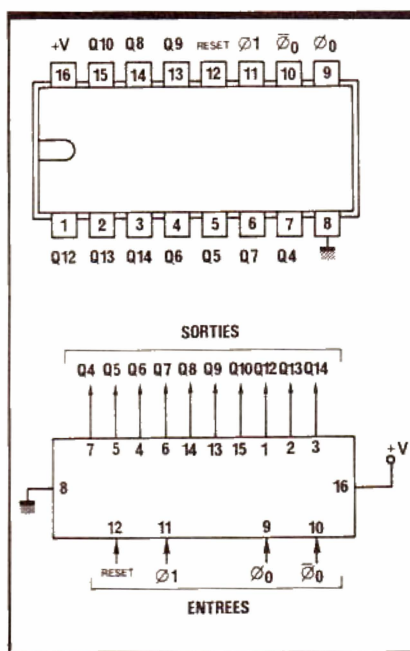


Fig. 1 Brochage du 4060.

On notera que toutes les sorties des quatorze bascules du circuit intégré ne sont pas accessibles : en effet, les sorties Q_1 à Q_4 ainsi que la sortie Q_{11} ne sont pas connectées.

III - FONCTIONNEMENT

(fig. 2 et 3)

La base de temps étant réalisée et reliée comme nous l'indiquerons au

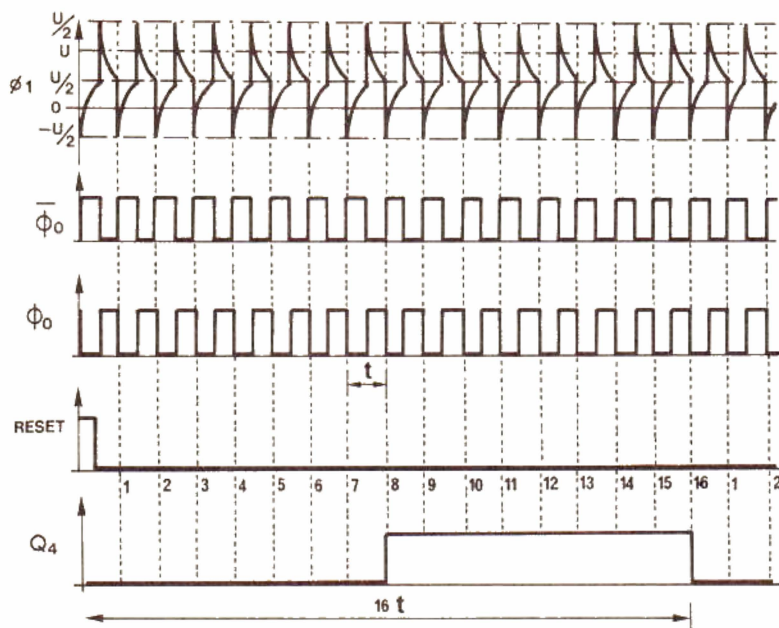
paragraphe suivant, le compteur avance en mode binaire au rythme des fronts négatifs sur l'entrée de la première bascule, c'est-à-dire sur Φ_1 . Il peut ainsi occuper 16 384, soit 2^{14} positions différentes. Si la période de comptage est « t », on obtient une division de la fréquence à une sortie Q_n donnée, par un nombre $N = 2^n$. Ainsi, en Q_{10} , notre compteur divisera la fréquence des crêteaux d'entrée par 1 024 ; la période du crêteau disponible est donc égale à 1 024 t, comme l'indique le tableau de la figure 3.

Notons que l'entrée « Reset » doit être reliée à un état bas pour que le compteur fonctionne. Toute impulsion positive présentée sur cette entrée a pour effet immédiat la remise à zéro du compteur. Si on soumet cette entrée Reset à un état haut permanent, le compteur reste bloqué sur sa position zéro, et les transitions négatives des signaux acheminés sur l'entrée de la première bascule restent sans effet.

IV - UTILISATION

(fig. 4)

D'une façon générale, un tel circuit intégré permet l'obtention de temporisations de durées relativement importantes en partant de fréquences



Q4	16 t	Q9	512 t
Q5	32 t	Q10	1024 t
Q6	64 t	Q12	4096 t
Q7	128 t	Q13	8192 t
Q8	256 t	Q14	16384 t

$$T = 2^n \times t$$

Valeur de la période aux différents sorties pour une période Q_0 égale à « t ».

Fig. 3

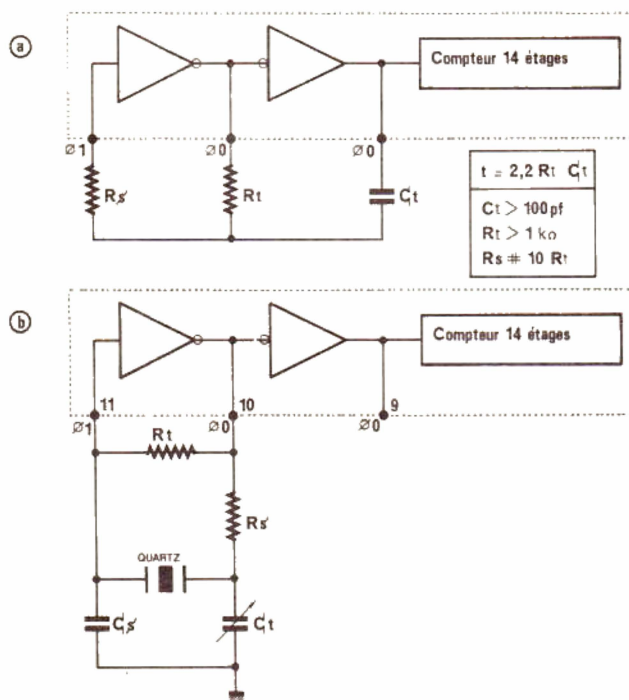
Fig. 2 Oscillogrammes de fonctionnement.

ces de base élevées, ce qui donne à l'ensemble une bien meilleure précision que si l'on « fabriquait » ces longues durées à l'aide du classique dispositif reposant sur la charge-décharge d'une capacité de valeur élevée.

La figure 4a indique un exemple d'utilisation des entrées 0, pour former un multivibrateur à circuit RC. Rappelons qu'un tel dispositif re-

pose sur le principe de la charge suivie d'une charge en sens inverse d'une capacité à travers une résistance en se servant de deux portes inverseuses-trigger. La figure 2

Fig. 4 Exemples d'utilisation.



montre l'allure des potentiels au niveau des différents points du montage.

On remarque que le mode de sollicitation de la capacité C_t implique que cette dernière ne soit pas du type polarisé. On peut calculer la période « T » des oscillations obtenues. En effet, pendant une demi-période, lorsque le potentiel varie de $3U/2$ à $U/2$ ($U/2$ étant la valeur de basculement de l'inverseur à l'entrée Φ_1), il y a décharge de C_t dans R_t suivant la loi exponentielle comme : $u = u_0 e^{-t/RC}$, ce qui nous permet d'écrire l'égalité :

$$\frac{U}{2} = \frac{3U}{2} e^{-t/RC}$$

$$\text{soit } e^{t/RC} = 3.$$

Ce qui donne $t/RC = \ln 3$ (\ln : logarithme népérien),

$$\text{soit } t_1 = 1,0986 RC \approx 1,1 RC.$$

On monterait de la même façon que, lorsque le potentiel varie de $-U/2$ à $U/2$, on obtient une durée t_2 de la même valeur.

En conséquence :

$$T = t_1 + t_2 = 2,2 R_t C_t.$$

La figure 4b illustre la mise en œuvre d'un quartz, ce qui donne à l'ensemble une très grande précision étant donné que la fréquence disponible sur Φ_0 est celle pour laquelle le quartz a été taillé. En effet, ce dernier vibre « mécaniquement » et à une période très stable. Cette propriété est d'ailleurs utilisée dans les montres à quartz.

D

ouble trace, bande passante 20 MHz.

- Ligne à retard.
- Testeur de composants.

- Déclenchement variable.
- Recherche automatique de trace.
- Livré avec deux sondes mixtes (1/1 et 1/10).

Le modèle 9020 de Beckman Industrial présente un ensemble de possibilités afin de satisfaire les besoins les plus divers que l'on peut trouver dans différents domaines d'applications tels que : enseignement, service maintenance, particuliers.

Il est équipé d'un tube cathodique rectangulaire 8 cm x 10 cm ; sa tension d'accélération est de 2 kV.

Il est possible de l'utiliser en modulation par le Wehnelt (axe Z). Une impulsion TTL positive de 50 ns minimum bloque le faisceau cathodique.

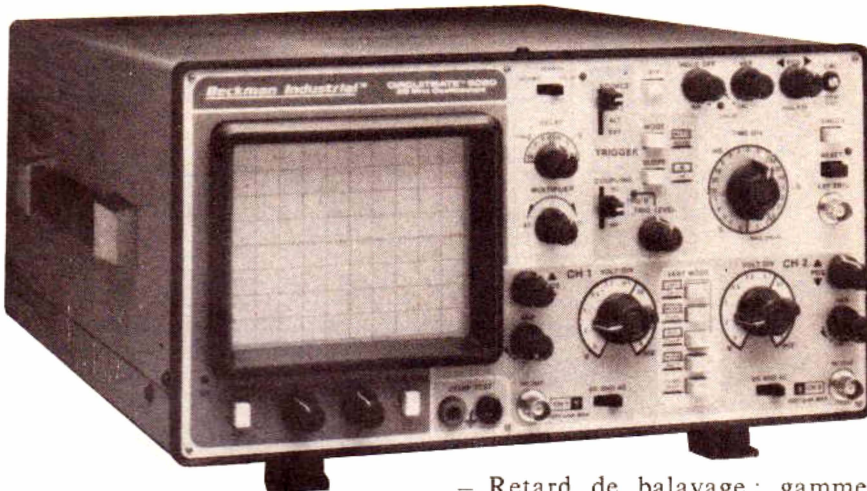
La recherche automatique de trace permet une localisation rapide du faisceau, quel que soit le réglage des boutons de contrôle.

L'alignement de la trace peut être effectué par un réglage extérieur, situé sur le côté droit de l'appareil. L'appareil dispose d'une sortie calibrée, onde carrée (1 kHz \pm 5 %) d'amplitude 0,2 V crête-crête.

DEVIATION VERTICALE

- La bande passante va de DC à 20 MHz (-3 dB).
- Le temps de montée est de 17,5 ns.
- Overshoot : inférieur à 3 %.
- Les calibres d'entrée sont les suivants : 5 mV/div., jusqu'à 5 V/division, séquence 1.2.
- Précision : \pm 3 % dans la plage de température 10 °C - 35 °C.
- Contrôle variable d'amplitude : rapport 5/1, accroît la sensibilité jusqu'à 1 mV/div. (bande passante 10 MHz à 3 - dB).
- Impédance d'entrée : 1 M Ω , 25 pF (2 %).
- Tension maximum d'entrée : 400 VDC ou crête positive AC ; 500 V crête-crête.
- Mode de fonctionnement :
 - Canal 1, Canal 2, Canal 1 et 2 alterné ou choppé (approx. 500 kHz).
 - Canal 1 + Canal 2, ou Canal 2 - Canal 1.
 - Inversion : sur Canal 1.

Beckman, qui affirme sa volonté de se positionner sur le marché de l'oscilloscope, complète sa gamme des 60 MHz et 100 MHz par l'introduction d'un 2 x 20 MHz.



DEVIATION HORIZONTALE

- Base de temps, 20 pas de calibrage allant de 0,1 μ s/div. jusqu'à 0,2 s/div. Séquence 1.2.5. en position calibrée.
- Position non calibrée variable augmente le taux de déviation dans un rapport 2,5/1 (jusqu'à 0,5 s/div).
- Précision : meilleure que 3 % dans la plage 10 °C - 35 °C.
- Loupe : X 10 précision inférieure à 5 %.
- Balayage unique : sélection par le commutateur Single ou Sweep, visualisation par LED.
- Temps de relaxation : le réglage du contrôle Hold Off permet de régler dans un rapport 1/10 le taux de relaxation.
- Amplitude : environ 5 V crête-crête, sortie sur panneau arrière.

DECLenchement

- Mode de déclenchement : auto (sur crête) ou normal.
- Source : CH1, CH2, ALT (ch1/ch2), ext.
- Couplage : AC - DC - BF - HF.
- Rampe : positive (+) ou négatif (-).
- Sensibilité : interne 0,5 div. (10 Hz - 20 MHz) ; externe 0,5 V (minimum).
- Bande passante : DC à 30 MHz.
- Niveau de déclenchement : contrôle variable, indication par LED.

- Retard de balayage : gamme 10.1 0,1 μ s 1 0,1 ms ; mode : normal recherche, retardé ; multiplication : 10 tours variable (1.10).
- Fonctionnement en X/Y : sélection par le commutateur X-Y.
- Bande passante : DC à 2 MHz (3 dB), CH1, XCH2
- Déphasage X/Y : inférieur à 3 degrés.

Testeur de composants : permet de contrôler courts-circuits, résistances, condensateurs, enroulement primaire de transformateur, jonction. Zener, etc. (voir fig. 4.4. pour forme d'ondes obtenues).

Les contrôles se font sous 8,6 Veff, 28 mA, 50 Hz.

Paramètres généraux :

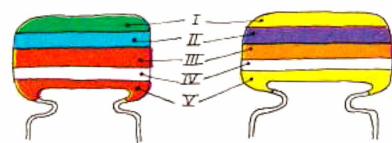
- Consommation : 35 W.
- Dimensions : 310 mm x 160 mm x 400 mm.
- Poids : 9 kg.

CONCLUSION

Avec l'introduction de ce nouvel oscilloscope sur le marché français, Beckman élargit sa gamme d'oscilloscopes analogiques, sur un créneau particulièrement porteur. Compte tenu des excellentes caractéristiques de cet appareil comparé à son prix de vente public de 3 995 F HT, il est certainement appelé à connaître un large succès commercial.

Il est actuellement disponible dans tout le réseau de distribution Beckman Industrial.

Sa garantie est de un an, pièces et main-d'œuvre.



5600 pF

47000 pF

IV : tolérance
blanc $\pm 10\%$
noir $\pm 20\%$

V : tension
rouge 250V
jaune 400V

I 1 ^{er} chiffre	II 2 ^{ème} chiffre	III multiplicateur
1	0	X 1
2	1	X 10
3	2	X 100
4	3	X 1 000
5	4	X 10 000
6	5	X 100 000
7	6	
8	7	
9	8	
	9	

exemple 10.000 pF, $\pm 10\%$, 250V distribution des couleurs : marron, noir, orange, blanc, rouge



tolérance : or $\pm 5\%$ argent $\pm 10\%$

1^{ère} bague 1^{er} chiffre 2^{ème} bague 2^{ème} chiffre 3^{ème} bague multiplicateur

	0	X 1
1	1	X 10
2	2	X 100
3	3	X 1 000
4	4	X 10 000
5	5	X 100 000
6	6	X 1 000 000
7	7	
8	8	
9	9	

ADMINISTRATION-REDACTION-VENTES : Société des Publications Radio-Électriques et Scientifiques.



Société anonyme au capital de 300 000 F.
2 à 12, rue Bellevue, 75940 Paris Cedex 19.
Tél. : 42.00.33.05. - Télex PVG 230 472 F
Directeur de la publication : A. LAMER
Directeur honoraire : Henri FIGHIERA « Le précédent numéro a été tiré à 110 000 ex. »
Rédacteur en chef : Bernard FIGHIERA
Maquettes : Jacqueline BRUCE
Couverture : M. Raby. Avec la participation de G. Isabel, M. Croquet, D. Roverch, G. Amonou, R. Knoerr, S. Canet, R. Rateau, P. Wallerich, A. Garrigou.
La Rédaction d'Electronique Pratique décline toute responsabilité quant aux opinions formulées dans les articles, celles-ci n'engagent que leurs auteurs.

PUBLICITE : Société Auxiliaire de Publicité, 70, rue Compans, 75019 Paris. - Tél. : 42.00.33.05 (lignes groupées)
CCP Paris 3793-60
Directeur commercial : Jean-Pierre REITER
Service publicité : Pascal DECLERCK
Promotion : Société Auxiliaire de Publicité
Mauricette ELHINGER
70, rue Compans, 75019 Paris. Tél. : (1) 42.00.33.05
Direction des ventes : Joël PETAUTON
Abonnements : Odette LESAUVAGE

ABONNEMENTS : Abonnement d'un an comprenant : 11 numéros ELECTRONIQUE PRATIQUE - Prix : France : 176 F. Voir notre tarif « Spécial abonnement » p. 36.
Nous laissons la possibilité à nos lecteurs de souscrire des abonnements groupés, soit :
LE HAUT-PARLEUR + ELECTRONIQUE PRATIQUE à 240 F - Etranger à 425 F
SONO + LE HAUT-PARLEUR + ELECTRONIQUE PRATIQUE à 360 F - Etranger à 635 F
En nous adressant votre abonnement précisez sur l'enveloppe « SERVICE ABONNEMENTS », 2 à 12, RUE BELLEVUE, 75940 PARIS CEDEX 19.

Important : Ne pas mentionner notre numéro de compte pour les paiements par chèque postal - Prix d'un numéro 16 F
Les règlements en espèces par courrier sont strictement interdits.
ATTENTION ! Si vous êtes déjà abonné, vous faciliterez notre tâche en joignant à votre règlement soit l'une de vos dernières bandes-adresses, soit le relevé des indications qui y figurent. ●
Pour tout changement d'adresse, joindre 1 F et la dernière bande.

Electronique pratique

N° 94 JUIN 1986

SOMMAIRE

PAGE

REALISEZ VOUS-MEMES

Un décodeur binaire, décimal, hexadécimal	51
Un gadget, passeport pour la drague	58
Une alimentation pour mini-perceuse	61
Une alimentation double 2 x 30 W / 2,5 A	66
Un simulateur de présence	91
Un testeur logique	113

EN KIT

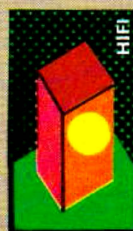
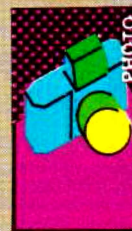
L'allumage électronique EXPE 16 MTC	75
Le thermomètre RAM THD 0/100	81

PRATIQUE ET INITIATION

Le multimètre MAN'X 500 CDA	85
La photogravure	112
Les applications des C.MOS	119
Choix et utilisation des générateurs BF	123
Dépannez vous-mêmes	130
Fiche technique : le CD 4060	28

DIVERS

Encart EDUCATEL 67-68-69-70



Les Cyclades Radio

11, bd Diderot - 75012 PARIS

(Face gare de Lyon)

Tél. 46.28.91.54

OUVERT TOUTS LES JOURS

SAUF DIMANCHE

et JOURS FÉRIES

de 9 h 30 à 12 h 30 et
de 14 h à 19 h

LA MESURE AUX CYCLADES



MULTIMÈTRES BECKMANN

DM 15 compact
toutes
fonctions . 599 F

DM 20 comme DM 15 + mesureurs gain
transistors . 699 F

DM 25 comme DM 15 + mesureur de

capacités . 799 F

DM 45 . 907 F

DM 77 . 675 F

DM 73 . 627 F

NOUVEAU !
Générateur de fonction
FG 2 . 1 978 F

MULTIMÈTRES METRIX

MX 522 . 884 F

MX 202 . 1020 F

MX 462 . 742 F

MX 111 . 558 F

MULTIMÈTRES PANTEC

MAJOR 20 K - 20 ΩV universel . 399 F

MAJOR 50 K - 40 ΩV . 590 F

Pan 3003 numérique . 890 F

MULTIMÈTRE détecteur de métaux :

explorer . 659 F

MULTIMÈTRE CENTRAD

312 + 20 ΩV, 40 gammes de

mesures . 299 F

819 ΩV 80 gammes de mesures . 498 F

MULTIMÈTRES MONACOR



PT 1000 - Multimètre
Monacor, mini-format
10 000 ΩV, 15 calibres.
VAC/DC = 1000 V ;
I = 500 mA ; Ω = 10 MΩ
Décalés = - 20 à + 62 dB
PRIX : 136 F

DMT 850 TC MONACOR

Multimètre digital à affichage

LCD 12 mm, avec contrôleur

de transistors. VDC =

1 000 V ; VAC = 500 V ;

I = 200 mA ; Ω = 2 000 kΩ ;

Transistors = NPN et PNP 0 à

1 000. PRIX : 386 F



DMT 870 : Nouveau

multimètre digital MONACOR à

affichage LCD, avec test

transistors/diodes.

VDC = 1 000 V ; VAC =

500 V ; I = 10 A ;

Ω = 20 MΩ ; transistors =

PNP et NPN 0 à 2 000 ;

Inversion polarité

automatique ; réglage - 0 -

automatique PRIX : 399 F



RD 1000 MONACOR

Boîte DECADE à résistances

1 %. Pour utilisation en labo

à l'atelier ou école

d'électronique. Résistances de

1 W = 1 Ω à 11 MΩ en 28

commutateurs. PRIX : 599 F



PROMOTION

MULTIMÈTRE : Pocket 2 000 ΩV.

DC.AC. . 95 F

ALIMENTATIONS

« ELC »



Fixes stabilisées

AL 784 triple protection 12,5 V - 3 A . 326 F

AL 785 triple protection 12,5 V - 5 A . 439 F

AL 813 triple protection 13,8 V - 10 A . 736 F

Réglables - stabilisées

AL 841 - 3 - 4,5 - 6 - 7,5 - 9 et 12 V - 1 A . 196 F

AL 745 AX - 0 à 15 V - 0 à 3 A . 593 F

AL 812 - 0 à 30 V - 0 à 2 A . 682 F

AL 781 - 0 à 30 V - 0 - 5 A . 1619 F

NOTRE CATALOGUE

en vente au magasin 20 F - par courrier 28 F

FERS A SOUDER PHILIPS

Écotherm 410 - 220 V - 30 W panne

longue durée . 112 F

Mini super 25 et 50 W - 3 fils panne

longue durée. PRIX . 135 F

Fer soudeur désoudeur type JOLY J 40 D

40 W - 220 V livré avec 3 buses +

1 panne. PRIX . 266 F

PROMOTION

Pompes à dessouder PH 18 livrée avec

2 embouts . 79 F

FER A SOUDER

(avec prise de terre)



14 W, 220 V avec panne longue

durée . 125,70 F

30 et 40 W avec panne longue

durée . 112,70 F

Support universel . 78,30 F

Élément à dessouder . 87,80 F

Panne dil . 160,40 F

Pince à extraire . 138,70 F

BOITES DE CONNECTION LAB

sans soudure au pas 2,54 mm

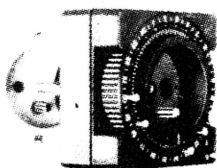
LAB 330 . 72,00 F

LAB 500 . 95,00 F

LAB 630 . 125,00 F

LAB 1000 . 185,00 F

PLUS DE GASPILLAGE



THEBEN

-TIMER

179 F

Programmateur horaire 24 heures (emploi

rationnel du chauffage).

alm. 220 V, 50 Hz, charge maxi 3500 W.

MICRO ET MEMOIRES

RAMS : 2114-3 . 32,00 F SPO 256 AL2 . 150,00 F

RAMS : 4116-3 . 35,00 F Z 80 CP 4 . 48,00 F

RAMS : 4164-3 . 36,00 F Z 80 DM 4 . 90,00 F

RAMS : Z 80 510 . 120,00 F

41256-C . 120,00 F Z 80 CTC . 49,00 F

RAMS : Z 80 P 10 . 45,00 F

4364-C . 125,00 F 6800 . 58,00 F

RAMS : 6116-3 . 75,00 F 6802 . 54,00 F

CIRCUITS INTEGRÉS 6808 . 45,00 F

SPECIALUX 6809 . 120,00 F

EF 7910 PL . 260,00 F 6810 . 24,00 F

EF 9340 . 85,00 F 6821 . 26,00 F

EF 9341 . 95,00 F 6840 . 55,00 F

EF 9345 . 150,00 F 6850 . 26,50 F

EF 9364 . 90,00 F 6852 . 32,00 F

EF 9365 . 360,00 F EPROM : 2716 . 45,00 F

EF 9366 . 360,00 F EPROM : 2732 . 70,00 F

EF 9367 . 495,00 F EPROM : 2764 . 155,00 F

MAB 8400 B-6 . 250,00 F EPROM :

MEA 8000 B-6 . 150,00 F 27128 . 105,00 F

CIRCUITS INTEGRÉS JAPONAIS

2 SC 1038 . 13,30 F TA 7129 AP . 16,00 F

2 SC 1945 . 64,00 F TA 7137 AP . 18,10 F

AN 214 Q . 50,00 F TA 7139 P . 23,10 F

BA 301 . 18,70 F TA 7205 P . 24,00 F

BA 311 . 18,70 F TA 7215 AP . 41,70 F

BA 511 . 27,50 F TA 7217 P . 25,75 F

HA 1156 W . 24,90 F TA 7223 P . 34,60 F

HA 1306 W . 37,25 F TA 7225 P . 55,00 F

HA 1339 . 36,40 F TA 7227 P . 54,50 F

HA 1366 W . 28,50 F TA 7230 P . 34,60 F

LA 3350 . 20,40 F UPC 1181 H . 44,50 F

M 51517 L . 40,80 F UPC 1182 H . 23,95 F

STK 0039 . 79,90 F UPC 1185 H . 44,50 F

STK 435 . 89,60 F UPC 1186 H . 16,00 F

STK 463 . 211,10 F UPC 1212 C . 21,30 F

TA 7120 P . 13,90 F UPC 1213 C . 23,10 F

TA 7122 BP . 14,90 F UPC 1277 H . 57,70 F

PROMOTION

Inter à clé . 30 F

Contacts choc . 25 F

Contact magnétique inverseur . 25 F

Transducteurs ultra son la paire . 50 F

Sirènes DS 12 K (son modulé) 12 V . 140 F

NECESSAIRE POUR CIRCUITS IMPRIMÉS

Plaques cuivrées brutes

en Bakelite époxy époxy

mm 1 face 2 faces

75 x 100 4,75 7,50 8,25

100 x 150 8,25 14,00 15,50

150 x 200 15,50 27,50 30,25

200 x 300 29,00 53,25 58,50

Plaques présensibilisées positives

en Bakelite époxy époxy

mm 1 face 2 faces

75 x 100 8,50 14,50 19,00

100 x 150 16,50 27,00 38,75

150 x 200 30,50 54,00 64,00

200 x 300 60,50 102,00 126,25

MACHINE A GRAVER

GRAV'CI 2 . 998 F

Surface de gravure 180 x 240 mm

contenance 3 litres (chauffage) . 998 F

GRAV'CI 3 . 1 817 F

Surface de gravure 270 x 410 mm,

contenance 7 litres (chauffage).

● Chauffage réglable de 18 à 50°

● Pompe à débit réglable.

Tube ultra violet 43 cm . 58,00 F

Transfo pour 2 tubes . 52,00 F

Douilles . 5,00 F

Starter . 7,85 F

Supports de starter . 3,60 F

GRAND CHOIX DE HAUT-PARLEURS AUDAX SIARE

MONACOR

SP 45 Ø 80 mm, 4 et 8 Ω 45 W . 65 F

SP 60 Ø 120 mm, 4 et 8 Ω 60 W . 85 F

KITS PANTEC

N. 2 Microémetteur FM . 106 F

N. 3 Alimentation stabilisée 2 à 30 V 197 F

N. 4 Préampli RIAA . 167 F

N. 5 Ampli stéréo 2 x 10 W . 225 F

N. 6 Ampli stéréo 2 x 40 W . 391 F

N. 7 Filtre préampli . 200 F

N. 8 Contrôleur de tonalité . 217 F

N. 9 Thermomètre digital . 375 F

N. 10 Variateur pour moteur cc . 134 F

N. 11 Émetteur FM 3 W avec

antenne . 184 F

N. 12 Allumage cyclique . 160 F

N. 13 Émetteur à un canal pour

R.C. . 139 F

N. 14 Récepteur à un canal pour

R.C. . 223 F

N. 102 PROTOBOARD . 85 F

N. 204 PROTOBOARD . 173 F

N. 306 PROTOBOARD . 425 F

MODULES

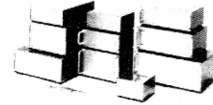
PAN 007 . 146 F

SOS GAZ . 362 F

PAN 501 Allumage Électronique . 323 F

PAN 502 Centrale d'alarme . 370 F

COFFRETS ESM



Type DIM, lar. x Haut. x Prof. en mm

EC 12/07 FP-FA-FO 120 x 70 x 120 . 64,00 F

EC 15/05 FA-PP-FO 150 x 50 x 120 . 64,00 F

EC 18/07 FP-FA-FO 180 x 70 x 120 . 68,00 F

EC 18/07 FA-250 180 x 70 x 250 . 102,00 F

EC 20/08 FP-FA 200 x 80 x 130 . 77,00 F

EC 20/12 FA 200 x 120 x 130 . 99,00 F

EC 20/12 FA-250 200 x 120 x 250 . 145,00 F

EC 24/08 FA 240 x 80 x 160 . 104,00 F

EC 26/10 FA 260 x 100 x 180 . 123,00 F

saint quentin radio

6, RUE ST QUENTIN
75010 PARIS

tél
46 07 86 39

Métro gare de l'Est
et du Nord
Angle Bd de Magenta
Attention ! fermeture...

Ouvert tous les jours sauf
dimanche et jours fériés 9 h 30
à 12 h 30 - 14 h à 19 h
... le samedi à 18 h 30

BATTERIES RECHARGEABLES

BATTERIES ÉTANCHES

Volts	Amp.	Long. (mm)	Prof. (mm)	Haut. (mm)	Poids (g)	Prix
6	1,1	51	42	50	227	100 F
6	3	135	34	60	590	135 F
6	4,5	152	34	94	1090	185 F
6	10	152	51	95	1700	250 F
12	1,9	178	34	61	680	210 F
12	3	135	68	60	1200	250 F
12	6	156	62	100	2200	280 F
12	15	153	102	95	3400	350 F
12	30	156	123	100	4300	480 F
12	66	125	166	7800	650 F	



Du plus gros au plus petit
gamme : fiabilité, solidité méca.

TRANSISTORS TESTEURS «BK»

BK 510 1920 F
BK 520B 3400 F

Réservé à un usage professionnel du fait de leur prix, ces deux appareils vous feront gagner du temps et forceront de l'argent. L'atout n°1 de ces testeurs réside dans la possibilité de tester les transistors (définition du gain, polarité, bon ou mauvais) sans dessoudage.

CAPACIMETRES BK

BK 820B 2313 F
BK 830B 3370 F

MÂLE		FEM.	
3 br 30 F	35 F	3 br 30 F	35 F
4 br 35 F	45 F	4 br 35 F	45 F
5 br 50 F	60 F	5 br 50 F	60 F

MÂLE CHASSIS		FEM. CHASSIS	
3 br 30 F	35 F	3 br 30 F	35 F
4 br 35 F	45 F	4 br 35 F	45 F
5 br 45 F	64 F	5 br 45 F	64 F

FICHES DIN A VISSER

Prolongateur		Châssis	
Mâle	Fem.	Mâle	Fem.
3 br 30 F	30 F	3 br 30 F	30 F
5 br 180°	30 F	30 F	30 F



ZILOG

Z 80 A CPU	49 F
Z 80 A CTC	49 F
Z 80 A PIO	49 F
Z 80 A DMA	125 F
Z 80 A SIO	120 F
Z 80 A DART	100 F

SERVICE PHOTOCOPIES 0,50 F avec l'achat du composant. 1 F sans l'achat du composant par photocopie

TRANSISTORS

La pièce	MJ	TIP
BD	15004 49 F	122 13 F
135/136	15024 70 F	127 14 F
137/138	15025 82 F	132 15 F
139/140		137 17 F
237/238	06 4 F	2955 12 F
433/434	13 5 F	3055 10 F
677/678	56 4 F	
683/684	63 5 F	
BDS		2N
33C	06 13 F	1711 4 F
34C	07 15 F	2219A 4 F
66B	56 16 F	2222A 3 F
66C	57 16 F	2369A 5 F
67B		2646 9 F
67C	237 51 F	2904A 4 F
77	238 265 F	2905A 4 F
78	450A 270 F	2907A 3 F
BFR		3053 5 F
90	29A 7 F	3054 10 F
91	29C 8 F	3055 10 F
BF	30A 8 F	3440 11 F
245A	30C 9 F	3442 18 F
245B	31A 8 F	3773 25 F
245C	31C 9 F	3819 7 F
BUX	32A 9 F	3904/06 3 F
37	32C 10 F	4400/01 3 F
81	33A 11 F	4402/03 3 F
BU	33C 12 F	4416 13 F
108	34A 12 F	5210 4 F
126	34C 14 F	5415 14 F
208 A	35A 19 F	5457 7 F
J	35C 22 F	5458 7 F
300	36A 19 F	5459 7 F
MJ	36C 22 F	5461 7 F
2501	41A 9 F	5462 7 F
2955	41C 11 F	5551 6 F
3001	42A 10 F	
15001	42C 12 F	3N
15002	47 F	128 25 F
15003	45 F	201 14 F
		211 17 F
		40673 28 F

OPTO

Ø 3 mm ou Ø 5 mm	
Rouge .1,75/1	12 Fles 10
Vert .1,75/1	13 Fles 10
Jaune .1,75/1	13 Fles 10
MCT 2	11 F
6	23 F
8	29 F
MCA 7	54 F
TIL 111	11 F
113	17 F
117	19 F
MCS 2400	29 F
MOC 3020	19 F
Afficheurs 8 mm rouge	
MAN 72A	20 F
73A	20 F
74A	20 F
Afficheurs 13 mm rouge	
Anode Cne	14 F
Cathode Cne	14 F
Polarité	14 F

PONTS

1 A		3,3 A		10 A	
50V	5 F	80V	11 F	50V	19 F
100V	5 F	160V	12 F	200V	20 F
200V	5 F	500V	12 F	400V	21 F
400V	6 F				
600V	6 F				
25A		35A			
50V	23 F	50V	28 F		
200V	23 F	400V	30 F		
400V	27 F	600V	33 F		
600V	29 F				

TRIACS

6/8A 7 F	0,8A	1,6A	8 A
10A 12 F	50V 5 F	50V 12 F	200V 13 F
15A 14 F	200V 7 F	200V 13 F	600V 17 F
25A 29 F	400V 9 F	400V 15 F	
40A 52 F			

THYRISTORS

ZENER

BZX 46C 0,4 WATT	
2 V 7 à 56 V	PU 2,00 F
BZX 85C 1,3 WATT	
2 V 7 à 56 V	PU 2,50 F
BZX 48C 5 WATT	
4 V 7 - 5,1 - 5,6 - 8,2 - 9,1 - 12 - 15 - 18 - 24 V	PU 6,00 F

CIRCUITS LINÉAIRES

ADC	LM	TBA
800	199 F	1871N 75 F
804	75 F	1872N 87 F
808	175 F	1877N 61 F
809	92 F	2917N8 42 F
		2917N14 42 F
3005	25 F	3900N 12 F
3046	15 F	3911N 33 F
3052	34 F	3914N 59 F
3059	34 F	3915N 59 F
3080	15 F	3916N 65 F
3086	9 F	4250N 35 F
3089	27 F	13700N 24 F
3130E	20 F	
3130T	20 F	7 43 F
3140E	20 F	230 20 F
3140T	20 F	255 15 F
3146	25 F	
3161	25 F	
3162	85 F	
DAC		
0800	46 F	2 11 F
0831	75 F	6 18 F
0832	50 F	8 28 F
LF		
351N	9 F	1309 25 F
353N	12 F	1310 20 F
356N	14 F	1312 28 F
356H	18 F	1315 35 F
357N	14 F	1466L 200 F
		3242P 120 F
		3357P 25 F
LM		
10CLN	50 F	3423P 15 F
10CN	94 F	3470P 72 F
35DZ	38 F	4558P 10 F
301N	7 F	6800P 50 F
307N	9 F	6802P 54 F
308N	18 F	6809P 90 F
308H	26 F	6810P 25 F
309K	25 F	6821P 25 F
311N	10 F	6840P 73 F
317L2	9 F	6845P 70 F
317K	28 F	6850P 25 F
317T	15 F	6860P 156 F
318N	20 F	14411P 130 F
319N	22 F	14412P 120 F
323K	23 F	14435P 118 F
324N	8 F	145106P 56 F
325N	35 F	
331N	70 F	
334Z	22 F	53200N 70 F
335H	22 F	
335Z	25 F	
336Z	20 F	
337LZ	18 F	
337K	34 F	
337T	22 F	
338K	90 F	
339N	9 F	
350K	79 F	
358N	8 F	
360N	84 F	
380N	18 F	
381N	25 F	
383T	52 F	
384N	39 F	
386N	15 F	
387N	19 F	
388N	22 F	
391N80	24 F	
396LK	280 F	
555N	5 F	
556N	11 F	
556N	13 F	
556N	45 F	
567N	18 F	
709N8	9 F	
710N	12 F	
710H	14 F	
723N	9 F	
733N	12 F	
741N8	5 F	
741N14	12 F	
747	10 F	
748	12 F	
1458N	8 F	
1496N	15 F	
1818N	42 F	
1830N	53 F	
1850N	25 F	
1870N	25 F	
		611812 20 F
		621AX1 32 F
		761A 12 F
		765A 15 F
		865A 11 F
		120S 11 F
		520 30 F
		560S 36 F
		529 35 F
		560S 36 F
		529 35 F
		2030 19 F
		2040 30 F
		2593 18 F
		2595 35 F
		570S 27 F
		580 32 F
		590 29 F
		2878 41 F
		3560 56 F
		3571 52 F
		3810 48 F
		4290 32 F
		4560 45 F
		5700 15 F
		576B 39 F
		5860 40 F
		7000 24 F
		611812 20 F
		621AX1 32 F
		761A 12 F
		765A 15 F
		865A 11 F
		120S 11 F
		520 30 F
		560S 36 F
		529 35 F
		2030 19 F
		2040 30 F
		2593 18 F
		2595 35 F
		570S 27 F
		580 32 F
		590 29 F
		2878 41 F
		3560 56 F
		3571 52 F
		3810 48 F
		4290 32 F
		4560 45 F
		5700 15 F
		576B 39 F
		5860 40 F
		7000 24 F
		611812 20 F
		621AX1 32 F
		761A 12 F
		765A 15 F
		865A 11 F
		120S 11 F
		520 30 F
		560S 36 F
		529 35 F
		2030 19 F
		2040 30 F
		2593 18 F
		2595 35 F
		570S 27 F
		580 32 F
		590 29 F
		2878 41 F
		3560 56 F
		3571 52 F
		3810 48 F
		4290 32 F
		4560 45 F
		5700 15 F
		576B 39 F
		5860 40 F
		7000 24 F

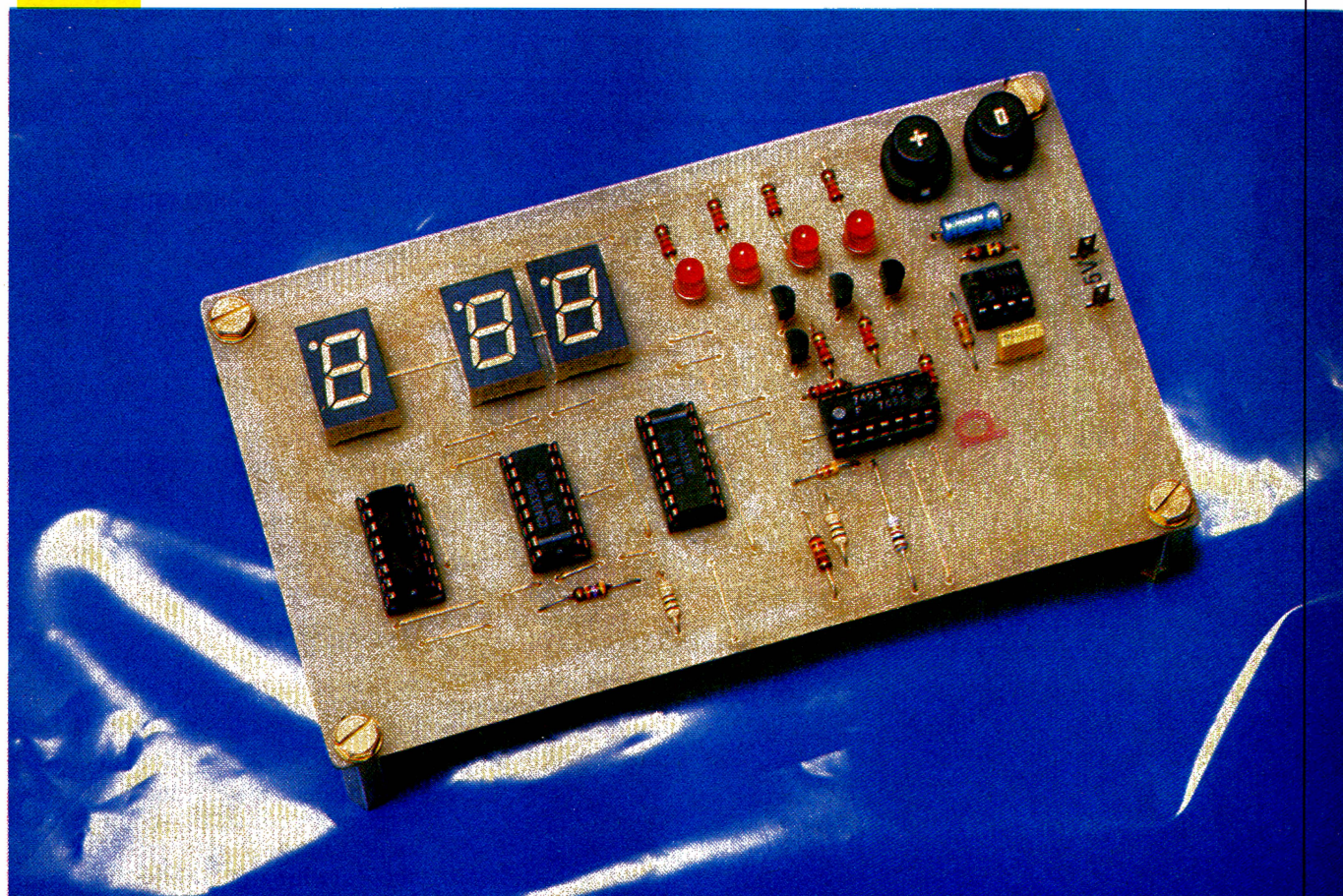
CIRCUITS LINÉAIRES

062	12 F	TL	ULM	
064	15 F	440N	15 F	2002A 22 F
071	8 F	489N	15 F	2003A 18 F
072	10 F	497N	23 F	2004A 16 F
074	18 F			
080	8 F	TMS		
081	8 F	1000	80 F	XR
082	12 F			2206CP 60 F
083	20 F	UAA		2240CP 30 F
084	16 F	170	28 F	4136CP 22 F
431CP	11 F	180	26 F	4151SP 22 F



DECODEUR BINAIRE DECIMAL ~ HEXADECIMAL

L'avènement des systèmes informatisés et la vogue des ordinateurs individuels ont fait découvrir au grand public un système de comptage original, à savoir le système binaire. Mais d'autres bases de comptage sont utilisées couramment, comme le comptage de l'heure en sexadécimal, ou la notation octale ou encore le système hexadécimal.



ous vous proposons de jongler bientôt avec ces diverses bases, en apprenant à traduire les nombres d'une base dans une

autre, et pour ce faire, la réalisation d'un petit décodeur électronique nous sera d'un grand secours, à l'instar de la règle à calcul ou de la calculatrice.

Electronique et informatique une fois de plus seront amenées à cohabiter.

1° Système décimal

C'est sans doute parce que l'homme possède 10 doigts que nous utilisons aussi facilement le système décimal, encore appelé système de comptage à base 10.

Les seuls chiffres utilisés vont de 0 à 9 :

0 1 2 3 4 5 6 7 8 9

Pour traduire un nombre plus grand que 9, nous serons amenés à n'utiliser que les 10 chiffres précédents, et pour éviter toute confusion, il est important de noter que la *place* ou le *rang* des chiffres est aussi important que le chiffre lui-même (les mathématiciens parlent de *poids* !). Il sera donc fait usage de dizaines, de centaines, de milliers, etc. après les unités.

Exemple :

7343

sept mille trois cent-quarante-trois ou encore 7 milliers

3 centaines

4 dizaines

3 unités

qui peut s'écrire :

$$7343 = 7 \times 100 + 3 \times 100 + 4 \times 10 + 3 \times 1$$

On retrouve ainsi les chiffres utilisés dans le système décimal multipliés par un nombre d'autant plus élevé que le rang est élevé. Ce coefficient est un multiple de 10, à savoir 10^2 , puis 10^3 , etc. Il est donc aisé à chacun de décomposer n'importe quel nombre entier décimal en une suite de puissances de 10.

A retenir : le coefficient est simplement la base à la puissance du rang, sans oublier le rang 0 qui sera toujours égal à 1 quelle que soit la base.

2° Le système binaire

En électronique, bon nombre de circuits utilisent la représentation binaire, en raison de la possibilité évidente de représentation électrique d'un état 1 (présence de tension) ou d'un état 0 (absence de tension). Le système binaire créé vers 1857 déjà par le mathématicien Georges Boole est basé sur le fait qu'une proposition doit être vraie ou fausse ; il ne subsiste aucune ambiguïté à ce niveau.

La numération binaire utilise donc la base 2 et, pour en saisir toute

l'utilité, il suffit de penser à l'importance de l'informatique de nos jours et à toute l'électronique digitale (horloges, compteurs, calculatrices, codes à barres). Cette utilisation paraît irréversible, car il ne semble pas qu'au niveau des machines, robots et autres calculateurs, il soit possible de trouver système plus simple et surtout plus facile à mettre en œuvre au cœur des circuits électroniques. La règle est la suivante :

une proposition vraie sera notée 1, une proposition fausse sera notée 0. Dans le cadre de nos réalisations électroniques, nous utilisons les termes état *haut* (niveau positif de l'alimentation) et état *bas* (potentiel de la masse).

Les chiffres utilisés sont peu nombreux : 0 et 1 exclusivement !

Voici les seize premières valeurs binaires et leur équivalent décimal :

0000	0
0001	1
0010	2
0011	3
0100	4
0101	5
0110	6
0111	7
1000	8
1001	9
1010	10
1011	11
1100	12
1101	13
1110	14
1111	15

$$214 = 1 \times 128 + 1 \times 64 + 0 \times 32 + 1 \times 16 + 0 \times 8 + 1 \times 4 + 1 \times 2 + 0 \times 1$$

d'où :

1 1 0 1 0 1 1 0

$$214 \text{ base } 10 = 11010110 \text{ base } 2$$

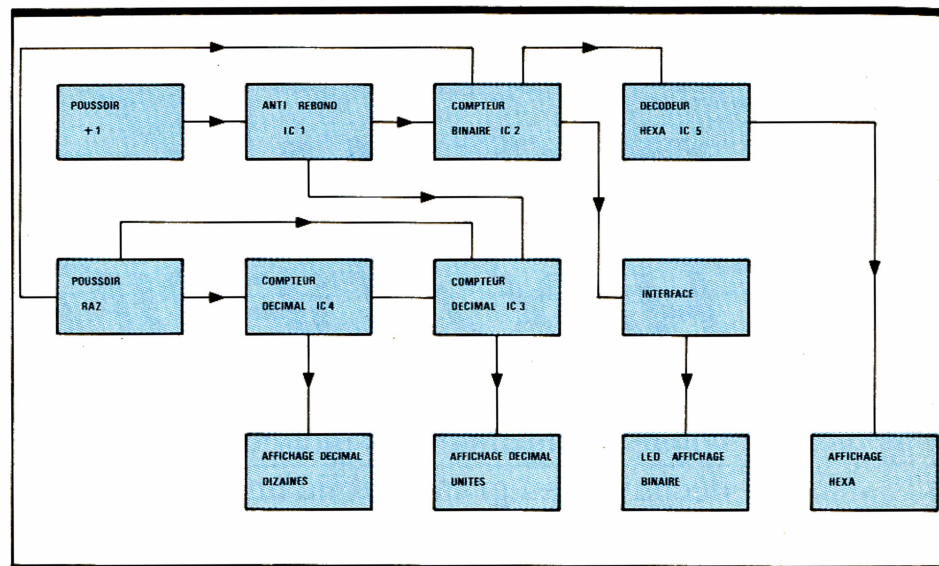


Fig. 1 Proposition synoptique du montage.

Pour traduire un nombre décimal en son équivalent binaire, il existe deux méthodes :

– **Méthode des puissances de 2 :** tout nombre décimal entier peut se décomposer en une suite de puissances de 2 dont voici les premières valeurs :

2^0	1
2^1	2
2^2	4
2^3	8
2^4	16
2^5	32

Ainsi le nombre décimal 214 peut s'écrire :

$$\begin{aligned} 214 &= 128 + 86 \\ &= 128 + 64 + 22 \\ &= 128 + 64 + 16 + 6 \\ &= 128 + 64 + 16 + 4 + 2 \end{aligned}$$

L'équivalent binaire de 214 est aisé à retrouver : il suffit de noter 1 les puissances de 2 retrouvées dans la décomposition et 0 celles non utilisées :

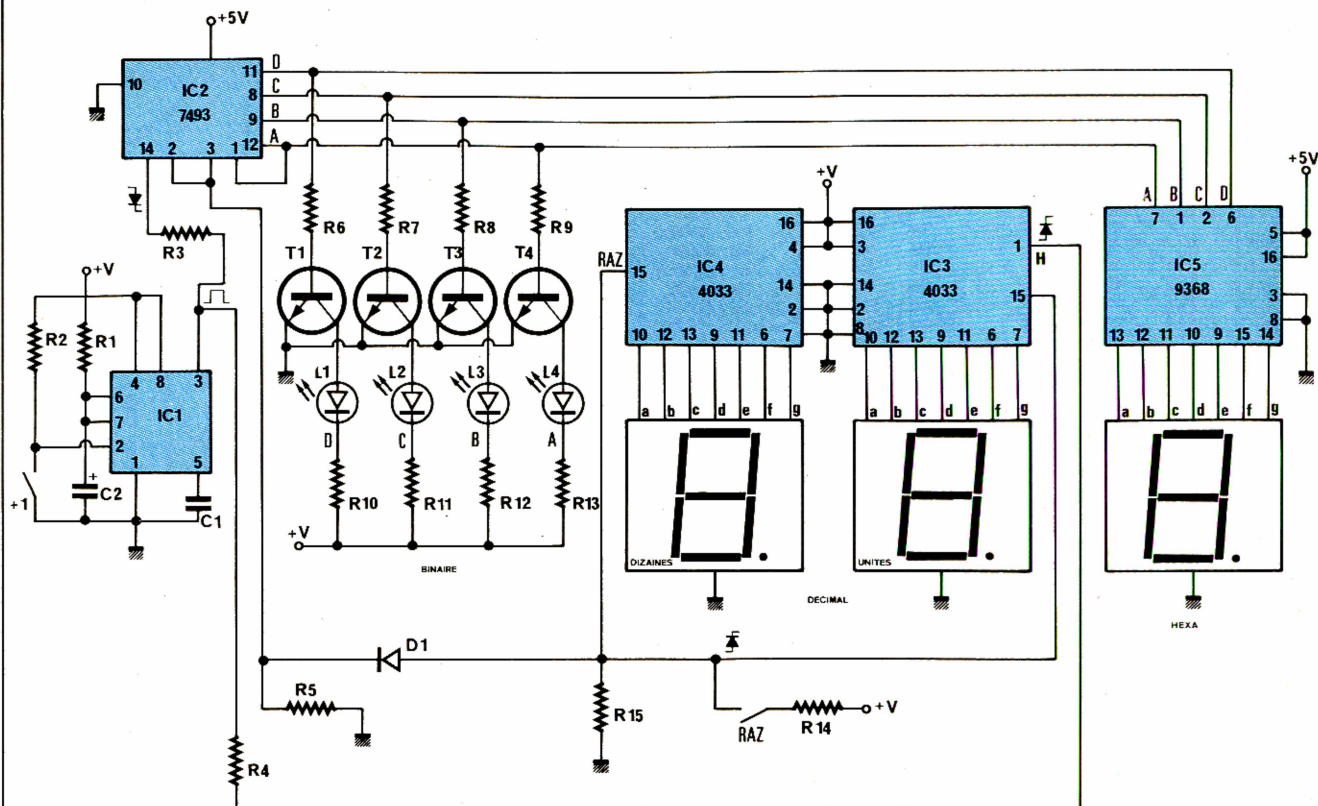


Fig. 2 Schéma de principe complet.

Cette méthode un peu longue est très voisine de la décomposition d'un nombre décimal en puissance de 10.

– **Méthode des divisions par 2 :** en opérant successivement des divisions par 2 et en relevant les restes, on arrive plus rapidement encore au même résultat.

Prenons encore une fois le nombre 214 :

214 : 2 = 107 reste 0
 107 : 2 = 53 reste 1
 53 : 2 = 26 reste 1
 26 : 2 = 13 reste 0
 13 : 2 = 6 reste 1
 6 : 2 = 3 reste 0
 3 : 2 = 1 reste 1
 1 : 2 = 0 reste 1

(ne pas oublier cette ligne)

le résultat se lit dans l'ordre inverse et on obtient 11010110.

Le passage du binaire au décimal est tout aussi aisé, puisqu'il suffit

d'ajouter l'équivalent des puissances de 2 présentes dans le nombre choisi.

3° Le système hexadécimal

Il est familier à tous les adeptes de la micro-informatique, et plus particulièrement à ceux qui se sont frottés à la manipulation du langage machine. Il est clair que la notation binaire, si elle est assimilable par les machines, est beaucoup plus délicate à utiliser par nous autres humains, en raison du peu de chiffres employés et du plus grand risque d'erreur. Une autre solution existe, pour nous permettre de travailler d'une manière plus fiable, étant entendu que la machine opère *toujours* en *binaire* au niveau de ses entrailles.

Les signes utilisés en hexadécimal sont bien sûr au nombre de 16, ce qui nous amène à réquisitionner quelques lettres de l'alphabet. On a :

hexadécimal	0	1	2	3	4	5	6	7	8	9	A	B	C	D	E	F
décimal	0	1	2	3	4	5	6	7	8	9	10	11	12	13	14	15

Cette notation apparemment saugrenue est très avantageuse et voici pourquoi : en binaire, le nombre 15, s'écrit 1111 et utilise 4 bits ou valeurs binaires ; le décimal utilise 2 signes ou 2 afficheurs si on doit réaliser cette visualisation. L'hexadécimal ne nécessite plus qu'un seul symbole, d'où une forte réduction du nombre de chiffres. L'écriture et la manipulation d'un nombre dans cette base se trouve fortement simplifiée et le nombre d'erreurs potentielles s'en trouve également réduit. Pour les nombres plus grands, il faut procéder comme pour les bases 10 et 2, c'est-à-dire employer les puissances de 16 !

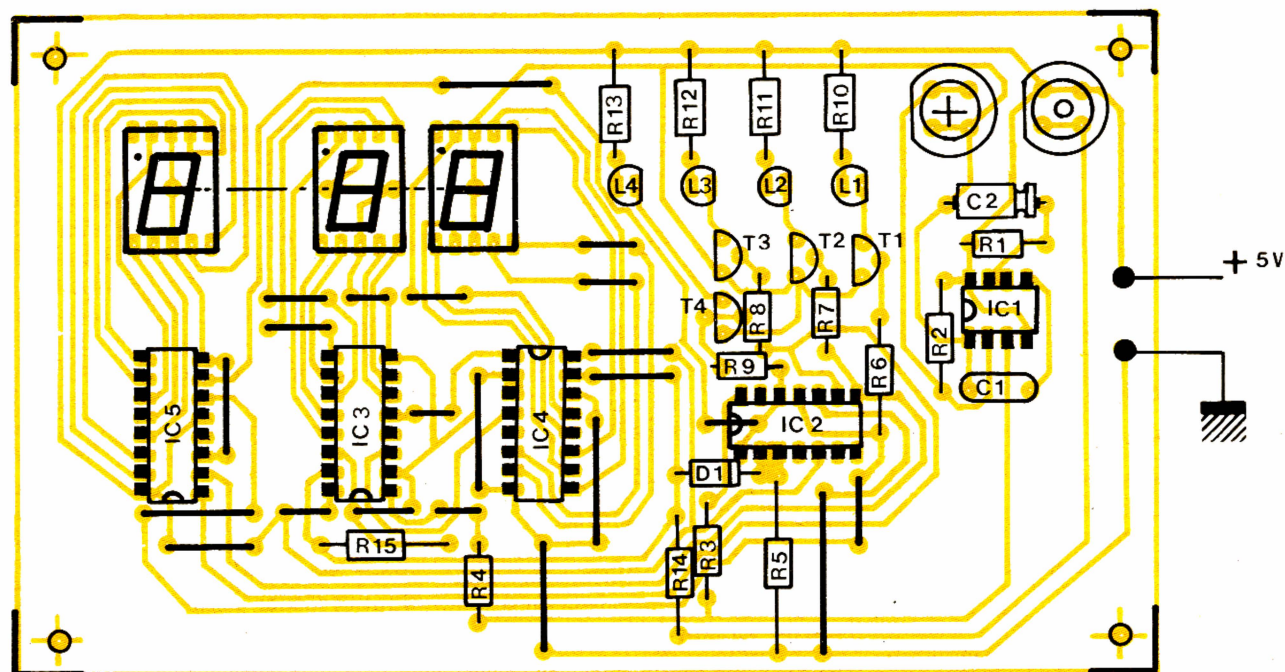
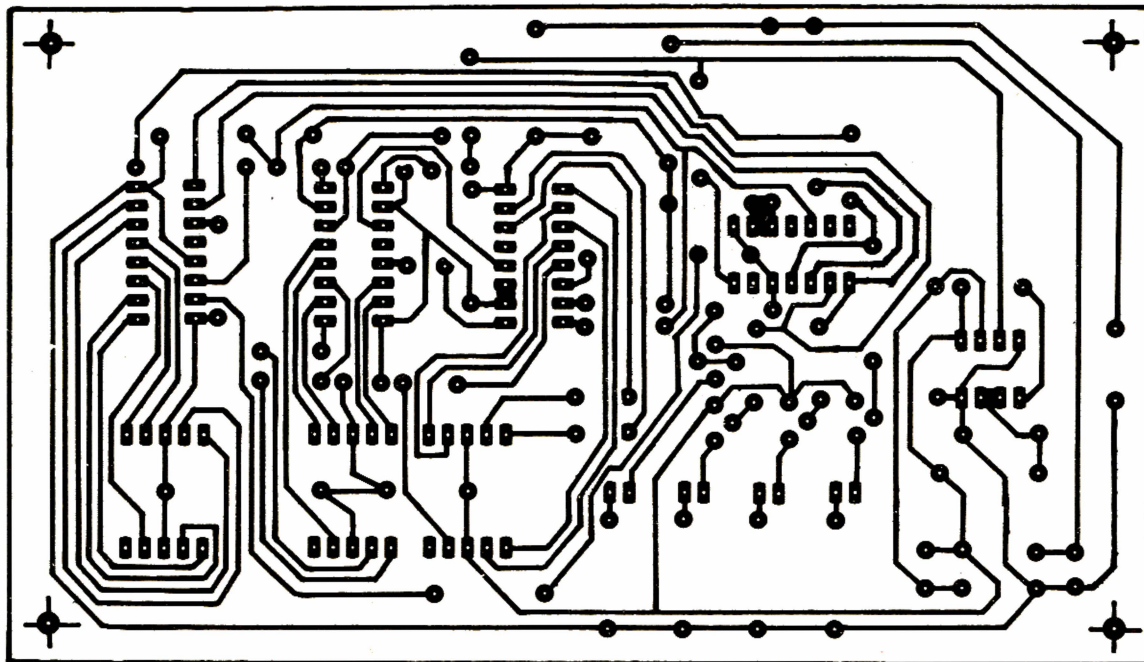
en décimal : 1 10 100 1000 ...

en binaire : 1 2 4 8 ...

en hexa : 1 16 256 4096 ...

Exemple : le nombre décimal 317 s'écrit :

$$\begin{aligned}
 317 &= 256 + 61 \\
 &= 256 + 3 \times 16 + 13 \\
 &= 1 \times 256 + 3 \times 16 + D \\
 317 \text{ base } 10 &= 13D \text{ base } 16
 \end{aligned}$$



Attention :

L'hexadécimal se retrouve aisément à l'aide du binaire et inversement, en prenant les bits par groupe de 4 à partir de la droite.

Exemple :

binaire	00011101101110010111
	1 13 11 9 7
hexadécimal	1 DB 9 7

en regroupant 1DB97

4° Le système octal

Cette numération utilise les 8 premiers chiffres seulement du système décimal, à savoir :

0 1 2 3 4 5 6 7

la progression se fait par :

1 8 64 512 ...

ainsi 432 décimal

$= 4 \times 64 + 48$

$= 6 \times 64 + 6 \times 8 + 0 \times 1$

432 base 10 = 660 base 8

Fig. 3
et 4

Le circuit imprimé se reproduira par le biais de la méthode photographique.

cette technique s'utilise sur certains automates programmables.

A partir du binaire, il suffit de prendre les bits 3 par 3 à partir de la droite toujours.

Exemple :

binaire	011 000 110 001
octal	3 0 6 1

soit 3061

B - PRINCIPE DU DECODEUR ELECTRONIQUE

Après ce long préambule, qui, nous l'espérons, vous aura peut-être incité à tester quelques conversions de base, nous arrivons enfin à l'objet du présent article, à savoir la construction d'un petit montage électronique destiné à visualiser à volonté un nombre décimal et son équivalent binaire et hexadécimal. Pour des raisons de simplicité, nous ne compterons que de 0 à 15, mais, comme vous le savez déjà, cela est amplement suffisant pour tous nos calculs. La représentation binaire sera lue simplement sur 4 LED qui s'allument à l'état 1. Deux afficheurs sont nécessaires pour lire la valeur décimale maximale de 15. Enfin, un dernier afficheur se chargera de nous donner les symboles hexadécimaux. Pour ce dernier, nous ferons appel à un petit circuit intégré spécialement conçu à cet effet, et qui, à partir des 4 bits délivrés par le classique compteur TTL 7493, attaque directement les 7 segments de l'affichage, et sans résistance s'il vous plaît ! Cette maquette n'ayant qu'un caractère didactique, il ne nous a pas semblé utile d'envisager une quelconque mise en coffret. Pour l'alimentation qui sera obligatoirement de 5 V en raison de la présence de 2 circuits TTL, il vous faudra choisir entre des piles de forte capacité ou une alimentation secteur classique.

Photo 2.

— Remarquez l'orientation des transistors.

C - ANALYSE DU SCHEMA ELECTRONIQUE

Il est donné dans sa totalité à la figure 2.

Le compteur 7493 sera activé par un dispositif anti-rebonds constitué par le circuit monostable 555 ; une action sur le poussoir +1 délivre à travers la résistance R_3 une impulsion unique vers l'entrée horloge 14 de IC₂. A noter que c'est le front descendant qui sera utilisé, ce qui occasionne d'ailleurs un petit retard ou suspense après action sur le poussoir +1. Les sorties DCBA de IC₂ délivrent 4 bits qui varient de 0000 à 1111. La visualisation s'effectue à l'aide des transistors T₁ à T₄ sur les LED L₁ à L₄. Les impulsions de commande se retrouvent également sur l'entrée 1 du circuit IC₃ qui se charge des unités décimales.

La première dizaine écoulée, on trouve un signal sur la borne 3 de IC₃ qui commande le second afficheur à travers le circuit IC₄, un autre C.MOS 4033, maintenant bien connu de nos lecteurs.

A noter que le poussoir de remise à zéro permet d'initialiser simultanément IC₂, IC₃ et IC₄ pour commencer le comptage à 0 0 0 0, 00 et 0, respectivement en binaire, décimal et hexadécimal.

Enfin, nous trouvons le circuit IC₅, peu courant dans notre revue, le décodeur binaire-hexadécimal TTL 9368. Vous apprécierez sans doute le fait qu'il n'est pas nécessaire de monter les habituelles résistances de limitation des LED de l'affichage. Ce schéma est d'une clarté exemplaire, contrairement au tracé du circuit imprimé fort dense.

D - REALISATION

Nous proposons un circuit imprimé unique donné à l'échelle 1 qu'il vous faudra obligatoirement reproduire à l'aide d'un procédé photographique en raison de la finesse des pistes et de leur proximité (voir fig. 3). Nous conseillons l'usage de supports à souder en raison de la fragilité des circuits intégrés et du prix de IC₅. Respectez simplement les 5 V de l'alimentation.

Vous allez pouvoir vous livrer à de nombreux calculs savants à l'aide de ce petit décodeur, et même nos enfants se doivent de connaître ces mathématiques qui désormais font partie de leur avenir.

Guy ISABEL

LISTE DES COMPOSANTS

Semi-conducteurs

IC₁ : NE 555

IC₂ : compteur TTL 7493

IC₃, IC₄ : compteur-décodeur C.MOS 4033

IC₅ : décodeur hexadécimal TTL 9368

T₁, T₂, T₃, T₄ : transistor NPN BC 337 ou équivalent

L₁, L₂, L₃, L₄ : diodes électroluminescentes Ø 5 mm rouge

D₁ : diode 1N4148

3 afficheurs 13 mm cathode commune - rouge

Résistances (toutes valeurs 1/4 W)

R₁ : 100 kΩ (marron, noir, jaune)

R₂ : 22 kΩ (rouge, rouge, orange)

R₃ : 150 Ω (marron, vert, marron)

R₄ : 150 Ω (marron, vert, marron)

R₅ : 1 kΩ (marron, noir, rouge)

R₆, R₇, R₈, R₉ : 1,2 kΩ (marron, rouge, rouge)

R₁₀, R₁₁, R₁₂, R₁₃ : 220 Ω (rouge, rouge, marron)

R₁₄ : 330 Ω (orange, orange, marron)

R₁₅ : 47 kΩ (jaune, violet, orange)

Condensateurs

C₁ : céramique 4,7 à 10 nF

C₂ : chimique 2,2 à 4,7 µF/16 V

Matériel divers

1 support à souder 8 broches

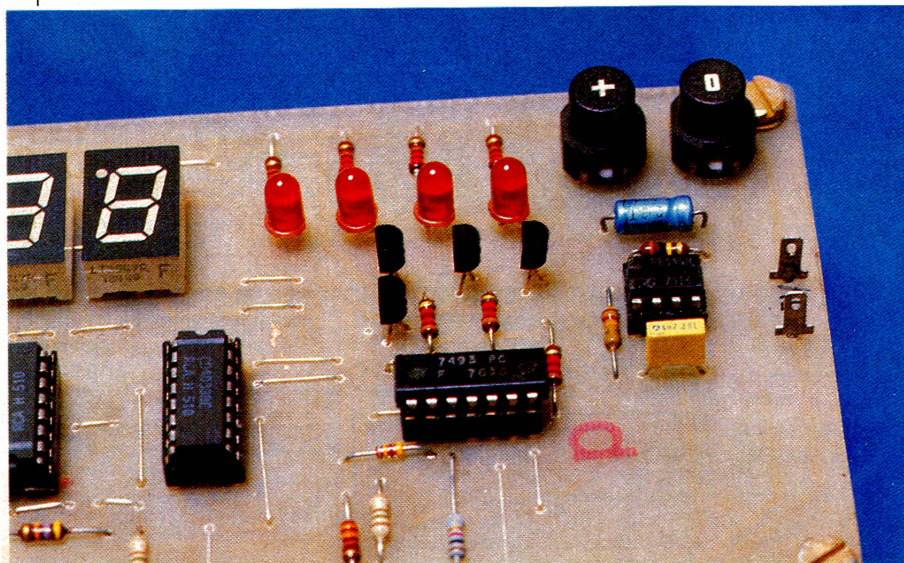
1 support à souder 14 broches

3 supports à souder 16 broches

2 poussoirs à fermeture pour circuit imprimé

Transferts Mecanorma

Epoxi, fil nu rigide





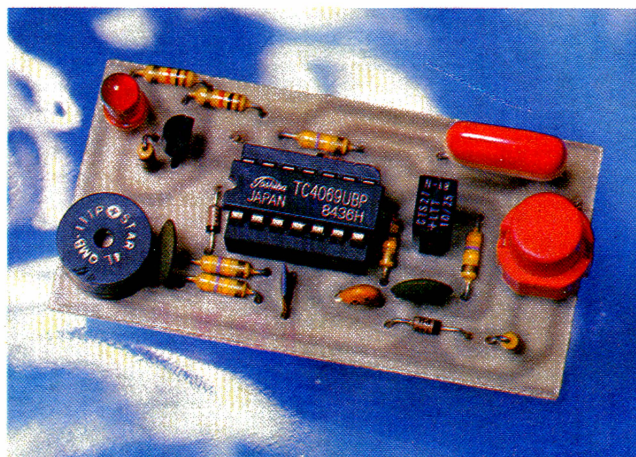
PASSEPORT ... POUR LA DRAGUE

Le gadget qui suit permettra de gagner beaucoup de temps et évitera des dépenses fastidieuses (Repas fin, bouquet de fleurs, petits cadeaux, etc.). En effet, une pression discrète sur le boîtier porté de façon visible dans la poche de chemise et un mélodieux bip bip, accompagné d'un clignotement de Led, se mettra en route. Il suffira donc de déclamer, d'une belle voix grave, à sa compagne subjuguée par « ce son et lumière », « excusez moi Baby, une urgence, on me réclame au téléphone, quand je ne suis pas à ma clinique ils sont incapables de faire une opération délicate sans mes conseils ». Vous vous esquiverez deux minutes ; retour radieux en annonçant « encore un qui ne saura pas que je l'ai sauvé », et voilà le travail les amis, c'est dans la poche !

LE SCHEMA DE PRINCIPE

Il comporte un seul circuit intégré type TC 4069 (ou CD), et se compose de trois parties distinctes. Les inverseurs 1 et 2 forment un monostable de durée approximative quatre secondes. Les inverseurs 3 et 4, ainsi que 5 et 6 sont connectés en oscillateur astable. 3 et 4 oscillent à environ 3 Hz, et 5 et 6 à 3 kHz (voir fig. 1). Au repos, le monostable est à + en sortie 8 de l'inverseur 2.

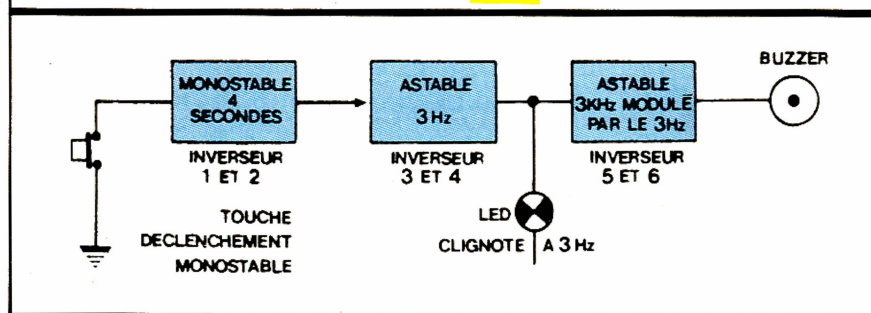
Quand on est « Macho » et à la recherche d'une âme sœur au Grand Bal des pompiers, il vaut mieux, pour gagner du temps, donner l'impression d'être un chirurgien en virée nocturne, plutôt qu'un forçat évadé recherchant de l'affection. Il est évident que l'un et l'autre de nos personnages, habillés des mêmes Jeans et du même blouson, pourraient être confondus.



La diode qui le suit est donc passante. L'inverseur 3 ayant un + sur son entrée est donc à 0 sur sa sortie 12 ; soit l'entrée de l'inverseur 4 est

donc à + sur sa sortie 10. La diode qui le suit est donc passante et on retrouve 0 sur l'inverseur 5 en sortie 2 et donc + en sortie inverseur 6. Les deux oscillateurs sont donc bloqués. Si l'on appuie maintenant sur le bouton poussoir, on porte l'entrée de 1 à 0 et l'on déclenche le monostable.

Fig. 1 Synoptique du montage.



La sortie 8 de l'inverseur 2 passe donc à 0. La diode d'entrée de l'inverseur 3 n'est plus passante. L'oscillateur 1 se met donc à osciller à environ 3 Hz, autorisant l'oscillateur 2 à osciller de même, mais en le modulant à 3 Hz. La diode Led, à travers le transistor, clignotera à 3 Hz à la fréquence de l'oscillateur.

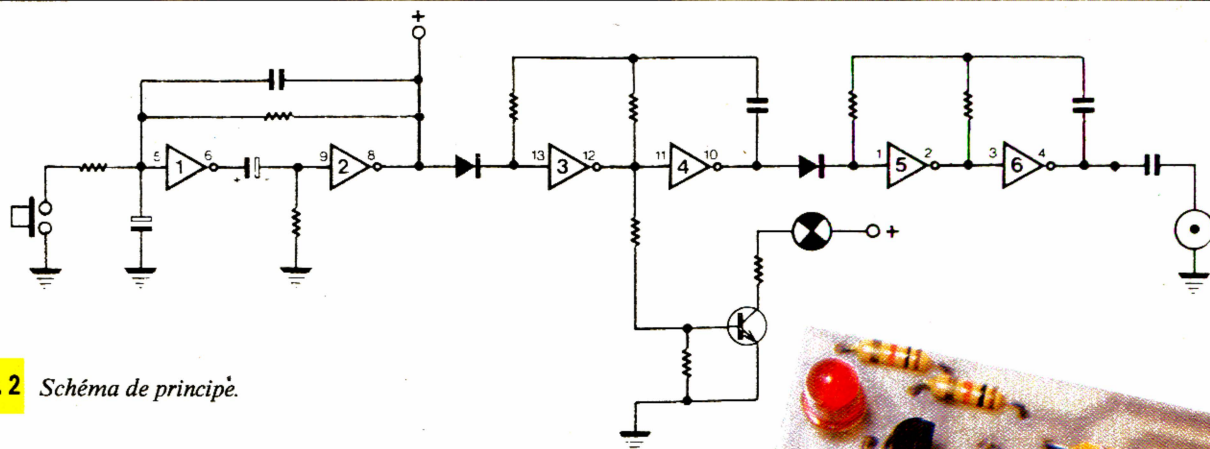


Fig. 2 Schéma de principe.

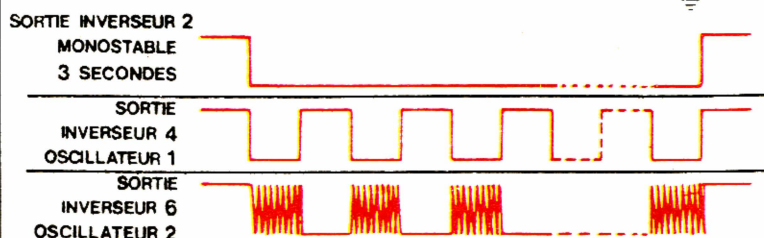
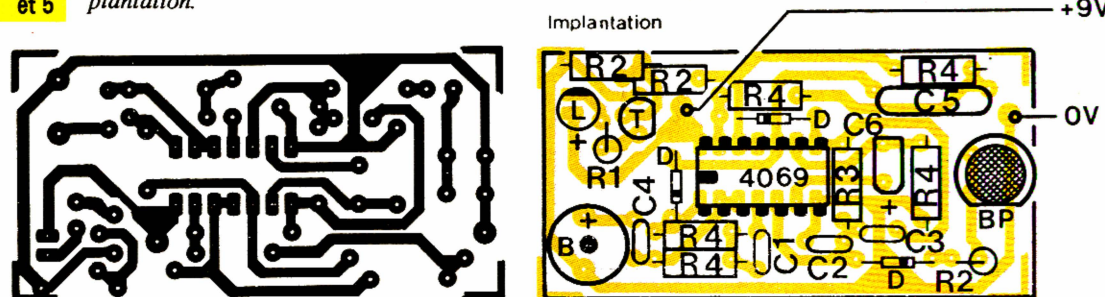


Fig. 3 Oscillogrammes caractéristiques.

Fig. 4 Tracé du circuit imprimé et implantation.



LE MONTAGE

Bien respecter le sens du circuit intégré TC 4069 ainsi que le Buzzer Piezo, le + étant marqué sur celui-ci.

Les condensateurs 22 nF et 0,1 μ F/16 V devront être en céramique et de petite taille ; le 10 μ F Tantale du type CTS 27 de préférence, sinon tantale goutte.

La touche D6 de chez ISOSTAT est repérée par un méplat. Elle offre l'avantage de se monter sur le circuit imprimé.

Les autres composants n'offrent pas de problème.

ALIMENTATION

Le montage sera alimenté par une pile 9 V entre les points marqués + 9 V et 0 V.

Lorsque l'on appuie sur la touche, le buzzer doit sonner et la Led clignote. Si l'on reste appuyé, le son ne s'arrête pas, lorsque l'on relâche, il continuera environ quatre secondes. On peut modifier la tonalité du buzzer en augmentant ou en diminuant le condensateur de 150 pF. De même, en augmentant ou en diminuant le condensateur de 220 nF, on joue sur la modulation du buzzer et la vitesse de clignotement de la Led.

* P.S. : L'auteur décline toute responsabilité quant aux âmes sœurs, dont le sac se met à sonner et à s'illuminer au milieu d'un slow, et qui vont vous dire « Quand le ministre est en conférence il ne sait pas se passer de moi »... Elles lisent aussi *Electronique Pratique*.

LISTE DES COMPOSANTS

R₁ : 1 \times 1 k Ω (marron, noir, rouge)
 R₂ : 3 \times 10 k Ω (marron, noir, orange)
 R₃ : 1 \times 100 k Ω (marron, noir, jaune)
 R₄ : 5 \times 470 k Ω (jaune, violet, jaune)
 C₁ : 1 \times 150 pF
 C₂ : 1 \times 470 pF
 C₃ : 1 \times 22 nF
 C₄ : 1 \times 100 nF
 C₅ : 1 \times 220 nF
 C₆ : 1 \times 10 μ F/tantale
 T : 1 \times BC 170, 172, ou 237
 D : 3 \times 1N 4148
 1 \times 4069
 1 \times Led \varnothing 5
 BP (touche D₆) : 1 \times bouton poussoir
 B : 1 \times Buzzer piézo STAR
 1 \times support 14 broches
 1 \times clip pour pile.

Michel CROQUET

Ouvert du lundi au samedi de 9 h 30 à 12 h 30 - 14 h à 18 h 45

Ces prix sont donnés à titre indicatif, variables selon le cours des monnaies

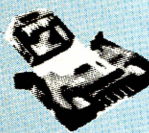
CONNECTEURS

Série DP



	Mâle	capot
9 contacts	15,00	17,00
15 contacts	20,00	18,00
25 contacts	22,00	19,00
37 contacts	35,00	21,00
50 contacts	65,00	24,00

Série FRC2
autodébrutant



	embase	fiche
	coudée	avec bride
	mâle	anti-traction
10 contacts	20,00	26,00
14 contacts	22,00	28,00
16 contacts	22,00	28,00
20 contacts	24,00	30,00
25 contacts	29,00	43,00
34 contacts	34,00	48,00
40 contacts	40,00	54,00
50 contacts	50,00	68,00

Série C133 - C143



	mâle	femelle
	wrapping	wrapping
64 contacts	47,50	49,50



	mâle	femelle
	wrapping	wrapping
64 contacts	50,00	50,00
96 contacts	67,50	67,50

CABLE AU PAS DE 1,27

10 conduct. le m	7,00	26 conduct. le m	16,00
14 conduct. le m	9,50	34 conduct. le m	19,00
16 conduct. le m	10,00	40 conduct. le m	25,00
20 conduct. le m	15,00	50 conduct. le m	26,00
24 conduct. le m	15,00		

CABLE SOUPLE EN BANDE

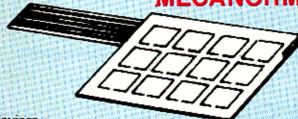
0,14 mm²

5 conduct. le m	4,00	16 conduct. le m	11,00
8 conduct. le m	6,00	20 conduct. le m	13,00
10 conduct. le m	6,50	26 conduct. le m	16,00

WRAPPING

Outils à wrapper	
WSU30M (élect.) manuel	153,00
WSU2224 (téléph.) manuel	285,00
Fil 6 couleurs	le m 2,50

MECANORMA



Claviers :	
4 touches 219 7000	55,00
12 touches 219 7100	90,00
16 touches 219 7200	109,00

« Nouveaux TRANSFERTS »	
Décodeur 219 9000	13,00
Srur électronique 219 9200	13,00
Orgue électronique 219 9300	13,00
Clavier téléphonique 219 9100	13,00
Télérupteur 219 9400	13,00

NÉCESSAIRE POUR CIRCUITS IMPRIMÉS

Plaques cuivrées brutes	Bakelite	époxy	époxy
en mm		1 face	2 faces
75 x 100	4,75	7,50	8,25
100 x 150	8,25	14,00	15,50
150 x 200	15,50	27,50	30,25
200 x 300	29,00	53,25	58,50

Plaques présensibilisées positives	Bakelite	époxy	époxy
en mm		1 face	2 faces
75 x 100	8,50	14,50	19,00
100 x 150	16,50	27,00	38,75
150 x 200	30,50	54,00	64,00
200 x 300	60,50	102,00	126,25

Révélateur pour plaque Etain à froid 1/2 L56,25

sachet pour 1 litre 5,50 Bac gravure 28,00

Film posireflex Grille inactinique pas

200=30 37,00 2,54 - 210 x 297 14,00

Révélateur + fixateur Mylar, transparent

pour film 36,00 210 x 297 4,50

Lampes à insoler Perchlorure Sachet pou-

250 W 36,00 dre pour 1 litre 16,50

Tube actinique 15 W Persulfate d'Ammonium

43 cm 60,00 sachet pour 1 litre 20,00

Stylo Dalo 33 32,00

Stylo CIF 8,50

SOUDURE

7/10 500 g	95,00
10/10 100 g	21,00
500 g	92,00
1 kg	165,00
15/10 30 g	8,30
100 g	21,00
500 g	92,00
1 kg	165,00

TRESSE A DESOUDER

Longueur 1 m 60

1,5 mm de large	12,00
2,0 mm de large	12,50
2,0 mm de large	13,00

GRAISSE SILICONE

10 g	24,00
100 g	49,50

TUBES (SIEMENS, PHILIPS...)

ECC 82	31,50	EL-PL 509	160,00
ECC 83	31,50	EL-PL 519	160,00
ECF-PCF 80	43,00	EY-PY 88	41,00
ECF-PCF 802	45,50	EY 500 A	85,00
ECH 81	42,00	GY 501	59,80
ECL-PCL 805	55,00	GY 802	38,00
EL 34	88,00	PCL 86	48,00
EL 84	42,00	PY 500	81,00
EL 95	28,00	6L6CC	130,00
EL-PL 504	70,50	PLUS DE 100	
EL-PL 508	55,00	MODELES AU MAGASIN	

RESEAUX DE RESISTANCES



Tolérance = 2 %

Puissance dissipée par résistances = 180 mW

L06-1R : 5 résistances + 1 commun	4,00
L08-1R : 7 résistances + 1 commun	4,00
L09-1R : 8 résistances + 1 commun	5,00
L10-1R : 9 résistances + 1 commun	5,00

Chaque série disponible dans les valeurs

suivantes : 100 Ω - 1 k Ω - 10 k Ω - 100 k Ω - 220 - 1 k 5 - 22 K - 470 - 2 k 2 - 47 K - 4 k 7

SEMI CONDUCTEURS

74LS 00	6,00	10	5,00
01	6,00	74LS 11	6,00
02	5,00	13	9,00
03	5,00	14	9,00
74LS 04	7,00	15	10,00
05	6,00	20	6,00
08	5,00	74LS 27	6,00
09	6,00	30	8,00

32	7,00	33A	11,00
38	5,00	TIP 33C	12,50
74LS 42	10,00	34A	12,00
47	13,00	34C	14,00
48	12,00	35A	19,00
51	10,00	35C	22,00
73	8,00	TIP 36A	23,00
74LS 74	10,00	36C	24,00
75	10,00	41A	9,00
76	8,00	41C	19,00
83	9,50	42A	10,00
86	8,00	TIP 42C	13,00
74LS 90	11,00	48	10,00
92	11,00	49	11,70
93	11,00	112	20,00
107	7,00	117	20,00
74LS 109	8,00	TIP 122	13,00
122	9,00	127	14,00
123	13,00	132	15,00
125	10,00	137	17,00
126	11,00	2955	12,00
74LS 132	10,00		
138	11,00	TIP 3055	10,00
139	10,00	4000 CD	5,00
151	10,00	4001 CD	5,00
153	11,00	4002 CD	5,00
154	25,00	4007 CD	6,00
155	12,00	4008 CD	15,00
74LS 157	10,00	4011A CD	7,00
161	13,00	4011B CD	5,00
163	13,00	4012 CD	5,00
164	12,00	4013 CD	8,00
165	15,00	4015 CD	12,00
74LS 166	15,00	4016 CD	8,00
173	14,00	4017 CD	8,00
174	12,00	4018 CD	15,00
175	12,00	4019 CD	19,00
74LS 190	10,00	4020 CD	9,00
191	14,00	4022 CD	14,00
192	14,00	4023 CD	5,00
193	10,00	4024 CD	14,00
194	15,00	4025 CD	5,00
195	14,00	4027 CD	9,00
74LS 196	14,00	4028 CD	9,00
221	12,00	4029 CD	13,00
240	17,00	4030 CD	8,00
241	17,00	4033 CD	17,00
74LS 243	18,00	4040 CD	9,00
244	17,00	4042 CD	12,00
245	22,00	4044 CD	13,00
247	14,00	4046 CD	19,00
251	12,00	4047 CD	10,00
74LS 253	15,00	4048 CD	10,00
257	11,00	4050 CD	9,00
259	14,00	4051 CD	13,00
266	12,00	4052 CD	13,00
273	16,00	4053 CD	13,00
279	13,00	4060 CD	15,00
323	32,00	4066 CD	10,00
365	9,00	4068 CD	5,00
366	18,00	4069 CD	5,00
367	11,00	4070 CD	6,00
74LS 368	10,00	4071 CD	5,00
373	17,00	4072 CD	5,00
374	17,00	4073 CD	5,00
390	27,00	4075 CD	5,00
393	20,00	4076 CD	17,00
398	20,00	4077 CD	5,00
74LS 541	18,00	4078 CD	5,00
629	27,00	4081 CD	5,00
78 05 CT	10,00	4082 CD	5,00
06 CT	10,00	4093 CD	8,00
08 CT	10,00	4099 CD	28,00
09 CT	13,00	4503 CD	10,00
12 CT	10,00	4506 CD	14,00
78 15 CT	10,00	4510 CD	15,00
18 CT	10,00	4511 CD	15,00
24 CT	10,00	4514 CD	49,00
79 08 CT	12,00	4515 CD	38,00
12 CT	12,00	4516 CD	10,00
15 CT	12,00	4518 CD	10,00
18 CT	12,00	4520 CD	10,00
TIP 29A	7,50	4522 CD	18,00
29C	8,00	4528 CD	18,00
30A	8,00	4539 CD	15,00
30C	9,00	4541 CD	25,00
TIP 31A	8,00	4543 CD	15,00
31C	9,00	4555 CD	15,00
32A	9,00	4584 CD	13,00
32C	10,00	4585 CD	22,00

FIBRE OPTIQUE

Prix au mètre

	Nue	Gainée
Ø 0,5 mm	1,00	7,50
Ø 0,75 mm	2,00	9,50
Ø 1 mm	3,00	12,00
Ø 1,5 mm	6,00	23,00

TWEETERS PIEZO

PH 95 100 W 4000-3000	110,00
PH 8 100 W 4000-3000	115,00
PH 10 100 W 4000-3000	85,00
PH 7-15 100 W 3000-4000	125,00
PH 8-19 100 W MEDIUM	190,00

GAINÉ THERMORETRACTABLE

Par 0,60 cm

B16 Ø 1,6 mm	4,50	B64 Ø 6,4 mm	9,00
B20 Ø 2 mm	5,00	B80 Ø 8 mm	12,00
B30 Ø 3 mm	5,70	B110 Ø 11 mm	13,00
B40 Ø 4 mm	6,50	B150 Ø 15 mm	15,00
B50 Ø 5 mm	7,50	B200 Ø 20 mm	18,00

Spéciale

accus radiocommande

HTS70 Ø 50 mm	6,50	HTS80 Ø 80 mm	13,00
HTS70 Ø 70 mm	7,50	HTS80 Ø 85 mm	14,50

FICHES ET CABLES AUDIO et VIDEO

Jack mâle 2.5	2.50	DIN 6P embase	3.50
Jack fem. 2.5	3.00	Péritel mâle	15.00
Jack embase 2.5	3.50	Péritel fem.	19.00
Jack mâle 3.5	2.50	Péritel embase	12.00
Jack fem. 3.5	3.00	Coax. 75 Ω	3.00
Jack embase 3.5	3.50	Câbler vidéo 5 blindés	
Jack mâle		2x 75 Ω + 3 BF	26.00
mono 6.35	4.00	Blindé BF	
Jack fem.		1C x 0.5 mm	3.75
mono 6.35	4.00	Blindé BF	
Jack embase		2C x 0.22 mm	4.50
mono 6.35	3.50	Blindé BF	
Jack mâle		4C x 0.14 mm	5.00
stéréo 6.35	5.00	Blindé BF	
Jack fem.		5C x 0.14 mm	5.50
stéréo 6.35	5.50	Blindé BF	
Jack embase		8C x 0.14 mm	9.50
stéréo 6.35	5.00	Blindé BF	
RCA mâle	2.50	12C x 0.14 mm	14.00
RCA fem.	3.00	Canon mâle	
RCA chassis	2.75	3 poles	27.00
DIN 5P mâle 180°	2.50	Canon fem.	
DIN 5P fem. 180°	3.50	3 poles	30.00
DIN 5P embase		Canon chassis mâle	
180°	1.50	3 poles	25.00
DIN 6P mâle	5.00	Canon chassis fem.	
DIN 6P fem.	5.00	3 poles	35.00



ALIMENTATION POUR MINI ~ PERCEUSE

La réalisation des circuits imprimés nécessite l'emploi d'une mini-perceuse pour les différents perçages. Le plus fréquemment, son alimentation est confiée à un simple coupleur de piles qui revient relativement cher et ne permet aucun réglage de vitesse.



Le montage que nous vous proposons autorise l'alimentation par l'intermédiaire du secteur. Nous avons profité de l'occasion pour adjoindre certaines améliorations par rapport aux modèles existants.

La commande de la mini-perceuse est effectuée par le pied de l'utilisa-

teur afin de faciliter le travail. L'alimentation de la perceuse est progressive pour éviter un déplacement intempestif du foret lors du démarrage brusque. Par contre, pour gagner du temps, nous avons prévu une possibilité de freinage dynamique du moteur, très utile pour des perçages à répétition. Bien entendu, la vitesse de rotation est

réglable, pour une plus grande souplesse d'utilisation.

Précisons que cette alimentation est conçue avec des composants strictement courants, donc largement disponible dans le commerce. La mise au point ne requiert, enfin, aucun appareil de mesure. Les amateurs néophytes pourront fort bien débiter avec ce montage simple.

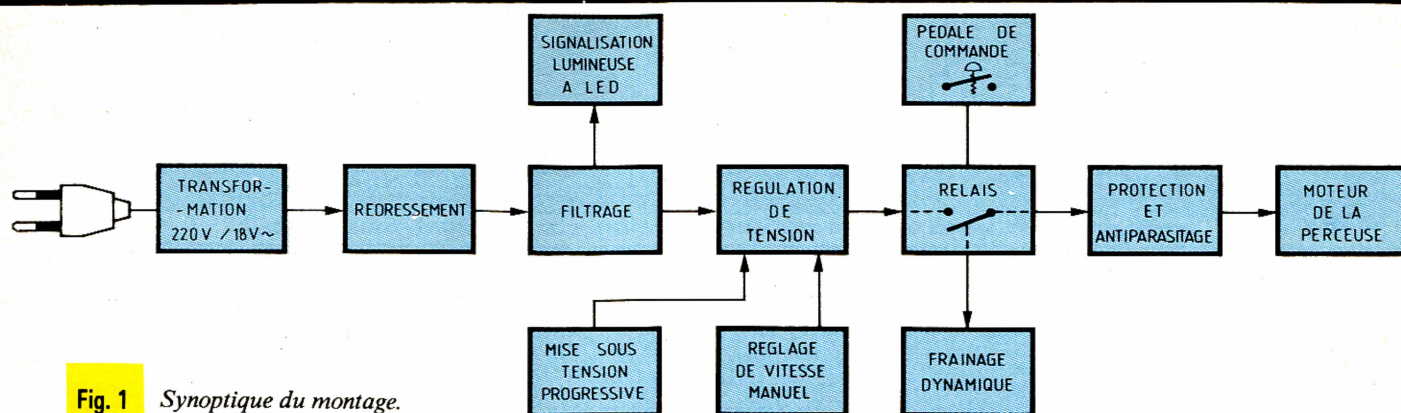


Fig. 1 Synoptique du montage.

I - PRINCIPE DE FONCTIONNEMENT

La plupart des mini-perceuses fonctionnent sur une plage de 6 à 16 V continus. Notre montage abaisse le secteur à 18 V. Un circuit redresseur permet d'obtenir ce courant continu. Le filtrage, indispensable pour une bonne régulation, nous assure une tension lissée.

La signalisation lumineuse n'a pas été oubliée : elle évite de laisser l'alimentation sous tension lorsqu'elle n'est pas utilisée. La variation de vitesse du moteur est confiée à un régulateur intégré qui nous simplifie, comme nous le verrons, grandement le schéma. De plus, il faut signaler que ce dernier est protégé contre toutes les surcharges (court-circuit, surchauffe, etc.).

Le réglage de régime moteur est bien sûr réglé par un potentiomètre de façade, auquel nous avons ajouté un ajustable, afin de limiter la tension de sortie selon le type de per-

ceuse employé. Ainsi que nous l'avons indiqué, le démarrage s'effectue progressivement. Cette fonction est assurée par un circuit spécifique et contribue à rendre agréable l'utilisation de la perceuse.

La tension régulée et réglable est coupée par les contacts d'un relais de commande. La bobine de ce dernier est commandée par une pédale au pied afin de libérer les deux mains de l'utilisateur. La position de repos du relais autorise éventuellement un freinage dynamique du moteur afin d'effectuer de nombreux perçages rapidement.

L'alimentation du moteur passe enfin par l'intermédiaire d'un circuit d'antiparasitage et de protection, afin d'éviter une détérioration du circuit régulateur.

II - FONCTIONNEMENT ELECTRONIQUE

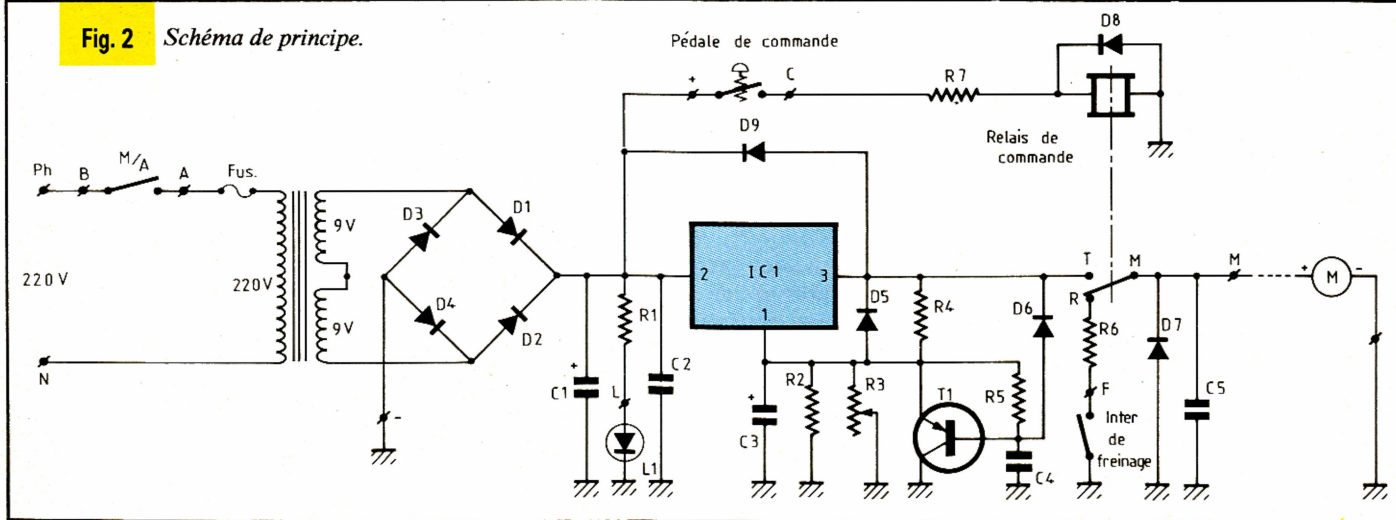
Le schéma de principe complet donné à la figure 2 permet de remarquer la simplicité de ce mon-

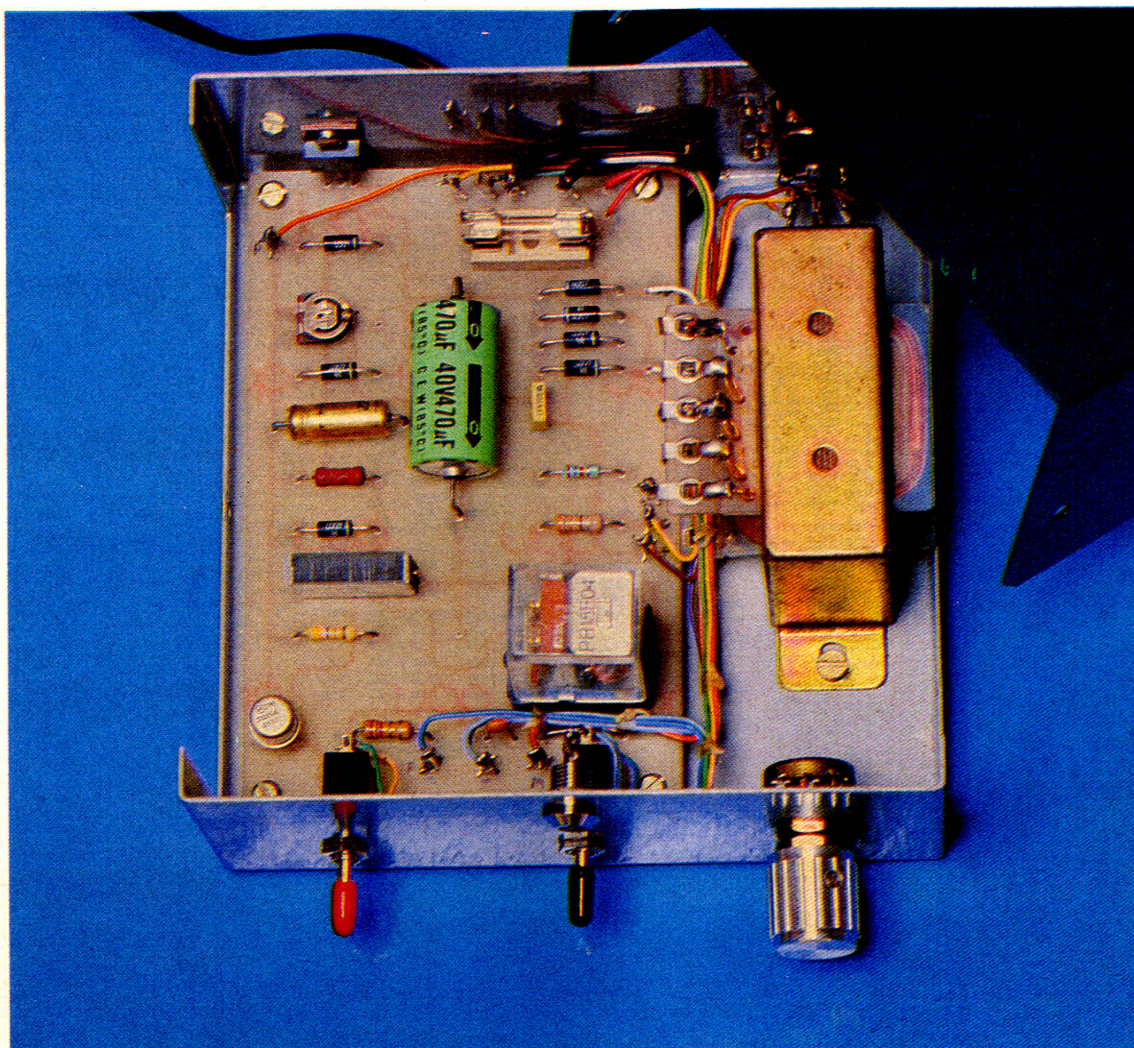
tage eu égard à ses possibilités. L'alimentation est issue du secteur 220 V et attaque un transformateur via le fusible et l'interrupteur Marche-Arrêt classique. Le secondaire délivre 2×9 V, c'est-à-dire 18 V pour notre cas.

Cette tension alternative doit être redressée : c'est le rôle de D₁ à D₄. Rappelons brièvement qu'avec ce montage, pour une alternance, D₁ et D₄ conduisent par exemple. La 2^e alternance est redressée par D₂ et D₃. Nous obtenons une tension continue qu'il est indispensable de filtrer par C₁.

On remarque que la LED de contrôle L₁ s'allume dès la mise sous tension. R₁ limite le courant dans la LED L₁. C₂ protège IC₁ contre les surtensions brèves. L'action sur la pédale de commande provoque l'excitation du relais. La résistance R₇ nous permet d'utiliser un relais 9-12 V, facilement disponible, avec une tension de 20 V environ. D₈ écrête les surtensions produites par la bobine du relais (self)

Fig. 2 Schéma de principe.



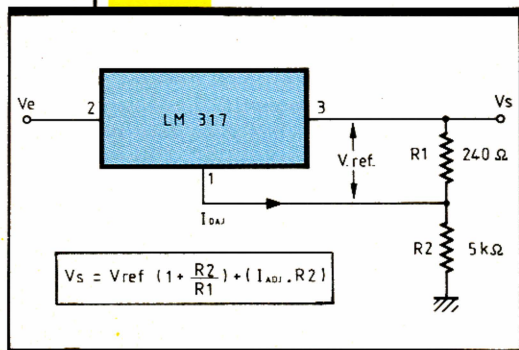


Le transformateur repose sur le fond du coffret « ESM ».

et évite un mauvais fonctionnement du montage.

La régulation s'effectue par la borne 1 de commande de IC₁. La tension de sortie de la borne 2 dépend du rapport de résistance entre R₄ et l'ensemble R₂, R₃. La formule exacte est donnée à la figure 3.

Fig. 3 Rappels théoriques



On remarque que, dans le cas où R₂ est très faible, la tension de sortie est la plus basse. Nous utiliserons cette possibilité. Le réglage manuel s'effectue par le potentiomètre de façade R₃. La présence de l'ajustable R₂ nous limite la valeur supérieure de la résistance entre borne 1 de IC₁ et masse. Cette disposition nous garantit la possibilité de pouvoir régler la tension de sortie maximum afin de l'adapter aux caractéristiques de la perceuse utilisée. (cas d'un modèle 12 V par exemple).

C₃ régularise la tension à la borne 1 de IC₁ et élimine les variations courtes. Le montage de T₁ est un peu particulier et mérite que l'on s'y attarde. Lors de l'excitation du relais et en supposant que la sortie 3 de IC₁ soit à 16 V par exemple, le moteur de la perceuse à l'ar-

rêt équivaut pour IC₁ à un court-circuit bref. Pendant un court instant, la tension en 3 de IC₁ descend pratiquement à 0 V. C₄ en profite pour se décharger subitement par : D₆, T, M, + de la perceuse et la masse.

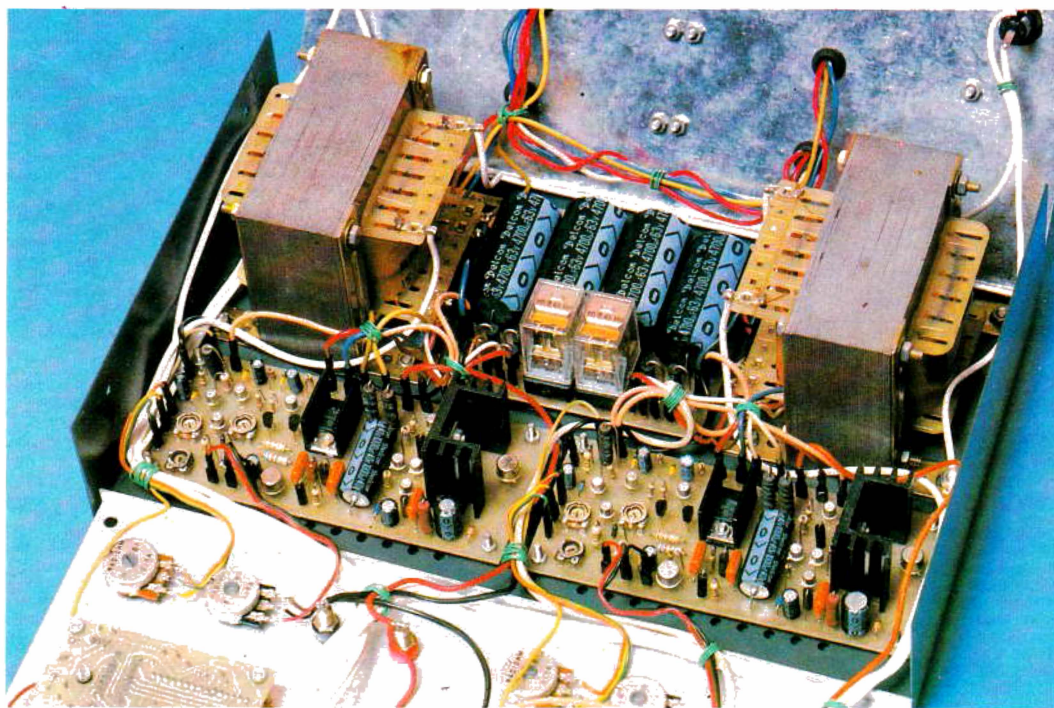
La base de T₁ étant pratiquement à 0 V, T₁ va alors se polariser par : 3 de IC₁, R₄, émetteur de T₁, base, C₄ et masse. T₁ va conduire et entraînera une diminution du potentiel de la borne 1. La sortie 3 restera à un niveau faible : le moteur démarrera lentement.

C₄ alors se charge progressivement, la conduction de T₁ diminuera ; le potentiel en 1 va monter régulièrement ; la tension de sortie augmentera, assurant ainsi un démarrage progressif (environ 0,5 s). D₅ permet une décharge rapide de C₃, protégeant ainsi IC₁. (suite p. 109)



ALIMENTATION STABILISEE 2x30V / 2,5A

Une alimentation stabilisée est un appareil indispensable pour tout amateur d'électronique : elle permet d'alimenter des montages pour les tester, les mettre au point, voir les dépanner.



L'alimentation que nous vous proposons couvre un assez vaste domaine d'applications, puisqu'elle peut délivrer deux tensions réglables séparément de 0 à 30 V. Il s'agit en fait de deux alimentations totalement séparées, mais qui peuvent être couplées pour obtenir deux tensions positives, deux tensions négatives, ou une négative et une positive.

Le courant maximal fourni par chaque section peut être ajusté entre 0,5 et 2,5 A.

Pour une évidente facilité d'utilisation, des voltmètres de contrôle sont indispensables. Nous avons opté pour un affichage numérique dont la lecture sera plus aisée, et surtout plus précise, que celle d'un petit galvanomètre à aiguille.

Avant de commencer l'étude théorique, signalons une caractéristique

importante de cette réalisation : les transformateurs disposent de deux enroulements secondaires de 15 V. Selon la tension de sortie, un seul enroulement, ou les deux en série, seront mis en service automatiquement. Cette configuration est très intéressante puisqu'elle permet une dissipation moindre des transistors « ballast », surtout en cas de court-circuit en sortie. Les radiateurs seront ainsi de taille relativement mo-

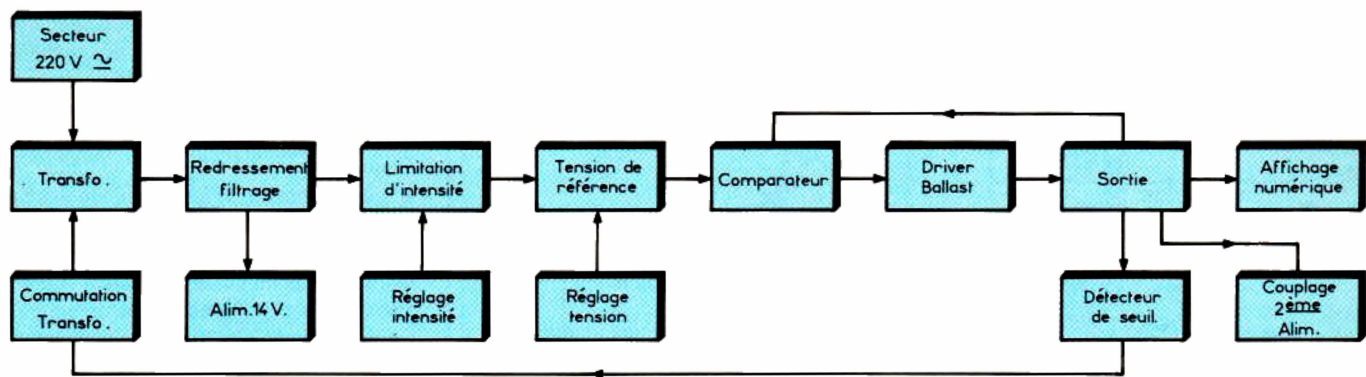


Fig. 1 Synoptique complet de l'alimentation.

deste, et nous n'aurons besoin que de deux transistors de puissance par alimentation, avec une bonne marge de sécurité.

Rappelons aussi que les deux alimentations sont identiques et nous n'étudierons donc qu'une des deux sections de cette réalisation.

ETUDE THEORIQUE

Schéma d'ensemble

Penchons-nous sur le synoptique du montage donné à la **figure 1**. Le 220 V est tout d'abord transformé,

puis redressé et filtré. A partir de là, on réalise une alimentation indépendante de 14 V qui délivrera sa tension fixe à d'autres sections du montage. Vient ensuite une limitation d'intensité **réglable** qui pourra court-circuiter la tension de référence ajustable, en cas de dépassement. Un comparateur... compare cette tension avec une fraction de la tension de sortie et commande proportionnellement les courants des « driver » et « ballast ».

La sortie attaque un détecteur de seuil qui permettra de commuter le transformateur en 15 V ou 30 V. Elle commande aussi le circuit d'affichage numérique et pourra être couplée à la deuxième alimentation.

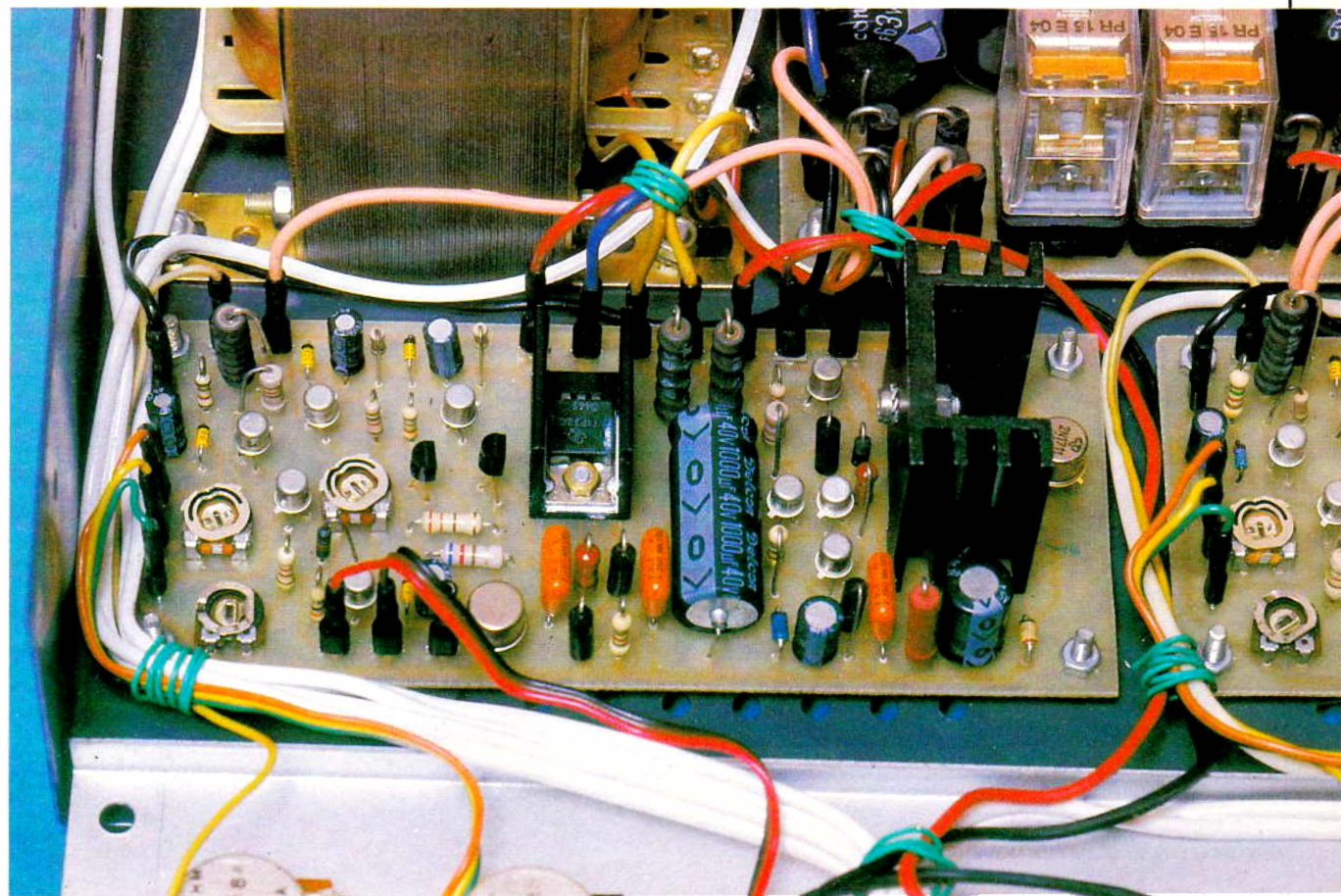
On pourrait croire que ce synoptique va nous amener à un schéma fort compliqué, mais il n'en est rien comme vous allez pouvoir le constater. De plus, il n'est fait appel qu'à des composants « classiques » et répandus.

Schéma détaillé

La **figure 2** donne le circuit de redressement et filtrage. Il est classique si l'on excepte la présence du relais R_1 qui commute les enroulements secondaires du transfo. Nous verrons plus loin comment ce relais est commandé.

K_1 est un inter **double**, afin d'être certain de couper la phase du secteur. Viennent ensuite le condensa-

Photo 2. - Aperçu de la carte imprimée principale.



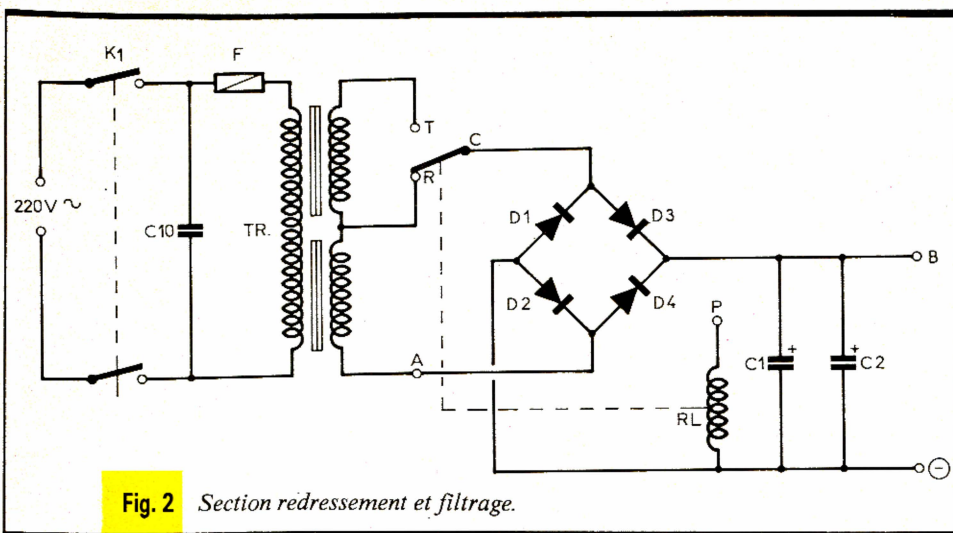


Fig. 2 Section redressement et filtrage.

teur C_{10} , qui joue le rôle d'antiparasite, et le fusible F qui protège le transformateur.

Le redressement double alternance se fait par les diodes D_1 à D_4 , montées en pont.

Le filtrage est assuré par C_1 et C_2 , de fortes capacités (4 700 μF).

La figure 3 donne le schéma principal. On constate qu'il ne comporte que des composants « discrets ». Nous allons l'étudier point par point, en regard du synoptique.

● **L'alimentation fixe** est construite autour de T_1 et T_2 et délivrera environ 14,3 V, que le transformateur soit commuté sur 15 ou 30 V. Pour cela, la résistance R_1 polarise la diode Zener D_{Z1} qui fixe le potentiel de la base de T_2 à 15 V et donc celui de son émetteur à 14,3 V. C_{11} élimine les parasites résiduels éventuels, et C_3 filtre la tension de la Zener.

T_2 est associé à T_1 en « compound », car le courant à fournir aux autres

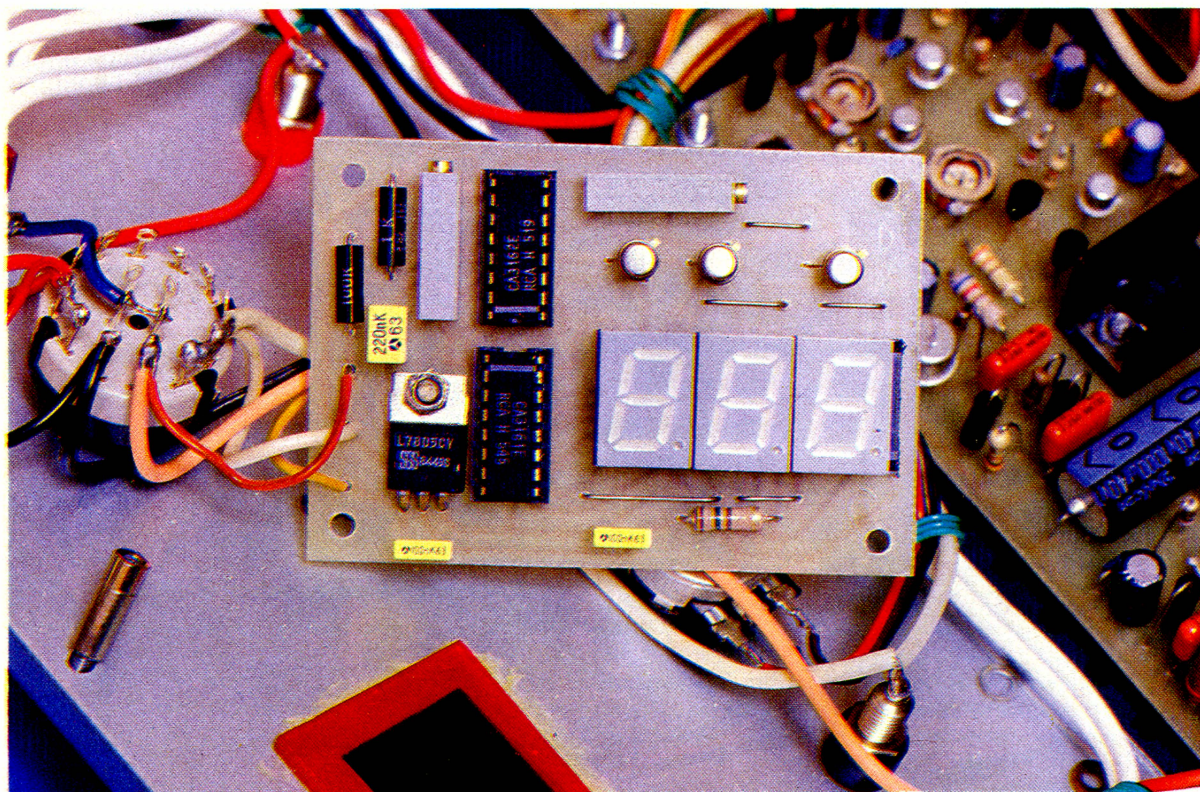
fonctions n'est pas négligeable, surtout celui du circuit d'affichage. Nous disposons donc d'une alimentation stabilisée dont le but est principalement d'assurer un fonctionnement stable des autres étages.

● **La limitation d'intensité** de sortie se fait par l'intermédiaire de T_3 , T_4 et T_5 . Nous allons expliquer le fonctionnement de cette section.

La résistance R_4 est parcourue par toute l'intensité de sortie. Lorsque la tension base-émetteur de T_3 , c'est-à-dire la tension aux bornes de $R_4 + R_5$, dépassera 0,6 V, T_3 va conduire, saturant T_5 par l'intermédiaire de R_6 et R_7 . Si T_5 est saturé, la tension de référence est annulée et donc la tension de sortie. Pour régler le courant de court-circuit il suffit d'ajuster le courant dans R_5 . En effet, plus la tension développée aux bornes de R_5 sera élevée, plus T_3 conduira pour un courant moindre dans R_4 , et inversement.

La résistance R_2 polarise la Zener D_{Z2} , filtrée par C_4 . Le potentiomètre P_1 détermine alors la tension de la base de T_4 ainsi que celle de son émetteur. Le courant dans R_5 est déterminé par la valeur de $R_3 +$

Photo 3. — Un des modules d'affichage.



A_{j2}. Le curseur de P₁ en D, le courant dans R₅ sera **maximal**, et le courant de court-circuit sera donc **minimal**. Quand le curseur de P₁ sera en F ce sera l'inverse.

Le réglage de A_{j2} déterminera le courant minimal de court-circuit, P₁ étant en D, et A_{j1} le courant maximal de court-circuit, P₁ étant en F.

● **La tension de référence** est obtenue par D_{Z4}, filtrée par C₆ et éventuellement court-circuitée par T₅ comme nous l'avons vu plus haut. D_{Z4} est une Zener de 6,2 V, ce sont les diodes de cet ordre de valeur qui présentent la résistance dynamique la plus faible. De plus, cette Zener est alimentée en courant constant par le transistor T₆. D_{Z3} et C₅ fixent en effet le potentiel de sa base et le courant est alors déterminé par R₉. R₈ polarise la base de T₆ et D_{Z3}. Par l'intermédiaire de l'alimentation stabilisée + 14,3 V et du générateur de courant constant, nous obtenons ainsi une tension de référence très stable.

● **Le comparateur** est réalisé autour des transistors T₈ et T₉ montés en « différentiel ». Cet étage est alimenté en courant constant par T₇, polarisé de la même façon que T₆ par C₇, D_{Z5}, R₁₀ et R₁₁.

La base de T₈ prélève une fraction de la tension de référence par l'intermédiaire du potentiomètre P₂. La base de T₉ va alors ajuster la fraction de la tension de sortie, déterminée par R₁₅ et R₁₆, à la même valeur.

A_{j3} sert de résistance talon, de façon à ce que, P₂ étant à fond de course, la sortie soit à 30 V.

C₁₂, condensateur de contre-réaction, diminue l'ondulation résiduelle de sortie, et surtout évite l'entrée en oscillation du montage.

● **Le driver** T₁₃ est attaqué par le différentiel par le biais de R₁₂, et de R₂₉ qui limite son courant base-émetteur.

A ce stade on peut expliquer le fonctionnement de la stabilisation. Par exemple si la tension de sortie a tendance à augmenter, celle de la base de T₉ va augmenter aussi. T₉ va donc se bloquer ainsi que T₁₃, le courant et la tension de sortie vont donc diminuer. Le raisonnement est inverse si la tension de sortie a tendance à diminuer.

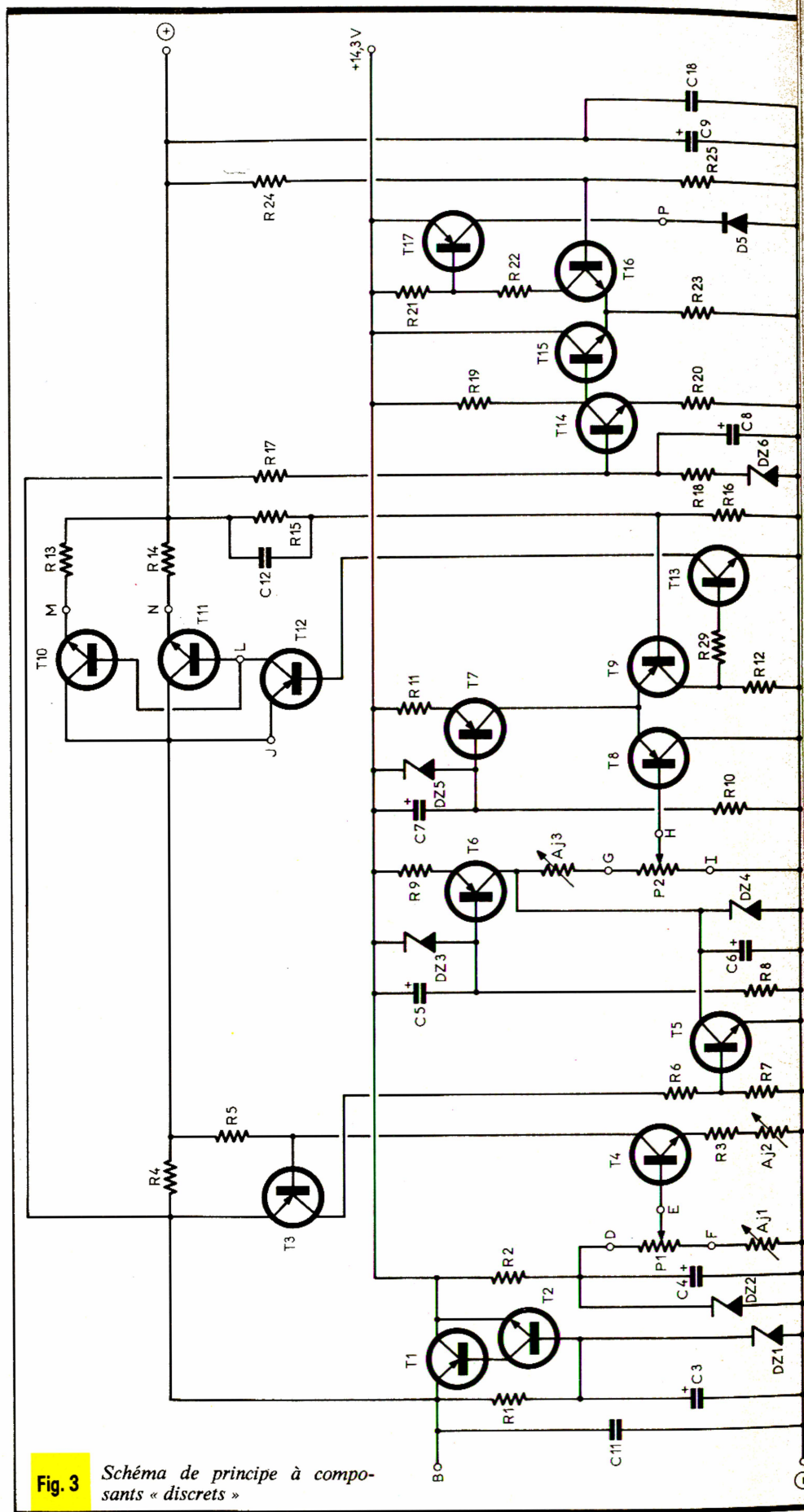


Fig. 3

Schéma de principe à composants « discrets »

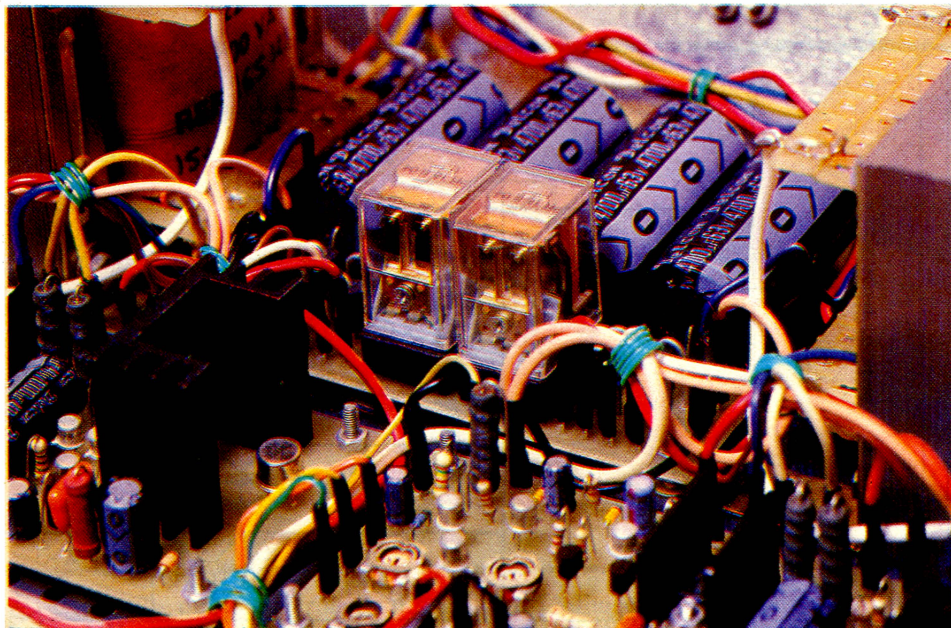


Photo 4. — Les diverses liaisons seront réalisées à l'aide de cosses à montage rapide.

● **Le ballast** est constitué de T_{10} et T_{11} en parallèle, et ces deux transistors se partagent donc la puissance à dissiper. Ce ballast est attaqué par T_{12} amplificateur de courant — montage compound — lui-même attaqué par T_{13} . R_{13} et R_{14} servent à égaliser les courants d'émetteur des transistors T_{10} et T_{11} , ceci afin d'obtenir une dissipation identique.

T_{10} , T_{11} et T_{12} constitue en fait l'équivalent d'un transistor PNP unique, de grand grain et forte puissance.

● **Le détecteur de seuil** est construit autour de T_{14} d'une part, et de T_{15} et T_{16} montés en différentiel d'autre

part. Pour que le relais de commutation du transformateur ne « batte » pas au voisinage de la tension de seuil, ce détecteur doit posséder un retard. Nous allons voir comment il est obtenu.

On remarque tout d'abord que T_{16} compare une fraction de la tension de sortie (R_{24} - R_{25}) à la tension du collecteur de T_{14} . Cette tension de collecteur, fixée par R_{19} , est aussi déterminée par la tension aux bornes de R_{20} .

C_8 filtre la tension obtenue aux bornes de R_{18} et D_{Z6} polarisée par R_{17} . C'est cette résistance R_{18} en série avec D_{Z6} qui provoque l'hystérésis.

Si un seul enroulement est en service nous avons environ 4 V — ($D_{Z6} = 3,9$ V) — sur la base de T_{14} . R_{19} et

R_{20} sont calculées de façon telle qu'on a alors environ 4,3 V sur la base de T_{15} . Lorsque l'on dépasse 17 V (approximativement) en sortie, la base de T_{16} dépasse ces 4,3 V et le relais commute. Nous avons alors 40 V, au lieu de 20 précédemment, aux bornes de $R_{17} + R_{18} + D_{Z6}$. Par l'intermédiaire de R_{18} , la tension sur la base de T_{14} augmente légèrement, donc le courant dans R_{20} et R_{19} . Dans ce cas, la tension de la base de T_{15} **diminue**. Nous avons donc un seuil plus bas. Le relais « décollera » alors lorsque la tension de sortie passera en-dessous de 16 V environ. Nous avons l'hystérésis recherchée.

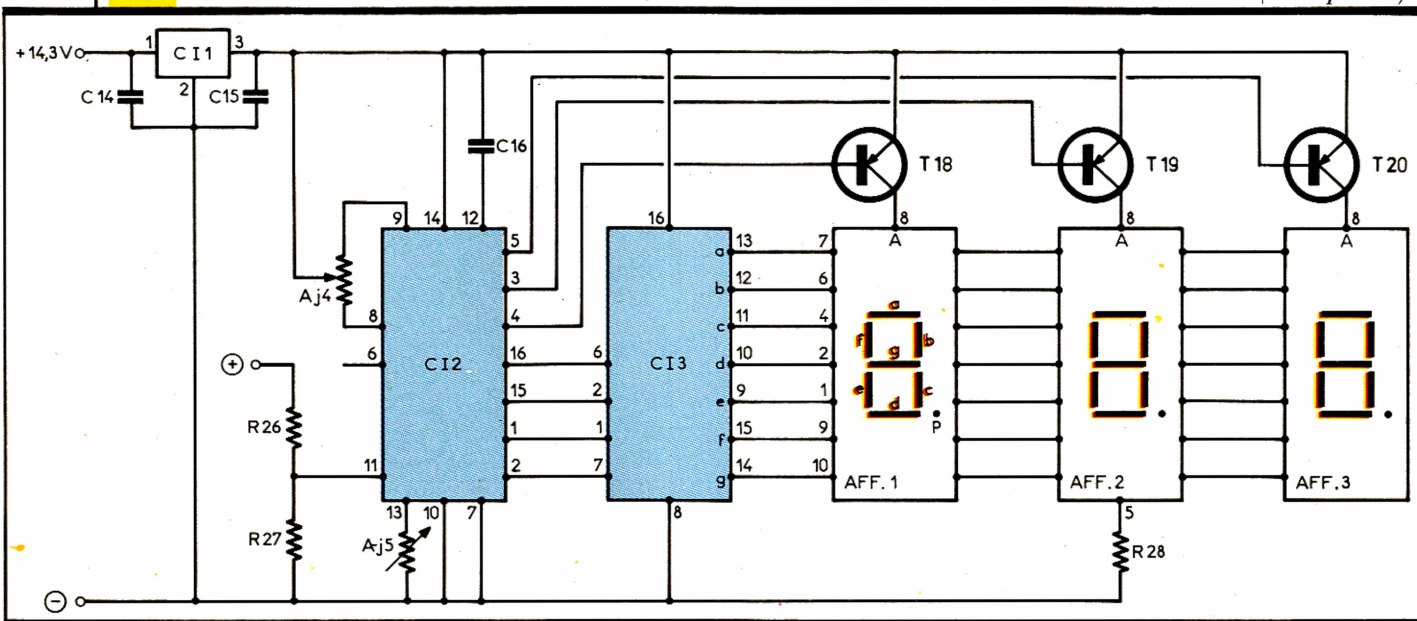
● **La commutation du relais** est commandée par la saturation ou le blocage du transistor T_{17} . T_{17} , attaqué par T_{16} et les résistances R_{21} et R_{22} , commande directement le relais : point P que l'on retrouve sur la **figure 2**. D_5 est en parallèle avec le bobinage du relais pour éviter les surtensions inverses de coupure. T_{15} et T_{16} seront des BC 107B car ils supportent une tension V_{BE} inverse de 6 V au lieu de 5 V pour les BC 108, 109, etc. En effet, quand la sortie est à 0 V on a $V_{BE} T_6 = -4,3$ V. Il s'agit donc d'une sécurité. Signalons enfin R_{23} qui constitue le générateur de courant du différentiel.

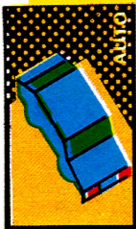
Pour mieux comprendre l'intérêt d'une telle commutation, prenons deux exemples :

Si la sortie fournit 10 V sous 2 A, les ballasts auront à dissiper 20 W ($20 = 10 \times 2$) dans notre cas au lieu (suite p. 103)

Fig.4

Schéma de principe de la partie affichage.

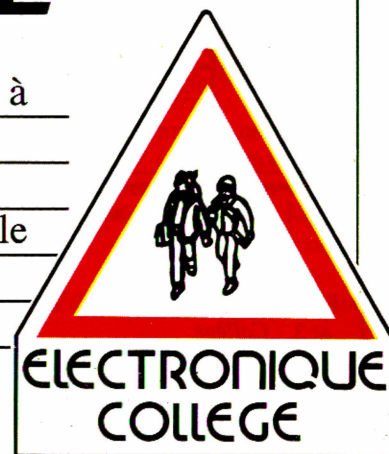




EXPE 16

ALLUMAGE AUTO ELECTRONIQUE

La plupart des allumages électroniques sortent à l'automne, comme si leur utilisation n'avait d'intérêt qu'à la mauvaise saison. Pourtant, l'économie de carburant que vous fera réaliser le kit EXPE 16 est réelle, d'un bout à l'autre de l'année.



B

ien entendu, ce n'est pas le seul avantage de EXPE 16 au nombre desquels on peut

citer :

- des démarrages facilités par temps froid et humide ;
- régularité de l'étincelle de bougie quel que soit le régime du moteur ;
- allongement de la vie des bougies ;
- mise en place très facile sur moteurs à explosion de 4 à 6 cylindres ;
- utilisation de la bobine d'allumage existante ;
- possibilité d'utiliser le rupteur et le condensateur existants, s'ils sont en bon état ;
- retour à l'allumage normal par déplacement de 2 cosse « Faston » ;
- boîtier disponible en option.

LE PRINCIPE DES KITS

« ELECTRONIQUE COLLEGE »

Dans un but éducatif, « Electronique Collège » offre un choix de deux possibilités pour la réalisation du montage.

1^{er} choix : Réalisation du circuit imprimé par, vous-même :

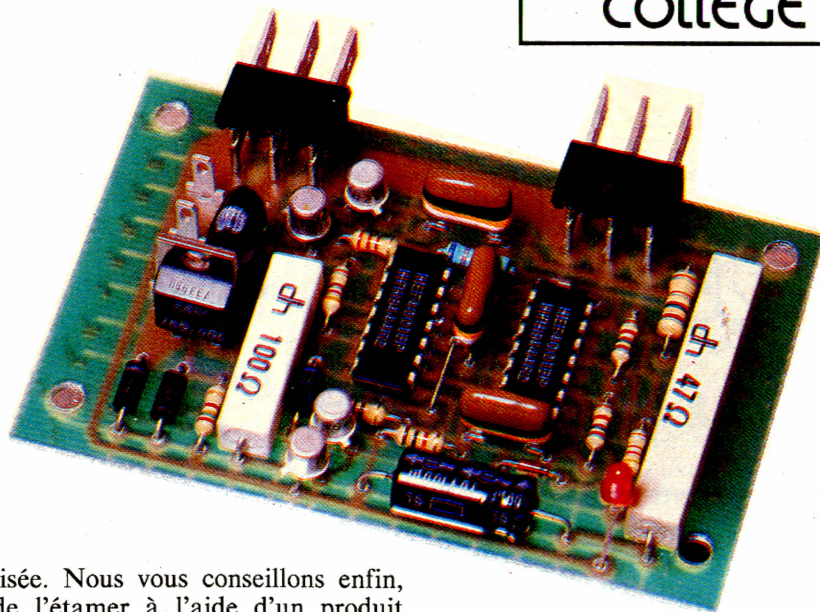
Vous trouverez ci-joint un dessin du circuit imprimé, à l'échelle 1. Celui-ci, à l'aide d'une des deux méthodes Transpage ou Diaphane, vous permettra de réaliser votre circuit imprimé sur plaque présensibi-

lisée. Nous vous conseillons enfin, de l'étamer à l'aide d'un produit d'étamage à froid (demandez à votre revendeur).

2^e choix : Utilisation du circuit imprimé « Electronique Collège » :

Ce circuit imprimé, fourni en verre époxy de 16/10°, est livré côté cuivre, recouvert d'un vernis appelé vernis épargne. Ceci présente les avantages suivants :

- risques de court-circuit entre pistes lors de l'opération de soudure réduits au minimum ;
- protection des pistes en cuivre contre l'oxydation ;
- aide au repérage des pastilles, à l'aide d'un quadrillage réalisé dans le vernis épargne.



En outre, ce circuit est étamé, cela facilitant le travail lors du soudage des composants. Que vous ayez choisi la 1^{re} ou la 2^e méthode, il vous reste à percer le circuit et à souder les composants.

a) Perçage : 1,3 mm pour les grandes pastilles rondes ; 0,9 mm pour toutes les autres pastilles.

b) Montage : le repérage des composants se fait sur une grille quadrillée au pas de 2,54 mm. Les ordonnées sont repérées en a, a', b, b', c, c', d, d'... Les abscisses en 1, 2, 3, 4, 5, 6, 7, 8... Pour chaque composant, les coordonnées de ses

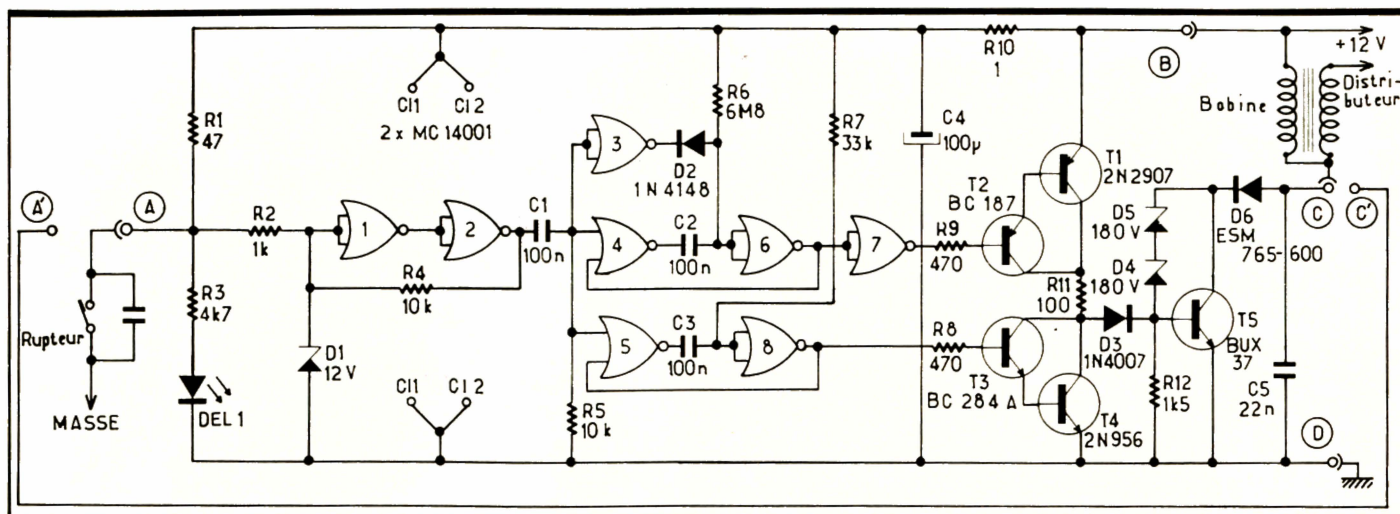
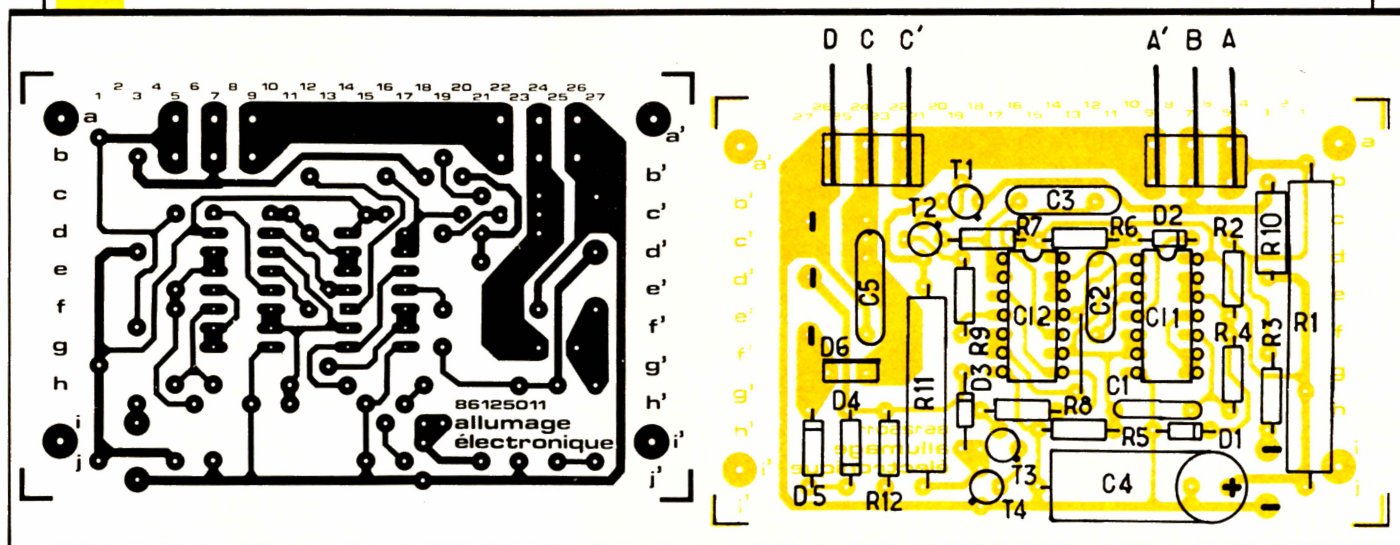


Fig. 1 Schéma de principe général.

Fig. 2 Principe des kits Electronique et 3 Collège.

tesse de rotation du moteur. De fait, plus le moteur tourne vite et plus l'énergie libérée dans l'étincelle est faible. De plus, le courant traversant le rupteur étant élevé,

l'usure des contacts du rupteur (vis platiniées) est importante. Voyons comment, avec EXPE 16, ces deux inconvénients sont éliminés !

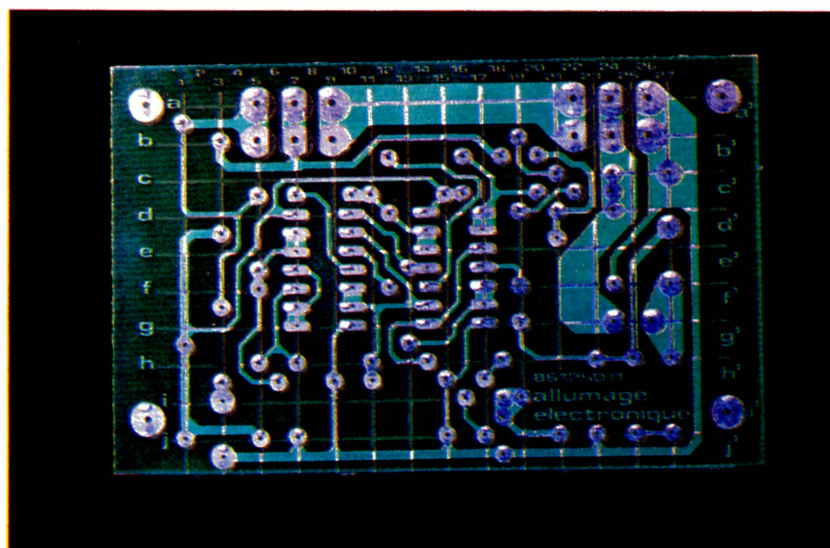


connexions données dans le tableau de montage, vous permettent de le positionner correctement à coup sûr.

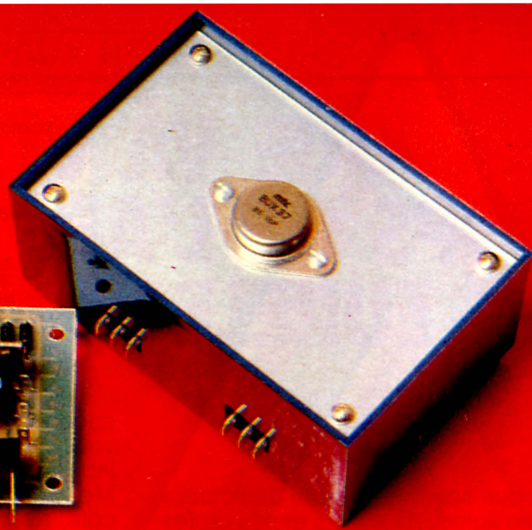
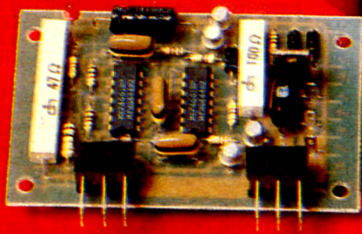
La **figure 1** propose le schéma électrique de EXPE 16.

Avant d'aborder le fonctionnement de ce montage, nous allons revenir brièvement sur le principe rupteur/bobine.

La position « normale » du rupteur est la position fermée. Dans cette position, un courant important passe dans la bobine qui emmagasine alors de l'énergie. A l'ouverture du rupteur, cette énergie est libérée dans le circuit d'allumage, provoquant une étincelle sur une des bougies. Malheureusement, le temps d'ouverture du rupteur est inversement proportionnel à la vi-



Un circuit imprimé, prêt à percer avec vernis épargne.



Le montage s'introduira à l'intérieur d'un coffret P2.

EXPE 16 utilisant deux circuits intégrés logiques, il est nécessaire de filtrer l'alimentation, cela est réalisé par la cellule R10/C4.

Le courant traversant maintenant le rupteur est limité par R_1 à environ 300 mA. Ce courant est assez fort pour assurer un autonettoyage des « vis platinées » et assez faible pour limiter leur usure.

Les impulsions, disponibles, aux bornes du rupteur, sont appliquées à un circuit anti-rebond (Trigger de Schmitt) constitué de R_2 , R_4 , et des portes logiques NOR 1 et 2 montées chacune en inverseur. La diode Zener D_1 protège le circuit logique. Ces impulsions sont ensuite appliquées à deux circuits monostables.

Le premier circuit bâti autour des portes 3, 4, 6 et 7 est réarmable. Lorsqu'arrive une impulsion, ce circuit valide pendant environ 400 ms la partie puissance du montage en rendant T_1 et T_2 conducteurs. Si le moteur tourne, une autre impulsion arrivera avant la fin des 400 ms et réarmera (grâce à D_2) le dispositif. En revanche, si le moteur s'arrête (pendant plus de 400 ms), ce circuit inhibera la partie puissance et aucun courant ne pourra plus traverser la bobine, évitant ainsi que celle-ci ne chauffe et ne se détruise. Le deuxième circuit monostable constitué de C3/R7 et des portes 5 et 6, agit sur T3/T4. Lorsqu'une impulsion survient, la sortie de la porte 8 passe à « 1 », saturant ainsi T3/T4 et bloquant T5. C'est à ce moment que l'énergie emmagasinée dans la bobine est libérée dans la bougie. La période active de ce monostable étant fixe (2 ms), la durée

et l'énergie de l'étincelle restent constantes quand le régime moteur varie.

Les diodes D_3 à D_6 protègent T_5 et le montage, contre les surtensions dues à la présence d'un élément inductif (la bobine) dans le circuit.

MONTAGE

La figure 2 propose le plan d'implantation de EXPE 16. Un tableau de montage exposé dans la notice explicative indique la procédure à suivre. Pour chaque composant, le repérage de son emplacement et son orientation se font par ses coordonnées (lettres, chiffres).

Exemple : la résistance R_4 de 10 k Ω en f5/h5 indique que la résistance R_4 doit avoir une connexion soudée en f5, l'autre en h5.

Le suivi de cette procédure évite tout risque d'erreur.

MISE EN ROUTE

Avant de monter EXPE 16 dans son boîtier et le tout sous le capot de votre voiture, vérifiez, une dernière fois, la qualité des soudures (court-circuit entre pistes ou soudure à l'aspect mat et rugueux), ainsi que l'implantation et l'orientation des composants.

Vous pouvez maintenant brancher EXPE 16 en vous aidant de la figure 1. Le plot B va au + 12 volts de la bobine, le plot D va à la masse du véhicule (sauf pour les véhicules ayant le + relié au châssis). Débranchez le fil reliant bobine et rupteur. Le côté bobine vient se connecter au plot C, le côté rupteur vient sur le A. Démarrez, tout doit

se passer correctement. Si vous rencontrez des problèmes, déplacez la cosse branchée sur A en A', et celle branchée sur C en C', vous repassez ainsi en allumage « conventionnel ». Si votre moteur redémarre, il ne vous reste plus qu'à revérifier le bon câblage de votre circuit.

LISTE

DES COMPOSANTS

Résistances : R_1 : 47 Ω , 5 W (valeur marquée en toutes lettres)

R_2 : 1 k Ω , 1/4 W (marron, noir, rouge)

R_3 : 4,7 k Ω , 1/4 W (jaune, violet, rouge)

R_4 , R_5 : 10 k Ω (marron, noir, orange)

R_6 : 6,8 M Ω , 1/4 W (bleu, gris, vert)

R_7 : 33 k Ω , 1/4 W (orange, orange, orange)

R_8 , R_9 : 470 Ω , 1/4 W (jaune, violet, marron)

R_{10} : 1 Ω , 1/2 W (marron, noir, or)

R_{11} : 100 Ω , 3 W (valeur marquée en toutes lettres).

R_{12} : 1,5 k Ω , 1/4 W (marron, vert, rouge)

Condensateurs :

C_1 , C_2 , C_3 : 100 nF polyester (marron, noir, jaune ou en toutes lettres)

C_4 : 100 μ F chimique, axial ou radial

C_5 : 22 nF, 630 V mini, polyester (rouge, rouge, orange ou en toutes lettres).

Diodes :

D_1 : Diode Zener 12 V

D_2 : 1N 4 148

D_3 : 1N 4 007

D_4 , D_5 : Diodes Zener 180 V ou 160 V

D_6 : ESM 765-600 (ou 800) ou RTF 60

DEL 1 : Diode électroluminescente rouge 3 mm.

Transistors :

T_1 : 2N 2 907

T_2 : BC 187

T_3 : BC 284 A

T_4 : 2N 956

T_5 : BUX 37

Circuits intégrés :

CI_1 , CI_2 : MC 14 001 ou équivalent

Divers :

3 picots

2 connecteurs à 3 cosses

2 vis 3 \times 12

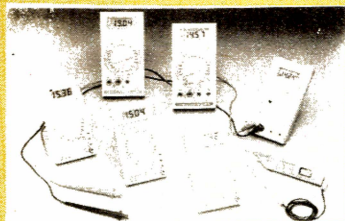
2 écrous de 3 mm

2 rondelles éventail de 3 mm

1 cosse à œillet

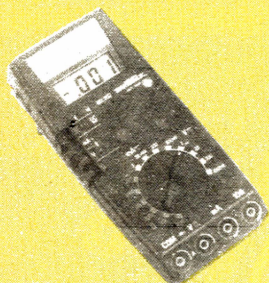
1 boîtier (en option).

Beckman CIRCUIMATE



DM 10	445 F	DM 45	907 F
DM 15	598 F	DM 73	627 F
DM 20	698 F	DM 77	674 F
DM 25	798 F	CM 20	1065 F
DM 40	724 F	LP 10	206 F

metrix



MX 522	849 F	MX 462	741 F
MX 562	1 150 F	MX 202	1 020 F
MX 230	735 F	MX 111	557 F
MX 430	936 F	MX 111 Kit	445 F

MINI ENCEINTE BALADEUR

Pour système baladeur et magnétophone
— HP : Ø 50 mm
— Puissance max : 3 W
— Cordons : 0,90 m avec jack Ø 3,5 stéréo
— Dimensions : 41 x 95 x 62 mm
La paire

45 F

**POUR LE
LANCÉMENT...**



TRANSISTOR MÈTRE

Caractéristiques : Ce transistormètre permet de tester tous les types de transistors (en et hors circuit), basse et haute fréquence, commutation, puissance Darlington, diode et afficheur à Led.

Prix : 275 F

Livré avec
**100 transistors
et diodes**

SIGNAL TRACER TS 35 B

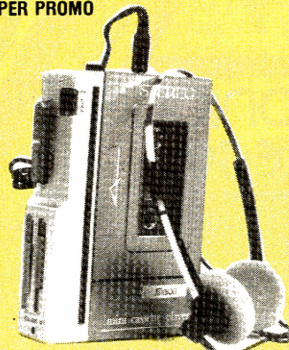


- Sensibilité : 1 mV.
- Entrée commutable : B.F. faible, B.F. forte, HF. Sortie générée : 1 kHz environ.
- Puissance de sortie : 2 W.
- Dim. : 210 x 95 x 140.

Prix en kit **420 F**
En ordre de marche **590 F**

BALADEUR

SUPER PROMO



(Photo non contractuelle)

Baladeur stéréo livré avec casque	
Baladeur	140 F
Baladeur autoreverse	350 F
Baladeur K7 FM	450 F

**DE NOUVEAU
DISPONIBLE**

PROMOTION

CAPACIMÈTRE EN KIT

AFFICHAGE DIGITAL
DE 1 pF à 10 000 µF
EN 8 GAMMES

LIVRÉ AVEC
100 CONDENSATEURS
POUR ESSAIS

220 F
(avec boîtier) **255 F**

NOTRE SÉLECTION KIT MESURE

Alimentation stabilisée 3 à 24 V 2 ampères. Affichage digital en kit	280 F
Commutateur électronique pour oscillo de 0 à 1 MHz en 2 gammes	155 F
Générateur de fonction de 1 Hz à 400 kHz ∞	270 F
Générateur d'impulsion de 0,1 Hz à 150 kHz en 6 gammes	244 F
Traceur de courbes NPN PNP	190 F
Signal tracer HF - BF	175 F
Capacimètre digital de 1 pF à 10 000 µF	220 F
Voltmètre digital de 0 à 999 V	180 F
Fréquence-mètre digital de 30 Hz à 50 MHz	450 F
Fréquence-mètre digital de 0 à 1 GHz	850 F*
Testeur de THT test dynamique du bobinage	195 F*

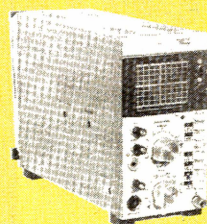
* Kit livré avec boîtier.

REMISE DE 10 % SUR L'ACHAT DE 3 KITS

OSCILLOSCOPE PORTATIF 0 à 10 MHz

Livré avec :
1 sonde rapport 1-1.
1 sonde rapport 1-10.
10 mV à 5 V/division.
Base de temps déclenchée.
Vitesse de balayage
0,1 µs/DIV.
à 50 milli/s. DIV.

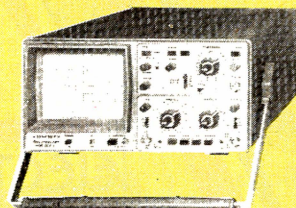
1450 F



PROMOTION

(FRANCO 1520 F)

OSCILLOSCOPE « HAMEG HM 203/5 » 20 MHz



Caractéristiques techniques
Commutation des canaux : alt. et découpé (1 MHz).
Addition et différence : canal II ± canal I (avec
touche d'inversion pour canal I).
Fonction XY : mêmes gammes de sensibilité.
Amplificateurs verticaux (Y)
Bande passante des deux canaux : 0-20 MHz
(-3 dB), montée : 17,5 ns.
Impédance d'entrée : 1 MV II 30 pF.
Base de temps
Vitesse de balayage : 18 positions calibrées de
0,5 ms/cm à 0,2 s/cm en séquence 1-2-5,
variable 1 : 2,5 à au moins 0,2 ms/cm.
Testeur de composants
Tension de test : 8,5 V_{eff} max. (sans charge).
Courant de test : 24 mA_{eff} max. (court-circuit).

3650 F

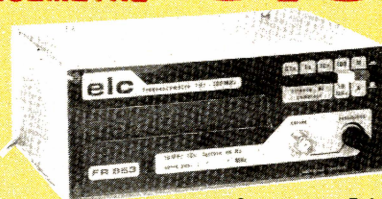


SONDE OSCILLO

ELC	225 F
HAMEG	249 F
INTER	175 F

NOUVEAU FRÉQUENCEMÈTRE 853

elc **GENRAD**



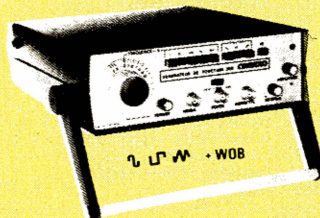
1 Hz à 100 MHz

- Esthétique nouvelle
- Atténuateur
- Grands afficheurs
- Fiable
- Sensible

1423,20 F TTC

Ce nouveau Fréquence-mètre donnera
satisfaction aux techniciens les plus exigeants.

GÉNÉRATEUR



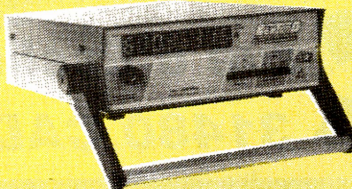
1 Hz à 200 kHz ... **1 423 F**

GÉNÉRATEUR



BF 791 S
1 Hz à 1 MHz **950 F**

FRÉQUENCEMÈTRE 346



1 Hz à 600 MHz ... **1 957 F**

ALIMENTATION VARIABLE



AL 745	560 F
AL 812	650 F
AL 781	1 542 F

Mobtel

ELECTRONIQUE
DIVISIONS
MESURE et COMPOSANTS

35-37, rue d'Alsace - 75010 PARIS
Tél. : 46.07.88.25.
Métro : gares du Nord (RER ligne B) et
de l'Est

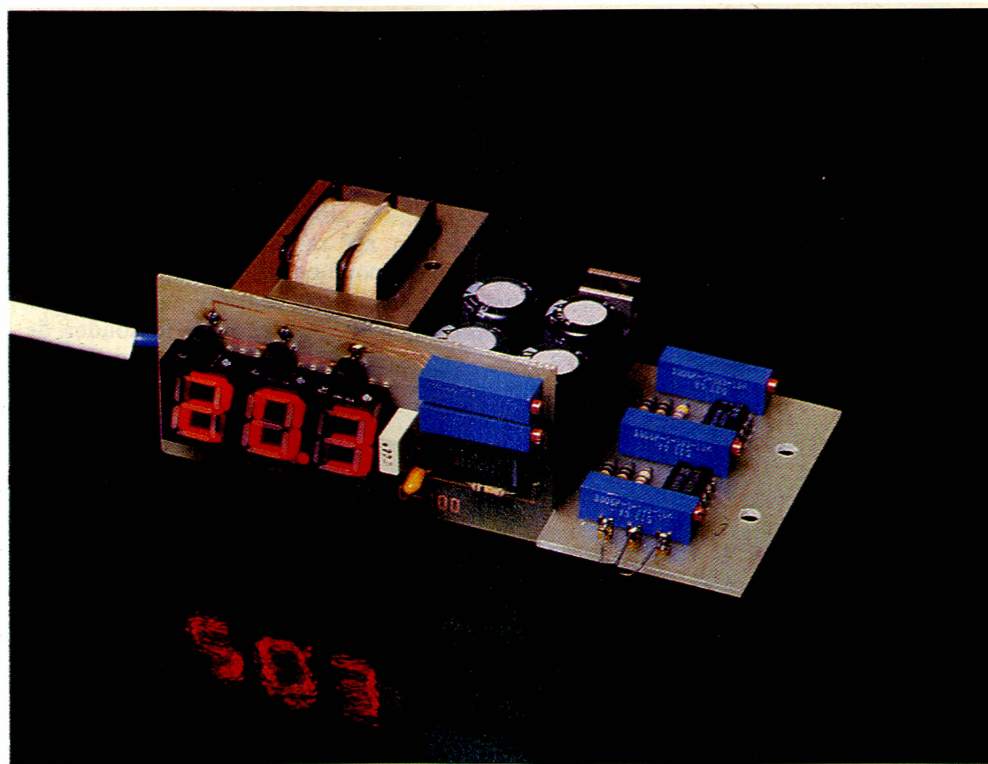
OUVERT tous les jours de 9 h à 19 h sans interruption.
Le samedi de 9 h à 18 h. Fermé le dimanche.

Expédition :
FRANCO DE PORT MÉTROPOLE
pour toute commande supérieure à 500 F,
sauf sur promo.
Moins de 500 F et promo :
pour moins de 2 kg : 25 F, de 2 kg à 5 kg : 40 F
EXPÉDITION HORS TAXES
DOM-TOM EUROPE AFRIQUE



LE THERMOMETRE RAM THD 0~100

Ce kit permet de mesurer des températures entre $-9,9^{\circ}$ et $99,9^{\circ}$ Centigrades avec une résolution de $1/10^{\circ}$ de degré. Il utilise la technologie d'un capteur bien connu et courant, le LM 335Z, associé à une diode Zener programmable, la TL 431.



La figure 1 précise le schéma de principe du montage. Le capteur, en fonction de la température, fait varier une tension entre 2,23 V pour -50°C à 3,73 V pour $+100^{\circ}\text{C}$. La tension de 2,73 V équivalant à une température de 0°C .

Pour calibrer et obtenir un affichage directement lisible de la température, il faut donc annuler ces 2,73 V à 0°C . C'est le travail du

LM 741 qui est monté en différentiateur.

En effet, son entrée inverseuse se voit appliquer une tension de 2,73 V en provenance du TL 431, tandis que l'entrée non-inverseuse reçoit la tension provenant du LM 335Z (capteur). En clair, on soustrait 2,73 V de la tension du capteur (exemple $2,94\text{ V} - 2,73\text{ V} = 0,21\text{ V}$ soit 210 mV). Nous avons dit, plus haut, que pour 100°C , nous avons

une tension de 3,73 V, alors $3,73\text{ V} - 2,73\text{ V} = 1\text{ V}$, soit 1 000 mV. La mesure maxi étant de 100°C , nous avons donc $1\,000\text{ mV}/100^{\circ}\text{C} = 10\text{ mV}$ par $^{\circ}\text{C}$. Nos 210 mV de l'exemple, nous donnent donc une température de $210\text{ mV}/10\text{ mV} = 21,0^{\circ}\text{C}$.

Pour obtenir la résolution de $0,1^{\circ}\text{C}$, on utilise donc le calibre d'affichage de 1,00 V pleine échelle. Il est inutile de revenir sur le système d'affichage, de très nombreux

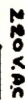
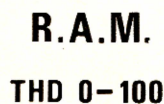
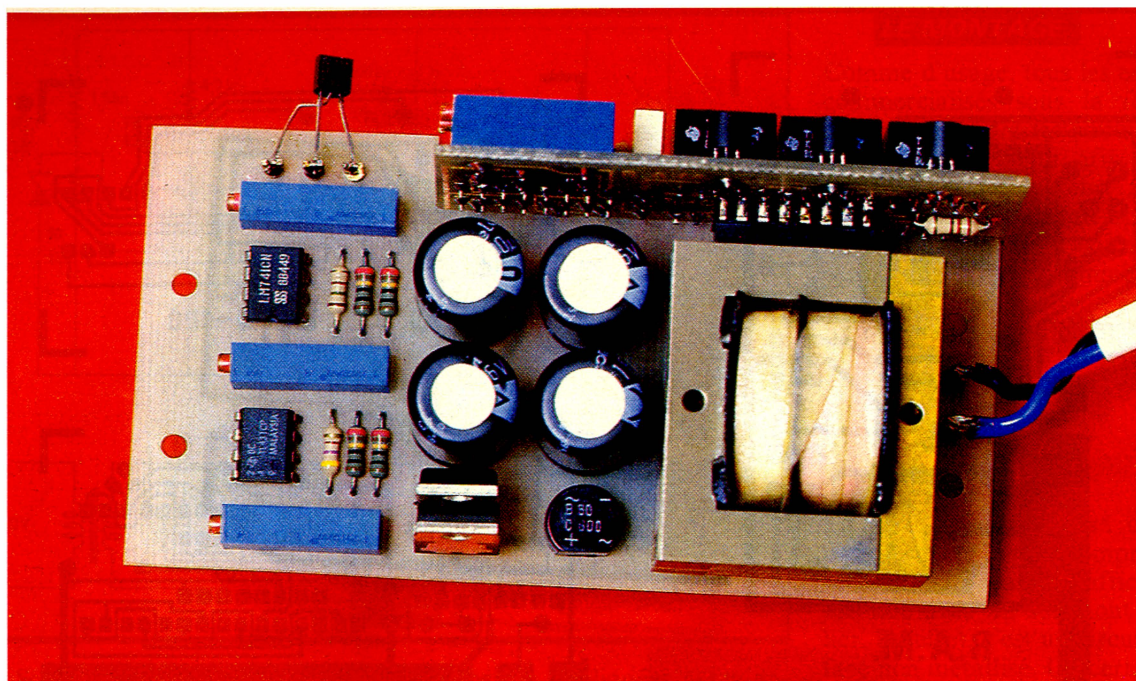


Fig. 2 et 3 Plusieurs circuits imprimés dont un double face autorisent la réalisation.

- 2° Monter et souder les afficheurs (ne pas oublier les six soudures côté afficheurs).
- 3° Les trois transistors.
- 4° Le CA 3 162.
- 5° La 100 k, le 0,22 μ F, le 1 μ F (attention à la polarité), les deux trimmers 10 tours.
- 6° Vérifier qu'aucune soudure ne soit oubliée.
- 7° Souder le circuit d'affichage avec le circuit principal, à l'équerre.



La carte imprimée principale avec le transformateur.

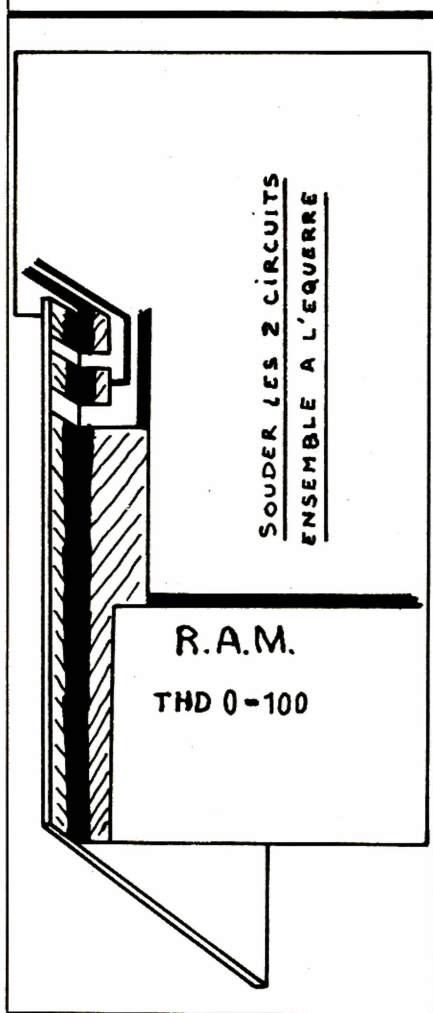


Fig.4

Disposition à l'équerre des deux circuits imprimés.

NOTA : Pour une meilleure qualité, ne pas utiliser de support.

REGLAGE

Mettre le thermomètre sous tension (220 V A.C.).

- 1° Court-circuiter les points A et B et ajuster AJ₄ pour afficher 00,0.
- 2° Enlever le court-circuit.
- 3° Ajuster AJ₁ pour obtenir 2,73 V entre les points A et C
- 4° Ajuster AJ₃ pour obtenir environ 3,00 V entre les points A et D.
- 5° Court-circuiter les points C et D.

6° Ajuster AJ₂ pour réafficher 00,0.

7° Enlever le court-circuit.

8° Ajuster AJ₃ pour obtenir 3,72 V entre les points A et D.

9° Ajuster AJ₅ pour afficher 99,9.

10° Tremper le LM 335Z dans une tasse avec eau et glaçons, attendre la stabilité thermique (environ 2 mn).

11° Rerégler AJ₃ pour afficher 00,0.

Votre thermomètre est opérationnel, il ne reste plus qu'à le mettre dans un coffret (le capteur devant être à l'extérieur du coffret).

NOMENCLATURE

- 1 circuit imprimé principal.
- 1 circuit imprimé affichage.

Résistances 1/4 W, 5 % :

- 1 × 220 Ω (rouge, rouge, marron)
- 1 × 1,5 kΩ (marron, vert, rouge)
- 1 × 4,7 kΩ (jaune, violet, rouge)
- 1 × 100 kΩ (marron, noir, jaune)

Résistances 1/4 W, 1 % :

- 4 × 100 kΩ

Condensateurs au pas de 5,08 :

- 1 × 0,22 μF radial
- 1 × 1 μF tantale
- 4 × 1 000 μF 16 V radiaux

Circuits intégrés :

- 1 LM 335 Z
- 1 LM 741
- 1 TL 431
- 1 CA 3 161
- 1 CA 3 162

Transistors :

- 3 BC 557 ou équivalent

Divers :

- 1 régulateur 7 805 TO 220
- 1 régulateur 7 905 TO 220
- 1 pont 1A, 100 V
- 5 trimmers 10 kΩ 10 tours
- 1 transfo 2 × 6 V, 3 VA à picots
- 3 afficheurs anode C.



CdA MAN'X 500

La robustesse au service du numérique

Il manquait à cet ensemble un appareil ajoutant, à la robustesse, la précision du numérique. C'est maintenant chose faite, avec le MAN'X 500.

UNE CONCEPTION

MECANIQUE

ORIGINALE

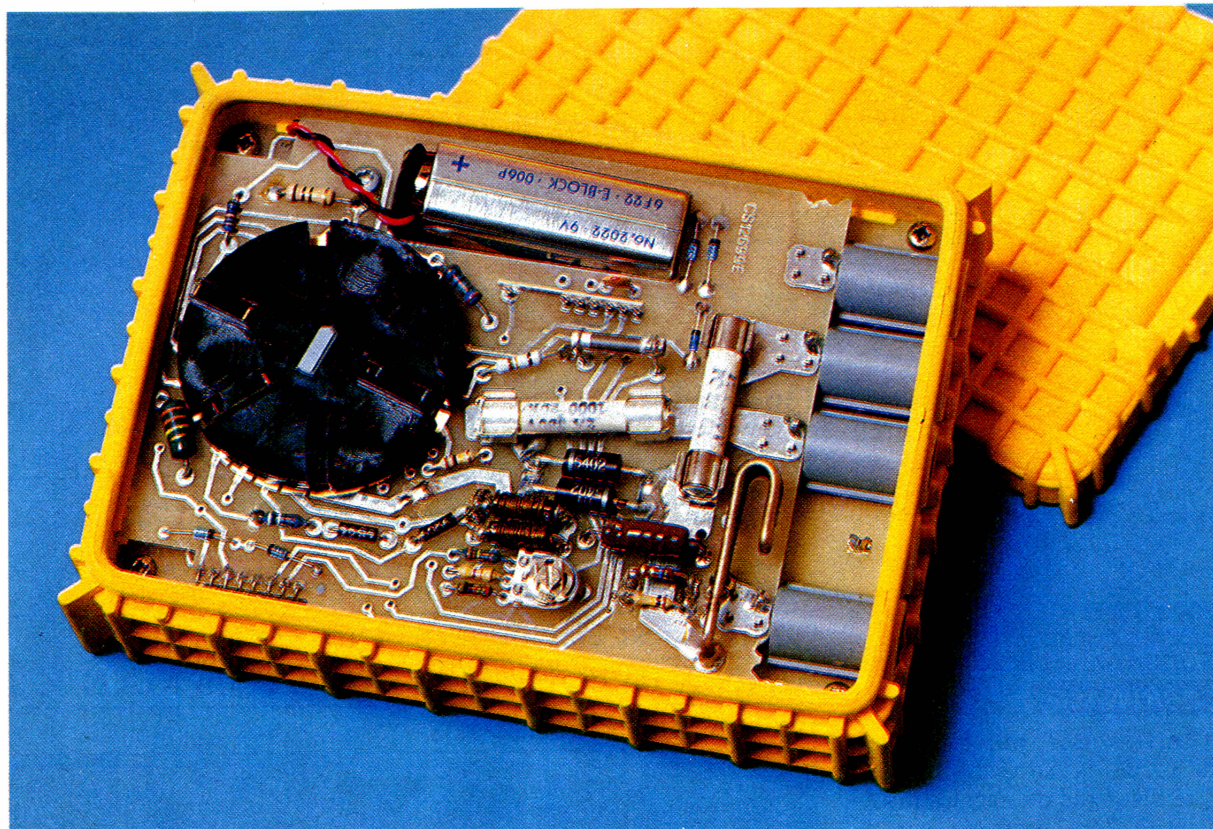
La famille des multimètres MAN'X, de la société française CdA, se distingue de tous les matériels jusqu'alors proposés sur le marché, par une réponse nouvelle aux problèmes de la résistance aux chocs. Il ne s'agit pas là d'un exercice gratuit, mais d'une préoccupation liée aux conditions d'utilisation des appareils. De plus en plus, ceux-ci quittent l'atelier ou le laboratoire, pour gagner les chantiers, les garages... Cette nouvelle destination les expose à de rudes contraintes, aussi bien pendant les transports que sur le site même.

Traditionnellement, chez tous les constructeurs s'étant penchés sur la question, la protection contre les chocs, d'un multimètre monté en boîtier rigide, s'obtenait par l'adjonction optionnelle d'une ceinture souple. Il ne peut s'agir là que d'un remède partiel, et CdA, reprenant le problème à la base, va beaucoup plus loin.

Les circuits imprimés portant l'ensemble des composants, y compris, dans le cas présent, l'afficheur à cristaux liquides, ne sont solidaires du boîtier (souple) que par emboîtement dans des gorges moulées, sans aucune liaison rigide sous forme de vis ou de rivets. Le boîtier lui-même, réalisé dans un matériau à consistance de caoutchouc semi-rigide, comporte toute une série de nervures, notamment sur les angles, qui absorbent la plus grande partie

On se rappelle l'étonnante solidité du multimètre analogique MAN'X 02, premier d'une série qui a vu le jour voici maintenant deux ans, et qui se distingue par une conception révolutionnaire de l'ensemble boîtier-circuit. Depuis cette date, la famille s'est élargie, avec l'apparition du MAN'X 04 d'abord (40 k Ω /V), et du MAN'X 01 destiné aux électriciens.





Vue intérieure de l'appareil (il s'agit là d'un prototype).

des accélérations subies lors des chocs. Il en résulte une robustesse exceptionnelle, à laquelle s'ajoute une résistance aux ruissellements.

Pour le MAN'X 500, CdA a choisi une couleur jaune vif, qui accentue la vocation de ce multimètre à fréquenter les chantiers, où on le repèrera facilement, même dans le plus vaste désordre.

PRESENTATION DU MAN'X 500

Dans cet appareil à 2000 points de mesure, les concepteurs ont également visé la simplicité d'emploi, et la réduction des risques d'erreur. A cet effet, toutes les fonctions et tous les calibres (29 au total), ainsi que la mise sous tension et l'arrêt, sont sélectionnés par un unique commutateur rotatif de grand diamètre, et offrant une bonne prise en main. L'afficheur à cristaux liquides, avec des chiffres de 12,7 mm de hauteur, et un excellent contraste même sous faible éclairage, confère une lisibilité parfaite. Outre le résultat des mesures, avec indication de la polarité, il fournit un signal de dépassement de gamme (seul reste appa-

rent le « 1 » de gauche), et un autre pour l'usure de la pile, dès que la tension de cette dernière descend au-dessous de 7,5 V.

Les bornes de raccordement des cordons de mesure, conçues pour un isolement maximal, contribuent à la sécurité de l'utilisateur.

RESUME DES CARACTERISTIQUES PRINCIPALES

Comme nous l'avons dit, le MAN'X 500 est un « 2000 points »,

qui offre les fonctions et les calibres suivants :

- **Tensions continues** : 5 calibres, de 200 mV à 1 000 V, à pleine échelle, avec une précision de $\pm 0,5\%$ de la lecture ± 1 point. La résistance interne de 10 M Ω , atteint 100 M Ω sur le calibre 200 mV.

- **Tensions alternatives** : avec les mêmes calibres qu'en continu, et les mêmes résistances d'entrée, la précision atteint $\pm 1\%$ de la lecture ± 2 points, dans une plage de référence de 20 à 500 Hz. Les courbes ci-jointes précisent d'ailleurs la réponse en fréquence, pour les divers calibres (fig. 1).

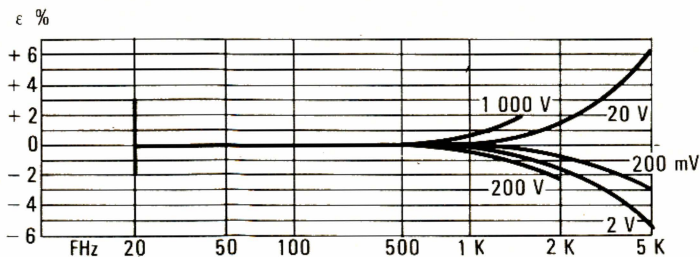
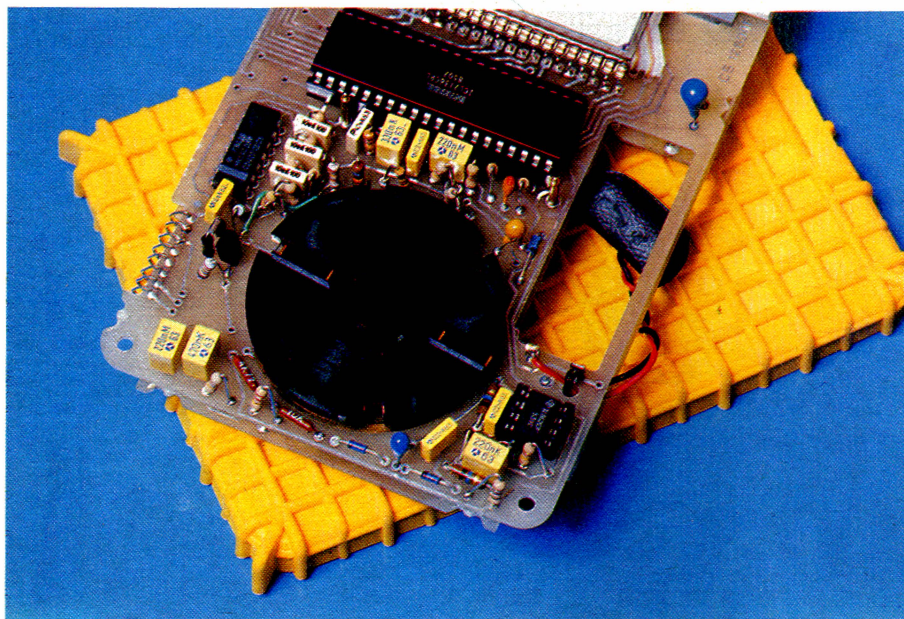


Fig. 1

Courbes typiques de réponse en fréquence.

A L'INTERIEUR DU BOITIER



Aspect du commutateur rotatif.

● **Intensités continues :** 6 calibres, de 200 μ A à 20 A à pleine échelle, avec une précision de $\pm 1\%$ de la lecture ± 1 point. L'entrée 20 A s'effectue sur une borne séparée, et est protégée par un fusible HPC.

● **Intensités Alternatives :** mêmes calibres qu'en continu, mais avec une précision de $\pm 1,7\%$ de la lecture ± 2 points.

● **Résistances :** 6 calibres, de 200 Ω à 20 M Ω à pleine échelle, avec une précision de $\pm 1\%$ de la lecture ± 1 point ($\pm 1,5\%$ de la lecture ± 5 points sur le calibre 20 M Ω).

● **Test des jonctions :** un courant de source de 0,6 mA donne l'affichage, en millivolts, de la chute de tension aux bornes des jonctions semi-conductrices.

Le MAN'X 500 s'alimente à l'aide d'une pile miniature de 9 V, et ne consomme que 0,5 mA sur la majorité des calibres. Ceci lui confère une autonomie d'au moins 600 heures (pile au zinc), et jusqu'à 900 heures avec une pile alcaline.

COUP D'ŒIL SUR LE SCHEMA

Le schéma complet apparaît en figure 2. Sa relative simplicité tient à l'emploi du circuit intégré Intersil

ICL 7136, convertisseur analogique/numérique à double rampe, à zéro automatique, et conçu pour le pilotage direct d'afficheurs LCD.

On remarquera l'utilisation d'une quadruple porte « ou exclusif », qui facilite la commutation des points décimaux, et qui sert aussi à commander l'indicateur « LO BAT » signalant l'usure de la pile.

Les photographies qui accompagnent notre article, montrent l'architecture interne de l'appareil. Les composants se répartissent sur deux circuits imprimés. Sur la face qui reçoit l'afficheur, on trouve aussi le circuit intégré ICL 7136, la porte « ou exclusif » 4070, et l'amplificateur opérationnel TL062.

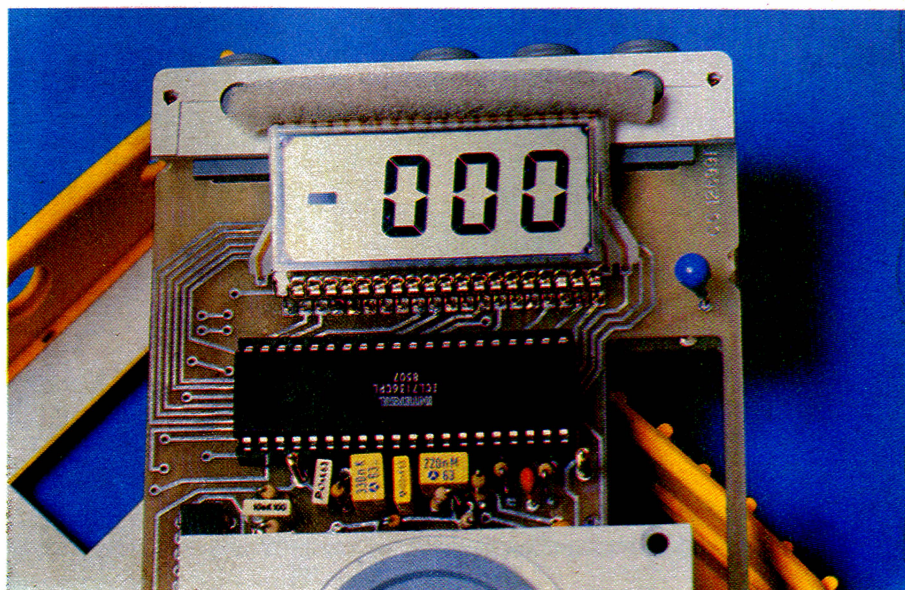
L'autre face, accessible à l'utilisateur par simple démontage du fond du boîtier (on tire dessus, comme pour les boîtes à aliments de votre réfrigérateur : pas de vis, aucun outil...) porte les deux fusibles de protection. Des logements, moulés dans la contre-plaque, permettent de transporter, sans risque de perte, des modèles de remplacement qui autoriseront un échange instantané. Le commutateur rotatif utilise des pistes directement gravées sur le circuit imprimé, et dorées : c'est un gage de qualité et de fiabilité.

NOS CONCLUSIONS

Avec le MAN'X 500, CdA propose un multimètre numérique offrant les meilleures performances accessibles à un 2000 points.

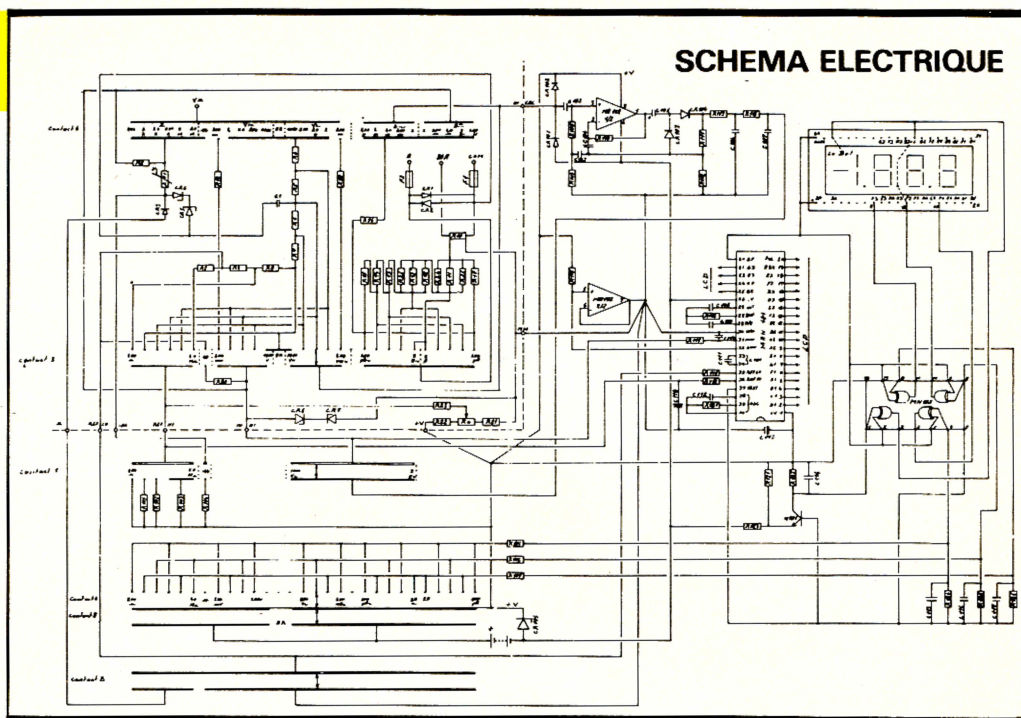
La qualité de la fabrication garantit un long usage sans problèmes, et l'éventail des protections met l'ap-

L'afficheur et le convertisseur analogique/numérique.



Le schéma de principe de l'appareil se construit autour du circuit intégré Intersil convertisseur analogique/numérique.

Fig. 2



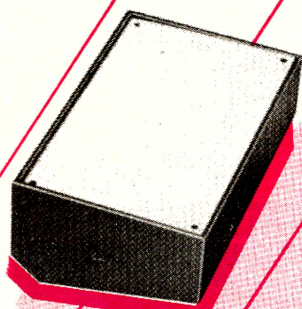
pareil à l'abri des fausses manœuvres, tout en assurant la sécurité de l'utilisateur.

L'aspect le plus révolutionnaire de ce multimètre réside évidemment dans sa conception mécanique, d'où découle une robustesse sans égale : tous ceux qui travaillent dans des conditions sévères y seront sensibles.

R. RATEAU

« T'AS LE LOOK

TEKO »

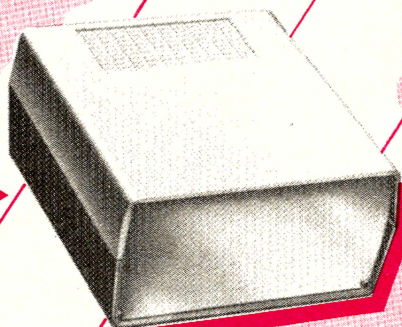


◀ **SÉRIE PULT-BOX**
(3 modèles)

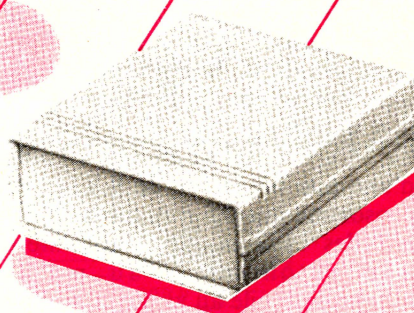


◀ **SÉRIE OPTATIVE PLASTIC**
(4 modèles)

SÉRIES KL et AUS
(18 modèles)



SÉRIE CAB
(6 modèles)



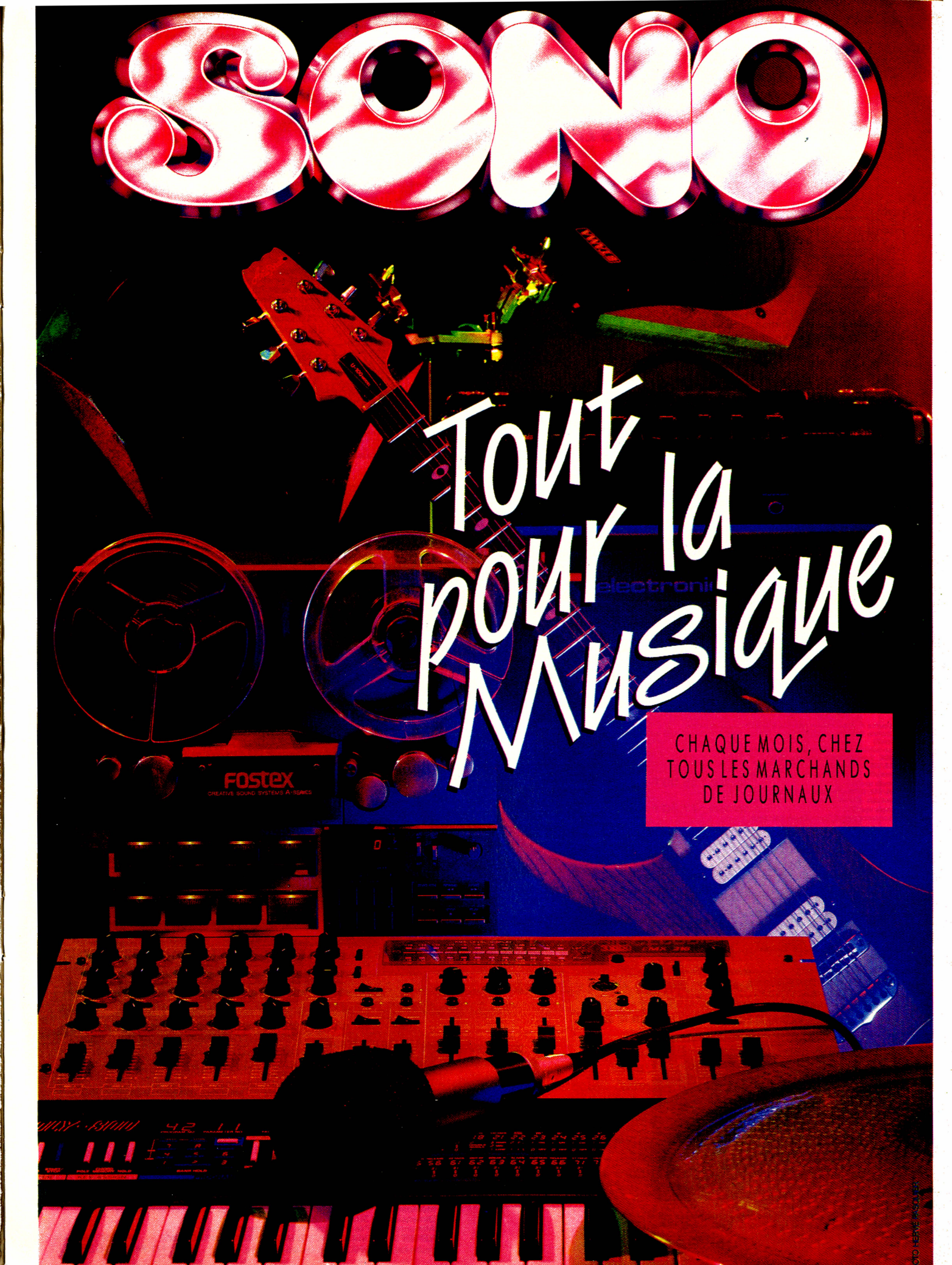
PLUS de **160** modèles de coffrets plastique ou métal...

EN VENTE chez votre revendeur habituel...

CATALOGUE COULEUR contre l'envoi de trois timbres-poste...

FRANCLAIR ÉLECTRONIQUE - B.P. 42 - 92133 ISSY-LES-MOULINEAUX

SONO

A vibrant, high-contrast collage of musical equipment. At the top, the word 'SONO' is rendered in large, metallic, 3D letters. Below it, a variety of instruments and gear are layered together: a guitar neck and headstock, two large reel-to-reel tape reels, a Fostex mixer with numerous knobs, a keyboard with visible keys, and a large, textured speaker or microphone grille in the bottom right. The background is a mix of dark and bright colors, creating a sense of depth and energy.

Tout la pour la Musique

CHAQUE MOIS, CHEZ
TOUS LES MARCHANDS
DE JOURNAUX

Selectronic

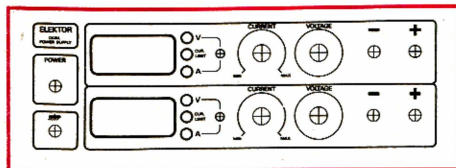
VENTE PAR CORRESPONDANCE :
11, RUE DE LA CLEF - 59800 LILLE - Tél. 20.55.98.98

Paiement à la commande : ajouter 25 F pour frais de port et emballage.
Franco de port à partir de 600 F. ● **Contre-remboursement** : Frais d'emballage et de port en sus. ● **ACOMPTÉ** : 20 % à la commande.
Nos kits comprennent le circuit imprimé et tous les composants nécessaires à la réalisation, composants de qualité professionnelle (RTC, COGE-CO, SIEMENS, PIHER, SFRNICE, SPRAGUE, LCC, etc.), résistances COGE-CO, condensateurs, ainsi que la face avant et le transformateur d'alimentation si mentionnés. Nos kits sont livrés avec supports de circuits intégrés.
● Colis hors norme PTT : Expédition en PORT DU.

TARIF AU
01/06/86

UN APERÇU DE NOS KITS LES PLUS VENDUS

DOUBLE ALIMENTATION DE LABORATOIRE "SUPER COMPACTE"



Grâce à un tout nouveau concept, cette alimentation se distingue par une limitation de dissipation astucieuse qui lui permet de se loger dans un boîtier de faible dimensions.

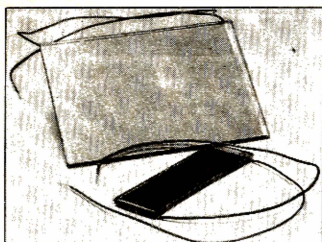
CARACTÉRISTIQUES TECHNIQUES :

- 2 sections indépendantes réglables - de 0 à 20 V - de 0 à 1,25 A.
- Totalelement protégée contre les courts-circuits.
- Affichage digital LED sur chaque voie de la tension ou du courant de sortie.
- Dimension du boîtier (hors dissipateur) : 215 x 81 x 166 mm

LE KIT : Il est fourni avec transfo spécial, contre face avant percée, face avant sérigraphiée, blindage, composants et accessoires, etc...

LE KIT ALIMENTATION DOUBLE... 122.6455 1 695,00 F

SELECTRONIC DISTRIBUE LES PHOTOPILES SOLEMS AU SILICIUM AMORPHE



- Une source de tension bien adaptée à l'électronique moderne
 - Très bonne linéarité du courant avec l'éclairement (du clair de lune au plein soleil)
 - Une sensibilité spectrale voisine de celle de l'œil
- EN STOCK : 2 modules unitaires sont disponibles :
- 05/048/016/C : 2,8 v/90 uA pour 1000 Lux. Puissance utile : 125 uW. Dimensions : 48 x 16 x 2 mm. La photopile type 05... 122.5601 25,00 F
 - 12/064/048/C : 16 v/150 uA pour 1000 Lux. Puissance utile : 600 uW. Dimensions : 64 x 48 x 2 mm. La photopile type 12... 122.5602 77,50 F
- Documentation détaillée sur simple demande.

CHRONOPROCESSEUR

HORLOGE A SIGNAUX HORAIRE CODÉS (FRANCE INTER)

NOUVELLE VERSION : - Accordée sur la nouvelle fréquence de France Inter (626,000 kHz). - Compatible avec le nouveau code d'informations (qui sera mis en place de façon définitive le 11/02/87) - Récepteur sans mise au point.

Le CHRONOPROCESSEUR est une horloge programmable de conception, de performances et de précision exceptionnelle.

Résumé de ses possibilités : - Réception de signaux horaires codés calibrés sur l'horloge atomique de l'émetteur de FRANCE INTER G.O. (Stabilité : 10⁻¹² s. par jour) - Affichage : les signaux permettent d'afficher en permanence : heures, minutes et secondes, le jour de la semaine. Une touche spéciale donne l'affichage du mois et de l'année en cours - Mise à l'heure : AUTOMATIQUE y compris lors des changements d'heure d'hiver et ce, dès la mise sous tension ou après une coupure de courant - Programmation : 4 sorties indépendantes programmables. Notre kit est fourni avec ACCUS DE SAUVEGARDE de la programmation et télérie avec face avant percée et sérigraphie, circuits imprimés (dont un double face à trous métallisés), accessoires, etc. Dimensions : 200 x 80 x 130 mm

LE KIT CHRONOPROCESSEUR PROFESSIONNEL (avec nouveau décodeur) complet avec télérie 122.6469 1990,00 F

LE KIT DU RÉCEPTEUR-DÉCODEUR SEUL... 122.6470 1200,00 F

EN PRÉPARATION : - Module d'affichage géant visualisant toutes les informations contenues dans les signaux horaires - Interface V 24

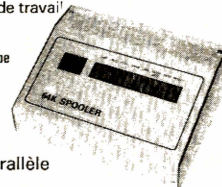
Notice détaillée concernant le CHRONOPROCESSEUR sur simple demande.

BUFFER MULTIFONCTIONS INTELLIGENT (SPOOLER 64 K)

N'IMMOBILISEZ PLUS VOTRE ORDINATEUR PENDANT L'IMPRESSION GRACE AU SPOOLER 64 K

A présent vous pouvez mettre à profit le temps d'impression en temps de travail

Photo du prototype



CARACTÉRISTIQUES TECHNIQUES :

- Mode de transmission : Parallèle
- Processeur : Z80
- Taille du branchement correct de l'imprimante par émission d'un texte clé.
- Possibilité de suppression des espaces (listings).
- Mode page par page (impression de feuilles volantes).
- Possibilité de répétition du contenu du buffer (100 fois maximum).
- Possibilité d'impression de chaque page en plusieurs exemplaires, page par page.
- Possibilité de définir, par interrupteurs DIL, le nombre de lignes par page (n'importe quelle valeur comprise entre 31 et 93).
- Remise à zéro matérielle.

LE KIT : Il comprend tout le matériel nécessaire y compris la mémoire programmée, fils en nappe, connecteurs, boîtier puitre, cordon secteur tripolaire, accessoires, etc...

LE KIT COMPLET... 122.6432 1 275,00 F

EN OPTION :

KIT CONVERTISSEUR SÉRIE/PARALLÈLE BIDIRECTIONNEL (EPS 84078)

Fourni avec connecteurs RS 232 et CENTRONICS, accessoires, etc.

LE KIT COMPLET (SANS BOÎTIER)... 122.6462 749,50 F

PROMO DU MOIS

CAPACIMÈTRE CM 200

Capacimètre digital (3 1/2 digits) de haute qualité.

- Affichage à cristaux liquides 13 mm

- 8 gammes de mesure de 1 pF à 2000 uF

- Correction de zéro (Compensation des cordons de mesure)

- Précision : +0,5 % jusqu'à 200 uF ± 1 % au-delà

- Mesure :

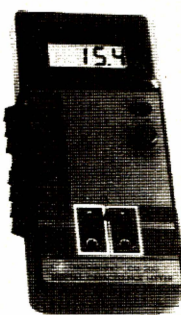
- par pinces pour condensateurs au pas de 7,5 mm à 27,5 mm

- par mini cordons de mesure

- Alimentation : pile ou accu 9 v

- Dimensions : 90 x 180 x 38 mm

Le capacimètre CM 200... 20.6479 699,00 F



FRÉQUENCEMÈTRE A uP - 1,2 GHz

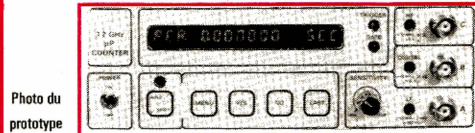


Photo du prototype

Ce fréquencemètre en kit, unique sur le marché, permet au technicien et à l'amateur d'accéder enfin à des performances et un agrément d'utilisation dignes d'un matériel professionnel bien plus onéreux. Son câblage, simplifié à l'extrême, ne présente aucune difficulté. (Utilisation de circuits double-face à trous métallisés). Ce kit bénéficie du nouveau prescaler très sensible.

Caractéristiques techniques :

GAMMES DE MESURES : - Fréquences : de 0,01 Hz à 1,2 GHz - Périodes : de 10 ns à 100 s. - Impulsions : de 100 ns à 100 s. - Comptage : 0 à 10⁹ impulsions.

SENSIBILITÉ : Entrée B.F. : 10 mV eff. (Z = 2 MΩ) ; Entrée digitale : niveau TTL ou C-MOS (Z = 25 kΩ) ; Entrée H.F. : 10 mV eff. jusqu'à 900 MHz - 25 mV eff. de 900 à 1200 MHz.

TECHNOLOGIE : - uP : 6802 - AUTO-TEST - AUTO-RANGING (Conversion automatique de gammes) - Résolution : 6 ou 7 digits au choix ; - Affichage : alphanumérique fluorescent à 16 digits ; - Choix de la mesure : Par MENU (dialogue avec l'utilisateur).

BASE DE TEMPS : Au choix :

1) Soit oscillateur hybride intégré de précision, de stabilité ± 10 ppm entre 0 et 70 °C (version de base)

2) Soit oscillateur à quartz contrôlé en température (TCXO) ultra-précis, de stabilité meilleure que ± 1 ppm entre 0 et 70 °C

DIMENSIONS : 215 x 81 x 166 mm

LE KIT : Il est fourni avec : - Circuits imprimés double-face à trous métallisés et sérigraphiés

- Composants professionnels, transfo spécial d'alimentation, et mémoire programmée - Supports TULIPE - Connecteurs et câbles en nappe - Face avant sérigraphiée avec clavier de contrôle intégré - Coffret avec contre-face avant percée - Filtre secteur - Boîtier blindé pour la tête H.F.

LE KIT COMPLET 1,2 GHz avec oscillateur hybride intégré... 122.6349 2750,00 F

EN OPTION : oscillateur de référence TCXO 1 ppm... 122.5520 699,00 F

KIT ANALYSEUR LOGIQUE

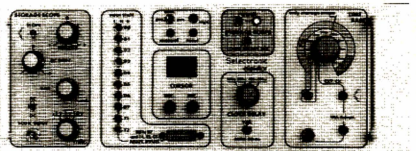
Si vous possédez 1 oscilloscope, ce montage très sophistiqué vous permettra de visualiser jusqu'à 8 signaux digitaux simultanés, de le transformer en oscillo à mémoire et ce à un prix très abordable.

Caractéristiques générales : - Permet l'échantillonnage de 8 lignes de données de 256 états logiques. - Horloge interne 4 MHz. - Un curseur permet de pointer sur l'écran un mot logique de 8 bits. - L'extension mémoire permet de mémoriser des signaux analogiques. - Compatible TTL-TTL-LSS-C-MOS.

LE KIT : Il comprend : - l'analyseur logique - l'extension mémoire - les tampons d'entrée pour circuits C-MOS.

Kit complet avec circuits imprimés, alimentations et accessoires (sans coffret et face avant) 122.6061 2450,00 F

EN OPTION : Rack ET 39/13 fourni avec poignée et face avant percée et sérigraphiée... 122.6453 450,00 F



ALLUMAGE ELECTRONIQUE HAUTE ENERGIE

Notre système utilise les circuits les plus récents développés par les américains en électronique automobile. Son principal avantage réside dans l'exploitation maximale des possibilités de la bobine d'allumage. Energie constante et "DWEELL" ajusté automatiquement à tous les régimes.

- Grande souplesse du moteur - Nervosité accrue - Réduction de consommation - Boîtier compact - Idéal pour auto-moto-bateau, etc... Documentation détaillée sur simple demande.

- Le kit complet, fourni avec bobine d'allumage spéciale IGNITRON... 122.1595 520,00 F

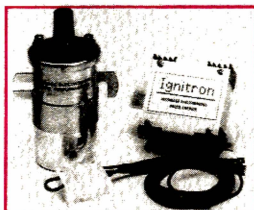
- Le kit IGNITRON seul... 122.1592 349,50 F

Bougie LODGE spéciale pour allumage électronique. Durée de vie très élevée.

(Préciser le type exact du véhicule... 122.6055 33,00 F

*Version montée en ordre de marche disponible (nous consulter).

Vu dans ELECTRONIQUE PRATIQUE N° 92



UN KIT SENSATIONNEL !

De nombreux autres kits sont décrits dans notre catalogue

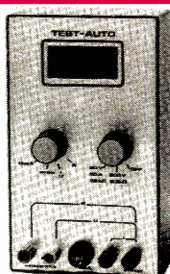
- Système d'alarme
- Détecteur infrarouge
- Barrière infrarouge
- Horloges programmables
- Thermomètres numériques
- Amplis audio
- Générateur de fonction
- Wobulateur
- Capacimètre
- RLC-mètre
- Alimentations
- Générateur d'impulsions
- Fréquencemètre

TEST-AUTO

1^{er} MULTIMÈTRE DIGITAL EN KIT POUR LE CONTRÔLE ET LA MAINTENANCE DES VEHICULES AUTOMOBILES

PRINCIPALES CARACTÉRISTIQUES

- Affichage LCD 3 1/2 digits
- Mesure des tensions : 10 mV à 200 V en 2 gammes
- Mesure des courants : 10 mA à 20 A
- Mesure des résistances : 0,1 Ω à 20 kΩ en 2 gammes
- Compte-tours : de 10 à 7000 tr/mn
- Angle de came : (DWEELL) de 0,1° à 90°.



Notre kit complet comprend tout le matériel électronique, circuit imprimé, coffret avec face avant sérigraphiée et percée, supports de circuits intégrés, douilles et accessoires...

Le kit complet... 122.1499 569,00 F

UN VÉRITABLE LABORATOIRE DANS VOTRE POCHE !

LE MULTIMÈTRE DIGITAL (4000 POINTS) A MICROPROCESSEUR

MARCO POLO PANTEC

1) GAMMES DE MESURE :

- VOLTÈMÈTRE : continu : de 100 uV à 1000 V alternatif : de 1 mV à 750 V

- AMPÈRÈMÈTRE : continu et alternatif : de 1 mA à 10 A

- OHMMÈTRE : de 0,1 Ω à 40 MΩ

- TESTEUR DE CONTINUITÉ par signal sonore (buzzer)

- FRÉQUENCÈMÈTRE : - de 29 à 850 Hz - amplitude du signal : 2 à 750 V

- résolution : 0,1 Hz

- COMPTE-IMPULSIONS : - jusqu'à 159.999 - F. max : 200 impulsions/sec.

- TIMER : jusqu'à 1 h 39' 50" (permettant d'effectuer des mesures automatiquement à des intervalles de temps donnés)

- CHRONOMÈTRE : jusqu'à 1 h 39' 50"

2) CARACTÉRISTIQUES TECHNIQUES

- Affichage : - LCD 4000 points + Barregraphe analogique 16 segments

- Indication des symboles et des fonctions sélectionnées

- Indication lumineuse d'épuisement de batterie

- Sélection des calibres : dans la fonction choisie, changement de gamme automatique ou manuel

- Mémoire : permet de mémoriser jusqu'à 3 valeurs de mesure avec leur symbole

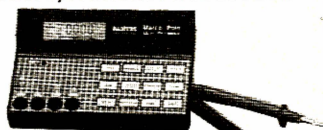
- Dimensions : 130 x 100 x 20 mm

- Alimentation : Pile 9 v alcaline (200 heures d'autonomie)

SPLENDIDE DOCUMENTATION GRATUITE EN COULEURS SUR SIMPLE DEMANDE.

PRIX DE LANCEMENT

Le multimètre MARCO POLO (Fourni avec étui et cordons)... 122.6476 1535,00 F





UN SIMULATEUR DE PRESENCE

Les vacances sont à notre porte ce qui signifie entre autres, que de nombreux pavillons, maisons et appartements seront abandonnés sans surveillance particulière... Alors, il existe peut-être une autre façon d'aborder le problème de la prévention des cambriolages en s'orientant vers la simulation d'une présence à l'intérieur de l'habitation.

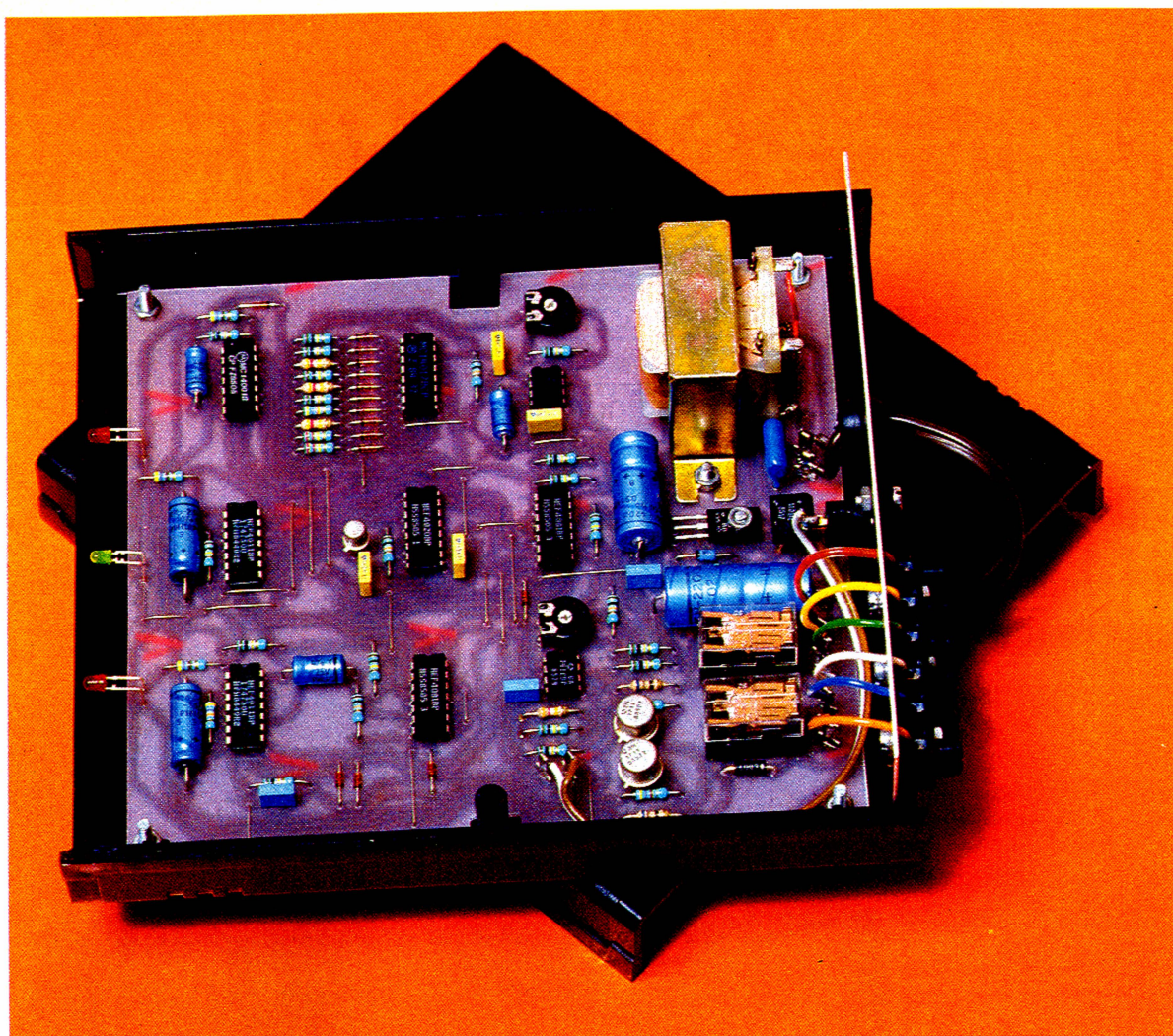


Cette solution peut se révéler dans certains cas d'une meilleure efficacité que les divers systèmes d'alarme classiques, ou du moins constituer une complémentarité intéressante grâce à son aspect purement préventif.

I - LE PRINCIPE

Une photorésistance CTN détecte la tombée de la nuit. Aussitôt, deux relais d'utilisation sont autorisés à se fermer à condition qu'une position particulière d'un compteur ne provoque pas leur ouverture. Ce

compteur fonctionne par ailleurs sous l'impulsion d'une base de temps variable. Ajoutons que les séquences de fermetures ou d'ouvertures des relais semblent tout à fait indépendantes d'un canal de sortie à l'autre. Enfin, pour un canal donné il existe un retard volontaire



La carte imprimée principale fixée au fond du boîtier.

à l'allumage tandis que l'autre canal se distingue par un retard à l'extinction.

En fait, lorsque le dispositif se met en route, un certain cycle prend son départ ; celui-ci peut être fort différent de celui de la veille. En définitive, pour un observateur placé à l'extérieur de l'habitation, il est impossible de déceler une régularité apparente des phénomènes. Signalons que ces derniers ne sont pas forcément caractérisés par l'allumage et l'extinction de points lumineux, mais peuvent également, du moins pour un canal, être matérialisés par la mise en route d'un poste radio ou de tout autre appareil électroménager.

Les phénomènes cessent lorsqu'un certain nombre de fermetures du relais d'un canal donné, a été enregistré. Etant donné la présence d'un

ajustable agissant sur la base de temps de l'ensemble, on peut régler la durée de la simulation, dans certaines limites, tout en conservant en partie le caractère aléatoire de cette durée. Le synoptique de la **figure 1** reprend le principe général de fonctionnement du simulateur.

II - FONCTIONNEMENT ELECTRONIQUE

a) Alimentation (fig. 2)

L'énergie nécessaire au fonctionnement de l'ensemble sera prélevée du secteur. Un transformateur abaisse donc le 220 V à 12 V ; cette dernière tension est aussitôt redressée par un pont de diodes puis filtrée par la capacité C_2 . Par la suite, et grâce à la présence d'une diode

Zener qui stabilise à 10 V la base d'un transistor T_1 , on recueille sur l'émetteur de ce dernier, une tension continue et régulée de l'ordre de 9,5 V. La capacité C_3 assure un complément de filtrage tandis que les capacités C_1 et C_4 de faible valeur, ont pour mission d'écouler les éventuelles fréquences parasites en provenance du secteur. Le courant délivré par cette alimentation est de l'ordre de 120 à 150 mA lorsque les deux relais d'utilisation sont en position de fermeture.

b) Base de temps (fig. 2)

Cette base a pour cœur un circuit célèbre dans notre revue : l'irremplaçable 555. Le brochage et le fonctionnement de ce composant sont rappelés en **figure 5**. La période des créneaux délivrés au ni-

veau de la sortie est fonction de la valeur de C_5 , de R_2 , de l'ajustable A_1 et de la résistance insérée entre le « plus » de l'alimentation et la broche n° 7 de IC_1 . Nous verrons ultérieurement que cette dernière est variable ce qui a pour conséquence une base de temps elle-même variable. Lorsque le curseur de A_1 est positionné à mi-course, suivant la valeur de la résistance insérée, on enregistre une période allant de 0,5 à 1 seconde. La porte AND I de IC_2 est montée en trigger de Schmitt qui confère aux signaux des fronts montant et descendant bien verticaux. On peut noter que dans le cas de signaux issus d'un 555, il est tout à fait inutile de « verticaliser » les fronts étant donné qu'ils possèdent déjà cette qualité. Par contre, les états hauts ont une valeur inférieure de quelques dixièmes de volt au potentiel positif de l'alimentation. Le trigger constitué par la porte AND I de IC_2 a donc plutôt comme mission de délivrer à sa sortie des créneaux calibrés de zéro à la valeur maximale positive de l'alimentation. Le fonctionnement correct de la base de temps est matérialisé par le clignotement d'une LED L_1 insérée dans le circuit collecteur du transistor T_2 ; la résistance R_6 limite l'intensité dans L_1 à une valeur de l'ordre de 15 mA.

Les créneaux disponibles à la sortie du trigger sont dirigés sur l'entrée

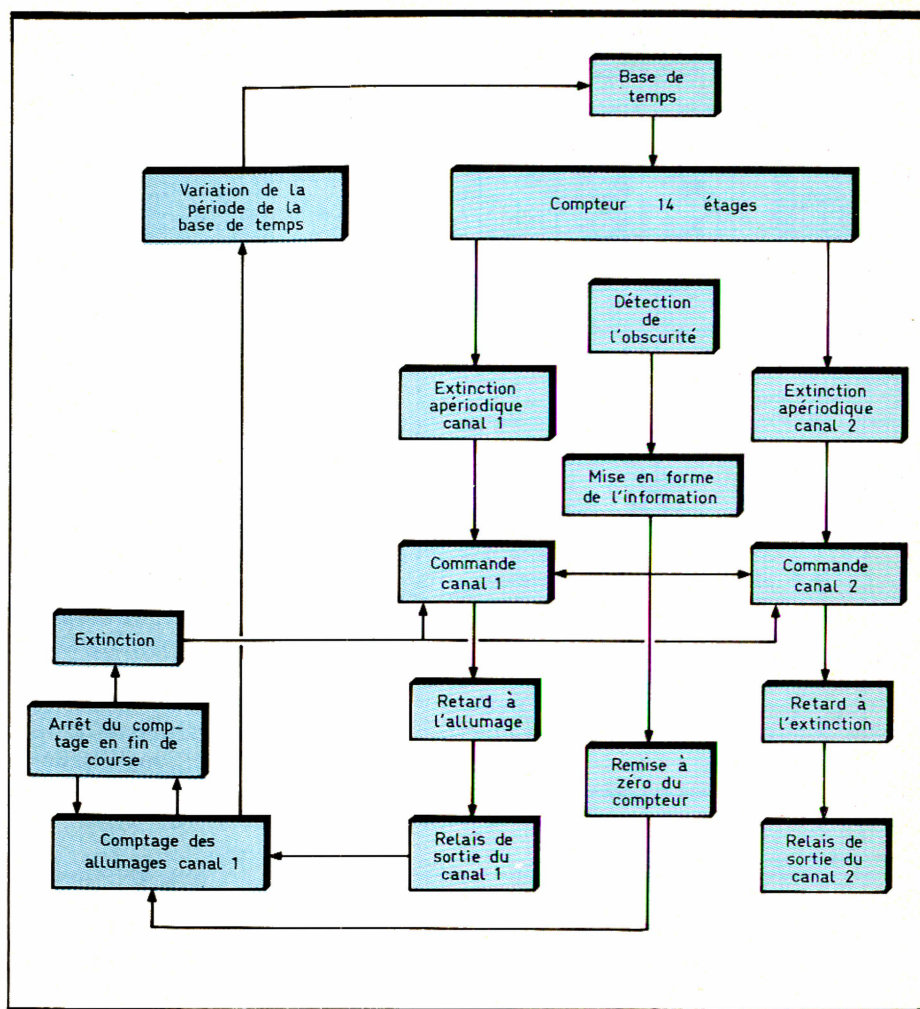
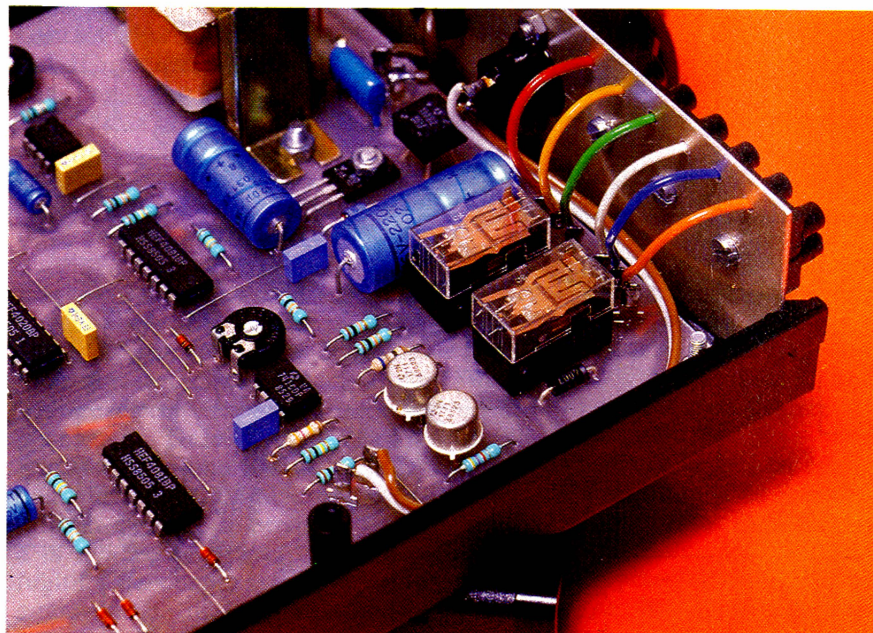


Fig. 1 Synoptique du montage.

« Horloge » d'un compteur IC_3 . Ce dernier est constitué de 14 étages consécutifs, montés en cascade. Le compteur change de position au rythme des fronts négatifs des créneaux présentés sur l'entrée H. La période disponible sur la sortie Q_1 se trouve donc multipliée par 2, celle de Q_2 par 4, soit $2^2 \dots$ celle de Q_{14} par 2^{14} c'est-à-dire 16384. Grâce à ce compteur, on voit qu'il est possible d'obtenir des temps relativement importants en partant d'une base de temps très faible, d'où une bonne fiabilité de fonctionnement. L'entrée RESET reste normalement soumise à un état bas; toute impulsion positive sur cette dernière a pour effet immédiat la remise à zéro de toutes les sorties.

Une première porte NAND IV de IC_4 a ses entrées reliées aux sorties Q_{11} et Q_{13} tandis que la porte NAND III de IC_4 est reliée aux sorties Q_{12} et Q_{14} . Ces portes présentent en général un état haut au niveau de leur sortie dans le cas

Gros plan sur les deux relais d'utilisation.



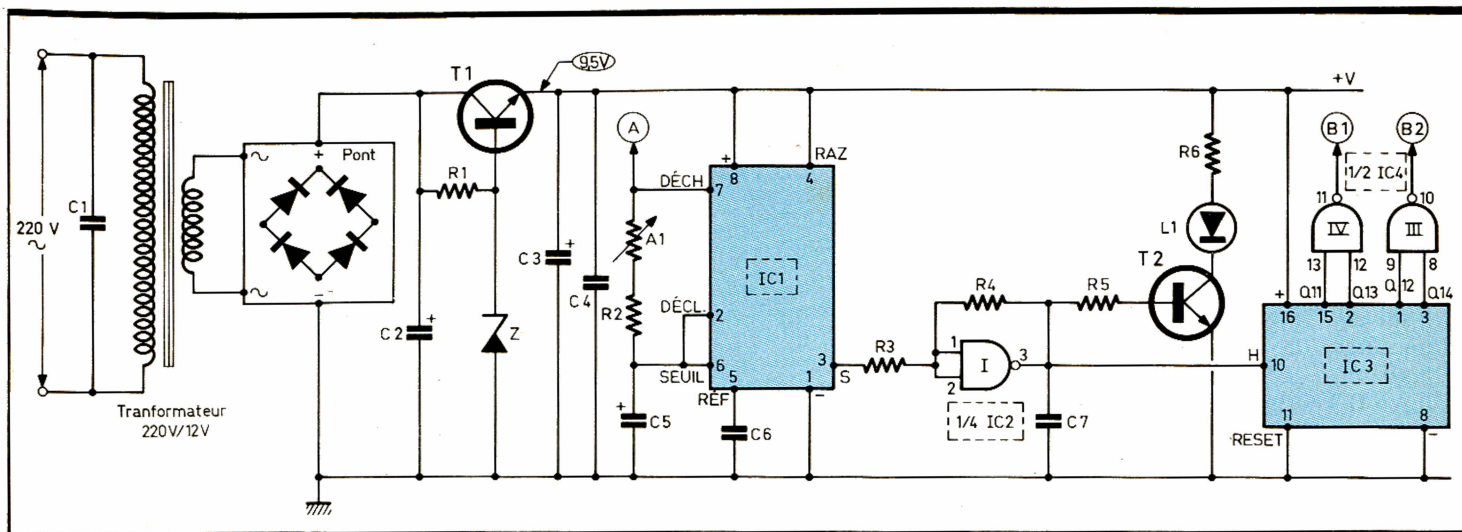
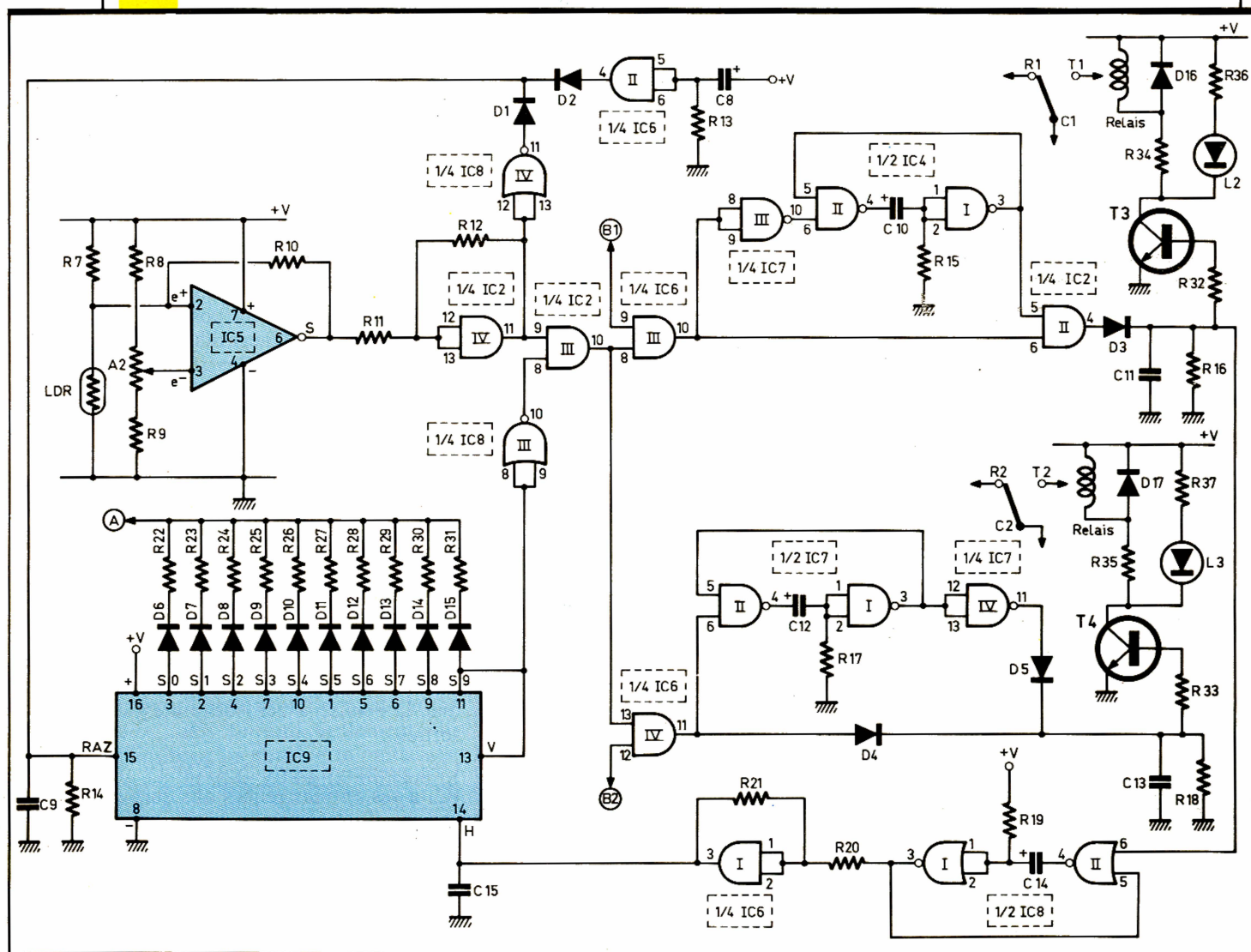


Fig. 2 Schéma de principe de la partie alimentation et base de temps.

Fig. 3 Détection de l'obscurité, commande des canaux de sortie et comptage du nombre d'allumages.

général ; elles ne présentent un état bas que dans le cas où deux entrées se trouvent simultanément soumises à un état haut. Les oscillogrammes de la **figure 4** montrent les successions de ces états bas sur les canaux B1 et B2. Comme on le verra ultérieurement, le fonctionnement

de la base de temps étant permanent, un cycle peut démarrer à n'importe quel moment, si bien que beaucoup de cas de figures sont possibles. Rappelons que la fin du cycle est matérialisée par l'aboutissement d'un comptage du nombre d'allumages du canal numéro 1.



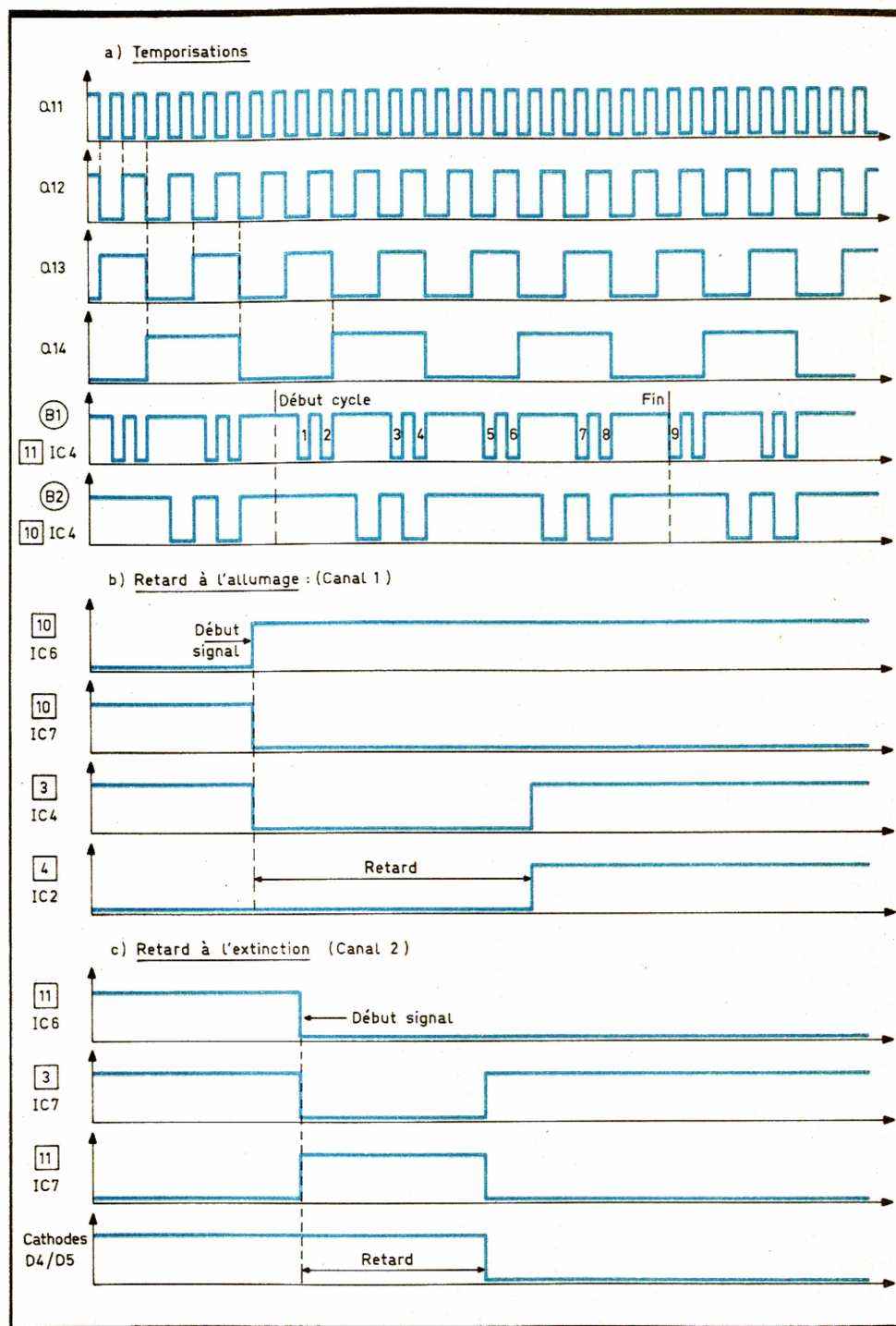
c) Détection de l'obscurité (fig. 3)

Le composant fondamental est bien sûr la LDR c'est-à-dire une photo-résistance. Rappelons qu'un tel élément présente une résistance ohmique de plusieurs centaines de kilohms s'il se trouve placé dans l'obscurité complète. Par contre, cette résistance chute à une valeur inférieure à une centaine d'ohms quand la LDR reçoit la lumière du jour. Elle est donc montée en série avec R_7 et au niveau de la jonction R_7 -LDR on enregistre :

- un potentiel pratiquement nul si la LDR reçoit la lumière du jour,
- un potentiel voisin de 9,5 V si la LDR est placée dans l'obscurité totale.

Cette information est prise en compte par IC_5 qui est également un composant très courant puisqu'il s'agit d'un 741, monté en comparateur de potentiel, dont on peut rappeler brièvement le fonctionnement. Lorsque le potentiel présenté sur l'entrée inverseuse est supérieure à celui auquel est soumise l'entrée directe, la sortie présente un état voisin de zéro : de l'ordre de 2 V. Inversement si, ce potentiel de l'entrée inverseuse est inférieure à celui de l'entrée directe, la sortie de IC_5 présente un état haut de l'ordre de 7,5 V.

Grâce à l'ajustable A_2 , on fixe donc sur l'entrée inverseuse un potentiel de référence de l'ordre de 4,5 à 5 V (curseur positionné à mi-course). Ainsi en plein jour le potentiel sur l'entrée directe étant quasiment nul, IC_1 présente à sa sortie un état bas. Par contre, dans l'obscurité la sortie passe à un état haut. A l'aide de l'ajustable A_2 , il est possible de régler à volonté le point de basculement souhaité, le soir à la tombée de la nuit. La résistance R_{10} introduit une réaction positive au moment du basculement. En effet, lorsque la sortie de IC_5 passe de l'état bas vers l'état haut, R_{10} achemine un surcroît de potentiel sur l'entrée directe, ce qui stabilise le phénomène. Grâce à cette disposition, on ne risque pas de basculement inverse indésirable qui pourrait par exemple se produire le soir à la tombée de la nuit du passage fugitif d'un nuage, avec une légère augmentation de la luminosité par la suite.



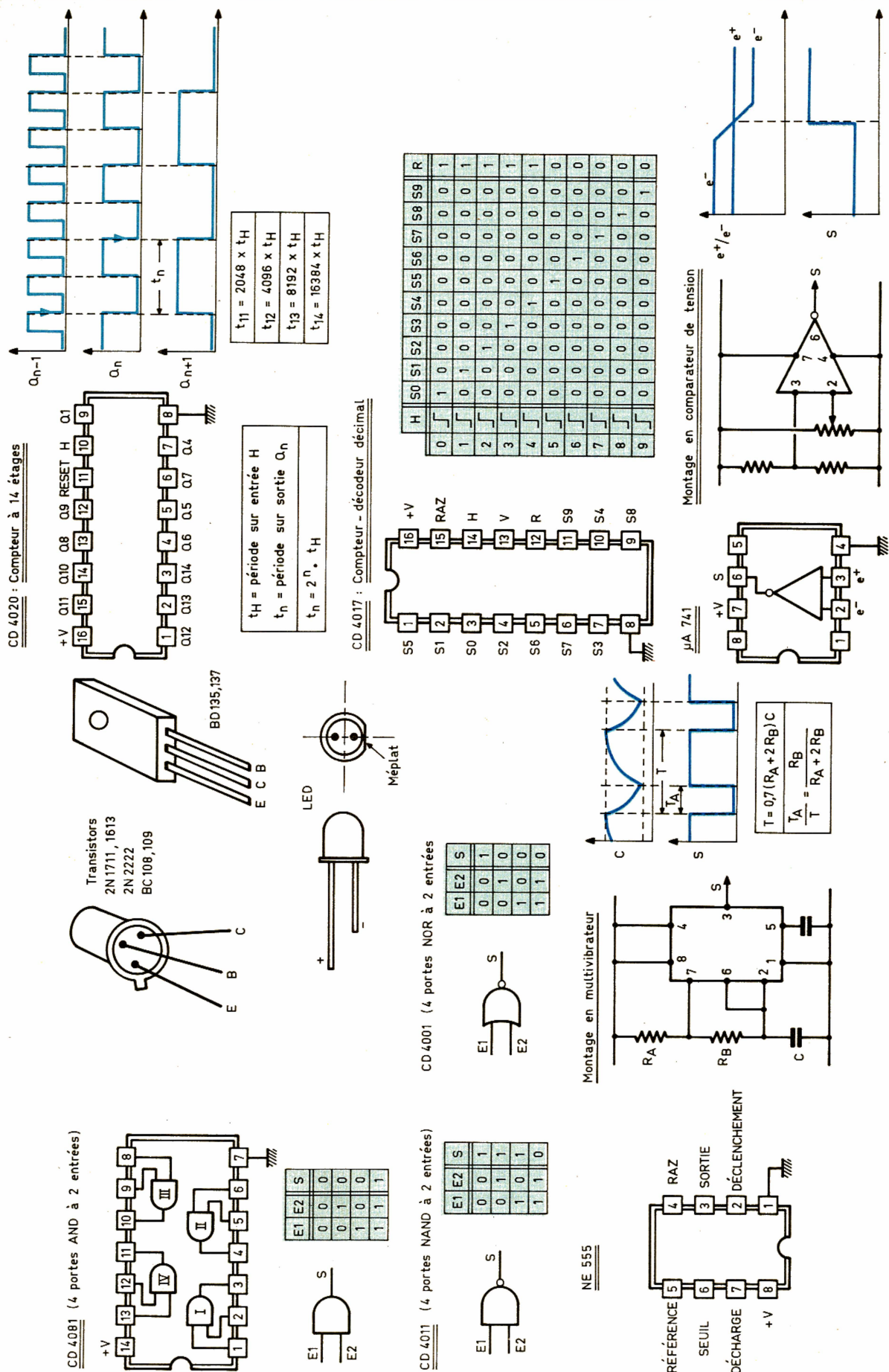
On montrerait de la même manière que R_{10} introduit également une réaction stabilisatrice lorsque la sortie de IC_5 passe d'un état haut vers un état bas, grâce à une « fuite » de potentiel de l'entrée directe vers la sortie.

La porte AND IV de IC_2 est également montée en trigger de Schmitt. A sa sortie, on dispose ainsi d'états hauts de 9,5 V ou au contraire d'états bas à potentiel nul. La porte NOR IV de IC_8 inverse ces niveaux. Sa sortie se trouve reliée à

Fig. 4 Oscillogrammes caractéristiques.

l'entrée RAZ (remise à zéro) du compteur IC_9 , dont nous verrons le rôle ultérieurement. D'ores et déjà on peut noter qu'en plein jour, ce compteur voit son entrée RAZ soumise à un état haut et qu'en situation d'obscurité de la LDR cette même entrée est soumise à un état bas.

Fig. 5 Rappels théoriques et brochages.

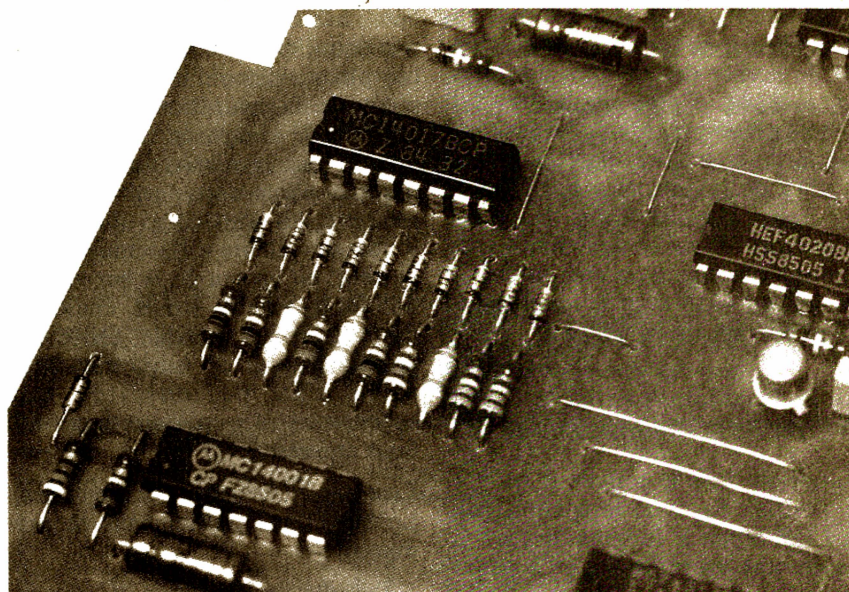


d) Commande du canal 1 (fig. 3)

Aussitôt que la LDR détecte la tombée de la nuit, l'entrée 9 de la porte AND III de IC₂ est soumise à un état haut ; il en est de même pour l'entrée 8 étant donné que le compteur IC₉ n'occupe encore pas sa position extrême : les entrées réunies de la porte NOR III de IC₈ sont donc bien soumises à un état bas. En définitive la sortie de la porte AND III de IC₂ présente un état haut. Si l'entrée 9 de la porte AND III de IC₆ est à l'état haut, la sortie de cette même porte passe également à l'état haut. Par contre, et suivant la position du compteur IC₃ de la base de temps, si l'entrée 9 est à l'état bas (point B₁ du circuit) l'apparition d'un état haut à la sortie de la porte AND III de IC₆ se produirait plus tard.

En examinant les oscillogrammes de la figure 5, on note que dans certains cas, il peut se produire simultanément l'allumage du canal 1 et du canal 2. Un tel phénomène n'est pas souhaitable ; il n'est surtout pas... naturel pour un observateur placé à l'extérieur de l'habitation. En conséquence, l'allumage du canal 1 est toujours retardé, automatiquement, à chaque sollicitation. En position de repos, la sortie de la porte AND III de IC₆ est donc à l'état bas ; il en résulte, bien sûr, un état bas à la sortie générale du canal 1, constituée par la porte AND II de IC₂. La sortie de la porte inverseuse NAND III de IC₇ présente un état haut. Il en est de même pour la sortie de la porte NAND I de IC₄, qui, avec la porte II constitue une bascule monostable. Les armatures de la capacité C₁₀ sont soumises au même potentiel qui est d'ailleurs nul : elle est donc totalement déchargée.

Dès l'apparition d'un état haut sur la sortie de la porte AND III de IC₆, l'entrée 6 de la porte NAND II passe à un état bas ; il en est de même pour la sortie de la porte NAND I de IC₄, vu que C₁₀ se comporte comme un court-circuit ce qui se traduit par un courant de charge à travers R₁₅ d'où un potentiel positif sur les entrées réunies de la porte NAND I de IC₄. En conséquence, la porte AND II de IC₄ n'est toujours pas passante. Lorsque C₁₀ atteint un niveau de charge suffisant, le courant passant par R₁₅ diminue et le potentiel présent sur



Utilisation de composants désormais classique...

les entrées réunies de la porte NAND I devient de plus en plus faible jusqu'au basculement de cette dernière. La sortie passe donc à nouveau à l'état haut de repos. La porte AND II de IC₂, sortie du canal 1, devient enfin passante. Le retard à la mise en action du canal 1 est fonction des valeurs de R₁₅ et de C₁₀. ($t \approx 0,7 \cdot R_{15} \cdot C_{10}$). Dans le présent montage, ce délai est de l'ordre de 15 secondes.

Enfin, lorsque la sortie de la porte AND III de UC₁ passe de nouveau à un état bas, l'entrée 6 de NAND II de IC₄ est soumise à un état haut, ce qui se traduit par un état bas sur sa sortie. La capacité C₁₀ peut ainsi se décharger et l'ensemble se trouve prêt pour une éventuelle sollicitation nouvelle.

e) Commande du canal 2 (fig. 2)

Toujours dans le même but de... tromper l'ennemi, pour le canal 2, il se produit un retard non pas au moment de la mise en service, mais à l'extinction. En effet, dès l'apparition d'un état haut à la sortie de la porte AND IV de IC₆, la sortie du canal 2, qui est en fait le point de réunion des cathodes de D₄ et D₅, se trouve aussitôt à un état haut. La sortie de la bascule monostable formée par les portes NAND I et II de IC₇ est également à l'état haut ; il en résulte un état bas sur la sortie de la porte NAND IV de IC₇. Lorsque la sortie de la porte AND IV de IC₆ passe à l'état bas, la bascule

monostable présente également provisoirement un état bas à sa sortie. Il en résulte un état haut sur la sortie de la porte NAND IV de IC₇ : le canal 2 continue ainsi d'être opérationnel jusqu'au moment où la bascule monostable retrouve sa position de repos. Il s'agit donc bien d'un retard à l'extinction ; ce retard est de l'ordre de quelques secondes compte tenu des valeurs de R₁₇ et de C₁₂.

f) Comptage des allumages (fig. 3)

Ce comptage s'effectue sur les allumages relatifs au canal 1. Ces derniers sont pris en compte par une bascule monostable formée par les portes NOR I et II de IC₈. A l'état de repos, la sortie de cette bascule présente un état bas. La capacité C₁₄ est déchargée vu que ses armatures, sont soumises au même potentiel positif. Dès l'apparition d'un état haut sur l'entrée 6 de la porte NOR II, la sortie passe à zéro. La capacité C₁₄, en début de charge, absorbe un courant important à travers R₁₉. Les entrées réunies de la porte I sont donc soumises à un état bas. La bascule présente ainsi sur sa sortie un état haut. Lorsque C₁₄ est suffisamment chargée, le potentiel sur les entrées de la porte I atteint une valeur telle que cette dernière bascule. La sortie de la bascule repasse à son état bas de repos. Compte tenu des va-

leurs de R_{19} et de C_{14} , l'impulsion disponible à la sortie de la bascule est de l'ordre de quelques dixièmes de seconde. Cette impulsion est prise en compte par le trigger de Schmitt constitué par la porte AND I de IC_6 qui en « verticalise » les fronts. Les créniaux de comptage sont ensuite acheminés sur l'entrée Horloge d'un compteur IC_9 qui est un 4017 dont le fonctionnement est rappelé en **figure 5**.

g) Base de temps variable et arrêt de la simulation (**fig. 3**)

Rappelons que le compteur occupe la position S_0 aussi longtemps que la LDR reçoit la lumière du jour. Il ne devient opérationnel qu'à partir du moment où le dispositif a détecté l'obscurité, par le passage à

l'état bas de l'entrée RAZ. A chaque début d'allumage du canal 1, le compteur avance d'un cran au moment de la transition positive du créniaux de comptage. Au fur et à mesure que le niveau logique 1 se déplace d'une sortie sur la sortie suivante, les résistances R_{22} à R_{31} , toutes de valeurs différentes, introduisent, au niveau de la borne 7 du 555 de la base de temps, une constante de temps variable. Cette disposition donne un caractère aléatoire aux périodicités des successions des sollicitations des deux canaux.

Lorsque le compteur occupe la position S_9 , deux phénomènes se produisent :

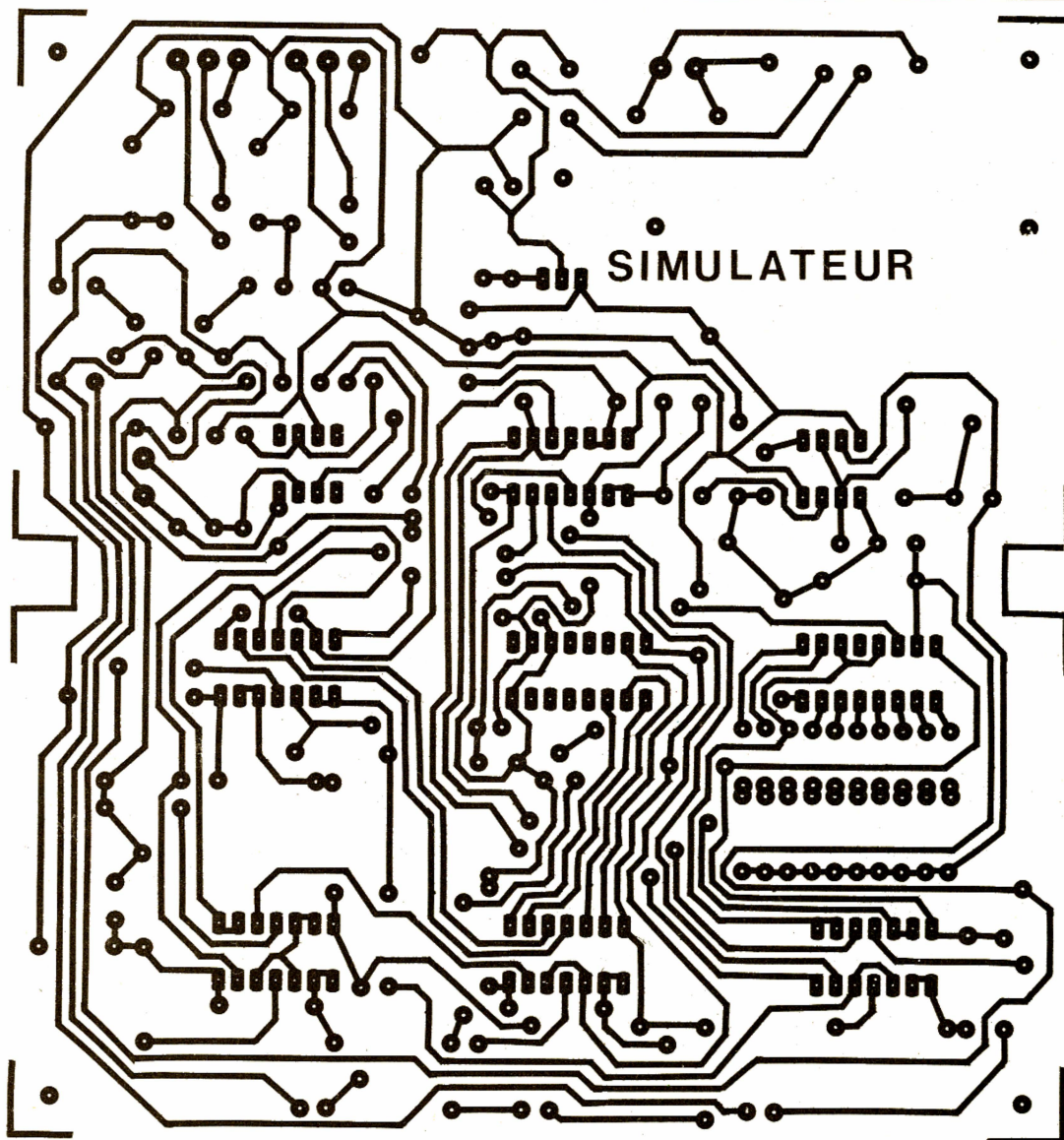
– l'entrée de validation V est soumise à un état haut, ce qui a pour

conséquence de verrouiller le compteur,

– la sortie de la porte NOR III de IC_8 passe à un état bas, ce qui arrête toute sollicitation des deux canaux.

Ces derniers s'éteignent et le compteur reste sur cette position jusqu'au moment où le jour se lève et où se produit la remise à zéro de IC_9 .

Notons qu'une panne de courant secteur a pour effet, au moment du rétablissement, la remise à zéro automatique de IC_9 . En effet, à ce moment, C_8 se charge rapidement à travers R_{13} , ce qui a pour conséquence l'apparition d'une brève impulsion positive sur la sortie de la porte AND II de IC_6 , donc, à travers D_2 , sur l'entrée RAZ du compteur.



h) Commande des relais d'utilisation (fig. 3)

Les relais d'utilisation sont placés dans les circuits des collecteurs des transistors T_3 et T_4 dont les bases sont reliées aux sorties des canaux 1 et 2 par l'intermédiaire d'une résistance de limitation. S'agissant de relais 6 V, il convient d'insérer une résistance de limitation du circuit. Si « R » est la valeur du bobinage du relais, la valeur de

la résistance x (R_{34} et R_{35}) à utiliser peut se déterminer de la façon suivante : la valeur de l'intensité « i » passant par le bobinage du relais s'exprime par la relation : $i = 6/R$. Comme il s'agit de créer aux bornes de « x » une chute de potentiel de 3,5 V, cette résistance devra avoir une valeur :

$$x = \frac{3,5}{i} = \frac{3,5}{6} R \approx 0,6 R$$

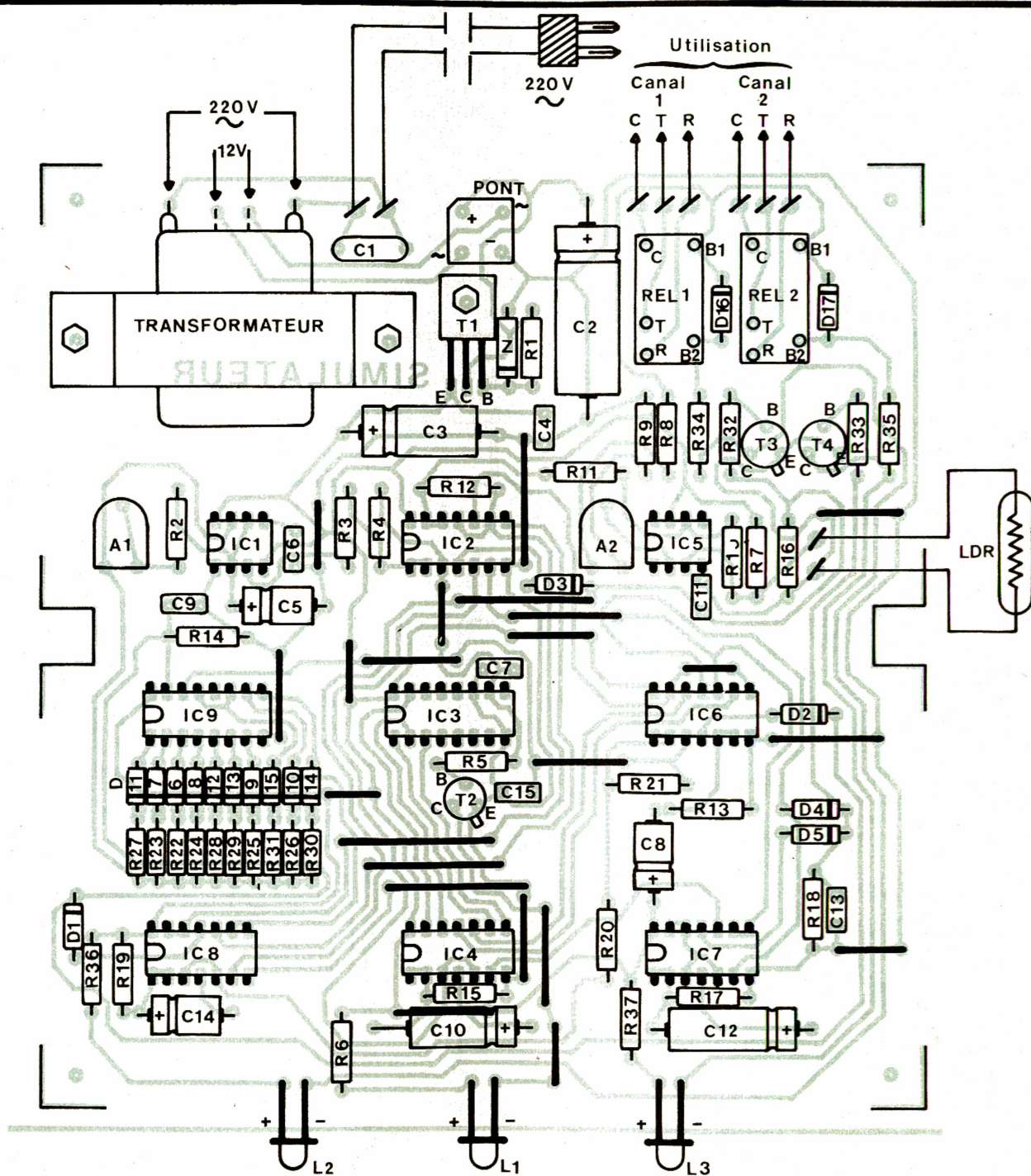
Les diodes D_{16} et D_{17} protègent les transistors T_3 et T_4 des effets des

surtensions liés aux phénomènes qui se produisent au moment de la coupure.

Enfin, dans les mêmes circuits des collecteurs des transistors T_3 et T_4 , sont également montées deux LEDS de signalisation L_2 et L_3 qui indiquent la sollicitation des canaux.

Fig. 6 et 7

Le tracé du circuit imprimé se reproduira par le biais de la méthode photographique.



III - REALISATION PRATIQUE

a) Circuit imprimé (fig. 6)

On peut le reproduire directement par la méthode photographique ou encore par le biais de la mise en œuvre des divers produits de transfert Mecanorma. Après attaque dans le bain de perchlorure de fer, on procèdera à un abondant rinçage. Tous les trous seront percés à l'aide d'un foret de 0,8 mm de diamètre. Certains seront agrandis à 1 ou 1,3 mm suivant le diamètre des connexions des composants à monter. Enfin, il est toujours préférable d'étamer les pistes en vue de leur donner une meilleure résistance mécanique et chimique. De même, avant de démarrer la réalisation du circuit imprimé, il est prudent de se procurer auparavant certains composants tels que les relais et le pont redresseur afin de pouvoir modifier éventuellement le tracé des pistes si

la configuration des connexions et broches était différente de celle des composants utilisés par l'auteur.

b) Implantation des composants (fig. 7)

On soudera d'abord les nombreux straps de liaison nécessaires si l'on ne veut pas avoir recours au circuit imprimé double face. Ensuite, on procèdera à la mise en place des diodes, des résistances des capacités et des transistors. Bien entendu et comme toujours, on n'insistera sans doute jamais assez sur la nécessité de contrôler et de recontrôler l'orientation des composants polarisés. Les ajustables seront implantés, curseur placé en position médiane.

Enfin et pour terminer, on soudera les circuits intégrés en veillant surtout à ne pas trop chauffer les broches et en ménageant un temps de refroidissement suffisant entre deux soudures consécutives sur un même boîtier.

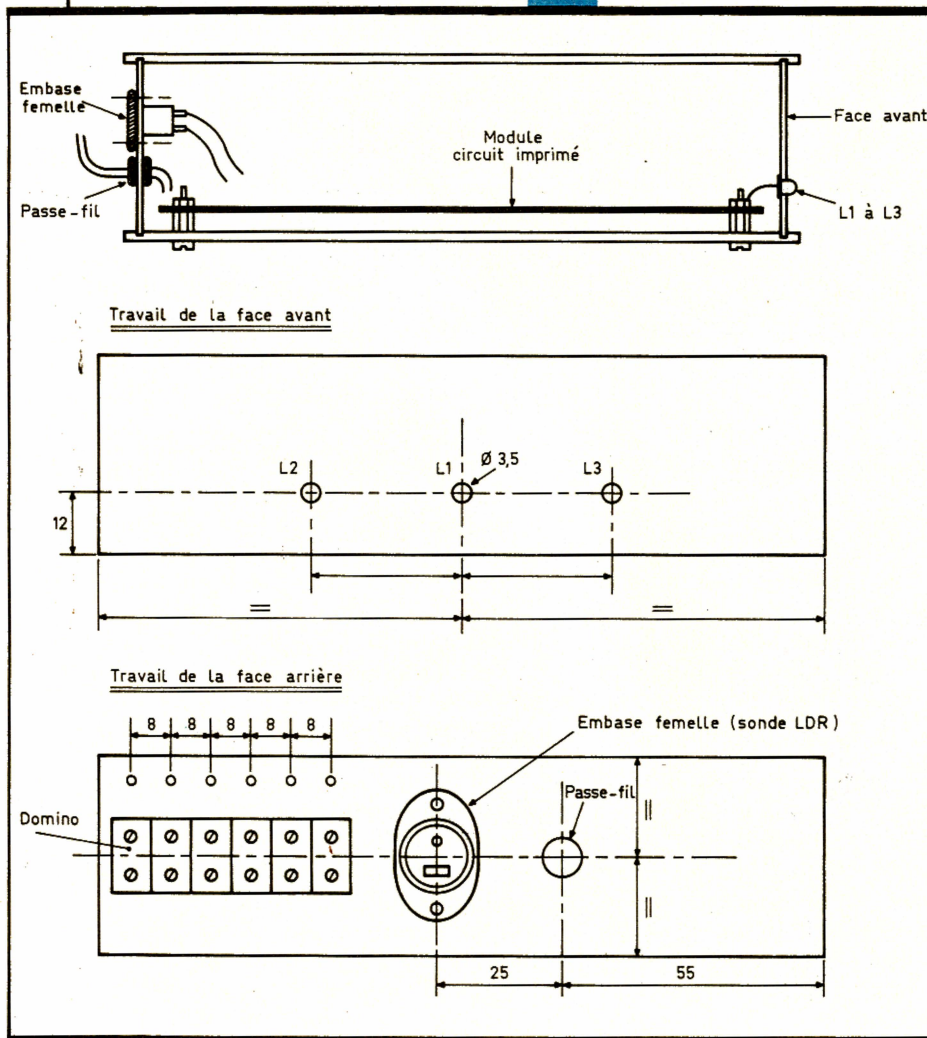
Les traces de vernis dues au décapant contenu à l'intérieur du fil de soudure peuvent être éloignés à l'aide d'un pinceau imbibé d'un peu d'acétone.

c) Montage et utilisation

La figure 8 indique un exemple de réalisation possible dont on peut éventuellement s'inspirer. Quant à l'utilisation, l'auteur pense qu'il faut laisser jouer l'imagination du lecteur. Toutes sortes de possibilités existent depuis le branchement de deux (ou plus) sources lumineuses jusqu'à la mise en marche automatique d'appareils électroménagers divers en passant par l'alimentation du poste radio ou du téléviseur, pour obtenir la meilleure simulation de présence possible.

Robert KNOERR

Fig. 8 Agencement à l'intérieur du coffret « Teko ».



IV - LISTE DES COMPOSANTS

- 22 straps (14 horizontaux, 8 verticaux)
 R_1 : 330 Ω (orange, orange, marron)
 R_2 et R_3 : 2 \times 10 k Ω (marron, noir, orange)
 R_4 : 100 k Ω (marron, noir, jaune)
 R_5 : 10 k Ω (marron, noir, orange)
 R_6 : 470 Ω (jaune, violet, marron)
 R_7 : 100 k Ω (marron, noir, jaune)
 R_8 et R_9 : 2 \times 10 k Ω (marron, noir, orange)
 R_{10} : 470 k Ω (jaune, violet, jaune)
 R_{11} : 10 k Ω (marron, noir, orange)
 R_{12} : 100 k Ω (marron, noir, jaune)
 R_{13} et R_{14} : 2 \times 10 k Ω (marron, noir, orange)
 R_{15} : 100 k Ω (marron, noir, jaune)
 R_{16} : 10 k Ω (marron, noir, orange)
 R_{17} : 47 k Ω (jaune, violet, orange)
 R_{18} à R_{20} : 3 \times 10 k Ω (marron, noir, orange)
 R_{21} : 100 k Ω (marron, noir, jaune)
 R_{22} : 470 k Ω (jaune, violet, jaune)
 R_{23} : 10 k Ω (marron, noir, orange)

Du lundi au vendredi de 10/12 h et
14/17 h 30 samedi matin de 9 h à 12 h.
TARIF UNITAIRE POUVANT VARIER
SANS PREAVIS.

REMISE POUR UN ACHAT DE :

2 000 F et plus 10 %

5 000 F et plus 15 %

15 000 F et plus 20 %

Commande minimum 200 F (port gratuit à

partir de 1 000 F d'achat).

LES CONDITIONS DE VENTES

PAR CORRESPONDANCE

paiement à la commande forfait port ... 20 F

contre-remboursement

joindre acompte de 50 F

forfait port + C.R. 40 F

Envoi en urgent du matériel dispo sous 48 h

Administration acceptée paiement différé

POUR PARIS ET SA REGION

possibilité de passer prendre votre matériel

préalablement commandé par courrier ou

téléphone.

DIVERS

LCC pas 5.08 63 V 1 nf à 68 nf 0,60

100 nf à 680 nf 1,40

TIC 226 D 6,00 BTA 08 400 3,60

trimmer bourrins piste cermet toute valeur

modèle 15 tours horizontal 7,00

modèle 25 tours vertical 15,00

péritel femelle pour C.I. 5,00

péritel mâle à souder 11,00

péritel mâle à souder modèle à vis 15,00

inter à levier miniat 3 posit cont. Or 0,90

Led 03 ou 05 rouge, verte, jaune,

poussoir pour chassis miniature

modèle rouge ou noir 3,40

porte fusible chassis 6/35 2,50

porte fusible C.I. 5/20 2,50

CENTRONICS male à servir 52,00

male à souder

capot 48,00

CANNON male 25 br pour C.I. 20,00

male 25 br à souder 20,00

femelle à souder 20,00

connecteur encartable HE 902 contact or

2 x 25 br femelle à wrapper 20,00

douille banane pour chassis

rouge ou noir 1,80

SLOWING

14, av. Pasteur, 93100 MONTREUIL

Tél. : 48.59.71.96

VENTE UNIQUEMENT PAR CORRESPONDANCE

Métro : Mairie de Montreuil

	TTL LS		C MOS		MICRO		LINEAIRES		REGULATEURS TO 220				
0	2,60	154	10,20	4000	2,60	4077	2,60	EF 6802	38,00	7L	LF	7805	5,60
1	2,60	156	5,20	4001	2,60	4078	2,60	EF 68A02	45,00	71	5,20	353	7,60
2	2,60	157	5,20	4002	2,60	4081	2,60	EF 6809	64,00	72	6,00	356	7,00
3	2,60	158	5,20	4011	2,60	4093	4,80	EF 6821	18,00	74	10,40	357	7,00
4	2,60	160	6,00	4012	2,60	4098	6,90	EF 68A21	24,00	81	5,20	NE	7824
5	2,60	161	6,00	4013	3,80	4503	4,80	EF 6850	18,00	82	6,00	544	27,00
8	2,60	163	6,00	4014	5,80	4504	14,20	EF 9367	280,00	84	10,20	555	3,90
9	2,60	164	6,00	4015	5,80	4510	5,80	UPD 765	120,00	431	5,60	556	6,00
10	2,60	165	7,60	4016	3,80	4511	6,00	UPD 2147-2	30,60	497	19,50	565	9,00
11	2,60	166	8,00	4017	5,80	4512	5,80	UPD 4104-2	9,00	TBA		567	12,80
13	2,60	169	7,60	4018	5,80	4514	13,80	Z80 CPU	25,00	950	26,00	5534	17,80
14	4,80	173	6,40	4019	5,40	4516	6,00	Z80A CPU	32,00	970	36,00	CA	
20	2,60	174	5,40	4020	5,80	4518	6,00	8088	120,00	TDA		3130	16,00
21	2,60	175	5,40	4021	5,80	4520	6,00	8202 A	28,00	1011	12,80	3161	14,40
22	2,60	191	6,80	4022	5,80	4528	6,60	8255 A	44,00	1034	17,80	3162	64,00
27	2,60	193	6,80	4023	5,80	4532	9,40	ET 2716	36,00	2593	15,00	MC	
28	2,60	194	6,80	4024	5,80	4538	7,60	MM 6116	39,00	2576	36,00	1496	6,80
30	2,60	195	6,80	4025	2,60	4555	7,60	TMS 1122	56,00	2595	26,00	1488	5,60
32	2,60	197	6,80	4026	4,90	4556	7,60	TMS 3874	32,00	7000	22,00	1489	5,60
33	2,60	240	8,40	4027	4,80	4584	5,20					SO	
37	2,60	241	8,40	4028	5,60	4585	7,60					42 P	21,00
38	2,60	243	8,20	4029	5,80	40106	3,20					UAA	
40	3,80	244	8,40	4030	3,40	40161	5,60					170	19,20
42	4,80	245	9,40	4031	10,70	40174	6,40					180	20,80
47	7,80	247	7,40	4033	11,10							L	
48	10,20	253	5,20	4035	6,80							8 br	0,90
49	9,80	257	5,20	4040	5,80							14 br	1,00
51	2,60	258	5,20	4042	5,80							16 br	1,10
73	3,40	260	4,60	4043	5,80							18 br	1,30
74	3,40	266	4,60	4044	5,80	301	3,90					20 br	1,40
75	4,80	273	8,40	4045	5,80	308	6,80					24 br	1,80
85	6,00	279	5,20	4046	6,90	311	4,60					28 br	2,20
86	3,80	280	8,80	4049	4,40	317 T	7,80					40 br	3,40
90	5,00	283	5,60	4050	4,20	318 H	16,00						
93	5,00	293	6,70	4051	5,80	319	12,40						
95	6,60	324	8,50	4052	5,80	324	4,00						
107	3,60	353	8,20	4053	5,80	339	4,80						
109	3,60	363	4,80	4054	6,80	348	6,60						
112	3,60	365	5,00	4060	5,80	358	4,20						
113	3,60	367	5,00	4066	4,20	360	28,00						
123	5,80	368	5,00	4068	2,60	393	4,20						
124	6,00	373	8,60	4069	2,60	709	4,20						
125	5,00	374	8,60	4070	2,60	723	4,60						
126	5,00	378	8,20	4071	2,60	747	5,80						
132	5,00	390	6,60	4072	2,60	748	4,40						
138	5,00	393	6,60	4073	2,60	776	6,50						
139	5,00	622	16,00	4075	2,60	1458	3,70						
153	5,00	645	11,20	4076	2,60	1800	10,40						
								QUARTZ			SUPPORTS LYRES		
								32,768 KHZ	10,00				
								2,4576 MHZ	24,00				
								3,2768 MHZ	14,00		8 br	0,90	
								3,5795 MHZ	14,00		14 br	1,00	200
								4,0000 MHZ	14,00		16 br	1,10	TIL
								4,9152 MHZ	14,00		18 br	1,30	111
								8,0000 MHZ	14,00		20 br	1,40	MCT
								9,8304 MHZ	14,00		24 br	1,80	2
								16,000 MHZ	14,00		28 br	2,20	TCA660 B
								18,432 MHZ	14,00		40 br	3,40	32,00
								TRANSISTORS			74	HC	
								2N 2222	1,80				0,1 UF 35V
								2N 2905	2,60	00	3,20	138	5,40
								2N 2907	1,80	02	3,20	157	5,60
								2N 3055	4,50	04	3,20	174	5,60
								2N 2369	3,20	08	3,20	175	5,60
								2N 3904	1,20	10	3,20	244	8,80
								2N 3906	1,20	14	4,80	245	12,20
								2N 2646	8,00	30	3,20	257	5,40
								BC 237 B	0,80	32	3,20	273	7,00
								BC 547 B	0,80	74	3,80	373	9,20
								BC 548 B	0,80	75	5,00	374	9,20
								BC 557 B	0,80	85	6,40	390	7,00
								BC 558 B	0,80	86	4,00	393	7,00
													22 UF 16V
													47 UF 20V
													3,20
													5,00
													5,60
													5,60
													5,60
													5,60
													5,90
													5,90
												</	

R₂₄ : 100 kΩ (marron, noir, jaune)
R₂₅ : 47 kΩ (jaune, violet, orange)
R₂₆ : 220 kΩ (rouge, rouge, jaune)
R₂₇ : 100 kΩ (marron, noir, jaune)
R₂₈ : 470 kΩ (jaune, violet, jaune)
R₂₉ : 10 kΩ (marron, noir, orange)
R₃₀ : 220 kΩ (rouge, rouge, jaune)
R₃₁ : 470 kΩ (jaune, violet, jaune)
R₃₂ et R₃₃ : 2 × 4,7 kΩ (jaune, violet, rouge)
R₃₄ et R₃₅ : 2 × 68 Ω (bleu, gris, noir) voir texte
R₃₆ et R₃₇ : 2 × 470 Ω (jaune, violet, marron)
A₁ : ajustable de 470 kΩ (implantation horizontale)
A₂ : ajustable de 100 kΩ (implantation horizontal)
D₁ à D₁₅ : 15 diodes-signal (1N 914 ou équivalent)
D₁₆ et D₁₇ : 2 diodes 1N 4004 ou 4007
Z : diode Zener de 10 V
L₁ : LED verte Ø 3
L₂ et L₃ : 2 LED rouges Ø 3
LDR : LDR 03 ou 07 (cellule photo-résistante)

C₁ : 27 nF/400 V mylar
C₂ : 2 200 µF/16 V électrolytique
C₃ : 470 µF/10 V électrolytique
C₄ : 0,1 µF polyester
C₅ : 1 µF/10 V électrolytique
C₆ : 4,7 nF polyester
C₇ : 1 nF polyester
C₈ : 47 µF/10 V électrolytique
C₉ : 4,7 nF polyester
C₁₀ : 100 µF/10 V électrolytique
C₁₁ : 0,1 µF polyester
C₁₂ : 100 µF/10 V électrolytique
C₁₃ : 0,1 µF polyester
C₁₄ : 10 µF/10 V électrolytique
C₁₅ : 1 nF polyester
T₁ : transistor NPN BD 135, BD 137
T₂ : transistor NPN BC 108, 109, 2N 2222
T₃ et T₄ : 2 transistors NPN 2N 1711, 2N 1613
IC₁ : NE 555
IC₂ : CD 4081 (4 portes AND à 2 entrées)
IC₃ : CD 4020 (compteur 14 étages)
IC₄ : CD 4011 (4 portes NAND à 2 entrées)

IC₅ : µA 741 (amplificateur opérationnel)
IC₆ : CD 4081 (4 portes AND à 2 entrées)
IC₇ : CD 4011 (4 portes NAND à 2 entrées)
IC₈ : CD 4001 (4 portes NOR à 2 entrées)
IC₉ : CD 4017 (compteur-décodeur décimal)
Pont redresseur 500 mA
Transformateur 220 V/12 V/3,5 VA
2 relais 6 V - 1 RT
10 picots
Fil secteur
Fiche secteur
6 dominos
Passe-fil
Fils en nappe
Embase femelle (Cinch ou autre) - 2 broches
Fiche mâle (Cinch ou autre) - 2 broches
Câble blindé (1 conducteur + blindage)
1 coffret Teko série CAB mod. 222 (154 × 173 × 46)

DEUX NOUVEAUTÉS DISTRIBUÉES PAR PROCELEC



A lors que la guerre analogique/numérique est franchement déclarée, certains fabricants associent aux caractéristiques dites classiques des appareils d'autres fonctions telles que capacimètre et transistormètre. C'est le cas du M 3530.

Il est vrai que la structure interne de presque tous les multimètres numériques fait appel à un convertisseur A/N et qu'il s'agit de peu de chose pour compléter l'éventail des possibilités du contrôleur.

Le M 3530, distribué par la société Procelec, se présente sous la forme la plus classique, comme vous pouvez en juger par la photographie.

Un commutateur rotatif autorise tous les changements de gammes voulus.

Outre les habituelles gammes de mesure de tension, intensité et résistance, cinq gammes de mesure des capacités, une gamme de mesure de gain statique des transistors bipolaires, il est également prévu un test sonore et visuel de continuité.

Avec le M 3530, nous sommes en présence d'un multimètre 2 000 points avec impédance d'entrée de 10 M Ω sur tous les calibres, doté d'une protection de 1 000 V en continu ou alternatif.

Les principales caractéristiques de cet appareil sont les suivantes :

TENSIONS CONTINUES

Echelle	Précision	Résolution
200 mV	$\pm 0,5\%$ de la lecture : 1 chiffre	100 μ V
2 V		1 mV
20 V		10 mV
200 V		100 mV
1 000 V		1 V

TENSIONS ALTERNATIVES

Echelle	Précision	Résolution
200 mV	$\pm 1,2\% + 3$ chiffres	100 μ V
2 V	$\pm 0,8\%$ de la lecture + 3 chiffres	1 mV
20 V		1 mV
200 V	$\pm 1,2\% + 3$ chiffres	100 mV
700 V		1 V

COURANTS CONTINUS

Echelle	Précision	Résolution
200 μ A	$\pm 0,5\%$ de la lecture + 1 chiffre	0,1 μ A
2 mA		1 μ A
20 mA		10 μ A
200 mA	$\pm 1,2\% +$ chiffre	100 μ A
10 A		10 mA
	$\pm 2\% + 5$ chiffres	

COURANTS ALTERNATIFS

Echelle	Précision	Résolution
2 mA	$\pm 1\%$ de la lecture + 3 chiffres	1 μ A
20 mA		10 μ A
200 mA	$\pm 1,8\% + 3$ chiffres	100 μ A
10 A		10 mA
	$\pm 3\% + 7$ chiffres	

FER A SOUDER AU GAZ

Tout le monde ne peut pas disposer d'une prise électrique à proximité de son véhicule, par exemple afin d'effectuer une soudure lors du montage d'un autoradio ou bien d'une alarme.

La solution séduisante consiste alors à utiliser un fer portable et rechargeable. S'il existe déjà de tels fers du type électrique, l'originalité du FG 600 repose sur l'utilisation d'un catalyseur spécial alimenté à l'aide d'une cartouche de gaz liquide analogue à celle d'un briquet. L'intérêt d'une telle alimentation autorise une recharge d'un fer en 15 secondes tout comme un briquet. Le FG 600, distribué par Procelec, se présente comme un gros stylo plume.

La partie supérieure du capuchon dispose même d'une pierre et d'une molette afin de provoquer l'allumage.

Le corps de ce « stylo » se présente alors comme un fer. Une touche à glissière libère le gaz. Le temps de chauffe s'effectue alors en 20 secondes environ.

A l'extrémité de ce corps, une molette règle le débit et par conséquent la puissance, de 10 à 60 W.

CARACTERISTIQUES PRINCIPALES

Longueur : 17 cm, diamètre : 1,8 cm.

Puissance : 10 à 60 W réglable.

Temps de chauffe : 20 secondes.

Autonomie: 1 h à 1 h 30 suivant puissance.

Effet magnétique : néant.

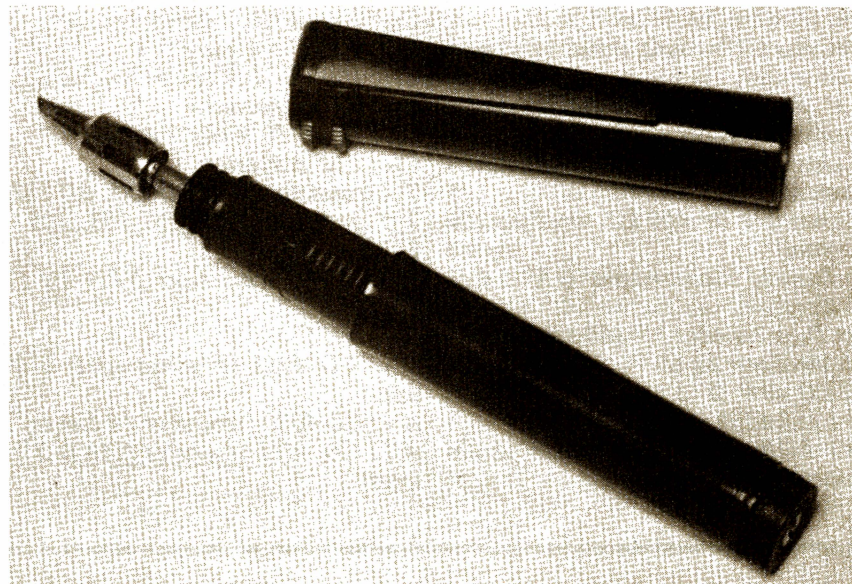
Livré avec panne diamètre 2,4 mm.

Durée de la panne : 40 heures.

Possibilité d'adapter 3 pannes de diamètres différents.

S'utilise avec une recharge de briquet classique.

Procelec : 157, rue de Verdun, 92150 Suresnes. Tél. : 42.04.77.00.



ALIMENTATION STABILISÉE 2 × 30 V (suite de la p. 74)

de 60 W sans commutation (40 - 10 × 2).

Si la sortie est en court-circuit et le réglage courant sur 2,5 A, les ballasts dissiperont 50 W (20 × 2,5) au lieu de 100 W ! (40 × 2,5).

Il ne nous reste qu'à signaler la présence de C₉ et C₁₃ qui assurent un dernier filtrage.

● **Le circuit d'affichage** est donné à la figure 4. Il fait appel à deux circuits intégrés fort célèbres : le CA 3162 et CA 3161. Le schéma de principe est directement « inspiré » d'une note d'application de la firme R.C.A.

Le CA 3162 (CI₂) est un convertisseur analogique/numérique possédant trois sorties BCD multiplexées. Sa tension d'entrée peut être comprise entre - 99 mV et + 999 mV (broches 11 et 10). Comme nous disposons d'une tension variable entre 0 V et 30 V la broche 10 est reliée au « moins », la broche 11 est attaquée par un diviseur par 100 (R₂₆ et R₂₇), et le point décimal est celui du deuxième afficheur (R₂₈). A_{j4} permet de régler le zéro volt et A_{j5} le gain. Le CA 3162 utilise la méthode « double rampe » et C₁₆ en est le condensateur générateur. La broche 6 est la fonction « mode ». Connectée au + 5 V, le comptage fait à 96 Hz, à + 1,2 V c'est le mode maintien, et « en l'air » comme dans notre cas, le comptage se fait à 4 Hz.

Le CA 3162 attaque le décodeur BCD/7 segments CA 3161 (CI₃). Les sorties décodées commandent trois afficheurs anode commune, en parallèle, et « drivées » par les transistors T₁₈ à T₂₀ commandés par les sorties multiplexage de CI₂.

Pour alimenter ces circuits intégrés, on a recours à CI₁, régulateur 5 V, filtré par C₁₄ et C₁₅. L'entrée de ce circuit intégré est à + 14,3 V, généré par la carte précédente, ce qui limite la puissance dissipée.

Cet affichage servira aussi de témoin de mise sous tension, de même qu'une lecture « 00.0 » indiquera immédiatement un court-circuit.

● **Le couplage des deux alimentations** se fait par un simple commutateur dont le mode de branchement est donné figure 5. C'est une facilité d'utilisation pour obtenir deux alimentations positives, négatives, ou en série.

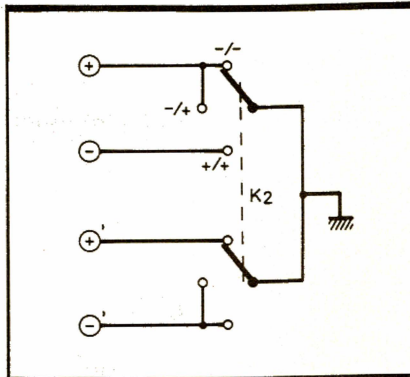


Fig. 5 Couplage des deux alimentations.

REALISATION PRATIQUE

Les circuits imprimés

Ils sont au nombre de 5 et leurs schémas sont donnés figures 6, 7 et 8. La carte redressement /filtrage est commune aux deux alimentations mais pas les cartes « principales » et « affichages » qui seront à réaliser en double. On voit alors l'intérêt de la méthode photographique ou de la photocopie sur calque ou sur papier ensuite enduit de « diaphane ».

Si vous choisissez une autre méthode, il faudra respecter la largeur des pistes.

Les circuits étant gravés et éventuellement vernis et étamés, tous les trous seront percés à 0,8 mm dans un premier temps. Ils seront ensuite agrandis à :

- 1 mm pour les condensateurs axiaux, les supports de relais, les résistances ajustables, les TIP 32 et le régulateur intégré ;
- 1,2 mm pour les cosses d'entrées/sorties, les diodes de redressement ;
- 3 mm pour les fixations.

Il est évidemment préférable d'avoir déjà tous les composants avant d'effectuer ce perçage.

Implantation des composants

Référez-vous aux figures 9, 10 et 11.

Comme d'habitude, on essaiera de souder d'abord les composants passifs, sauf dans le cas où le composant actif serait ensuite difficilement positionnable. Il faut noter quelques points : les diodes et beaucoup de résistances seront implantées debout. Des cosses-poignards

sont indispensables, sauf pour les circuits d'affichage.

Les relais 2RT seront montés sur supports. Les contacts sont en parallèle pour augmenter le pouvoir de coupure.

T₁₂ sera fixé sur son petit radiateur avant d'être soudé.

Même chose pour T₁ sur son gros radiateur, et on intercalera de plus de la graisse aux silicones entre la semelle et le dissipateur.

La fixation de CI₁ transmet le contact « moins » à CI₃. N'utilisez pas une vis nylon !

CI₂ et CI₃ seront de préférence montés sur supports, de même que les afficheurs. Des supports 40 broches, amputés de 10 broches, conviennent parfaitement.

Préparation du coffret

Les circuits imprimés ont été étudiés en fonction de l'insertion du montage dans un coffret ESM de référence EC 30/12 P. Ce coffret, esthétique, est facilement disponible et entièrement démontable (et réciproquement).

Les plans de perçage sont donnés figures 12, 13 et 14.

Rappelons qu'il est préférable pour les trous de diamètre important (10 mm et plus) de percer d'abord à une côte légèrement inférieure, puis d'agrandir et ébarber à la queue-de-rat.

Les fenêtres rectangulaires de la face avant seront d'abord ouvertes par des perçages rapprochés de petit diamètre, puis soigneusement achevées à la lime douce.

Vous disposerez ensuite les inscriptions de votre choix à l'aide de transferts « Mecanorma ». Ces transferts seront protégés par deux à trois couches fines de vernis aérosol, déposées à quelques heures d'intervalle.

Deux rectangles de plexiglass opto, rouges, légèrement plus grands que les fenêtres seront collés à l'intérieur.

En vous référant aux plans de perçage qui indiquent aussi la disposition d'ensemble, vous pouvez alors fixer les potentiomètres, inters, commutateur, fiches bananes, passe-fil, supports de fusible, transformateurs et les cartes à l'aide d'entretoises.

L'axe de l'inter de la première alimentation recevra une cosse à sou-

der, qui sera utilisée par la suite comme point de masse.

Il vous faudra calculer la longueur des entretoises des cartes d'affichage, afin que les afficheurs soient pratiquement collés au plexi.

Des rondelles isolantes seront nécessaires pour fixer ces circuits, afin d'éviter les contacts entre les écrans et les pistes imprimées.

Câblage

Commencez par fixer les quatre 2N3055 sur les deux radiateurs de 100 mm (type WA101, percés pour 2T03). Ils seront bien entendus isolés par des feuilles de mica plus épaisses au silicone, canons isolants et éventuellement des capots en plastique. N'oubliez pas les cosses à souder pour les collecteurs.

Il faut évidemment câbler les transistors avant de fixer les radiateurs sur la face arrière.

Pour tout le câblage, référez-vous aux schémas de principe et d'implantation des composants.

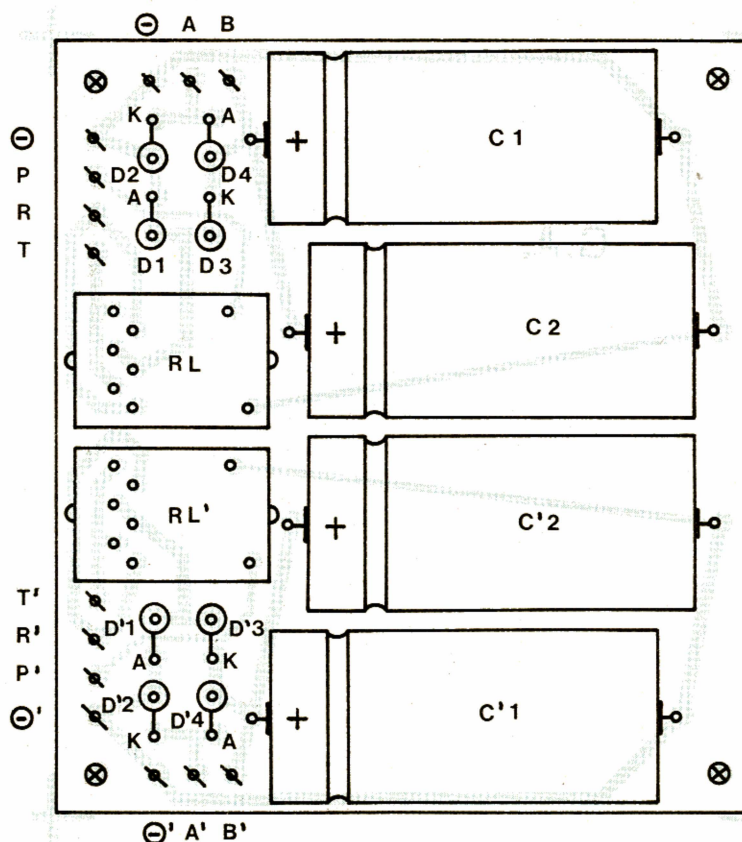
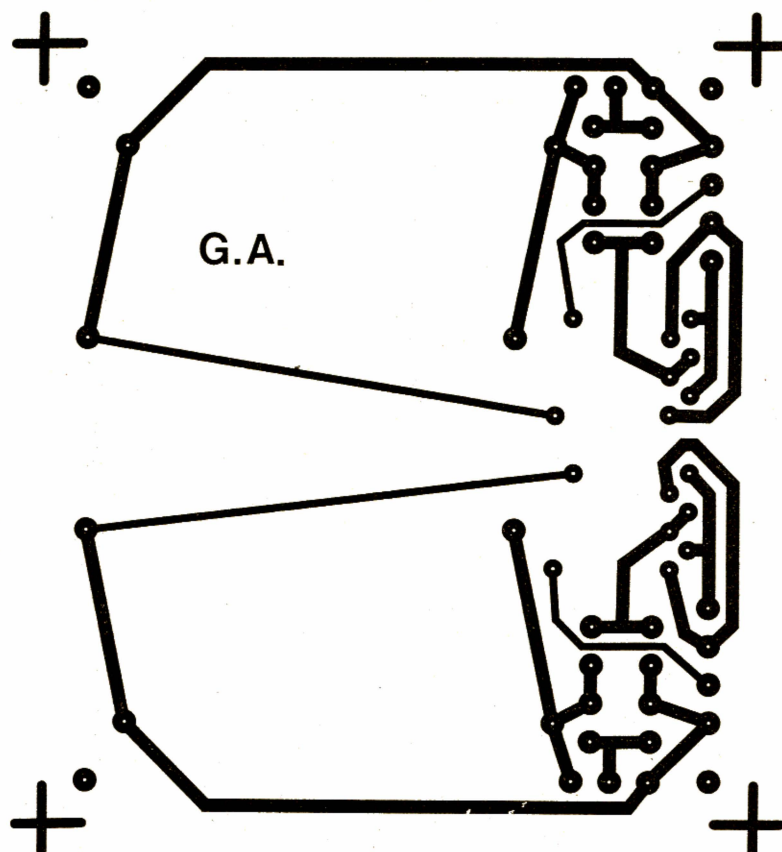
Les deux transistors de la même alimentation seront de préférence montés sur un radiateur différent : ainsi, lorsque vous n'aurez qu'une section en service, les deux dissipateurs seront tout de même sollicités. Pour connecter les points des différentes cartes, des cosses fast - ou noyées dans de la gaine thermorétractable sont bien pratiques.

Le câble secteur va aux deux interrupteurs, puis chaque inter au fusible et au transformateur concerné. Les condensateurs C_{10} seront directement soudés sur les interrupteurs marche/arrêt.

Vous terminerez par les autres composants de la face avant, potentiards et commutateur, dont le câblage est donné **figure 15**. Les points A et B du rotacteur seront, comme nous l'avons dit plus haut, reliés à la masse du boîtier.

Il y a quelques « repiquages » dans le câblage. Par exemple, il y a **deux** points B sur chaque carte principale. Autre exemple, la sortie + va à la fiche banane, puis au commutateur, puis à la carte affichage.

Ce câblage est un peu fastidieux, mais vous n'aurez pas de problème si vous suivez bien les schémas théoriques et d'implantation des composants : vous y retrouverez les lettres « repères ».



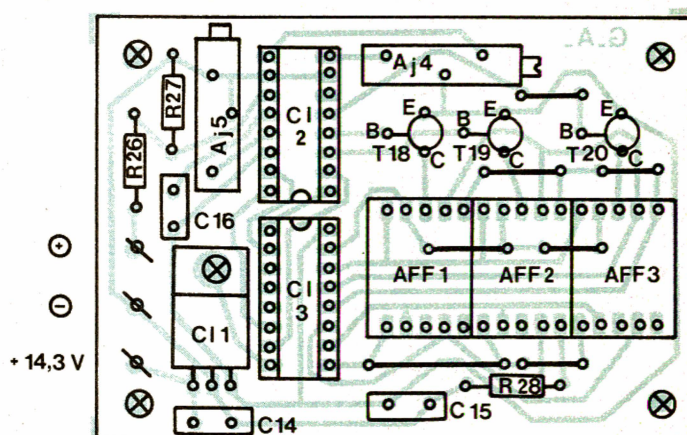
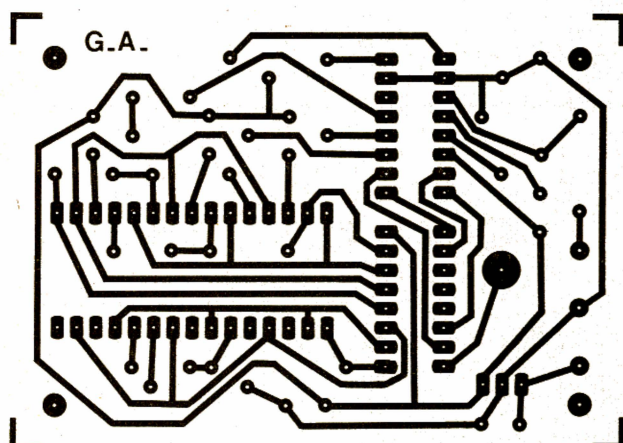
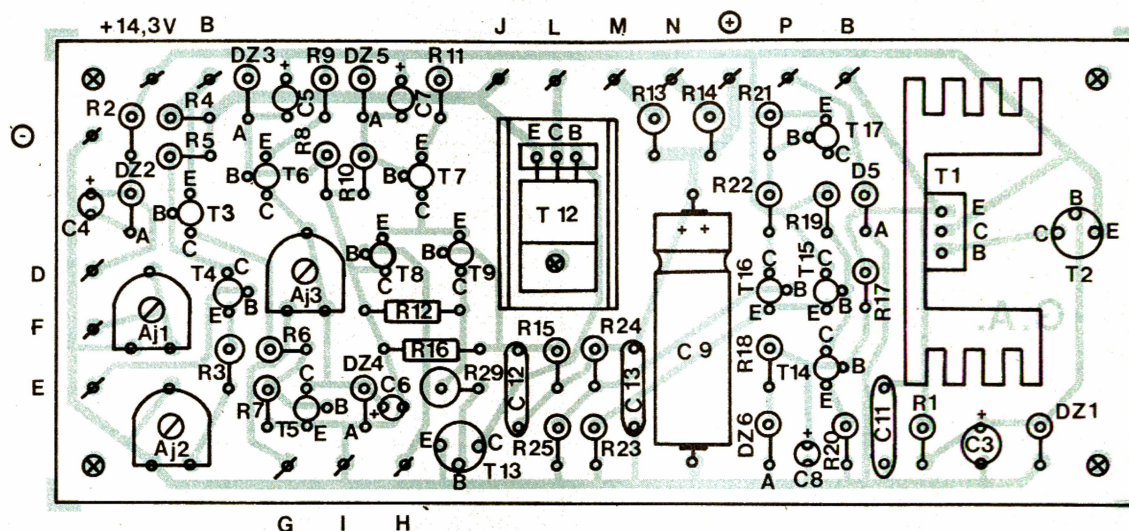
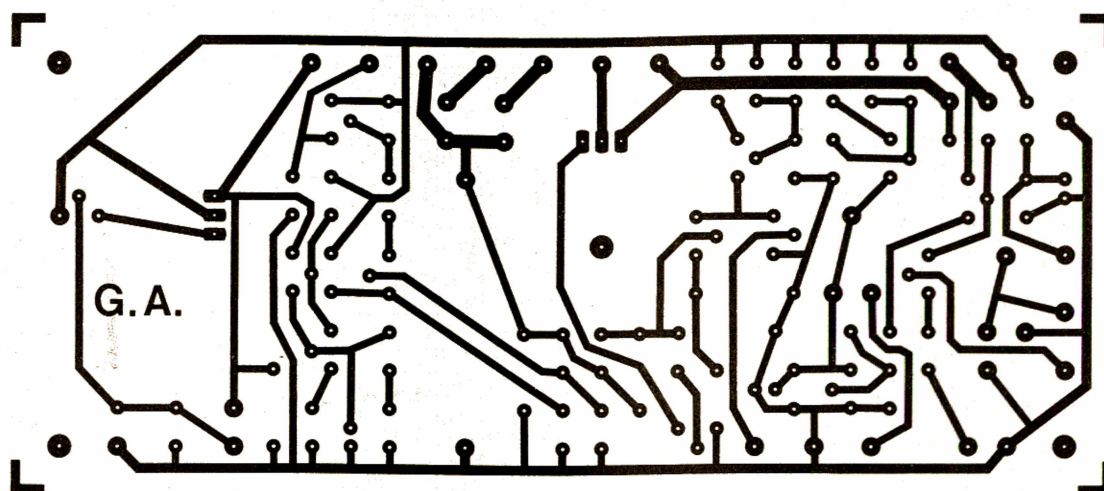


Fig. 6
à 11

Détails pratiques de réalisations
de l'ensemble.

Essais - Réglages

Positionnez A_{j1} , A_{j2} et A_{j3} à fond dans le sens des aiguilles d'une montre, A_{j4} et A_{j5} à mi-course environ.

Mettez cette 1^{re} alimentation sous tension ; si les afficheurs ne s'allument pas, commencez par vérifier que vous avez mis les fusibles en place !

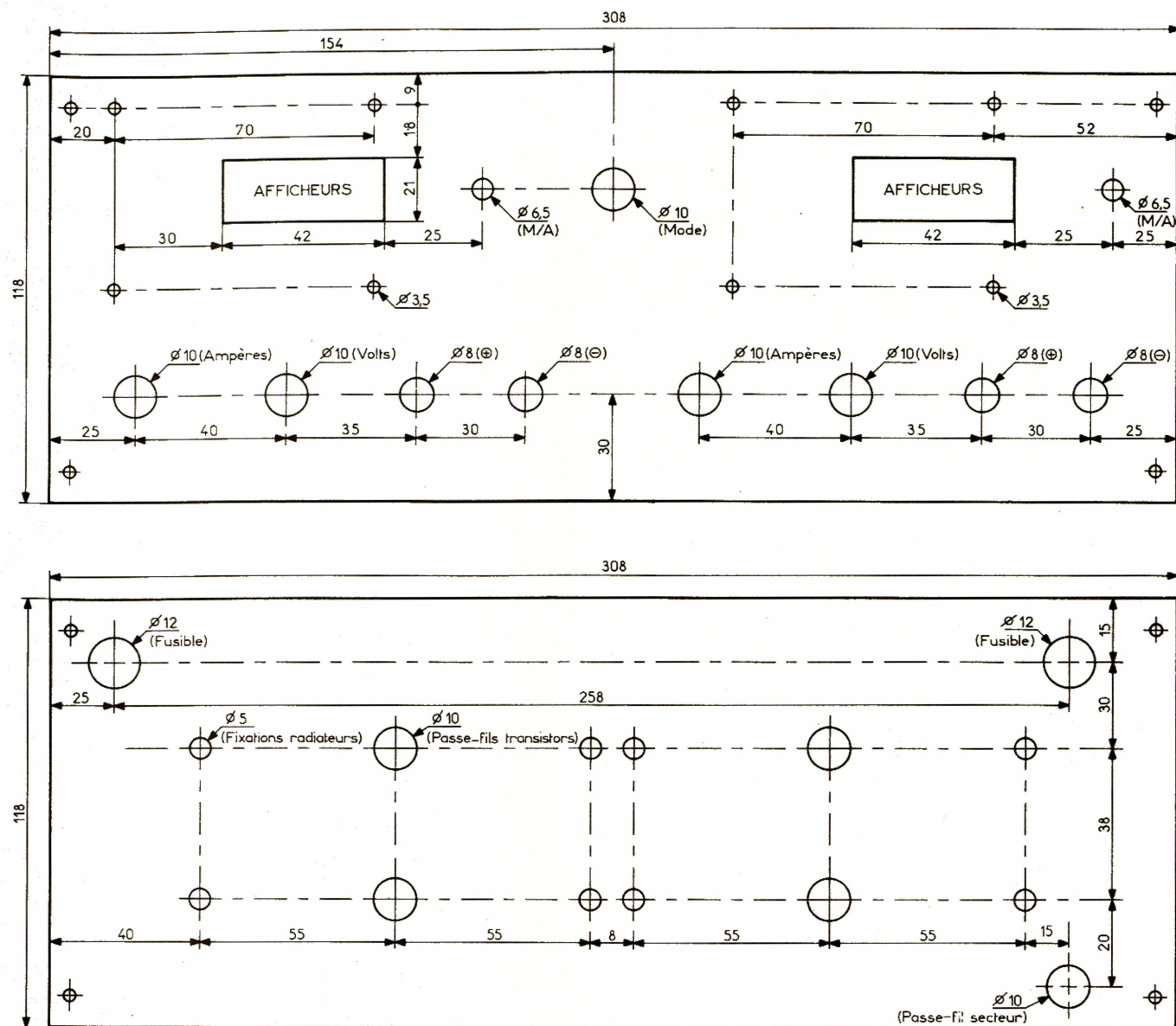


Fig. 12 Plan de perçage du coffret
et 13 « ESM »

P₁ étant à 0, tournez P₂ à fond. La tension doit monter et le relais coller. Si ce n'est pas le cas, tournez légèrement A_{j2}. Mettez la sortie en court-circuit et réglez A_{j5} pour que les afficheurs indiquent « 00.0 ».

Supprimez le court-circuit et maintenez P₂ « à fond ». A l'aide d'un voltmètre, réglez A_{j3} de façon à obtenir 30 V. Réglez alors A_{j4} pour que les afficheurs indiquent « 30.0 ».

P₁ au minimum, connectez un ampèremètre en sortie (P₂ au maximum).

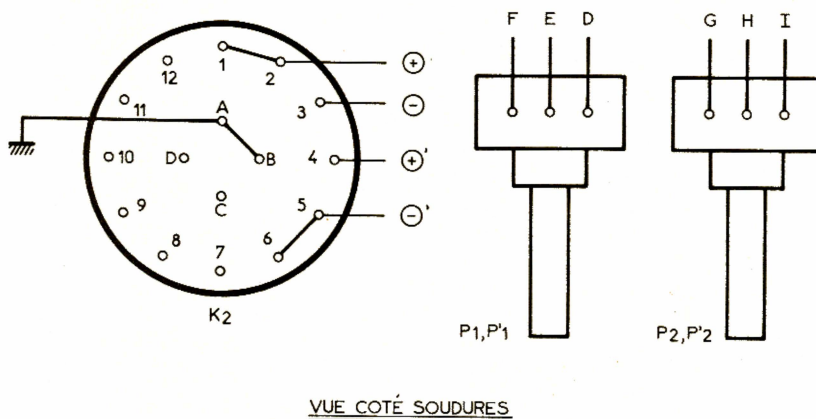


Fig. 14 Câblage du commutateur et des
et 15 potentiomètres.

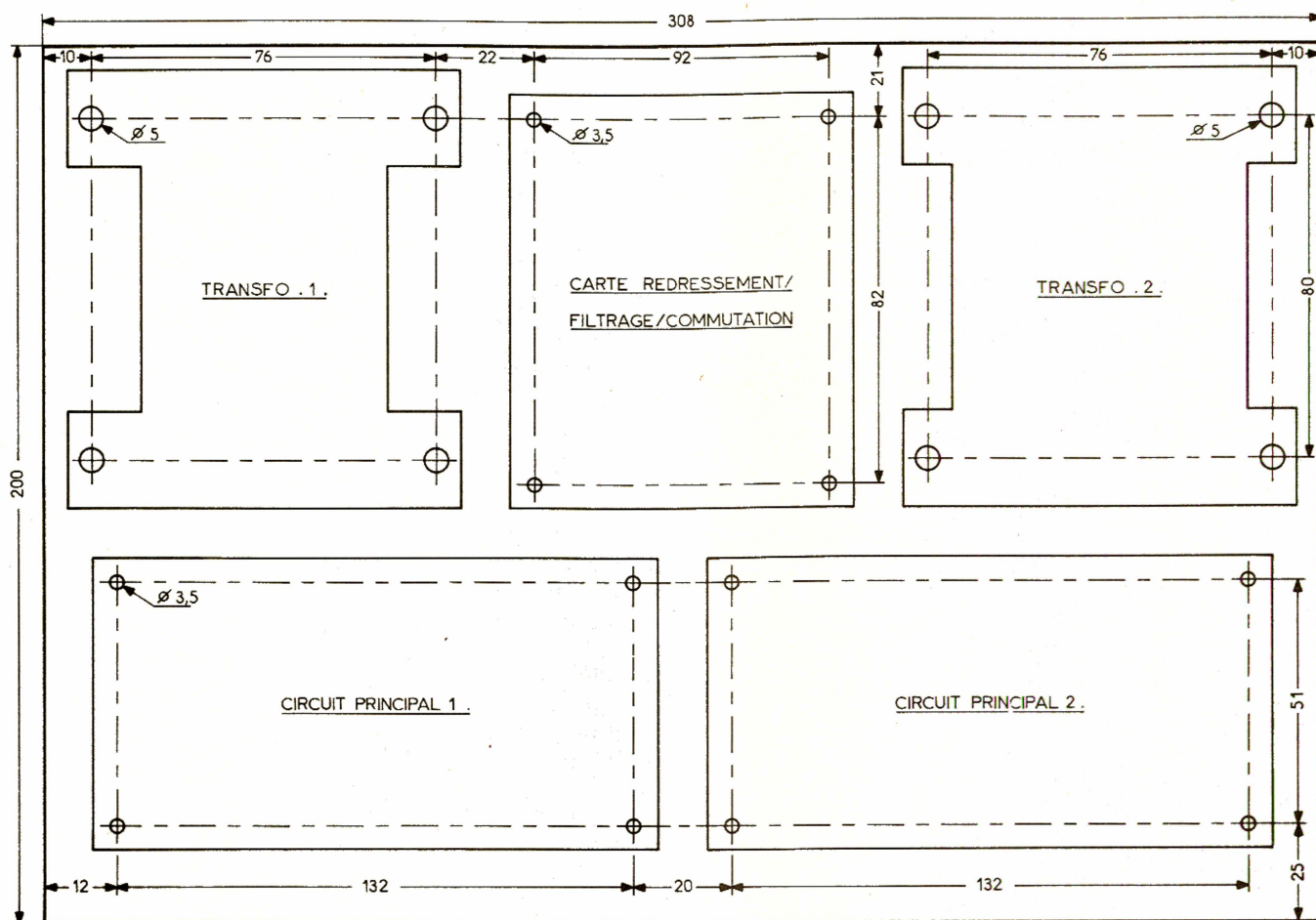
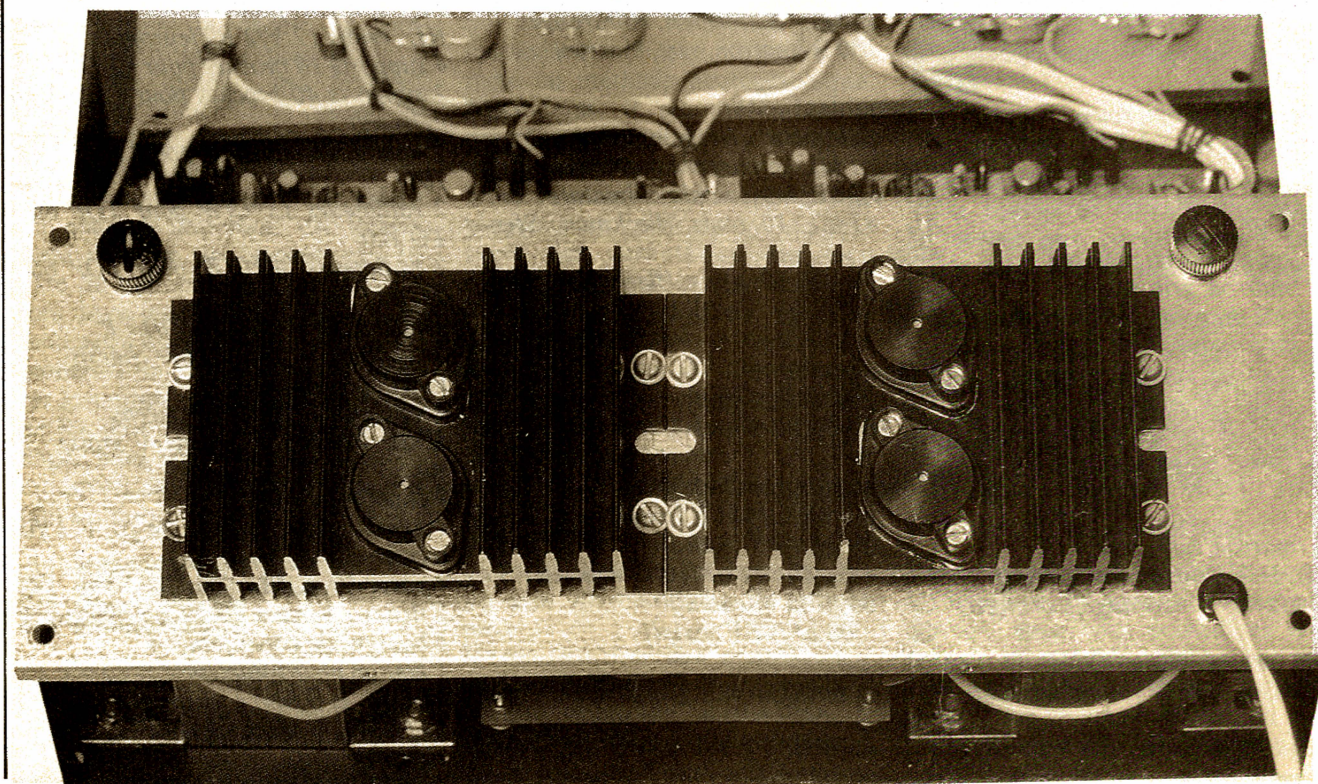


Photo 5. – L'arrière dévoile l'emplacement des dissipateurs.



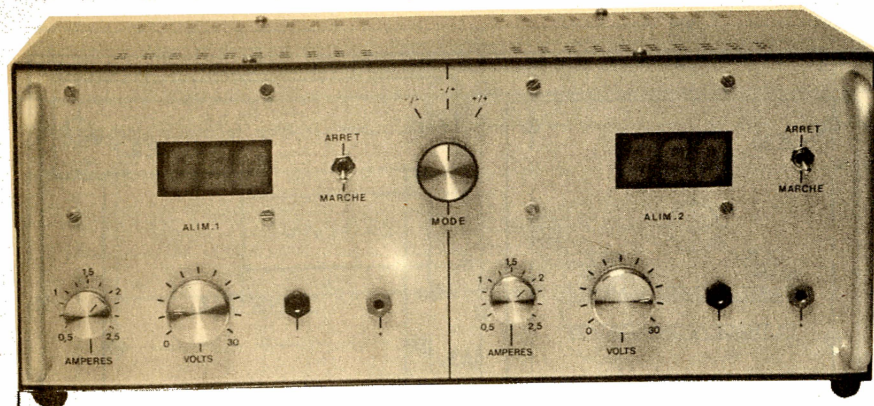


Photo 6. — L'alimentation telle qu'elle se présente en coffret ESM.

Manœuvrez A_{j2} jusqu'à obtenir 0,5 A. Mettez ensuite P_1 au maximum et réglez alors A_{j1} pour obtenir 2,5 A. C'est tout, passez à la 2^e alimentation pour les mêmes réglages. Les relais doivent coller vers 17 V et décoller vers 16 V.

EN CONCLUSION

Vous disposez maintenant d'une alimentation de laboratoire de qualité, et très pratique d'emploi.

La résistance de sortie est inférieure à 0,08 Ω . La liste des composants donne le matériel pour une section, il faut donc les prévoir en double, sauf les composants mécaniques tels que boîtier, boutons, etc. Vous allez aussi pouvoir faire vos « fonds de tiroirs » : les transistors utilisés sont très répandus et ont de nombreux équivalents.

G. AMONOU

C_{11}, C_{12}, C_{13} : 0,1 $\mu F/250$ V
 C_{14}, C_{15} : 0,1 $\mu F/63$ V (Thomson ou MKH)
 C_{16} : 220 nF/63 V (Thomson ou MKH)

Transistors

T_1 : TIP 32
 T_2 : 2N2219
 T_3 : 2N2907 A
 T_4, T_5, T_{14} : BC 109 C
 $T_6, T_7, T_{17}, T_{18}, T_{19}, T_{20}$: 2N2907
 T_8, T_9 : BC 309 B
 T_{10}, T_{11} : 2N 3055 (60 V mini)
 T_{12} : TIP 32 A
 T_{13} : 2N2219 A ou 2N 1711 ou 2N1889, 1893
 T_{15}, T_{16} : BC 107 B

Diodes

D_1, D_2, D_3, D_4 : diodes 3A/100 V
 D_5 : 1N4001, 4002...

Diodes Zener

D_{z1} : 15 V/1 W
 $D_{z2}, D_{z3}, D_{z4}, D_{z5}$: 6,2 V/400 mW
 D_{z6} : 3,9 V/400 mW

Circuits intégrés

CI_1 : 7805 (régulateur 5 V ; TO 220)
 CI_2 : CA 3162 (R.C.A.)
 CI_3 : CA 3161 (R.C.A.)

Divers

$AFF_{1,2,3}$: afficheurs 12 mm, rouges, A.C.
 F : 0,5 A

K_1 : inter 2 circuits

K_2 : rotacteur 4 circuits/3 positions

TR : 2 \times 15 V/100 VA

RL : relais 12 V/2 RT/européen

4 supports 16 broches pour CI DIL

2 supports 40 broches pour CI DIL (afficheurs)

2 radiateurs 3 °C/W pour 2 T03 (WA 101)

2 radiateurs 13 °C/W pour TOP 66 ou TO 220

2 radiateurs 30 °C/W pour TOP 66 ou TO 220

1 coffret ESM réf. EC 30/12 P

2 supports de fusible pour châssis

Plexi opto, rouge

2 supports de relais européens

Micas isolants + canons + graisse silicone

4 capots pour TO 3

1 câble-secteur + 1 passe-fil + 1 fiche secteur

4 passe-fil \varnothing 10.

2 fiches « banane » rouges + 2 noires

4 boutons de potentiomètre

1 bouton pour rotacteur

Visserie \varnothing 3 mm + entretoises

Transferts « Mecanorma »

Vernis aérosol

LISTE DES COMPOSANTS

Résistances (5 %, 1/4 W sauf spécification contraire)

R_1 : 1,2 k Ω /1 W (marron, rouge, rouge)
 $R_2, R_8, R_{10}, R_{11}, R_{23}$: 1,5 k Ω (marron, vert, rouge)

R_3 : 820 Ω (gris, rouge, marron)

R_4 : 0,15 Ω /1 W ou plus

R_5 : 220 Ω (rouge, rouge, marron)

R_6 : 18 k Ω (marron, gris, orange)

R_7, R_{21} : 10 k Ω (marron, noir, orange)

R_9, R_{29} : 1 k Ω (marron, noir, rouge)

R_{12} : 330 Ω (orange, orange, marron)

R_{13}, R_{14} : 0,1 Ω /1 W ou plus

R_{15} : 2,7 k Ω /1/2 W (rouge, violet, rouge)

R_{16} : 620 Ω (bleu, rouge, marron)

R_{17} : 3,3 k Ω , 1/2 W (orange, orange, rouge)

R_{18} : 10 Ω (marron, noir, noir)

R_{19} : 10 k Ω , 1 % (marron, noir, orange)

R_{20} : 3,3 k Ω , 1 % (orange, orange, rouge)

R_{22} : 3,9 k Ω (orange, blanc, rouge)

R_{24} : 910 Ω , 1 %, 1/2 W (blanc, marron, marron)

R_{25} : 510 Ω , 1 % (vert, marron, marron)

R_{26} : 100 k Ω , 1 % (marron, noir, jaune)

R_{27} : 1 k Ω , 1 % (marron, noir, rouge)

R_{28} : 150 Ω (marron, vert, marron)

Ajustables

A_{j1} : 47 k Ω , horizontale, miniature

A_{j2} : 2,2 k Ω , horizontale, miniature

A_{j3} : 4,7 k Ω , horizontale, miniature

A_{j4} : 47 k Ω , 10 tours (Beckman, Sfer-nice)

A_{j5} : 10 k Ω , 10 tours (Beckman, Sfer-nice)

Potentiomètres

P_1 : 22 k Ω A (linéaire)

P_2 : 10 k Ω A (linéaire)

Condensateurs chimiques

C_1, C_2 : 4700 $\mu F/63$ V (axial)

C_3 : 220 $\mu F/25$ V (radial)

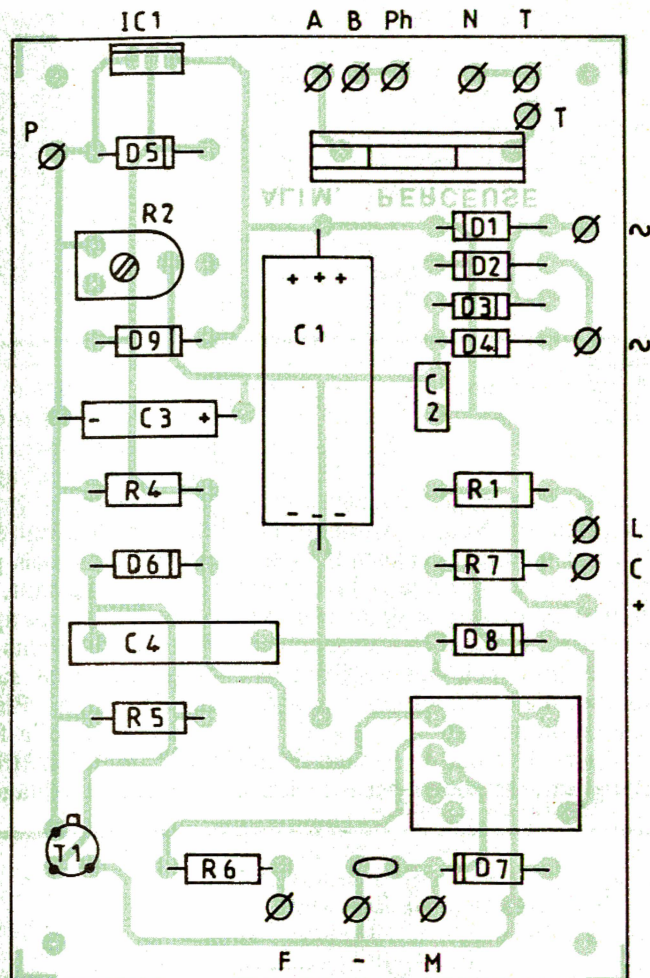
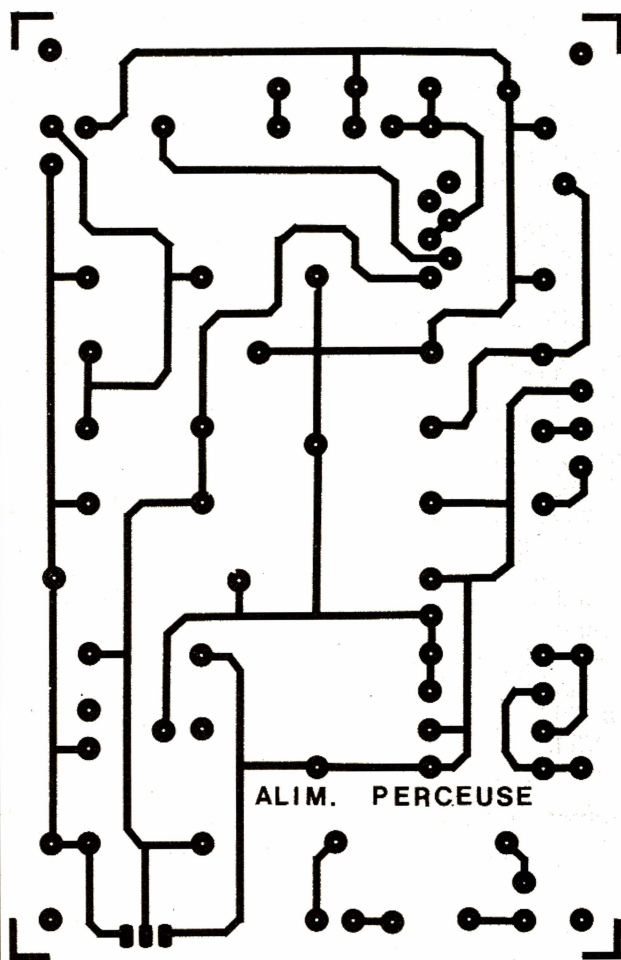
C_4, C_5, C_6, C_7 : 10 $\mu F/16$ V (radial)

C_8 : 100 $\mu F/6$ V (radial)

C_9 : 1 000 $\mu F/40$ V (axial)

Condensateurs « plastique » ou « mylar »

C_{10} : 47 nF/400 V



En relâchant la pédale de commande, l'utilisateur désexcitera le relais. Le moteur, qui tournait, trouve son alimentation coupée. En outre, si l'inter est sur « Frein », il fonctionnera en génératrice sur R₆. Celle-ci étant de très faible valeur, un courant important est généré. Cela entraîne un blocage très rapide du moteur. Certains s'étonneront de ce montage. En fait, tous les moteurs d'essuie-vitre des véhicules modernes en sont équipés pour l'arrêt instantané des balais. La valeur de R₆ détermine le temps de freinage. Bien sûr, si l'inter « Frein » est ouvert, le ralentissement du moteur est normal.

III - REALISATION PRATIQUE

a) Le circuit imprimé

Le tracé retenu pour le montage est représenté à la **figure 4**. L'implantation est particulièrement aérée, ce

qui autorise sa réalisation par la méthode de chacun : gravure directe ou méthode photographique. Néanmoins, il est préférable de contrôler le brochage du relais afin d'éviter toute surprise.

Nous vous invitons à employer une plaquette en verre époxy qui présente des caractéristiques bien meilleures que l'ancienne bakélite. Procéder à la fastidieuse, mais indispensable gravure au perchlore de fer. L'attaque du cuivre terminée, il suffira de rincer soigneusement, puis de sécher par exemple avec un sèche-cheveux.

Effectuer le perçage à 1 mm pour les composants, 1,2 mm pour le porte-fusible et 3 mm pour les 4 fixations. Repérer les cosses de sortie avec un marqueur fin permanent.

L'implantation des composants, donnée à la **figure 5**, n'appelle à aucune remarque particulière. Il semble bon de rappeler que l'orientation des composants actifs est pri-

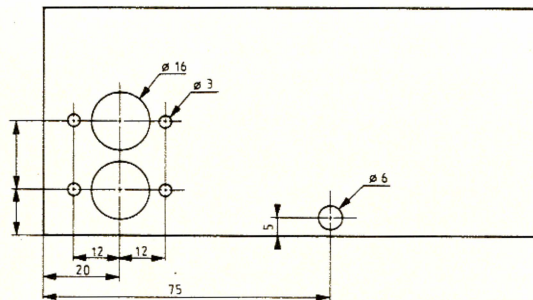
Fig. 4 et 5 Le circuit imprimé se reproduira à l'aide de transferts « Mecanorma ».

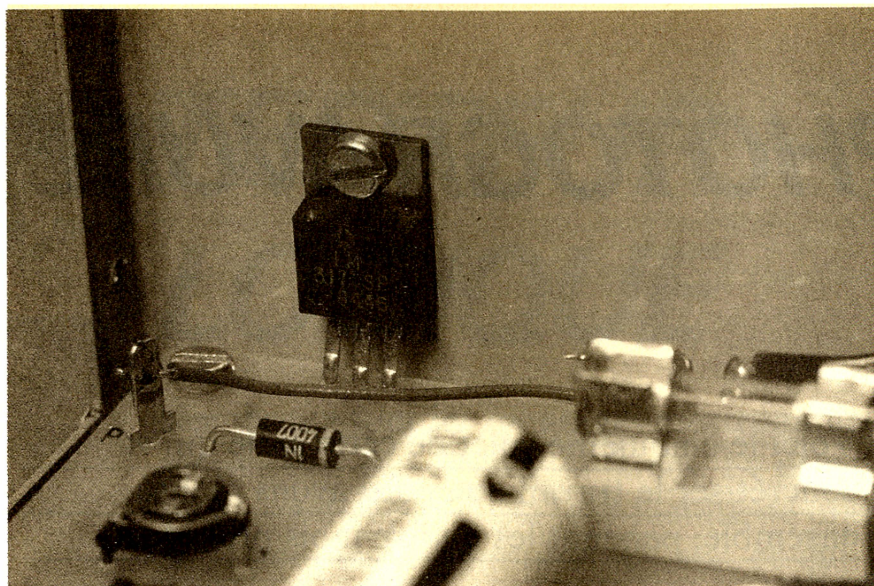
mordiale sous risque de destruction. Vu le nombre de composants, vous ne seriez pas pardonnable ! Le relais sera monté sur un support adéquat.

L'opération indispensable de contrôle pourra être effectuée en s'aidant des photos de la maquette. Ne pas hésiter à comparer également avec le schéma de principe pour déceler toute anomalie.

b) Préparation des coffrets

Percer le boîtier de la pédale selon le diamètre du poussoir. Pour ce dernier, nous vous conseillons de prévoir un modèle robuste car le pied n'est pas aussi délicat qu'une main... Sur ce même boîtier, on effectuera le perçage pour le passage du fil de câblage.

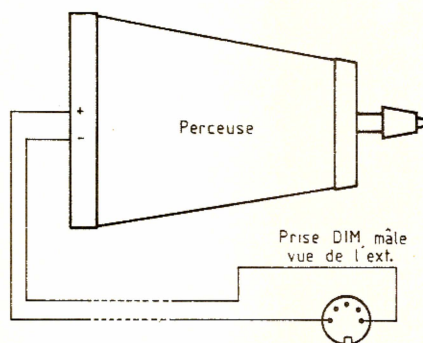
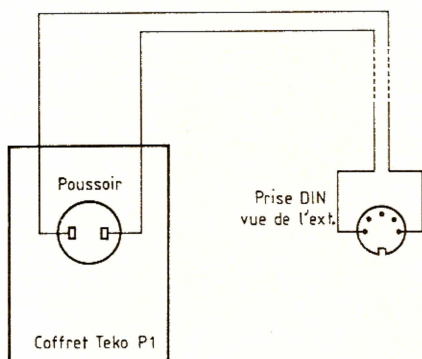




gliger. Certains montages particuliers ne nécessitent pas moins de 1 000 trous de composants. Avec cette réalisation, cela deviendrait (presque) une partie de plaisir...

Daniel ROVERCH

Fig. 9 et 10 Raccordement du boîtier « perceuse ».



LISTE DES COMPOSANTS

- R_1 : 2,7 k Ω (rouge, violet, rouge)
- R_2 : ajustable horizontal 22 k Ω
- R_3 : potentiomètre 4,7 k Ω linéaire.
- R_4 : 270 Ω 1/2 W (rouge, violet, brun)
- R_5 : 47 k Ω (jaune, violet, orange)
- R_6 : 2,2 Ω (rouge, rouge, or)
- R_7 : 330 Ω (orange, orange, brun)
- D_1 : 1N 4007
- D_2 : 1N 4007
- D_3 : 1N 4007
- D_4 : 1N 4007
- D_5 : 1N 4007
- D_6 : 1N 4007
- D_7 : 1N 4007
- D_8 : 1N 4007
- D_9 : 1N 4007
- C_1 : 470 μ F 40 V chimique
- C_2 : 100 nF plaquette
- C_3 : 22 μ F 40 V chimique
- C_4 : 1 μ F plaquette
- C_5 : 330 pF céramique.
- T_1 : 2N 2905
- IC_1 : LM 317 T
- 1 porte-fusible
- 1 fusible 0,5 A
- 1 LED rouge 5 mm
- 1 support de LED
- 1 relais européen 12 V 2RT
- 1 support de relais
- 1 bouton axe de 6 mm
- 2 interrupteurs miniatures
- 1 poussoir contact travail (voir texte)
- 1 transfo 220 V/18 V (ou 2 \times 9 V)
- 12 VA
- 1 prise DIN châssis 5 broches 45°
- 1 prise DIN châssis 5 broches 60°
- 1 fiche mâle DIN 5 broches 45°
- 1 fiche mâle DIN 5 broches 60°
- 1 coffret Teko P1
- 1 coffret ESM AT-13

CM100®

NOUVEAU



ENFIN UN KIT COMPLET

POUR RÉALISER LES CIRCUITS IMPRIMÉS MÊME EN DOUBLE FACE À PARTIR DES SCHÉMAS PUBLIÉS DANS LES REVUES TECHNIQUES.

LE KIT CM 100 EST UN DES PRODUITS DE LA GAMME

ELECTROLUBE

- NETTOYANTS
- LUBRIFIANTS
- JOINTS THERMIQUES
- VERNIS
- BLINDAGES
- COLLES CONDUCTRICES
- PEINTURES ANTISTATISTIQUES ETC...

LISTE ET NOTICE TECHNIQUE SUR DEMANDE

ELECTROLUBE UNE GAMME DE PRODUITS DE QUALITÉ RÉPONDANT AUX NORMES MILITAIRES ET AÉRONAUTIQUES

IMPORTÉ PAR :

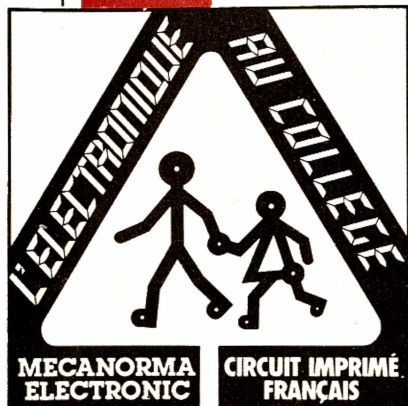
PHIMARAL BP 258

93153 LE BLANC MESNIL CEDEX Tél. : 48.67.32.00

CATALOGUE ET LISTE DES REVENDEURS SUR DEMANDE

1 495 F

LA PHOTOGRAVURE



A

avant de passer aux manipulations ; un peu de technologie. Avec quels produits ?

Sur quel support et comment graver ?...

a) Les agents de gravure

- Le persulfate d'ammonium, presque abandonné, permet de graver à chaud (50 °c) assez rapidement, mais il y a risques de décollement des transferts en gravure directe.
- L'acide sulfurique + eau oxygénée : procédé rapide mais très dangereux pour graver en immersion totale.
- L'amoniak, procédé très rapide, mais utilisable uniquement en machines professionnelles avec hotte d'aspiration.
- Perchlorure de fer : compromis entre les trois premières solutions.

Le procédé de gravure est très simple : le perchlorure de fer ($Fe \cdot Cl_3$) est une solution acide contenant des particules de fer (ions) qui s'oxydent au contact du cuivre. Pour accélérer cette oxydation, on portera la température à (environ 35°) et oxygénera l'ensemble du bain.

Il faudra, en conséquence, agiter pour graver en cuvette, oxygéner au moyen d'une machine à mousse de perchlorure tiède ou pulvériser le perchlorure sur la surface du cuivre.

b) Le support

Le circuit imprimé se présente comme un stratifié, le plus souvent en fibre de verre noyé dans une résine époxyde, sur lequel on a collé, à chaud, une feuille de cuivre de 18 à 70 microns d'épaisseur.

Le cuivre se recouvre ensuite d'une couche photosensible positive ou négative, qui nous permet de reporter l'image de notre circuit imprimé.

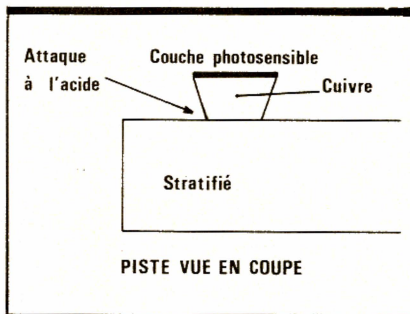


Fig. 1 Détails d'une piste vue en coupe.

L'INSOLATION

Il s'agit de maintenir, en contact « très serré », le film original que nous avons réalisé sur la couche photosensible. Ensuite, il faut insoler avec une source ultraviolette pour :

- **Détruire la couche non protégée de la lumière en positif ;**
- **cuire la couche non protégée de la lumière en négatif.**

On utilise donc un film positif avec du présensibilisé positif et un film négatif avec du présensibilisé négatif.

On élimine ainsi la couche détruite par les ultraviolets en immergeant le circuit dans un développeur positif ou négatif, pendant une minute. Le dessin du circuit se reporte alors sur le cuivre, et protège le métal de la morsure de l'acide.

Gravure : Comme nous l'avons précisé plus haut, il faut tiédir et oxygéner le bain de perchlorure pour graver le plus vite possible. En cuvette, il faut rechauffer l'acide au bain-marie et agiter en permanence la cuvette, le temps moyen de gravure approche les vingt minutes pour un perchlorure neuf et trente-cinq microns de cuivre.

La finesse du circuit dépend du temps de gravure, il est évident que la gravure en cuvette ne permet d'obtenir que des pistes assez larges.

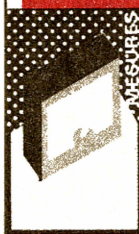
Une règle simple nous permet de sélectionner le principe de gravure. Pour obtenir des pistes de largeur 0,1 mm, il faut graver en une minute.

Pour 0,2 mm, deux minutes

Pour 0,3 mm trois minutes

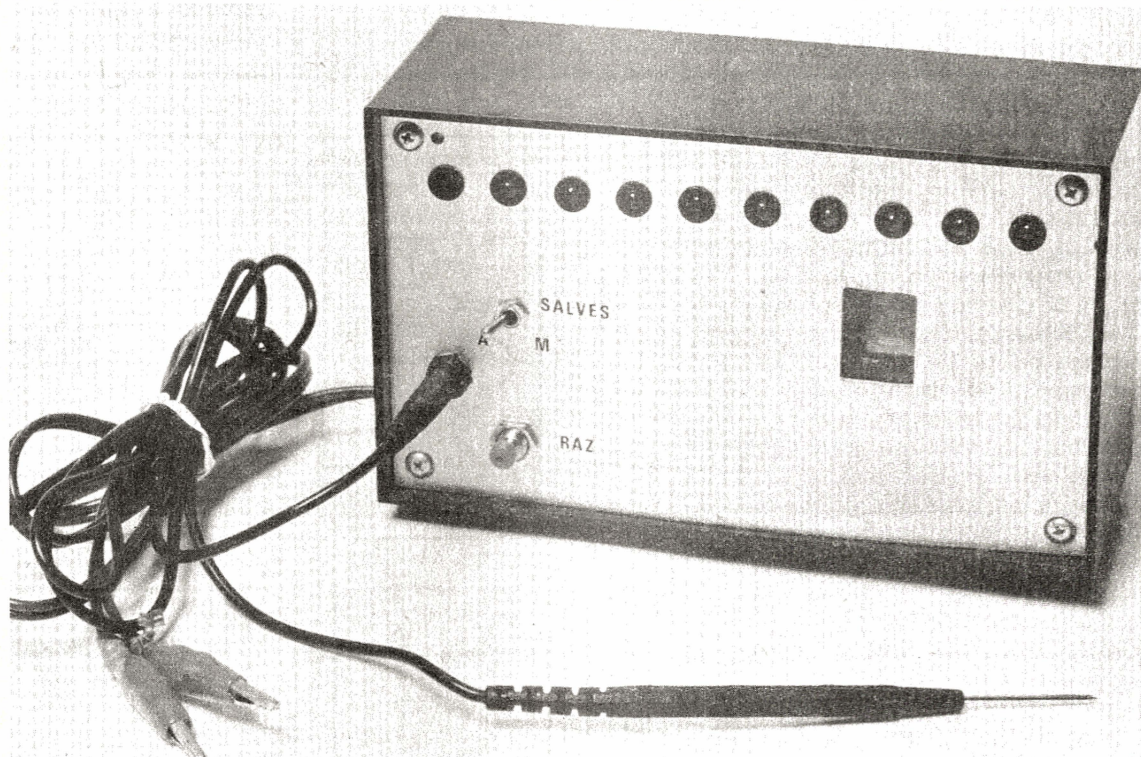
Pour 0,6 mm six minutes

Si, toutefois, on obtient des pistes de 1 mm en gravant dans une cuvette, la piste, vue en coupe, risque d'être attaquée par le dessous.



TESTEUR LOGIQUE

Nombreux sont les montages électroniques comportant des circuits logiques. Le principal avantage de ceux-ci est leur facilité de mise en œuvre dès les logigrammes établis, ce qui explique que nombre de débutants portent leur choix sur ce genre de circuits qu'ils peuvent facilement tester s'ils sont en possession du matériel adéquat.



Dans un premier temps, un voltmètre suffira. Par la suite, un testeur logique s'avérera être une assistance précieuse. C'est un de ces appareils qui devient rapidement indispensable que nous vous proposons d'étudier et de construire.

GENERALITES SUR LE TESTEUR

La fonction première d'un testeur logique est de détecter les niveaux 1 (ou état haut) et les niveaux 0 (ou état bas) d'un circuit logique. L'appareil que nous vous proposons est bien sûr capable d'effectuer ces dé-

tections, mais... il vous réserve quelques surprises comme celle-ci : son couplage avec un circuit annexe lui permet de travailler en comptage d'impulsions s'il se présente une salve sur la broche testée. De plus, le côté pratique n'a pas été oublié : un autre circuit annexe émet un « Bip » sonore à chaque état haut,

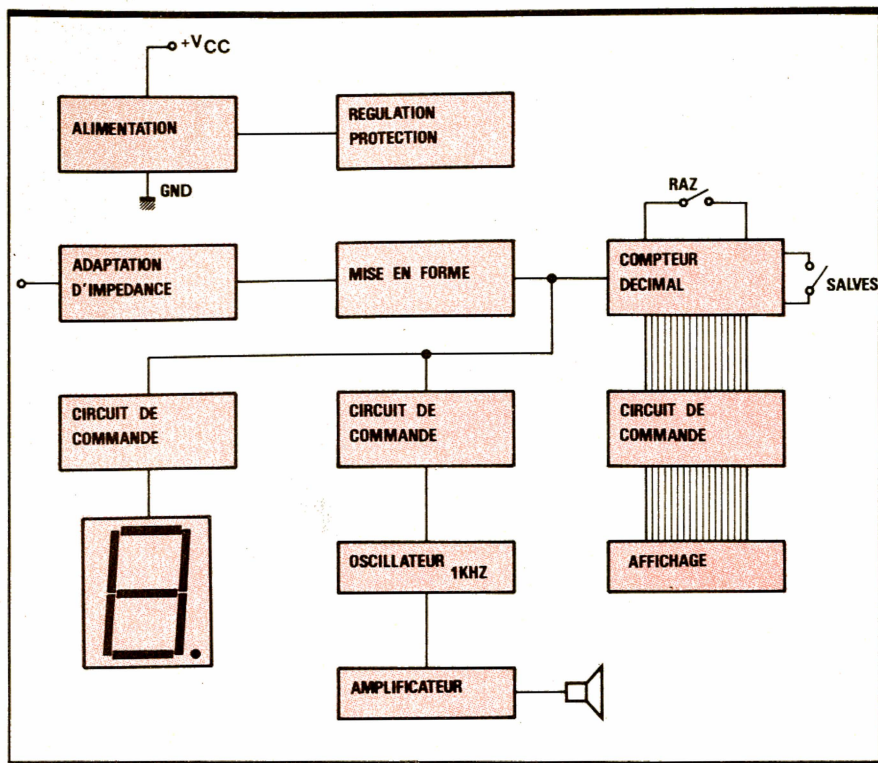


Fig. 1 Synoptique du testeur.

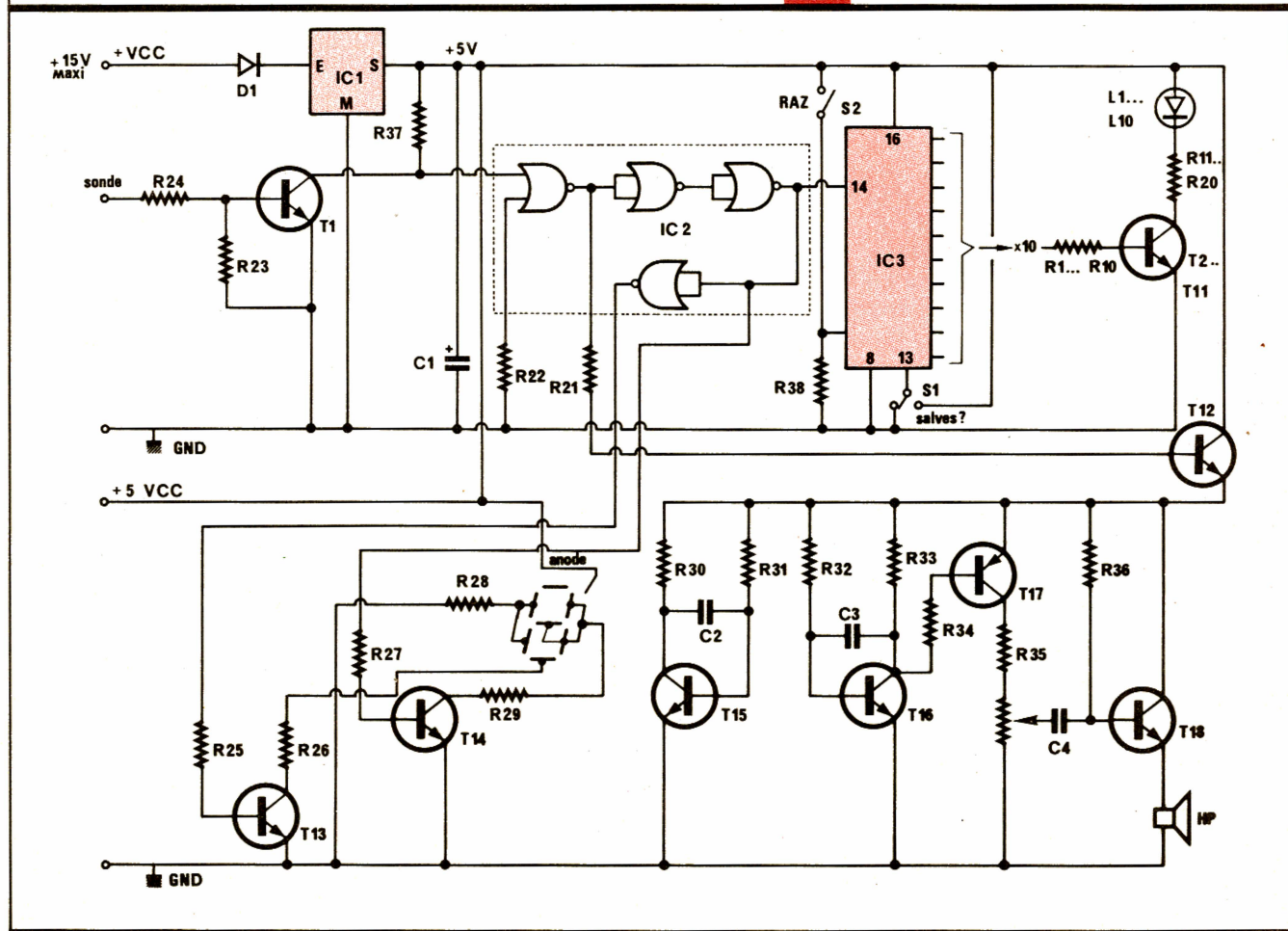
ce qui permet de tester un circuit logique rapidement, sans avoir impérativement l'œil sur le testeur. Ce dispositif peut éviter certains petits incidents toujours désagréables, comme la destruction d'un CI 1205 ayant pour cause un malencontreux court-circuit entre deux broches dû à la sonde, alors que le regard se portait vers l'afficheur logique ! Etudions maintenant ce montage en abordant le schéma synoptique.

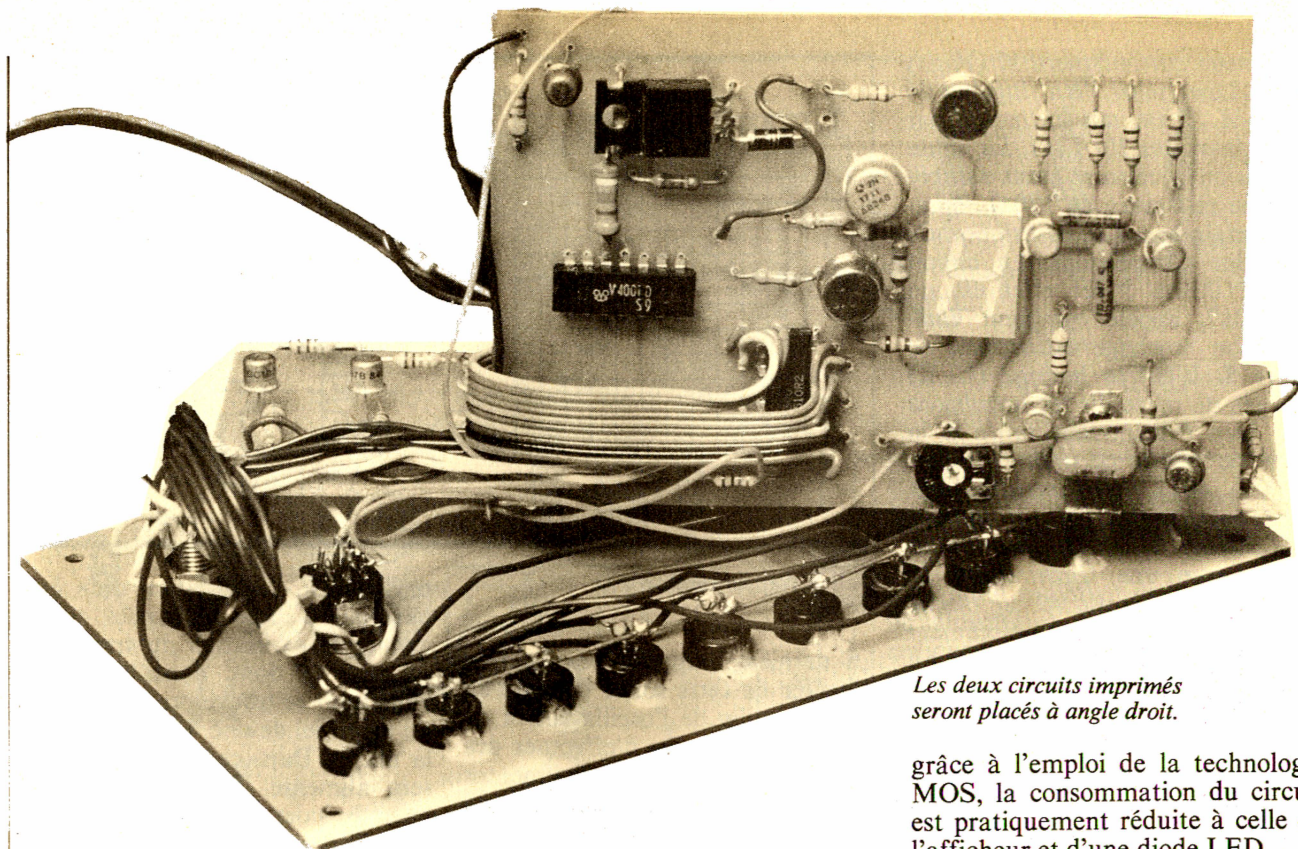
SCHEMA SYNOPTIQUE

(fig. 1)

Par souci de souplesse d'utilisation et de simplicité, l'alimentation du circuit sera directement prise sur le circuit à tester. Les broches d'alimentation seront immédiatement suivies d'un circuit de régulation à + 5 V, de stabilisation (ou filtrage), et de protection contre les inversions de polarité. Du côté de l'entrée sonde, on procède d'abord à une adaptation d'impédance, afin de pouvoir tester indifféremment des circuits intégrés de type TTL, ou MOS, sans perturbation notable du

Schéma de principe. Fig. 2





Les deux circuits imprimés seront placés à angle droit.

circuit testé. Nous nous attarderons plus tard sur l'étage de mise en forme dans le paragraphe sur l'étude en détail du montage. Vient ensuite les circuits de commande de l'afficheur sept segments (dont six seulement seront utilisés), ainsi que celui de l'oscillateur destiné à indiquer que la sonde se trouve sur une broche à l'état haut. Cet oscillateur étant suivi d'un étage amplificateur afin de le rendre audible à travers un petit haut-parleur d'impédance 8Ω . D'autre part, c'est un compteur décimal qui est chargé de la détection de salves et du comptage des impulsions qui la composent. Ce circuit intégré est suivi par un système d'affichage par diodes LED, pilotées par des transistors.

ETUDE DETAILLEE DU MONTAGE (fig. 2)

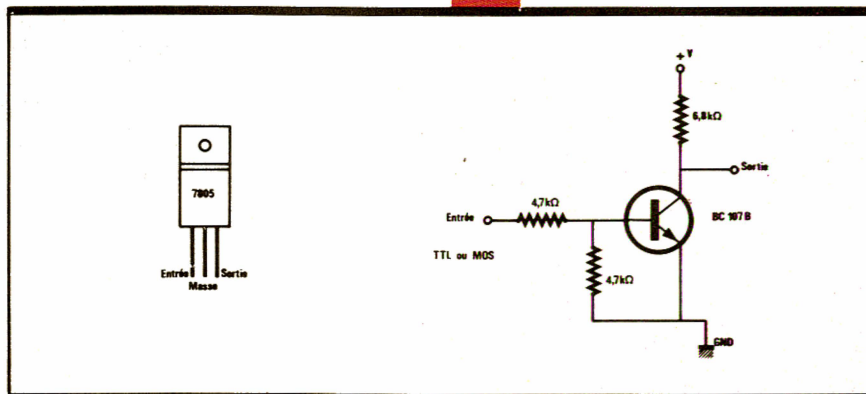
Tout d'abord, occupons-nous de l'alimentation. Là se pose le premier problème : cet appareil devant être utilisable de la manière la plus universelle possible, il devra être capable de s'accommoder de l'alimentation du circuit testé. C'est pour cette raison que la valeur de

5 V a été choisie, car elle correspond à la valeur que nécessitent les circuits intégrés TTL (de plus, il est à noter que rares sont les circuits MOS qui soient alimentés par une tension inférieure à 5 V). Cette tension étant fournie par un régulateur intégré (tension positive de 5 V, donc 7805) maintenant bien connu du grand public. Son brochage est rappelé en figure 3. La protection contre les inversions de polarité est assurée par une diode de type 4007. La tension d'alimentation pouvant éventuellement être prise directement au secondaire d'un transformateur (la diode de protection effectuant le redressement mono-alternance), il est nécessaire de placer un condensateur de $1000\mu\text{F}$ qui aura un rôle de régulation. Il faut remarquer que

grâce à l'emploi de la technologie MOS, la consommation du circuit est pratiquement réduite à celle de l'afficheur et d'une diode LED.

Venons-en maintenant à la sonde proprement dite. Une des principales différences entre circuits TTL et MOS étant l'impédance d'entrée des portes, il sera nécessaire de faire apparaître un adaptateur d'impédance entre la sonde et le reste du montage. Cet adaptateur est représenté en figure 4. On remarque que le seul défaut de cet étage d'adaptation est de se comporter en inverseur logique, il faudra donc le faire suivre par un nombre impair de portes inverseuses qui seront formées à partir du CD 4001, qui est un CI comportant 4 portes NOR. C'est l'étage de mise en forme indiqué dans le schéma synoptique. Ensuite viendra

Fig. 3 Circuit régulateur et adaptateur d'impédance.



l'afficheur qui indiquera H (High) ou L (Low) selon l'état logique de la sonde. Il est mis en œuvre par deux classiques 2N 1711. La chute de tension nécessaire étant assurée par une résistance de 180 Ω . Entamons maintenant la description du compteur d'impulsions. Le circuit intégré utilisé à cet effet est un CD 4017, appelé compteur décimal. Son brochage est rappelé en **figure 5**. L'entrée horloge (CLK) chargée de recueillir les impulsions sera bien évidemment reliée à la sortie de l'étage de mise en forme (le CD 4017 étant sensible aux fronts ascendants). Chaque passage de l'horloge à l'état 1 aura pour conséquence une transmission de l'état haut à la sortie voisine (sortie voisine ne signifiant pas forcément broche voisine). Chaque sortie du CD 4017 est couplée à un transistor capable de mettre en œuvre une diode LED. Comme pour les afficheurs, la chute de tension de 3 V sous 20 mA (environ) est réalisée au moyen d'une résistance de 280 Ω . La remise à zéro du compteur s'effectuera par l'application d'un état haut à la broche RAZ. Toutefois, il est nécessaire de mettre cette broche à l'état 0 en phase de comptage d'impulsions.

tableau de fonctionnement

H	1	2	3	4	5	6	7	8	9	10
Val	0	0	0	0	0	0	0	0	0	0
RAZ	0	0	0	0	0	0	0	0	0	0
1	1	0	0	0	0	0	0	0	0	0
2	0	1	0	0	0	0	0	0	0	0
3	0	0	1	0	0	0	0	0	0	0
4	0	0	0	1	0	0	0	0	0	0
5	0	0	0	0	1	0	0	0	0	0
6	0	0	0	0	0	1	0	0	0	0
7	0	0	0	0	0	0	1	0	0	0
8	0	0	0	0	0	0	0	1	0	0
9	0	0	0	0	0	0	0	0	1	0
10	0	0	0	0	0	0	0	0	0	1

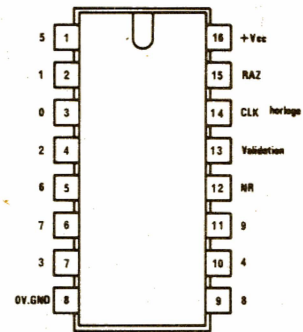


Fig. 5 Rappel sur le 4017.

La dernière étape de l'explication détaillée de cette sonde consiste en la description de l'oscillateur et de l'amplificateur afin d'effectuer des tests sonores. Le but est d'alimenter un oscillateur basse fréquence lorsque la sonde se trouve à l'état haut. Pour cela, il suffit de brancher la base d'un transistor à la sortie du premier inverseur du 4001 (on aurait aussi pu la relier à l'entrée horloge). Le transistor choisi est un 2N 1711, monté en collecteur

plus. Ainsi, l'application d'un état haut sur la base aura pour conséquence la saturation du transistor, on pourra donc considérer que l'émetteur se trouve pratiquement à un potentiel de + 5 V par rapport à la masse. Dans ce cas, l'oscillateur sera alimenté. Rien à dire justement au sujet de cet oscillateur que beaucoup connaissent déjà, si ce n'est que sa fréquence d'oscillation est environ égale à :

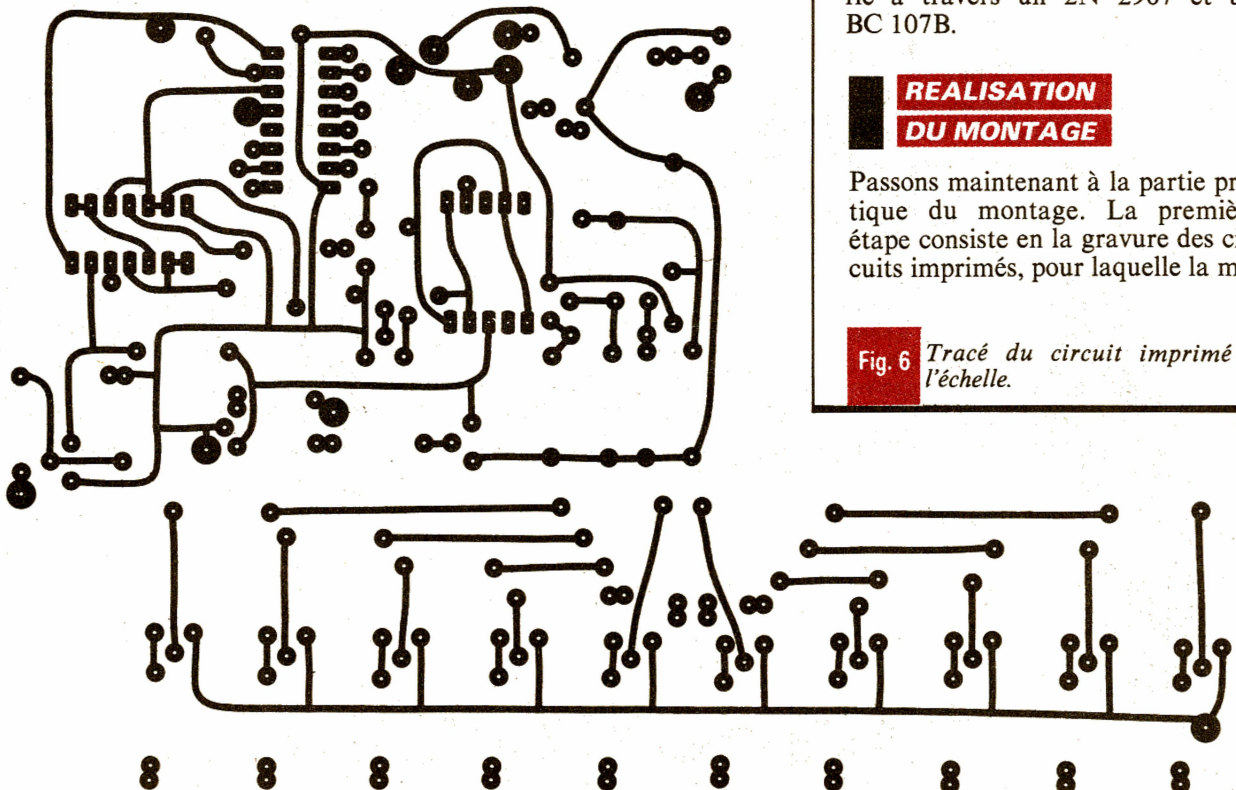
$$F \approx \frac{1}{1,4 RC}$$

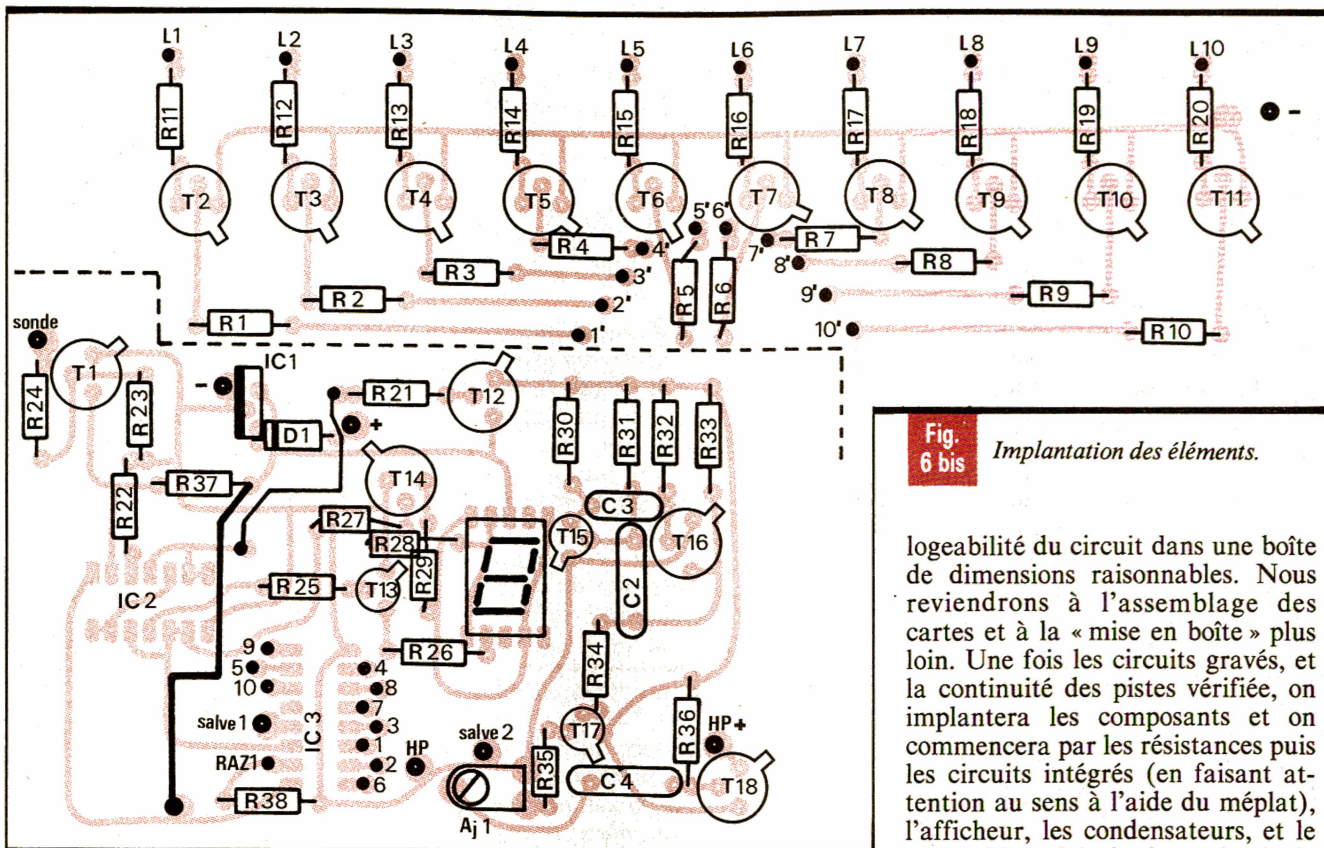
soit ici, un tout petit peu plus de 1 kHz. Le signal est ensuite amplifié à travers un 2N 2907 et un BC 107B.

REALISATION DU MONTAGE

Passons maintenant à la partie pratique du montage. La première étape consiste en la gravure des circuits imprimés, pour laquelle la mé-

Fig. 6 Tracé du circuit imprimé à l'échelle.





**Fig.
6 bis**

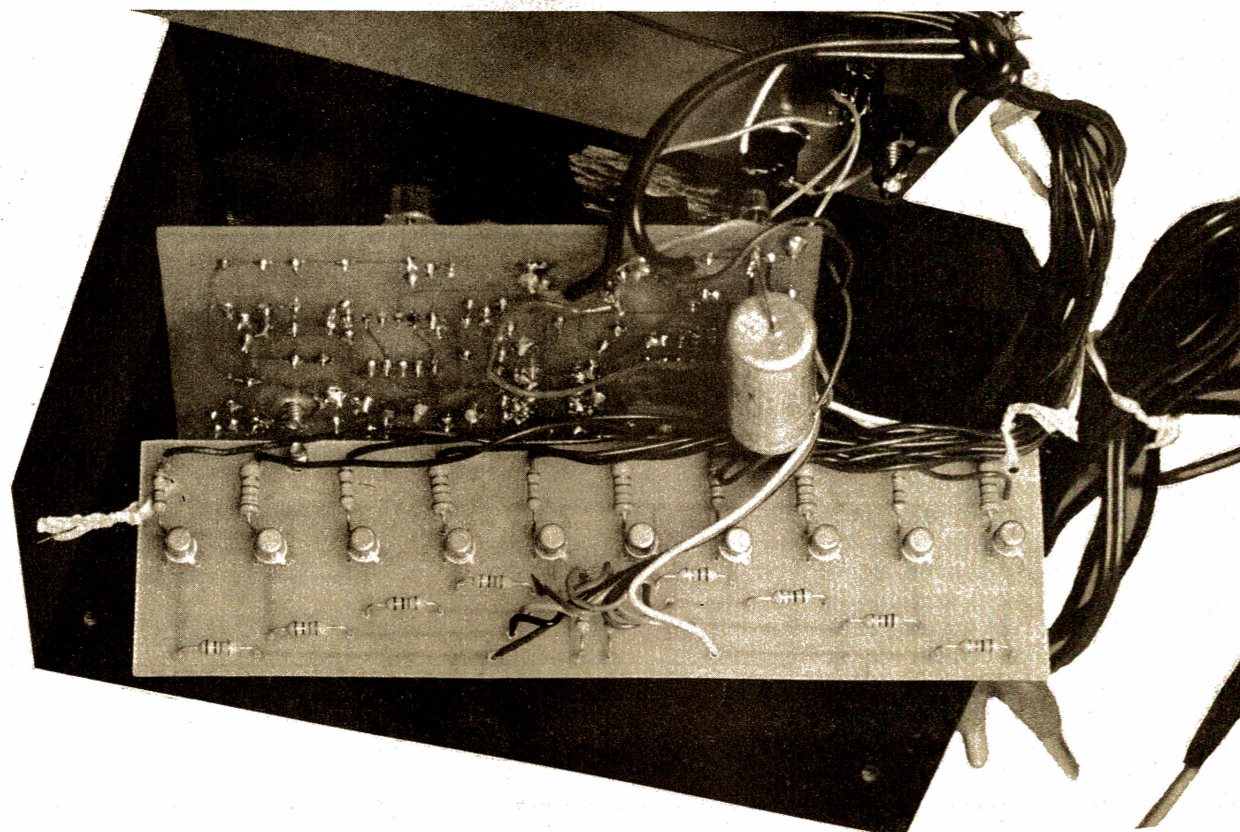
Implantation des éléments.

logeabilité du circuit dans une boîte de dimensions raisonnables. Nous reviendrons à l'assemblage des cartes et à la « mise en boîte » plus loin. Une fois les circuits gravés, et la continuité des pistes vérifiée, on implantera les composants et on commencera par les résistances puis les circuits intégrés (en faisant attention au sens à l'aide du méplat), l'afficheur, les condensateurs, et le reste. L'emploi de la technologie MOS a de gros avantages, mais impose aussi quelques contraintes. Il sera recommandé :

1° De raccorder la panne du fer à souder à la masse.

thode photographique est, comme d'habitude, recommandée. On prendra soin à éventuellement corriger le circuit imprimé au cas où des composants n'auraient pas le

même encombrement que ceux que l'auteur a utilisé (ajustable, afficheur...). La conception de deux circuits imprimés s'est avérée être indispensable pour des raisons de



2° D'utiliser un fer à souder de faible puissance.

3° De séparer chaque soudure des différentes broches d'une dizaine de secondes.

Vient ensuite le câblage. Afin de ne pas transformer un travail fastidieux mais simple ici, en une corvée plutôt laborieuse, nous vous recommandons d'utiliser du câble nappé à la sortie du CD 4017 (circuit imprimé 1) vers le circuit imprimé 2. Pour ne pas compliquer les tâches suivantes, il vaudra mieux ordonner ces fils soit au départ, soit à l'arrivée comme l'indique le schéma d'implantation (1 devra correspondre avec 1', 2 avec 2', etc.) Il conviendra ensuite d'effectuer les connexions qui n'ont pu être faites sur le circuit imprimé directement. Donc, relier a et a' côté composants, b et b' côté pistes cuivrées, placer le condensateur C₁ côté cuivre en veillant à sa polarité (l'implantation côté composants aurait pris trop de place verticalement... nous verrons pourquoi plus tard). Câbler ensuite les diodes LED comme ceci : relier ensemble toutes les anodes et connecter le tout au plus (par exemple b ou b'). Câbler ensuite les LED une à une à la sortie du circuit imprimé 2. On terminera par les connexions du bouton-poussoir, de l'inverseur, de la fiche banane, du haut-parleur, et enfin du câble d'alimentation, ce câble étant muni de deux pinces crocodile pour l'alimentation du circuit. Le montage est alors en état de marche.

MISE EN COFFRET

On commencera par étudier la fixation des circuits imprimés, avec le numéro 1 dans le plan horizontal, et le numéro 2 perpendiculaire au numéro 1. On pourra les fixer l'un à l'autre par deux équerres « fabrication maison » ! Percer ensuite la fenêtre laissant apparaître l'afficheur. Celui-ci devant être le plus près possible de la fenêtre, on pliera les composants gênants comme le régulateur 7805 (ce qui explique le fait que LC₁ soit côté cuivre). Étudier ensuite l'emplacement de la rampe de diodes LED, de manière qu'il n'y ait pas de faux contacts possibles entre les pattes des LED et les circuits imprimés. Terminer en plaçant le bouton-poussoir, l'in-

verseur et la fiche banane. Quant au haut-parleur, il pourra tout simplement se coller au fond du boîtier, en ayant au préalable percé quelques trous afin d'obtenir une bonne diffusion du son.

UTILISATION DE LA SONDE

Pour la recherche d'une panne dans une carte de circuits logiques, la première chose à faire est de vérifier que les points où l'on place les broches d'alimentation sont bien aux tensions requises (de + 5 V à + 15 V). Le cas échéant, intercaler une résistance entre le point choisi du circuit et la broche + du testeur, sachant qu'une intensité de 55 mA maxi alimente le circuit. En comptage de salves, il est vive-

ment recommandé de remplacer la sonde par une prise de type « Grip-Fil » afin d'éviter les manœuvres intempestives ! Après avoir branché la prise, presser le bouton de RAZ, et lancer le circuit à tester.

Il est à noter que dans une utilisation normale, l'allumage successif de deux diodes LED non consécutives ne peut être interprété. Cet appareil n'étant pas équipé d'un circuit anti-rebond, ce phénomène est dû à des contacts multiples de la sonde sur une broche à l'état haut, activant ainsi plusieurs fois l'entrée horloge du CD 4017.

Par contre, si l'on a à détecter des pics fins (inférieur au 25° de seconde), ne pas se fier à l'afficheur, la solution consiste à surveiller la rampe de diodes LED, afin d'y constater un éventuel décalage.

S. CANET

LISTE DES COMPOSANTS

R₁ à R₁₀ : 10 kΩ (marron, noir, orange)
R₁₁ à R₂₀ : 180 Ω (marron, gris, marron)
R₂₁ : 470 Ω (jaune, violet, marron)
R₂₂ : 39 kΩ (orange, blanc, orange)
R₂₃, R₂₄ : 4,7 kΩ (jaune, violet, rouge)
R₂₅, R₂₇ : 47 kΩ (jaune, violet, orange)
R₂₆, R₂₈, R₂₉ : 180 Ω (marron, gris, marron)
R₃₀, R₃₃ : 2,2 kΩ (rouge, rouge, rouge)
R₃₁, R₃₂ : 15 kΩ (marron, vert, orange)
R₃₄, R₃₈ : 10 kΩ (marron, noir, orange)
R₃₅ : 680 Ω (bleu, gris, marron)
R₃₆ : 33 kΩ (orange, orange, orange)
R₃₇ : 6,8 kΩ (bleu, gris, rouge)
A_{j1} : 1 kΩ horizontale type pilier
C₄ : 0,1 μF
C₁ : 1 000 μF, 16 V
C₂, C₃ : 47 nF
T₁ à T₁₁ : BC 107 B

T₁₂, T₁₃, T₁₄ : 2N 1711
T₁₅, T₁₆ : BC 109
T₁₇ : 2N 2907
T₁₈ : BC 107B
D₁ : 1N 4007
L₁ à L₁₀ : diodes LED
HP : impédance 8 Ω
Afficheur : anodes communes
IC₁ : 7805
IC₂ : CD 4001
IC₃ : CD 4017
S₁ : poussoir
S₂ : inverseur
10 clips de LED
1 fiche banane femelle
1 sonde
Câble nappé
Câbles divers
2 pinces-crocodile
1 passe-fil
Coffret

LE MOIS PROCHAIN

Un radar
à ultrasons
etc.

Publications Radioélectriques et Scientifiques
Société anonyme au capital de 300 000 F
Siège social :

2-12, rue de Bellevue, 75019 Paris

Durée

Création 1926 - Durée 60 + 99 ans

Président-directeur général
et directeur de la publication

A. Lamer

Rédacteur en chef
Bernard Fighiera

Actionnaires

Sté Fse d'Éditions et de Publications Illustrées
Publications Georges Ventillard
Monsieur J.-P. Ventillard

Tirage moyen 1984 Diffusion moyenne 1984
123 859 80 503

C.A. 1984 de Publications Radioélectriques
et Scientifiques : 65 523 938 F

APPLICATIONS DES CIRCUITS CMOS

Ce mois-ci, encore quelques applications particulières des circuits C.MOS. Des applications sont même proposées et font l'objet d'un circuit imprimé en fin d'article pour ceux qui envisageraient leur réalisation.

GENERATEUR DE RAMPE (fig. 1)

Ce montage génère en sortie un signal d'allure triangulaire, mais constitué de marches d'escaliers. Pour ce faire, on associe un compteur à un convertisseur digital/analogique sommaire.

Le compteur disposera de son horloge (non représentée) et de son alimentation, généralement de 5 V. Sur ces sorties, on relève un nombre sur 4 bits, de 0 à 15 (1111 en binaire) comme cycle. Si l'état binaire est 1, cela correspond à 5 V si le C.MOS est alimenté en 5 V, et l'état 0 a une tension de 0 V.

Si on considère la tension au point A nulle, le courant I sera égal à la somme des courants créés par

chaque bit de compteur. A l'état 0, ce courant sera nul, mais à l'état 1 il sera égal à 5 V divisé par la résistance associée. On obtient ainsi un courant proportionnel au compteur. La tension de sortie sera un multiple de ce courant, mais de valeur négative due au montage de l'ampli opérationnel.

FREQUENCEMETRE SIMPLE (fig. 2)

Ce montage ne fait appel qu'à un circuit C.MOS et encore de très faible coût. Le schéma reste lui aussi simple. Le signal d'entrée est amplifié par un montage préamplificateur avec une porte C.MOS. C₁ isole la composante continue du signal. On associe ensuite un étage

trigger constitué de deux portes C.MOS. On disposera d'un signal carré sur sa sortie, quel que soit le signal d'entrée, dans les limites du niveau minimum. Ces fronts vont déclencher un monostable constitué d'une porte C.MOS et d'un circuit RC dérivateur (R₅ et C₂). Maintenant, on intègre ces impulsions pour obtenir une valeur moyenne de tension, qui sera proportionnelle au rapport cyclique de ses impulsions, donc à la fréquence. C'est le rôle de R₆, C₃ et R₇ C₄. Il suffit de disposer un appareil à aiguille de préférence, mais à résistance d'entrée élevée (sinon insérer un AOP monté en suiveur). On lira un résultat proportionnel à la fréquence. L'alimentation devra être stable et sera dans notre cas confiée à un régulateur intégré faible consommation : le 78L05 ou LM 2931 en boîtier TO 92. La lecture est aussi possible sur un appareil numérique, mais le dernier digit fluctuera ! Des chronogrammes détaillent le fonctionnement. La réalisation est proposée à la fin de l'article.

MONOSTABLE (fig. 3)

Il est possible de réaliser des monostables à l'aide de bascules D. Il suffit de disposer un circuit RC in-

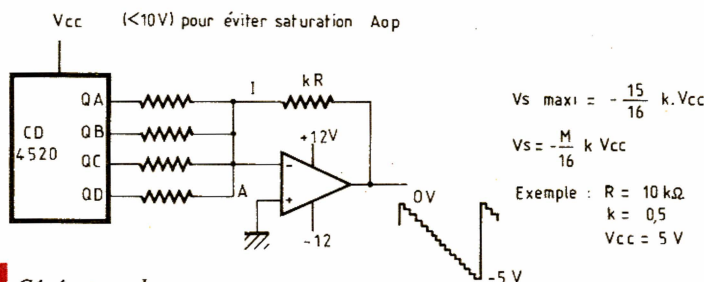
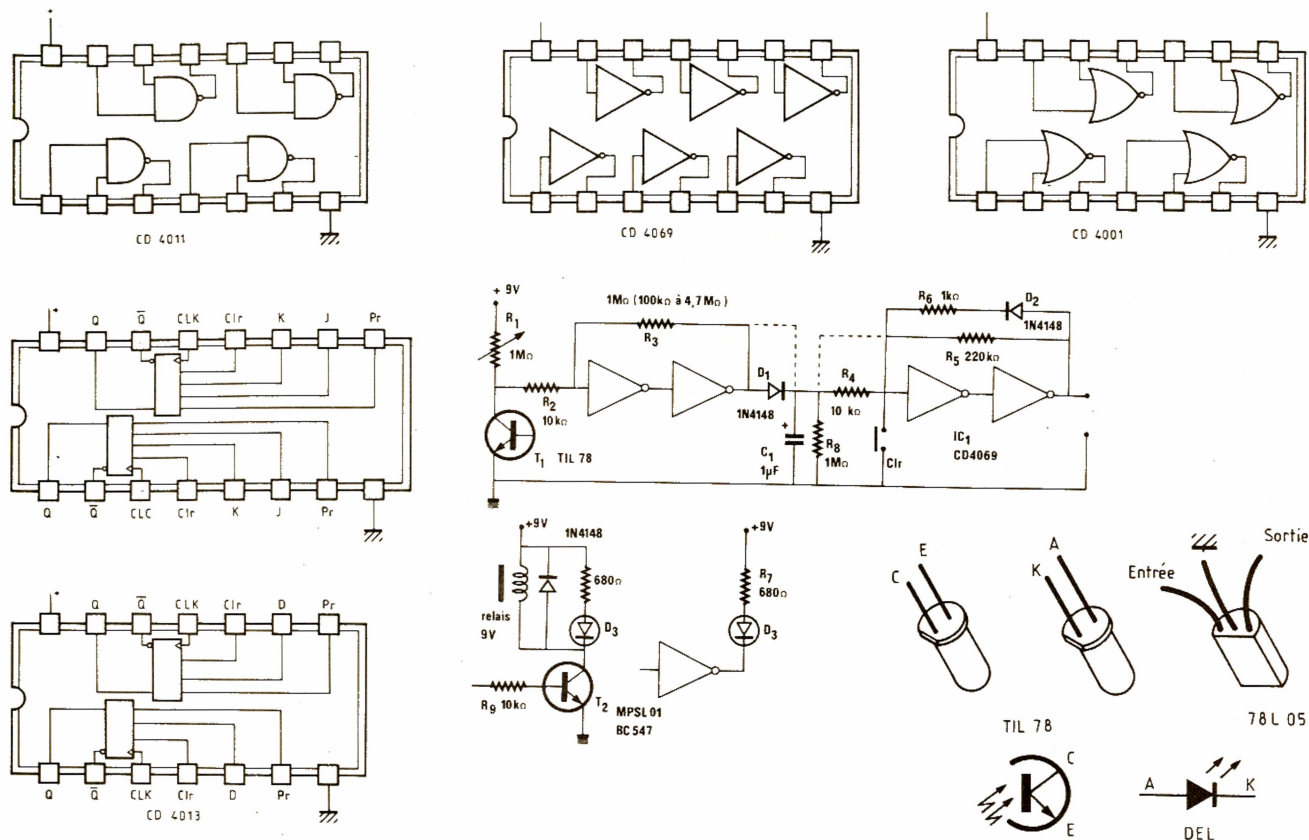


Fig. 1 Générateur de rampes.

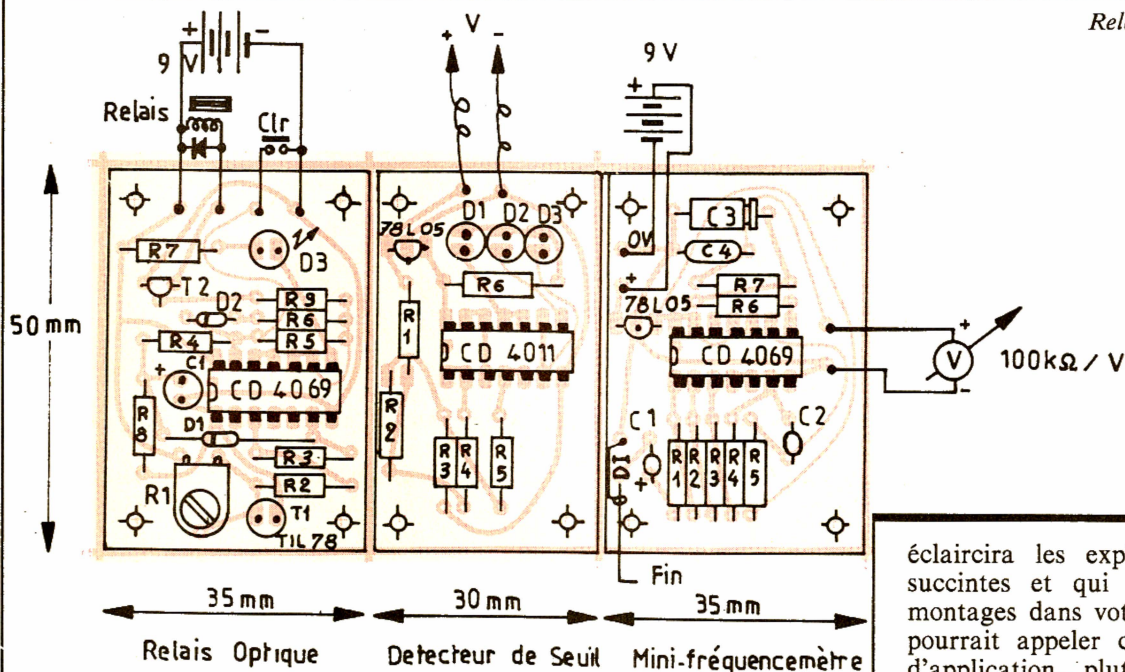
reproduction se fera soit par transferts directs ou avec un feutre indélébile sur une plaque d'époxy ou par méthode photographique avec une plaque sensibilisée. Il suffira de lire la revue pour trouver les explications nécessaires et maintes fois répétées. Les composants seront

montés dans l'ordre habituel : résistances, condensateurs, semi-conducteurs et supports de circuits (moins chers que le support !). Les montages décrits sont alors prêts à fonctionner. On se reportera aux explications du paragraphe se rapportant au montage choisi en cas de

problèmes. Il n'y a pas de réglages, sauf dans le cas de la **figure 7**, qui est en fait arbitraire et personnel. Nous espérons que ce supplément réalisation vous aura été utile. L'auteur conseille de réaliser les montages décrits sur une plaquette de connexion (μ 'DEC...), ce qui



Relais optique. Fig. 7



éclaircira les explications parfois succinctes et qui figera bien ces montages dans votre mémoire. On pourrait appeler cela un exercice d'application... plutôt distrayant !

WALLERICH P.



CHOIX ET UTILISATION DES GENERATEURS BF

Pour les tout premiers contrôles qu'exigent la mise au point, et souvent le dépannage, des montages électroniques, un simple multimètre, bien choisi et surtout rationnellement utilisé, rend déjà d'immenses services. Nous avons traité de ce problème dans le numéro 88 de la revue, sous le titre « Utilisez-vous au mieux votre multimètre ? »



Au stade des mesures plus approfondies, le laboratoire doit s'enrichir de deux nouveaux appareils, d'ailleurs difficilement utilisables l'un sans l'autre : un générateur basse fréquence, et un oscilloscope. Notre présente étude est consacrée aux générateurs. Les premiers générateurs BF appartenaient tous à la catégorie des

oscillateurs à pont de Wien. Ce type de matériel existe encore aujourd'hui, et permet, notamment, d'élaborer des sinusoïdes à faible ou très faible taux de distorsion. Mais il est de plus en plus concurrencé par les générateurs de fonctions. Ceux-ci, en effet, délivrent aussi des signaux triangulaires, dont nous verrons les nombreuses applications. De plus, eux seuls peuvent

accéder aux très basses fréquences (le 1/100 ou le 1/1 000 de hertz, parfois mieux encore), et atteindre en même temps des fréquences de plusieurs mégahertz.

Quel que soit le matériel à sa disposition, un technicien n'en exploitera toutes les possibilités que s'il connaît bien son appareil : nous analyserons donc, comme nous l'avions fait pour les multimètres, la

signification précise, et les conséquences, des diverses caractéristiques. Enfin, l'aspect pratique restant évidemment l'essentiel, nous multiplierons les exemples d'applications, dans différents domaines.

OSCILLATEURS A PONT DE WIEN, ET GÉNÉRATEURS DE FONCTIONS

Dans leur principe, tous les oscillateurs à pont de Wien fonctionnent conformément aux indications du synoptique de la **figure 1**. Dans ce schéma, l'amplificateur A est supposé ne présenter aucun déphasage, dans la plage des fréquences de travail, entre son entrée non inverseuse (entrée « + »), et sa sortie. Par contre, entre l'entrée inverseuse (entrée « - ») et la sortie, le déphasage reste constamment de 180° .

Dans ces conditions, le diviseur constitué des deux résistances R et des deux condensateurs C introduit une réaction positive lorsque lui-même ne déphase pas les signaux (ou les déphase de 360° , ce qui revient au même). On démontre par le calcul, et on vérifie expérimentalement, que ceci se produit pour une fréquence et une seule, donnée par la relation :

$$f_0 = \frac{1}{2\pi RC}$$

Le système ne peut donc osciller qu'à la fréquence f_0 .

Or, on démontre que l'atténuation introduite par le réseau RC atteint alors 3. L'oscillateur se situera à la limite d'accrochage, et délivrera une tension de sortie v_s parfaitement sinusoïdale, si l'amplificateur A offre un gain exactement égal à 3. Mais il est bien évident que, en pratique, cette condition ne peut s'obtenir par construction, ni surtout se conserver dans le temps, en raison des diverses dérives du montage.

On pallie ce défaut par l'introduction d'une contre-réaction variable, à l'aide du diviseur résistif R_1, R_2 ; il s'agit bien d'une réaction négative, puisque v_{e2} est en phase avec v_s , et appliqué sur l'entrée inverseuse. Toute l'astuce consiste à choisir soit R_1 (thermistance dont la résistance diminue quand sa température augmente), soit R_2 (filament métallique dont, au contraire,

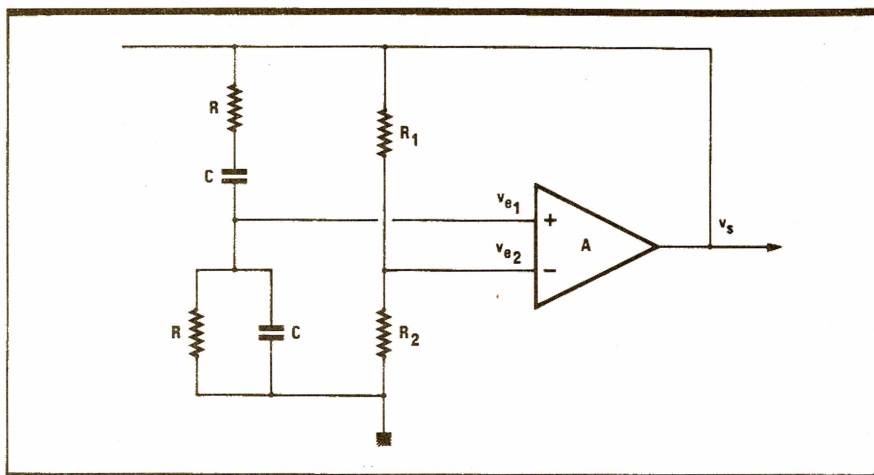
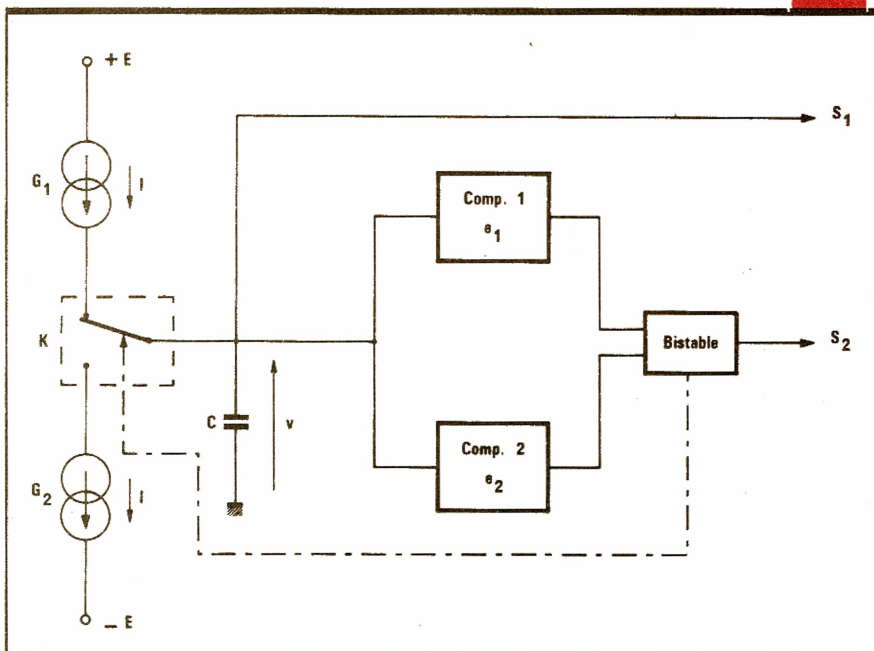


Fig. 1 Rappels sur le pont de Wien.

Synoptique générateur de fonctions.

Fig. 2



la résistance augmente avec la température), pour que les variations du taux de contre-réaction compensent au mieux celles du gain de l'amplificateur. Avec une réalisation sophistiquée et soignée, donc coûteuse, on peut atteindre des taux de distorsion harmonique inférieurs à 0,1 %. Mais précisons tout de suite que ce n'est pas le cas des matériels accessibles à l'amateur, pour lesquels 1 % est déjà une bonne performance.

Par essence, un oscillateur à pont de Wien n'élabore que des sinusoïdes. On peut cependant construire facilement des créneaux, en le faisant suivre d'un circuit du type « trigger de Schmitt ». Ce sont les deux formes de signaux que délivrent habituellement les générateurs de cette catégorie.

Les générateurs de fonctions travaillent selon un principe totalement différent, dont la **figure 2** fournit un exemple. Deux générateurs de courant G_1 et G_2 délivrent des intensités I égales et, par l'intermédiaire de l'inverseur K (il s'agit évidemment d'un commutateur purement électronique), peuvent être alternativement reliés au condensateur C. Lorsque G_1 alimente C, la différence de potentiel v croît linéairement aux bornes de ce dernier. Elle décroît, avec la même pente en valeur absolue, lorsque G_2 est connecté sur C. Deux comparateurs, de seuils respectifs e_1 et e_2 ($e_1 > e_2$) reçoivent la tension v . Ils délivrent, sur leurs sorties, des impulsions chaque fois que v atteint e_1 en croissant, ou e_2 en décroissant. Ces impulsions font basculer un

bistable, dont la sortie, en passant alternativement de l'état haut à l'état bas, commande les inversions du commutateur K. Finalement, on dispose ainsi, sur les bornes S_1 et S_2 , des deux formes de signaux illustrés par la figure 3.

En sélectionnant différentes valeurs de C, on dispose de plusieurs gammes de fréquence. A l'intérieur de chaque gamme, les variations continues de la fréquence s'obtiennent en jouant sur l'intensité I des générateurs G_1 et G_2 . Ceci peut d'ailleurs s'effectuer à l'aide d'une tension, éventuellement variable dans le temps : on accède ainsi à la vobulation, dont nous verrons l'intérêt.

Un générateur de fonctions, d'après ce que nous venons d'expliquer, ne peut produire directement des sinusoïdes : celles-ci sont élaborées, selon des techniques plus ou moins complexes, et que la place nous manque pour analyser ici, par mise en forme des triangles. Dans les réalisations les plus rudimentaires, cette mise en forme reste approchée, et il en résulte un taux de distorsion non négligeable, surtout pour les fréquences les plus basses ou les plus élevées. D'excellents résultats sont cependant possibles, et nombre d'appareils descendent au-dessous de 0,5 %.

Que pouvons-nous conclure, pratiquement, de ces premières observations ? Si les oscillateurs à pont de Wien de haut de gamme restent susceptibles d'intéresser certains professionnels de la HiFi, ils ne présentent guère d'intérêt pour les applications générales, donc pour l'amateur. Celui-ci préférera les générateurs de fonctions. Le problème qui se pose est alors de bien les choisir, ce qui nous amène à examiner les caractéristiques de ces matériels.

CARACTERISTIQUES D'UN GENERATEUR DE FONCTIONS

Elles sont nombreuses, et portent sur des aspects aussi variés que la plage des fréquences couvertes, les niveaux (amplitudes) et l'impédance de sortie, les formes d'ondes délivrées et leurs caractéristiques particulières, d'éventuelles commandes d'offset, les possibilités de vobulation, etc. Essayons ici de les

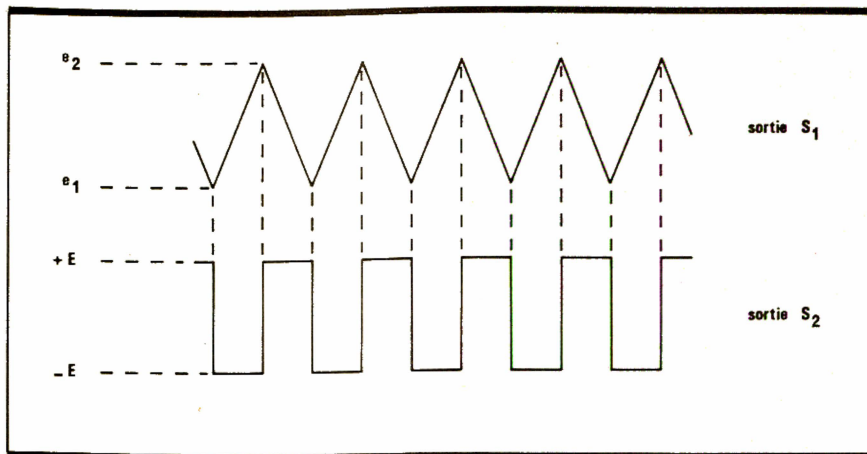


Fig. 3 Oscillogrammes des sorties S_1 et S_2 .

classer, en cernant les besoins réels, et en éliminant les perfectionnements moins utiles, et coûteux.

La plage des fréquences

Au sens propre du terme, on appelait autrefois « basses fréquences » celles que perçoit une oreille humaine en bon état, c'est-à-dire sensiblement de 20 Hz à 20 kHz. Les progrès des matériels de sonorisation, et des études plus approfondies sur la reproduction des sons, ont montré qu'une restitution fidèle de la musique exigeait la transmission des fréquences de 20 Hz à 100 kHz environ. C'est donc le minimum qu'on exigera d'un généra-

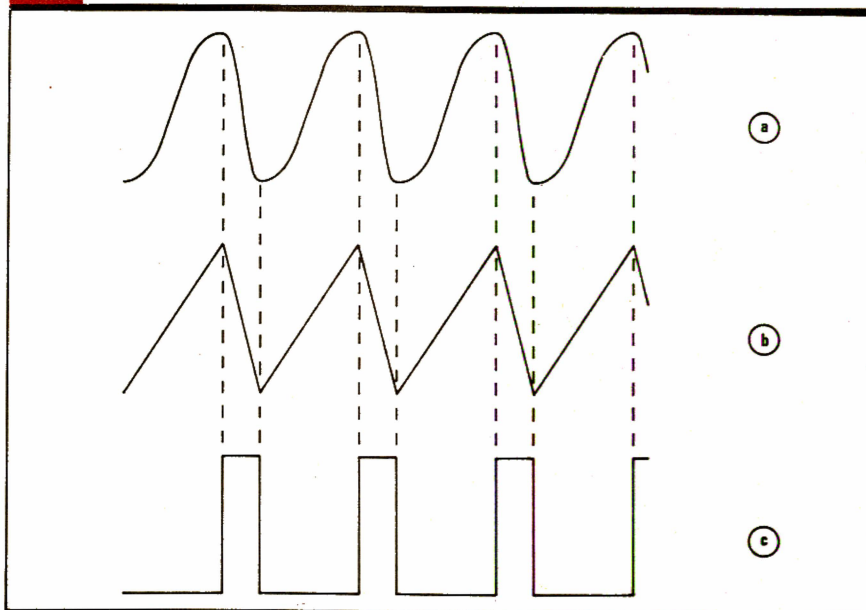
teur destiné essentiellement aux applications audio.

En fait, l'électronique moderne ne se limite plus, tant s'en faut, aux techniques de reproduction sonore, et on peut estimer, si les considérations financières ne priment pas impérieusement les autres, qu'il est utile de descendre au hertz, et de monter à quelques centaines de kilohertz (200 à 500). Au-delà, on atteint le domaine des applications professionnelles, et le coût des appareils augmente très vite.

Les formes d'ondes

Tous les générateurs de fonctions délivrent des sinusoïdes, des triangles, et des rectangles. Dans certains d'entre eux, la symétrie est variable. De peu d'intérêt pour les sinusoïdes, ce réglage permet de transformer les triangles en dents de scie, et les créneaux en impulsions à rapport cyclique variable,

Fig. 4 Diverses formes d'onde.



comme le montrent les **figures 4a, 4b et 4c**. Il ne s'agit toutefois là que d'un perfectionnement relativement accessoire, et qui n'interviendra guère au moment du choix.

Caractéristiques des sinusoïdes

La principale concerne le taux de distorsion. Celui-ci varie généralement avec les gammes de fréquences, et atteint son minimum vers le milieu de la plage totale couverte par le générateur. On éliminera tous les appareils qui, entre 20 Hz et 100 kHz, ne garantissent pas un taux de distorsion inférieur ou égal à 1 %.

Caractéristiques des triangles

L'important, ici, est la linéarité. Idéalement, les rampes montantes et descendantes devraient être des segments de droite parfaits. En pratique (**fig. 5**), on observe toujours un

Sur la sortie à amplitude réglable, le temps de montée est, maintenant, généralement égal ou inférieur à 50 ns (1 ns = 1 nanoseconde = 10^{-9} s). On éliminera certains appareils de très bas de gamme, qui offrent des temps de montée de 100 ns ou plus, interdisant la plupart des mesures habituellement faites sur ce type de signaux.

Beaucoup de générateurs de fonctions sont équipés d'une sortie TTL : les créniaux y évoluent entre 0 et 5 volts, et les temps de transition sont ceux des portes logiques TTL, soit 15 à 25 ns. Même si la logique TTL apparaît maintenant comme en voie de disparition, une telle sortie est très utile, comme nous le verrons lors de l'étude des applications.

Une deuxième caractéristique des créniaux réside dans le phénomène de dépassement (**fig. 7**), que les anglo-saxons appellent « over-

shoot ». Le dépassement s'exprime en % de la différence de niveau entre les paliers hauts et bas. Il ne doit pas excéder 5 %.

Amplitude et impédance de sortie

Il est impossible de dissocier ces deux notions, comme l'explique la **figure 8**. Tout générateur, qu'il délivre des tensions continues (alimentations) ou variables dans le temps (cas qui nous préoccupe ici), peut être considéré comme résultant de la mise en série d'une force électromotrice e , et d'une résistance interne R_i : c'est le classique théorème de Thévenin.

Faisons alors débiter cet ensemble sur une charge externe, de résistance R . La tension v disponible aux bornes de la charge se calcule

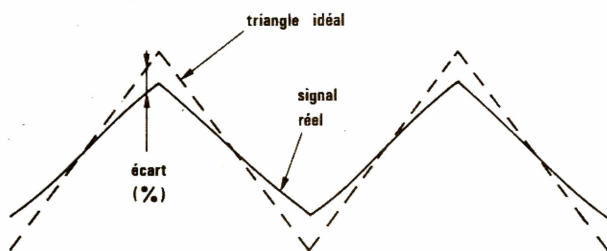


Fig. 5 Illustration de la linéarité.

certain écart à cette linéarité, qui s'exprime en % de l'amplitude crête à crête. On veillera à ce que cet écart n'excède pas 1 %, au moins jusqu'à des fréquences voisines de 100 kHz.

Caractéristiques des créniaux

Les créniaux réels diffèrent des créniaux parfaits sur deux points. D'abord, les transitions entre les niveaux bas et les niveaux hauts ne s'effectuent pas instantanément. On est conduit à définir un temps de montée (ou un temps de descente), dont la **figure 6** montre la signification : c'est le temps qu'il faut au signal pour passer de 10 % à 90 % de la hauteur qui sépare les deux paliers.

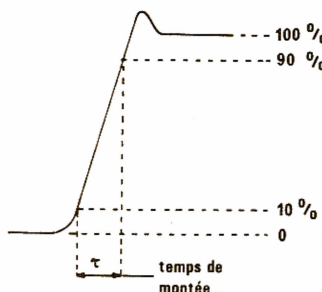


Fig. 6 et 7 Temps de montée, créniaux.

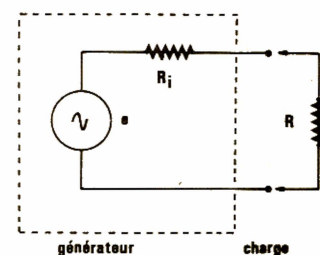


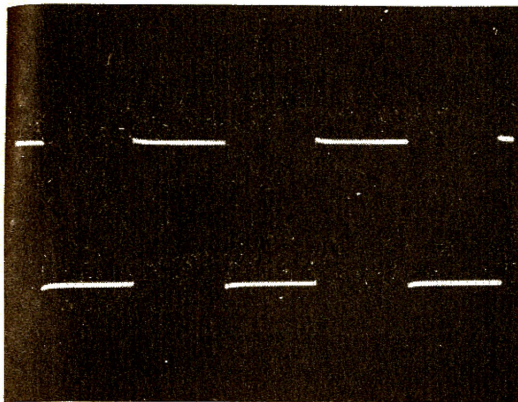
Fig. 8 Tout générateur délivre une tension continue.

facilement à partir de la loi d'Ohm. On trouve :

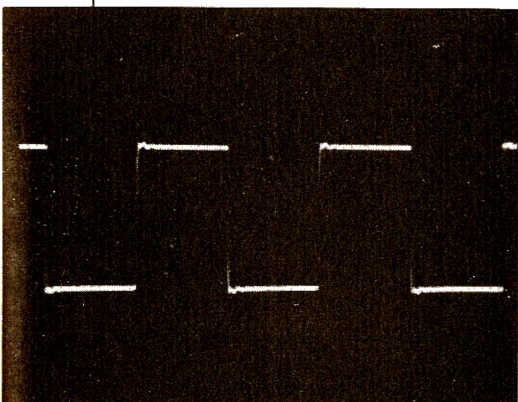
$$v = \frac{R}{R + R_i} e$$

ce qui montre que v est toujours inférieure à e .

Dans leurs spécifications, les constructeurs donnent toujours l'amplitude maximale (l'amplitude dépend évidemment du réglage des atténuateurs) à vide, qui atteint généralement 10 ou 20 volts crête à crête, et l'impédance de sortie. Autrefois, celle-ci était souvent normalisée à 600 Ω . De plus en plus, on adopte la valeur 50 Ω , pour différentes raisons. D'abord, elle permet l'adaptation d'impédance avec les câbles coaxiaux souvent utilisés pour les raccordements : ceci évite les réflexions parasites, donc le ris-



A

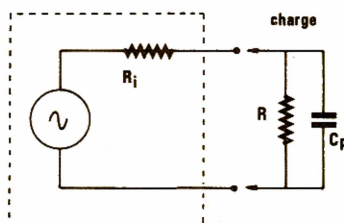


B

que de déformation des signaux. On peut le constater sur les **oscillogrammes A et B**, le premier étant pris avec adaptation, ce qui n'est pas le cas du deuxième.

Une deuxième raison tient dans la réduction de l'influence des capacités parasites. Supposons en effet que la charge ne se réduise pas à une simple résistance, comme dans la figure 8, mais qu'elle comporte une capacité parasite C_p , ainsi que le montre la **figure 9**. L'ensemble R_i , C_p constitue un circuit intégral-

Fig. 9 Réduction de l'influence des capacités parasites.



teur, donc un filtre passe-bas, et les fréquences élevées y sont atténuées. Ceci n'est guère gênant pour les sinusoïdes, dont seule varie l'amplitude. Par contre, les autres signaux (triangles, crêteaux) se trouvent déformés : rampes transformées en exponentielles (**fig. 10a**) et temps de montée des crêteaux allongés (**fig. 10b**). Cet effet est d'autant plus sensible, pour une valeur donnée de C_p , que R_i est plus grande.

UTILISATION DES SIGNAUX SINUSOÏDAUX

Les signaux sinusoïdaux trouvent une première application dans les mesures de distorsion harmonique. Toutefois, cela exige des générateurs de très haute qualité, associés à des distorsiomètres, et sort nettement du cadre de l'amateurisme.

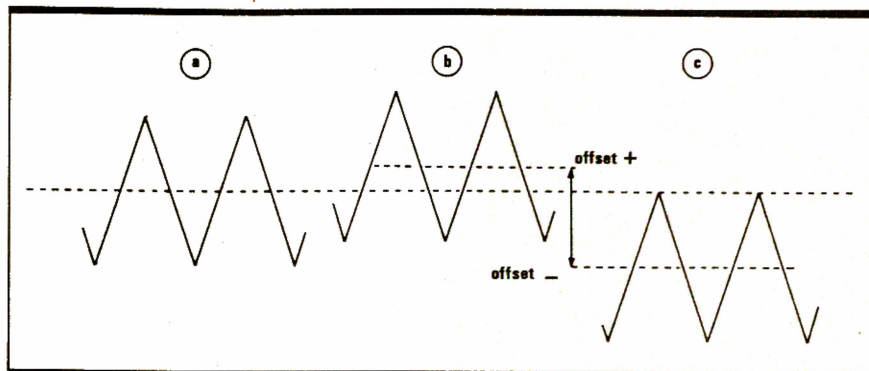


Fig. 11 La commande d'offset.

Commande d'offset

En utilisation normale, les signaux de sortie d'un générateur de fonctions se présentent symétriquement par rapport à la masse (c'est-à-dire par rapport au potentiel zéro), comme à la **figure 11a**. Certains montages ne supportent pas, sur leur entrée, cette double polarité : c'est le cas, par exemple, des circuits logiques TTL ou C-MOS. La commande d'offset (en français, on dira « commande de décalage ») permet d'ajouter, au signal de la figure 11a, une tension continue réglable, comme le montrent les figures 11b et 11c.

La vobulation

Certains générateurs de fonctions sont vobulables, c'est-à-dire modulables en fréquence. Ce problème mérite un développement spécial, et nous y reviendrons ultérieurement.

Nous n'en parlerons donc pas ici.

Les autres applications, nettement plus accessibles, concernent les mesures de gain, de bande passante et de déphasage.

Les mesures de gain

Rappelons que le gain A d'un amplificateur est, par définition, le rapport de la tension v_s qu'il délivre en sortie, à la tension v_e qu'on applique sur son entrée :

$$A = \frac{v_s}{v_e}$$

Sa mesure, à l'aide d'un générateur sinusoïdal et d'un oscilloscope bicourbe, s'effectue très simplement à l'aide du montage de la **figure 12**.

Sur l'entrée E de l'amplificateur, on branche la sortie du générateur. Le signal d'entrée, v_e , est appliqué sur l'un des canaux verticaux de l'oscilloscope, Y_A par exemple. On examine, sur le deuxième canal Y_B , le signal de sortie v_s . Il faudra, à l'aide des atténuateurs du générateur, régler l'amplitude de v_e de telle façon que celle de v_s reste dans les limites acceptables par l'amplificateur, et qu'il n'apparaisse aucune trace d'écrtage. La base de temps de l'oscilloscope est ajustée de façon à

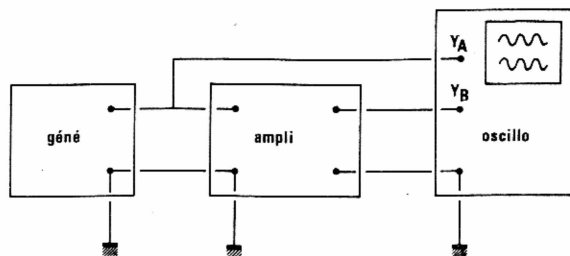


Fig. 12 Principe de mesure du gain.

faire apparaître deux ou trois périodes du signal. En mesurant, sur l'écran, les hauteurs des traces Y_A et Y_B , et en tenant compte de la position des atténuateurs d'entrée de chaque canal (V/cm), on détermine facilement v_e et v_s , donc A . Lorsqu'on ne dispose que d'un oscilloscope monocourbe, il suffit de mesurer successivement v_e , puis v_s , pour parvenir au même résultat.

Mesures de bande passante

Les amplificateurs **apériodiques** (par opposition aux amplificateurs accordés, utilisés surtout en HF), offrent un gain sensiblement constant dans une large plage de fréquences : soit A_0 le valeur de ce gain (fig. 13).

Aux fréquences élevées, en raison de la présence de capacités parasites, et des baisses de performances des composants actifs (transistors, circuits intégrés), le gain diminue. Il en va de même aux fréquences basses, pour les amplificateurs qui comportent des condensateurs de liaison, et ne transmettent pas la composante continue. On appelle fréquence de coupure à -3 dB les fréquences F_1 et F_2 pour lesquelles le gain prend la valeur :

$$A = A_0 / \sqrt{2} \approx 0,7 A_0$$

Les fréquences F_1 et F_2 se déterminent de la façon suivante : on place d'abord le générateur sur une fréquence moyenne F , située vers le milieu de la bande passante, et on règle la hauteur du signal de sortie sur une valeur « ronde », par exemple 4 divisions sur l'écran de l'oscilloscope. Ensuite, on diminue progressivement la fréquence, **sans modifier l'amplitude d'entrée**, jusqu'à ce que cette hauteur devienne :

$$h = 4 \times 0,7 = 2,8 \text{ divisions}$$

On a ainsi trouvé F_1 . Pour F_2 , le procédé est le même, mais avec des fréquences croissantes. Bien entendu, il faut, au fur et à mesure, réajuster la vitesse de balayage, pour conserver une image lisible.

Mesures de déphasages

La plupart des circuits, amplificateurs ou quadripôles passifs, lorsqu'ils sont attaqués par un signal sinusoïdal (et délivrent donc également une sinusoïde en sortie), introduisent un déphasage entre la tension d'entrée et la tension de sortie. Rappelons que ce déphasage, grandeur angulaire exprimée soit en degrés, soit en radians, ne peut se définir que pour deux oscillations de même fréquence. Sa définition suppose qu'on revienne à la construction d'une sinusoïde, sur le cercle trigonométrique (fig. 14), de centre O et de rayon égal à l'unité de longueur. Sur ce cercle, on choisit, comme origine de mesure des

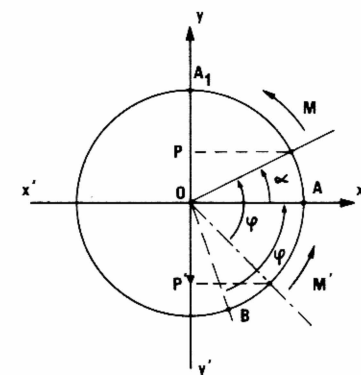
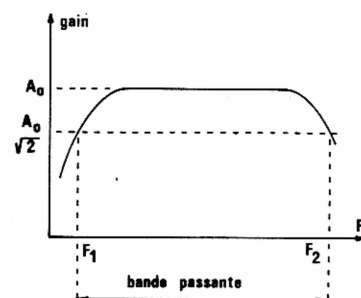
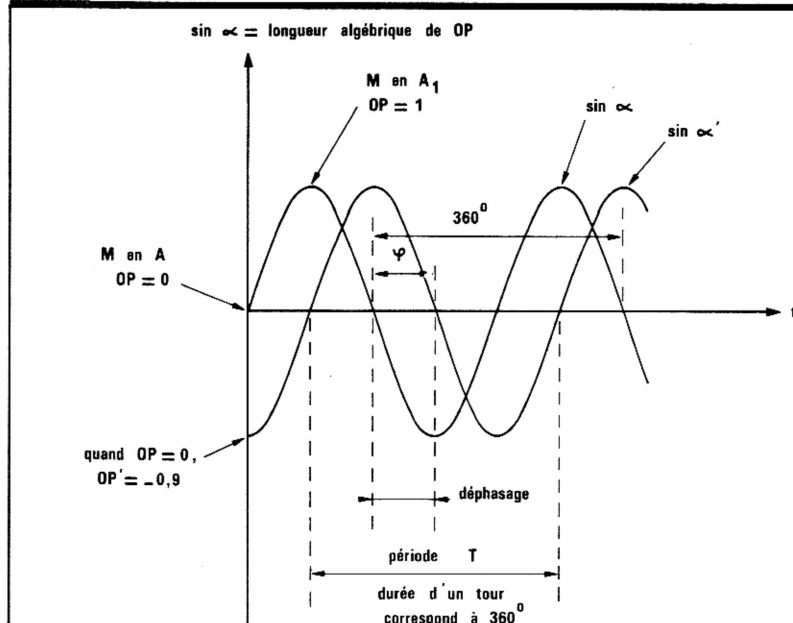


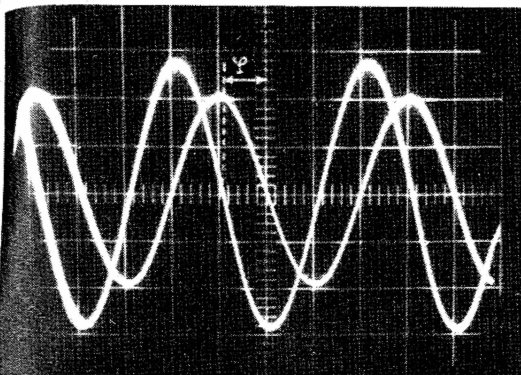
Fig. 13 Mesures de bande passante.
Fig. 14

angles ou des arcs, le diamètre horizontal $x'x$. Un point M tourne à vitesse constante dans le sens positif, c'est-à-dire dans le sens des aiguilles d'une montre. A l'instant origine, il se trouve en A . A l'instant t , le rayon OM fait, avec OA , un angle :

$$\alpha = \omega t$$

Fig. 15 Retard de phase φ .





si ω désigne la vitesse angulaire de rotation. Par définition, le sinus de l'angle α noté $\sin \alpha$, est la mesure algébrique, sur l'axe $y'y$, du vecteur OP , où P est la projection de M sur cet axe. OP , c'est-à-dire $\sin \alpha$, varie périodiquement avec le temps t , la période étant égale à la durée d'un tour.

Supposons maintenant qu'un deuxième point M' décrive le cercle, dans le même sens et à la même vitesse que M , mais avec un retard angulaire φ . La projection P' de M' décrit aussi une sinusoïde, qui présente, par rapport à la première, un **retard de phase** φ .

La **figure 15** montre ces deux sinusoïdes, représentées en fonction du temps t : on y a montré la période (correspondant à un angle de 360° , soit un tour complet), et le déphasage φ .

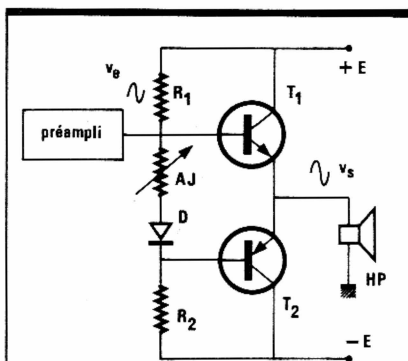
La méthode de mesure des déphasages découle directement des indications de la figure 15. On attaque le quadripôle étudié par le générateur BF réglé sur la fréquence souhaitée et on observe simultanément ses tensions d'entrée et de sortie sur un oscilloscope bicourbe : le montage est donc le même qu'à la figure 12, et l'**oscillogramme C** montre les courbes observées. On s'arrange pour qu'une période complète, correspondant à une rotation de phase de 360° , occupe un nombre « rond » de carreaux, 4 dans l'exemple de l'oscillogramme C. Chaque carreau correspond ainsi à un déphasage de 90° . Comme les deux traces de l'oscillogramme sont séparées de 0,9 division, le déphasage mesuré vaut 81° .

L'ESSAI ET LA MISE AU POINT DES AMPLIFICATEURS

Si nous réservons ici un paragraphe spécial au test des amplificateurs BF de puissance, c'est que leur conception, ainsi que les conditions assez particulières dans lesquelles ils travaillent, exigent, en plus des traditionnelles mesures de gain, de bande passante et de déphasage, quelques essais plus particuliers.

La distorsion de raccordement

A quelques rares exceptions près, tous les amplificateurs actuels, qu'ils relèvent de la qualification HiFi ou qu'ils soient destinés à la sonorisation, travaillent en classe B, ou à la limite en classe AB. Cette méthode de polarisation des étages finaux permet d'accéder à de bons rendements (78 % en théorie, de 60 à 65 % en pratique), mais ne donne de bons résultats qu'au prix d'un réglage assez soigné, pour lequel un générateur et un oscilloscope sont pratiquement indispensables.



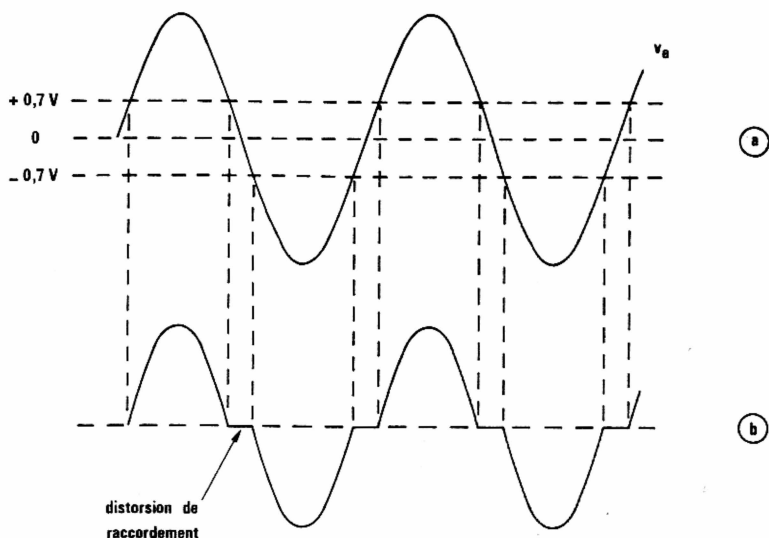
Rappelons d'abord le fonctionnement d'un étage en classe B, en nous référant au schéma, très simplifié, de la **figure 16** : il s'agit d'un push-pull dit « complémentaire », car les deux transistors de sortie, T_1 et T_2 , y sont de types opposés. T_1 est un NPN, et T_2 un PNP. Nous supposons l'ensemble alimenté sous deux tensions symétriques $+E$ et $-E$, ce qui supprime la nécessité d'un condensateur de liaison vers le haut-parleur.

La sortie s'effectuant sur les émetteurs, T_1 et T_2 n'introduisent aucun gain en tension. Par contre, ils fournissent un gain en courant, donc en puissance. Dans ces conditions, la tension d'entrée v_e , délivrée par les étages préamplificateurs, a la même amplitude que la tension de sortie v_s . Examinons alors ce qui se passe, en négligeant d'abord la présence de la résistance ajustable AJ et de la diode D (nous supposons cet ensemble remplacé par un court-circuit). Lors des alternances positives de v_e (**fig. 17**), T_2 se bloque, sa base devenant plus positive que son émetteur. Par contre, T_1 conduit, à condition que la différence de potentiel base-émetteur atteigne au moins 0,7 V. Le même phénomène se produit, avec la polarité inverse, pour les alternances négatives de v_e : T_2 conduit (à partir de $-0,7$ V), alors que T_1 se bloque.

Fig. 16 Fonctionnement d'un étage classe « B ».

Exemple distorsion de raccordement.

Fig. 17



(Suite page 131)

DEPANNNEZ VOUS ~ MEMES

Un de vos amis a entrepris ce montage. Hélas, il ne fonctionne pas correctement. Il s'adresse alors à vous pour le sortir d'embarras. Pour vous aider, il vous fait part des mesures électriques qu'il a effectuées et de ses constatations.

Nanti de ces renseignements, il vous sera facile de déterminer quel est, à coup sûr, le seul composant en cause de son montage. Vous pourrez alors contrôler vos connaissances en électronique et les parfaire, si besoin est, en répondant aux quelques questions que nous vous avons préparées.

1° Quel est le composant défectueux ? Pourquoi ?

2° Rôle du 4050 ?

3° Rôle de C_2 ?

4° Rôle des diodes D_1 à D_{12} ?

5° La fréquence de sortie du 555 est élevée. Comment vérifier, rapidement et sans appareil de mesure, que ce circuit intégré fonctionne bien ?

Une nouvelle fois, vous allez pouvoir tester vos capacités de dépannage. Nous vous proposons ce mois un petit dé électronique comparable à celui utilisé pour le 421. Le schéma de principe que nous vous livrons est correct.

6° Pourquoi mesure-t-on 4,5 V sur la sortie 3 du 555 ?

Vous pourrez alors entreprendre la réalisation de ce montage avec le schéma de principe. Nous sommes sûr que votre dé électronique fonctionnera aussitôt.

SOLUTION

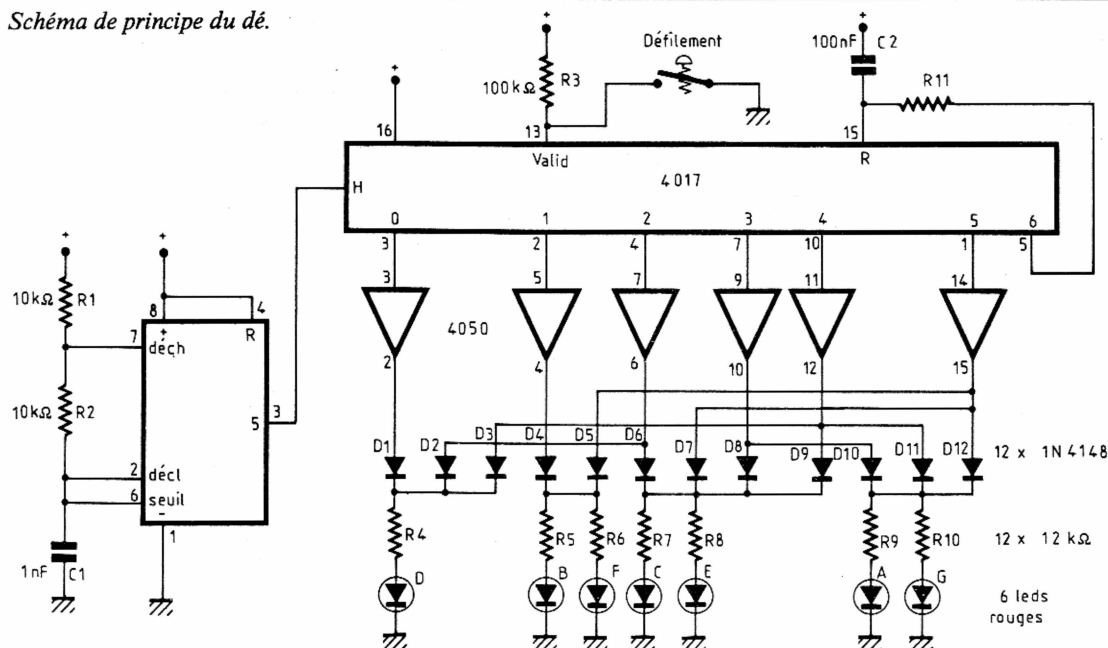
1° La diode D_3 est coupée car on mesure dans un cas 9 V sur son anode alors que la tension en anode de la LED D est égale à 0 V. R_4 ne peut être en cause, car l'allumage de D reste correct par ailleurs.

2° Les sorties « normales » des C.I. MOS ne peuvent dépasser environ 1 mA. Afin de pouvoir alimenter jusqu'à 6 LED, il est indispensable d'employer un circuit de puissance dit « buffer » : le 4050.

3° C_2 assure la remise à zéro du compteur 4017 à la mise sous tension. En cas contraire, le 4017 pourrait occuper des positions non prévues : 7, 8, ou 9, et nous aurions l'extinction du dé.

4° Les diodes D_1 à D_{12} réalisent des « sens interdits », évitant ainsi de réalimenter entre elles plusieurs diodes et donner des aberrations d'affichage.

Fig. 1 Schéma de principe du dé.



CHOIX ET UTILISATION DES GENERATEURS BF

(Suite de la page 129)

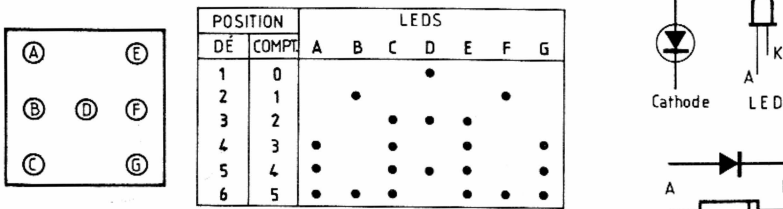
Aux bornes du haut-parleur, on dispose finalement du signal de la figure 17b, caractérisé par une distorsion de raccordement. Celle-ci est d'autant plus sensible – et horriblement désagréable à l'oreille ! – que l'amplitude d'attaque est moins grande, c'est-à-dire lors des écoutes à bas niveau.

C'est pour compenser ce phénomène qu'on introduit les composants D₁ et A_J. Polarisé par R₁ et R₂, D₁ ajoute, entre les bases de T₁ et T₂, une différence de potentiel voisine de 0,7 V. Avec A_J, on porte cette valeur à la limite juste suffisante pour que T₁ conduise un peu avant que T₂ se bloque, et inversement. Le problème consiste donc à régler A_J pour atteindre ce résultat, mais sans créer un courant de repos qui, en l'absence de v_e, ferait inutilement chauffer l'étage de sortie et diminuerait le rendement.

Pour y parvenir, on branche un générateur BF à l'entrée de l'amplificateur, avec des signaux sinusoïdaux tels que la tension de sortie (oscilloscope branché aux bornes du haut-parleur, ou d'une résistance de puissance équivalente) se situe au voisinage de 2 V crête à crête. La fréquence sera réglée dans la zone la plus sensible de l'oreille, c'est-à-dire entre 1 et 3 kHz environ. On agit alors sur la résistance ajustable, jusqu'à faire disparaître (ne pas dépasser cette limite) toute trace de distorsion de raccordement.

La puissance maximale

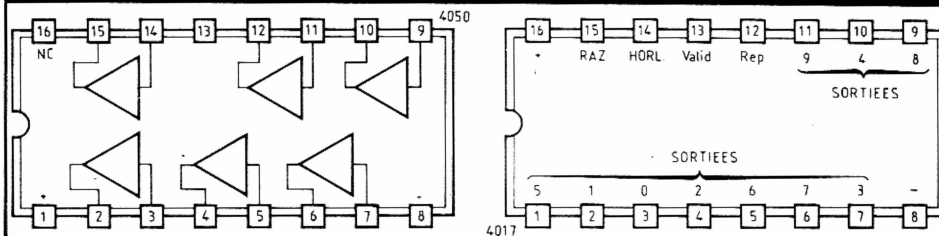
Electronique Pratique étant une revue sérieuse (ce qui ne signifie pas triste), nous n'y parlerons ni de watts « américains » (les plus fantaisistes), ni même des watts musicaux, encore que ces derniers puissent se définir scientifiquement. Il s'agira donc de watts efficaces. Cette mesure peut s'effectuer à l'aide de signaux sinusoïdaux. Toutefois, elle est plus précise avec des triangles, et nous y reviendrons dans le paragraphe correspondant.



5° Il suffit de placer en parallèle sur C₁ un condensateur d'une capacité plus forte afin de diminuer considérablement la fréquence du 555 et vérifier visuellement et lentement le défilement des LED.

6° La fréquence du 555 étant importante, l'aiguille du voltmètre ne peut osciller. Elle occupe donc une position moyenne, ici de 4,5 V.

Constatations effectuées : impossibilité d'obtenir le chiffre 5.



Différents affichages constatés	D	BF	CDE	ACEG	ACEG	ABCEFG
Points de mesures						
4017 b ₃ et 4050 b ₃	9 V					
4017 b ₂ et 4050 b ₅		9 V				
4017 b ₄ et 4050 b ₇			9 V			
4017 b ₇ et 4050 b ₉				9 V		
4017 b ₁₀ et 4050 b ₁₁					9 V	
4017 b ₁ et 4050 b ₁₄						9 V
4017 b ₅ et b ₁₅						
Anode D ₁	9 V					
D ₂			9 V			
D ₃					9 V	
D ₄		9 V				9 V
D ₅			9 V			9 V
D ₆				9 V		
D ₇				9 V		
D ₈					9 V	
D ₉				9 V		
D ₁₀				9 V		
D ₁₁					9 V	
D ₁₂						9 V
Anode LED D	1,5 V		1,5 V			
B		1,5 V				1,5 V
F		1,5 V				1,5 V
C			1,5 V	1,5 V	1,5 V	1,5 V
E			1,5 V	1,5 V	1,5 V	1,5 V
A				1,5 V	1,5 V	1,5 V
G				1,5 V	1,5 V	1,5 V
555 b ₃	4,5 V	4,5 V	4,5 V	4,5 V	4,5 V	4,5 V
Mesures non notées = 0 V						

D. ROVERCH

R. RATEAU

La page du courrier

Le service du Courrier des Lecteurs d'Electronique Pratique est ouvert à tous et est entièrement gratuit. Les questions d'« intérêt commun » feront l'objet d'une réponse par l'intermédiaire de la revue. Il sera répondu aux autres questions par des réponses directes et personnelles dans les limites du temps qui nous est imparti.

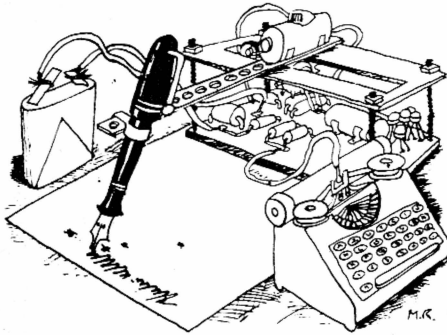
COLLABORATION DES LECTEURS

Tous les lecteurs ont la possibilité de collaborer à « Electronique Pratique ». Il suffit pour cela de nous faire parvenir la description technique et surtout pratique d'un montage personnel ou bien de nous communiquer les résultats de l'amélioration que vous avez apportée à un montage déjà publié par nos soins (fournir schéma de principe et réalisation pratique dessinés au crayon à main levée). Les articles publiés seront rétribués au tarif en vigueur de la revue.

PETITES ANNONCES

30 F la ligne de 33 lettres, signes ou espaces, taxes comprises.
Supplément de 30 F pour domiciliation à la Revue.

Toutes les annonces doivent parvenir avant le 5 de chaque mois
à la Sté AUXILIAIRE DE PUBLICITÉ (Sce EL Pratique), 70, rue Compans, 75019 Paris
C.C.P. Paris 3793-60. Prière de joindre le montant en chèque C.P. ou mandat poste.



RECTIFICATIFS

ANTI-RONFLEUR N° 92, Nouvelle Série, p. 91

Certains amateurs n'ont trouvé de disponible que des micros « Electret » à deux électrodes. Notre réalisation faisait appel à un modèle à trois fils. La modification consiste à relier le - du micro à la masse et le + à la jonction C_4/C_5 en prenant soin de disposer une résistance de 10 k Ω entre ce dernier point et le +. Par ailleurs, il est mentionné dans le texte « pont de Wheatstone » pour « pont de diodes ».

ALARME ATTACHE-CASE N° 90, Nouvelle Série, p. 110

Sur le schéma de principe, la résistance reliée au + V_{CC} repérée R_2 est en fait R_1 . Le condensateur C_2 est C_1 . Au niveau de la figure 3, C_3 se trouve relié au HP, alors qu'il s'agit de C_5 .

TUBES RADIO
Liste sur demande
SLORA - BP 91 - 57602 FORBACH

Réalisons vos C.I. (étamés, percés) sur V.E. :
30 F/Dm2 en S.F., 40 F/Dm2 en D.F., à partir de
calques, schémas de revues, autres nous
consulter. (Chèque à la commande + 12 F de
frais de port). - IMPRELEC, Le Villard 74550
PERRIGNIER. - Tél. 50.72.46.26.

Vends alimentation stabilisée, de 0 à 30 V/10 A, à
affichage digital. Matériel neuf, jamais servi.
1 500 F - TEL. 63.35.18.58 (H.R.).

APRES INVENTAIRE, SURPLUS DE STOCK
COMPOSANTS NEUFS. VENTE PAR PETITS
LOTS AVEC REMISE IMMEDIATE JUSQU'A
50 %. EXPEDITION SOUS 24 H DANS LA LI-
MITE DES STOCKS. LISTE COMPLETE
CONTRE 5 TIMBRES. SIGMA, 18, RUE MONT-
JUZET, 63100 CLERMONT-FERRAND.

Composition
Photocomposition :
ALGAPRINT, 75020 PARIS
Distribution :
S.A.E.M. TRANSPORTS PRESSE
Le Directeur de la publication :
A. LAMER

Dépôt légal :
JUIN 1986 N° 946

Copyright © 1986
Société des PUBLICATIONS
RADIOELECTRIQUES et SCIENTIFIQUES



La reproduction et l'utilisation même partielles de tout article (communi-
cations techniques ou documentation) extrait de la revue « Electronique
Pratique » sont rigoureusement interdites ainsi que tout procédé de repro-
duction mécanique, graphique, chimique, optique, photographique, ciné-
matographique ou électronique, photostat tirage, photographie, microfilm,
etc.

Toute demande à autorisation pour reproduction quel que soit le procédé, doit être
adressée à la Société des Publications Radio Electriques et Scientifiques.

NOUS REALISONS VOS C.I. EN 48 H A PARTIR
DE CALQUES, SCHEMAS DE REVUE.
Ecrire A.E.L.C., BP 86, 62217 BEAURAINS-
ARRAS. TEL. 21.55.34.54.

BREVETEZ VOUS-MEME VOS INVENTIONS

Grâce à notre Guide complet vos idées nouvelles
peuvent vous rapporter gros mais pour cela il faut
les breveter.
Demandez la notice 78 « Comment faire breveter
ses inventions » contre 2 Timbres à ROPA,
BP 41, 62101 CALAIS.

VENDS BECKMAN 3020B, 900 F.
TEL. 64.33.77.72.

Vends par collection complète, de 1/1975 à
3/1986 :
— 149 volumes « Le Haut-Parleur »,
— 132 volumes « Radio Plans »,
— 128 volumes « Electronique Pratique »,
— 49 volumes « Elektor »,
— 57 volumes « Led Micro ».
Par collection : 5,00 F le volume.
M. LECLERCQ Jean-Michel, 134, rue des Peu-
pliers, 59274 MARQUILLIES - Tél. 20.29.15.02,
entre 12 h 30 et 13 h 30.

Répertoire des annonceurs

Abonnement	36	JELT	32
ACER ... II ^e couv. - III ^e couv. - 3-4-5-134		KN ELECTRONIQUE	133
AG ELETRONIQUE	34	LDTM	33
ALBION	16	LEXTRONIC	10
ALPAX	32	MABEL	80
BRAY FRANCE	37	MANUFACTURE ET TESTS	
CENTRAD (ELC)	13	DE COMPOSANTS	23-34-79-133
CENTRE ETUDES	34	MECA NORMA	11
CHOLET COMPOSANTS	34	PENTASONIC	45-46-47
CIBOT	35	PERLOR RADIO	39
C.I.F.	14-15	PHIMARAL	111
COMPTOIR DU LANGUEDOC	56-57	PROCELEC	23
COMPTOIR RADIO ELECTRIQUE	13		
CYCLADES (LES)	31	RAM	12
DECOCK	64-65	RADIO MJ	6
DINARD TECHNIQUE ELEC.	32	REALTECHNIC	14
DIXMA	15	ROCHE	18
E.C.H.G.	37	SAINT-QUENTIN RADIO	48-49
EDITIONS WEKA . 7-17 + 1 encart vo-		SELECTRONIC	90
lant		SIEBER SCIENTIFIC	133
E.L.C. (CENTRAD)	13	SLOWING	101
ELECTROME	21-27	SOLISELEC	8-9
E.T.M.S.	5	SONO	22
E.T.S.F.	32-38	STAREL	23
EURELEC	78	Sté NOUVELLE RADIO PRIM	60
EUROTECHNIQUE	44	TELE SAINT MARC	40-41-42-43
FRANCLAIR ELECTRONIQUE	88	TERAL	IV ^e couv. - 133
HIFI STEREO	20	TOUT POUR LA RADIO	23
IDCI	5-13-133	UNIECO - (encart broché) .	67-68-69-70
IPIG	19	WEKA (EDITIONS 7-17 + 1 enc. volant)	
ISKRA	14		

KN ELECTRONIQUE

100, bd Lefebvre - 75015 Paris - Tél. 48.28.06.81 - Métro : Pte de Vanves

VENTE AUX PROFESSIONNELS - DETAILS - DETAXE A L'EXPORTATION

SUPER PROMO Composants japonais

AM 6341	49,50
AM 7146 = 45	38,00
AM 7160	45,00
BA 536	39,00
HA 1199	19,00
HA 1350	65,00
HA 1378	95,00
LA 3361	20,00
LA 3365	39,00
LA 4422	24,00
LA 4440	41,00
LA 4460	40,00
LA 4461	40,00
LA 4507	48,00
M 51102	41,00
UPC 1167	49,00
UPC 1185	39,00
UPC 1263	36,00

REVENDEURS :

par quantité, nous consulter
STOCK LIMITÉ

GOLDEN TECHNICA : ANTENNES INTÉRIEURES ÉLECTRONIQUES

large bande TV - FM - CANAL PLUS
AVU 10 : gain UHF : 0-32 dB réglable
VHF 0-10 dB réglable
Prix : **295 F**
AVU 20 : modèle spécial à cou-
ple ampli (UHF et VHF) FONC-
TIONNE EN ALGÉRIE gain
UHF : 0-34 dB réglable
VHF : 20 dB
Prix : **365 F**

MESURES TORG

Tous livres avec malette au portable cordons - piles
- U 4315 : 20 000 ohms/V c.c.
précision $\pm 2,5\%$ continu
 $\pm 4\%$ alternatif

PROMO Prix : **183 F**

- U 4317 : avec disjoncteur automatique
20 000 ohms/V c.c.
précision $\pm 1,5\%$ continu
 $\pm 2,5\%$ alternatif

PROMO Prix : **280 F**

- OSCILLOSCOPE « CI 94 »
ou DC à 10 MHz livré avec 2 sondes 1/10 et 1 : 1
(documentation sur demande)

Prix : **1 450 F**



AVC 607

AMPLIFICATEUR VIDEO : permet d'enregistrer d'un magnéto-
scope vers 1 ou 2 magnétoscopes en améliorant la qualité d'enre-
gistrement et en corrigeant les fautes
POUR TOUS SYSTÈMES (NTSC PAL - SECAM)
Alim : 9 V c.c. (pile ou ext.)

Prix : **549 F**

CM 200

CAPACIMÈTRE DIGITAL 0,1 pp à 2 000 mF en 8 gammes. Pré-
cision $\pm 0,5\%$

Prix : **780 F**

PROMO

ALS 12 : alimentation 12 V - 220 V pour AVU 2
Prix : **85 F**

Catalogue 20 F (port compris)

EXPÉDITION : minimum 50 F + port - 1 kg : 25 F, + 1 kg : 33 F.

Paiement : soit CR : + 21,50 F, soit règlement mandat ou chèque : à la commande

Ouvert du mardi au samedi de 9 h 30 à 13 h et de 14 h à 19 h 30.

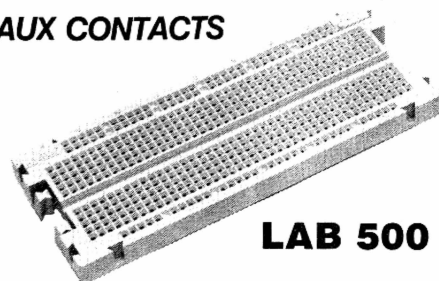
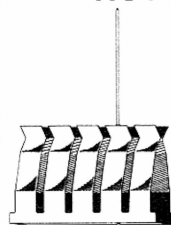
Lab BOITES DE CIRCUIT CONNEXION sans soudure



Pour : prototypes - Essais - Formation

Fabriqués en France. Enseignement. T.P. Amateurs. Pas 2,54 mm. Insertion directe de tous les composants et circuits intégrés. Reprise aisée sur interface.

NOUVEAUX CONTACTS



LAB 500

Modèles

Broches 0,7 x 0,7 x 21 mm Qté 250	55,00 F
Lab 330	72,00 F
Lab 500	95,00 F
Lab 630	125,00 F
Lab 1000	185,00 F
Lab 1000 « PLUS »	292,00 F
Lab 1260 « PLUS »	370,00 F

Documentation gratuite à : **SIEBER-SCIENTIFIC**

Saint-Julien du GUA. 07190 St-SAUVEUR-de-MONTAGUT
Tél. : (75) 66.85.93 - Télex : Selex. 642138 F code 178

la maîtrise totale de soi par l'autohypnose et le magnétisme

Vous avez en vous, des pouvoirs que vous ignorez parce qu'on ne vous a pas appris à vous en servir; par un entraînement facile, vous pouvez, comme tous ceux qui en connaissent les techniques pratiquer le magnétisme, l'hypnose et l'autohypnose. Cette pratique vous ouvrira des horizons nouveaux: vous saurez influencer mentalement les autres, maîtriser totalement votre corps et votre pensée, vous pourrez acquérir une force intérieure considérable et votre personnalité s'imposera. L'hypnose permet de libérer les autres de leurs complexes et de leurs problèmes intérieurs, de les aider à cesser de boire, de fumer, de s'intoxiquer par des drogues ou plus simplement à retrouver un bon sommeil ou un poids normal. Le magnétisme et l'hypnose permettent aussi de soulager ou d'éviter la douleur (pour les autres ou pour soi-même) et pour les médecins, de lutter contre les maladies psychosomatiques. Toutes ces connaissances passionnantes peuvent être acquises par chacun d'entre nous, mais on l'ignore généralement, et c'est ce qui explique le prestige dont jouissent «ceux qui savent». Demandez vite la documentation gratuite sur l'hypnose en retournant le coupon ci-dessous.

GRATUIT! Renvoyez ce bon à IDC1 58, rue Perronet - 92200 Neuilly s/Seine
Veuillez m'envoyer gratuitement votre documentation sur l'hypnose, l'autohypnose et le magnétisme (ci-joint un timbre pour envoi par poste).

Nom Prénom

Adresse

Code postal Ville



"ELECTRONIQUE COLLEGE"

kits disponibles

	PRIX KIT	TTC CI
Labo 01 :	172 F	25 F
Labo 02 :	265 F	40 F
Labo 03 :	40 F	14 F
Labo 05 :	80 F	12 F
Labo 06 :	138 F	21 F
Labo 07 :	165 F	35 F
Expé 01 :	138 F	22 F
Expé 02 :	80 F	24 F
Expé 03 :	170 F	37 F
Expé 04 :	190 F	40 F
Expé 05 :	45 F	22 F
Expé 07 :	100 F	27 F
Expé 17 :	49 F	21 F

nouveauté du mois

Expé 16 :	Allumage électronique	167 F	22 F
-----------	-----------------------	-------	------

TERAL ELECTRONIQUE

26 RUE TRAVERSIÈRE PARIS 12^e
TÉL. : 43.07.87.74 +
MÉTRO : GARE DE LYON

MAGASINS OUVERTS
DU LUNDI AU SAMEDI
DE 9 H À 19 H 30
SANS INTERRUPTION